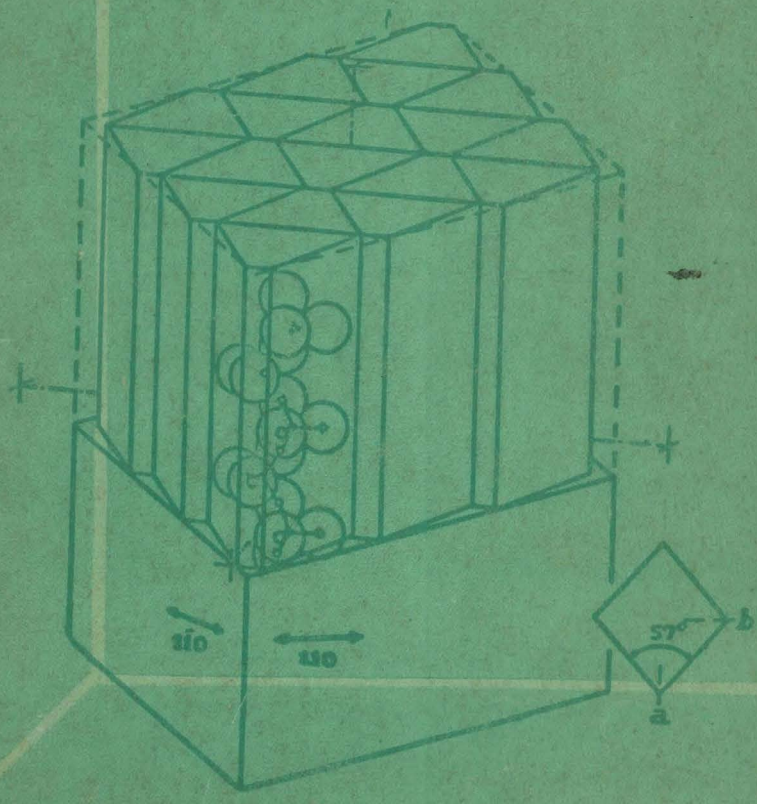


UNIVERSITATEA DIN BUCUREŞTI
FACULTATEA DE GEOLOGIE-GEOGRAFIE

VIRGIL IANOVICI VICTORIA STIOPOL EMIL CONSTANTINESCU

PROPRIETĂȚILE FIZICE ȘI CHIMISMUL MINERALELOR



BUCUREŞTI 1983

UNIVERSITATEA DIN BUCUREŞTI
FACULTATEA DE GEOLOGIE-GEOGRAFIE

Prof. dr. VIRGIL IANOVICI
Prof. dr. VICTORIA STIOPOL
Lector dr. EMIL CONSTANTINESCU

PROPRIETĂȚILE FIZICE ȘI CHIMISMUL MINERALELOR

partea a II-a
A CURSULUI DE CRISTOLOGRAFIE — MINERALOGIE

BUCUREŞTI, 1983

CUPRINS

	pag.
I. Proprietățile fizice ale mineralelor	9
1. Criterii de sistematizare a proprietăților fizice	9
2. Proprietăți morfologice	12
2.1. Morfologia indivizilor cristalini	12
2.2. Aspecte morfologice ale concreșterilor de minerale	15
2.2.1. Concreșteri de minerale aparținând aceleiași specii minerale	15
2.2.1.1. Concreșteri regulate	15
2.2.1.2. Concreșteri simetrice — Macle	19
2.2.1.3. Concreșteri cu forme neregulate	23
2.2.2. Creșteri aparținând unor specii diferite de minerale	24
2.2.2.1. Concreșteri epitaxiale	24
2.2.2.2. Concreșteri pseudosferolitice	26
2.2.3. Alte aspecte legate de morfologia mineralelor	26
2.2.3.1. Paramorfismul mineralelor	26
2.2.3.2. Pseudomorfismul mineralelor	27
3. Proprietăți legate de coeziune (mecanice)	27
3.1. Duritatea	28
3.1.1. Principalele tipuri de durătăți	28
3.1.1.1. Duritatea la penetrație	28
3.1.1.2. Duritatea la sfredelire	28
3.1.1.3. Duritatea la zgâriere	28
3.1.1.4. Duritatea la șlefuire	30
3.1.2. Relația dintre duritate și structura cristalină a mineralelor	30
3.1.3. Consecințele diferențierii mineralelor prin duritate	33
3.2. Clivajul și spărtura	36
3.2.1. Caracteristicile clivajului	36
3.2.2. Principalele tipuri de clivaj și spărtură	38
3.3. Elasticitatea și plasticitatea	41
3.3.1. Notiuni privind deformarea mecanică a mineralelor	41
3.3.2. Elasticitatea	41
3.3.3. Plasticitatea	43
4. Proprietăți optice	49
4.1. Proprietăți optice macroscopice	49
4.1.1. Considerații teoretice	49
4.1.1.1. Natura și comportarea radiațiilor luminoase	49
4.1.2. Culcarea și urma mineralelor	63
4.1.2.1. Notiuni generale	63
4.1.2.2. Tipuri de culori	65
4.1.2.3. Aprecierea culorilor	68
4.1.2.4. Culcarea urmei mineralelor	68
4.1.3. Luciul	70

4.1.3.1. Principalele elemente care influențează luciu mineralor	70
4.1.3.2. Tipuri de luciu	72
4.1.4. Transparentă	75
4.1.5. Luminiscentă	76
4.2. Proprietăți optice microscopice	80
4.2.1. Criterii de sistematizare	80
4.2.2. Proprietăți optice microscopice ale mineralelor transparente în secțiuni subțiri examineate în lumină transmisă	81
4.2.3. Proprietăți optice microscopice ale mineralelor opace examineate în lumină reflectată	86
5. Proprietăți termice	86
5.1. Conductibilitatea termică	87
5.2. Dilatația termică	89
5.3. Aplicații practice	92
6. Proprietăți electrice	92
6.1. Termoelectricitatea	93
6.2. Piroelectricitatea	94
6.3. Piezoelectricitatea	95
6.4. Polarizarea dielectrică a mineralelor	97
6.5. Aplicații practice	98
7. Proprietăți magnetice	98
7.1. Tipuri de magnetism	99
7.1.1. Diamagnetismul	99
7.1.2. Paramagnetismul	99
7.1.3. Ferromagnetismul	102
7.1.4. Antiferromagnetismul	103
7.2. Relația dintre magnetism și simetria cristalelor	103
7.3. Aplicații	104
8. Greutatea specifică	105
8.1. Noțiuni generale	105
8.2. Dependența greutății specifice de factorii de mediu și chimism	105
8.3. Aplicații teoretice și practice	106
9. Radioactivitatea	108
9.1. Considerații teoretice	108
9.2. Radioactivitatea naturală a mineralelor	120
9.3. Aplicații	123
II. Chimismul mineralelor	125
1. Noțiuni generale privind materia cristalizată	125
2. Defecțiuni structurale ale rețelelor	132
2.1. Mobilitatea particulelor din punctele nodale	132
2.2. Tipuri de defecțiuni structurale	132
3. Principalele tipuri de structuri reticulare la minerale	136
4. Constituția chimică a mineralelor	140
4.1. Compuși chimici definiții	140
4.2. Compuși chimici cu constituție chimică variabilă	142
4.3. Compuși chimici hidratati	143
4.4. Coloizi	145
5. Metode de determinare a compoziției chimice a mineralelor	148
5.1. Metode chimice de analiză	148
5.2. Metode fizico-chimice de analiză	148
5.3. Metode fizice de analiză	150

	<u>pag.</u>
6. Stabilirea formulelor chimico-structurale la minerale	151
6.1. Noțiuni introductive	151
6.2. Principele de calcul	152
III. Relația chimism—structură—proprietăți fizice	154
1. Izomorfismul	155
1.1. Definirea conceptului de izomorfism	155
1.2. Condițiile necesare pentru realizarea izomorfismului	158
1.2.1. Condiții privind elementele care se substituie reciproc	158
1.2.2. Factorii de mediu care acionează în izomorfism	160
1.2.3. Condiții privind caracteristicile rețelei cristaline	161
1.3. Exemple de izomorfism	162
2. Polimorfismul	164
2.1. Noțiuni fundamentale	164
2.2. Factorii care influențează transformările polimorfe	167
2.3. Exemple de polimorfism	172
3. Politipismul	187
4. Izotipia	190
5. Morfotropismul	192
IV. Relația dintre proprietățile fizice și condițiile de formare — tipomorfismul	194
1. Noțiuni generale	194
2. Particularitățile tipomorfe ale mineralelor	195
3. Asociații tipomorfe de minerale	201
4. Aplicații practice	203
<i>Tabele anexă</i>	204
<i>Bibliografia</i>	218
<i>Index</i>	221

„Cunoștințele noastre despre materie, oricăr de vaste ar fi, sunt doar ca niște insule care răsar dintr-un ocean necunoscut“.

A. Kastler

PREFATA

Prima parte a cursului de Mineralogie¹ a inclus o descriere a principalelor minerale întâlnite în natură, organizate în clase și grupe de minerale, fiind cunoscută în mod tradițional sub denumirea de Mineralogie sistematică sau descriptivă.

Lucrarea de față corespunde aşa numitei Mineralogii generale și ea cuprinde noțiunile teoretice fundamentale pentru înțelegerea proprietăților fizice ale mineralelor, a modului în care acestea sunt determinate de chimism și de structura cristalină internă, a particularităților mișcării materiei minerale la scara globului pămîntesc. După cum subliniază savantul francez Orcel²: „Excepționala dezvoltare a științelor mineralogice, ce a avut loc în special de la începutul secolului al XX-lea, dovedește rolul esențial pe care îl joacă printre științele Pămîntului. Prin cercetările sale asupra edificiilor cristaline, mineralogul ocupă un loc privilegiat care îi permite să sesizeze, poate mai bine decât alții, unitatea fundamentală a acestui vast ansamblu de cunoștințe, precum și relațiile reciproce ce există între ele. Edificiile cristaline reprezintă de fapt unul din domeniile de convergență „un nod“, al diverselor aspecte ale schimburilor de energie studiate de chimia fizică și de termodinamică, în special, dacă se consideră cristalele nu numai întrinsec și în funcție de proprietățile fizico-chimice ale mediului în care se formează și în care evoluează“.

In acest sens, o atenție deosebită am acordat elucidării conceptelor care abordează relațiile dintre diversele faze minerale: izomorfism, polymorfism, politipie, izotipie, morfotropism. Privit prin prisma lor, contactul nostru cu mineralele capătă o bază rațională și lumea mineralelor încetează de a mai fi o aglomerare întimplătoare de specii, caracterizate prin numeroase constante fizice și chimice foarte diverse și greu de reținut. Dimpotrivă mineralele apar strins legate între ele printr-o multi-

¹ V. IANOVICI, V. STIOPOL, E. CONSTANTINESCU, Mineralogie, Ed. did. și ped., București, 1980.

² „Științele despre pămînt și univers“ în „Istoria generală a științelor“ coordonator R. TATON (traducere din limba franceză). Ed. enciclopedică, București, 1978.

tudine de tranzitii care permit prevederea proprietăților termenilor intermediari iar speciile izolate reprezintă nu regula, cum se credea, ci excepția.

Ultimul capitol privește relația dintre proprietățile fizice, chimism și condițiile de formare ale mineralelor, examinată în cadrul conceptului de tipomorfism, concept cu o deosebită semnificație teoretică, pentru stabilirea legilor naturale care au stat la baza evoluției proceselor geologice și cu utilitate practică, pentru activitatea de prospecțiune și explorare a acumulărilor de substanțe minerale utile.

Cititorii vor observa desigur că nu toate fenomenele mineralogice pot fi explicate cu aceeași rigoare și alături de modele foarte noi vor putea fi întâlnite și modele intuitive sau relații greu de explicat. Ne exprimăm speranța, că studenții beneficiari ai cursului de Mineralogie vor reuși să desprindă din această carte, nu numai înțelegerea corectă a unor noțiuni de bază pentru științele mineralogice dar și modalitatea specifică de interpretare a proceselor minerale.

Mineralogia, această ambițioasă încercare de reflectare a unei realități naturale extrem de diverse, creată prin acțiunea unor forțe enorme, în mari intervale de spațiu și timp este marcată de limitele generale, de care se lovește astăzi cunoașterea noastră asupra materiei, de dificultățile tratării ei prin modele sau concepte simple. Beneficiară a cuceririlor fizice moderne ea vede deschise multe căi noi dar cu prețul renunțării la unele modele intuitive care satisfăceau pasiunea noastră pentru sintezele definitive. Natura nu poate fi introdusă în tipare fixe și o gîndire creativă depinde de capacitatea de adaptare continuă la informațiile noi, furnizate de observarea directă a fenomenelor naturale sau de datele experimentale. Acest tip de gîndire creativă va permite tinerilor noștri cititori să abordeze cu succes, cercetarea mineralologică a viitorului.

PROPRIETĂȚILE FIZICE ALE MINERALELOR

Mineralele și în general substanțele cristalizate se caracterizează prin-tr-un complex de proprietăți fizice, proprii naturii chimice și structurii lor interne.

Corpurile solide cristalizate reprezintă sisteme de particule în care se poate desluși tendința naturală de realizare a unei stări de echilibru după criterii de simetrie. Această tendință se va repercuta în mod firesc într-o simetrie a proprietăților fizice ale mineralelor, care reflectă, într-o multitudine de nuanțe, anizotropia structurii interne constituită din plante de densitate reticulară diferită. Fenomenele fizice caracteristice îndeosebi mediilor cristalizate anizotrope vor depinde deci, atât de simetria geometrică a acestor medii cât și de natura cauzelor fizice care determină desfășurarea lor.

1. CRITERII DE SISTEMATIZARE A PROPRIETĂȚILOR FIZICE

Marea diversitate a proprietăților fizice a impus cercetătorilor nevoie-sitatea unei sistematizări a acestora care să permită, pe de o parte, înregistrarea progreselor și limitelor cunoașterii relațiilor cauzale iar, pe de altă parte, să constituie un instrument de lucru eficace pentru utilizarea lor în mineralogia determinativă. Sistematizarea se poate realiza, cum este și firesc, în mai multe moduri, folosind diferite criterii de clasificare.

O primă modalitate are în vedere dependența sau independența lor față de direcție, criteriu în funcție de care se separă proprietăți fizice cu caracter scalar sau vectorial.

Proprietățile fizice scalare — în rîndul căror sint incluse greutatea specifică și căldura specifică — sint independente de direcție, sint caracterizate printr-o valoare numerică, iar grafic se reprezintă prin puncte.

Proprietățile vectoriale — sint dependente de direcție și se împart, la rîndul lor, în mai multe categorii, după tipul vectorilor și simetria suprafeței vectoriale.

După tipul vectorilor se disting :

— proprietăți univectoriale, caracterizate prin elemente dirijate de ordinul I, deci prin vectori polari cu valori diferite în cele două sensuri ale unei direcții. Între acestea se numără duritatea, piroelectricitatea, piezoelectricitatea.

— proprietăți bivectoriale, care au în vedere caracterul de tensori al mineralelor. O asemenea proprietate este dilatația termică prin care cristalele își măresc volumul în mod egal în cele două sensuri ale unei direcții.

După simetria suprafeței vectoriale se disting :

— proprietăți cu simetrie superioară, care variază continuu cu direcția. În această categorie sunt grupate proprietățile optice, proprietățile termice, proprietățile electrice, proprietățile magnetice.

— proprietăți cu simetrie inferioară, care variază discontinuu cu direcția. În cadrul acestora sunt incluse clivajul, spărtura, maclele, figurile de percusiune, coeziunea, elasticitatea.

O a doua modalitate de clasificare pleacă de la faptul că proprietățile fizice exprimă, din punct de vedere fenomenologic, o serie de elemente esențiale pentru evoluția corporilor cristalizați — cum sunt mecanismul creșterii și grupării simetrice a particulelor în cristale, coeziunea edificiilor cristaline, acțiunea mediilor cristalizați asupra diverselor forme de energie radiantă de natură electromagnetică, influența factorilor de mediu — temperatură, presiune, pH. În această idee proprietățile fizice ale mineralelor au fost grupate, de asemenea, în mai multe diviziuni.

Proprietăți morfologice. Multitudinea formelor minerale întâlnite în natură a determinat încadrarea lor în diferite categorii, separându-se aspectele caracteristice pentru indivizii cristalini izolați : habitus, tracht, striațiuni și cele caracteristice pentru concreșterile orientate de minerale. Acestea din urmă se divid în concreșteri aparținând aceleiași specii minerale, care pot fi regulate (paralele, scheletice, sferolitice, axiolitice), simetrice (macle), neregulate (stalactitice, mamelonare, reniforme) și în concreșteri aparținând unor specii diferite de minerale care, la rîndul lor, pot fi epitaxiale sau pseudosferolitice (variolite, felsosferite, litofize, chondre).

Proprietăți legate de coeziune (mecanice). Principalele proprietăți incluse în această grupă, care reflectă în ansamblu comportarea mineralelor sub efectul unei acțiuni mecanice exterioare, sunt duritatea, clivajul, spărtura, casanța, elasticitatea, plasticitatea, maleabilitatea, ductibilitatea. În funcție de anumite caracteristici specifice modului de acțiune asupra mineralului sau modului în care mineralele reacționează la efort, s-au separat deformații reversibile (elastice) și permanente (plastice); tipuri de duritate (de penetrare sfredelire, zgiriere, șlefuire); tipuri de clivaj după numărul și orientarea direcțiilor de minimă coeziune și după calitatea fețelor de clivaj (perfect, foarte bun, bun, distinct, slab); tipuri de elasticitate; tipuri de plasticitate (macle mecanice, translații mecanice).

Proprietăți optice. Ele reprezintă rezultatul modificărilor pe care le suferă radiațiile luminoase la impactul cu mineralele, al fenomenelor optice ce se desfășoară în mediile fizice cristalizație și amorfă (reflexie, refracție, absorție). Proprietățile optice se pot clasifica, după modul în care se efectuează observarea lor, în macroscopice și microscopice. Proprietățile optice macroscopice (numite și aparente sau de suprafață) pot fi observate cu ochiul liber și slujesc la caracterizarea descriptivă a mineralelor. Cele mai importante sunt culoarea, urma, luciul, transparentă, luminiscența, asterismul. În cadrul lor s-au separat, în funcție de factorii

care le generează, mai multe tipuri de culori (idiocromatice, allocromatice, pseudocromatice, de luciu (metalic, adamantan, sticlos, gras, sfidofos, mătăsos) sau de luminiscență (fotoluminiscentă, termoluminiscentă, triboluminiscentă, catodoluminiscentă). Proprietățile optice microscopice se divid, după modul lor de examinare, în proprietăți observabile în lumină transmisă și în lumină reflectată. Primele se subîmpart în proprietăți determinabile în lumină naturală, în lumină polarizată paralelă și în lumină polarizată convergentă. Pe baza proprietăților optice mineralele se pot împărți în izotrope și anizotrope iar cele anizotrope în uniaxe și biaxe, în pozitive și negative — categorii deosebit de sugestive pentru cunoașterea și determinarea lor.

Proprietăți termice. Mineralele se comportă din punctul de vedere al proprietăților termice asemănător cu comportarea lor optică, deoarece radiațiile calorice suferă în mediile cristalizate aceleași modificări ca și radiațiile luminoase, prezintând fenomene de reflexie, refracție și dublă refracție. Mineralele pot fi astfel clasificate în transparente pentru razele calorice (diatermane) și opace (atermane). Pe de altă parte, mineralele amorfă și cele cristalizate în sistemul cubic sunt termic izotrope iar mineralele cristalizate în celealte sisteme cristalografice sunt termic anizotrope ele putind fi mai departe împărțite în uniaxe și biaxe (razele calorice suferind în masa lor o refracție dublă și fiind apoi polarizate). De asemenea, mineralele pot fi considerate din punct de vedere termic incolore sau colorate (termocroice), după cum absorb selectiv sau neselectiv radiațiile termice. În ceea ce privește cele două proprietăți termice esențiale — conductibilitatea termică și dilatația termică — prima este dependență de direcție și are fenomenologic un dublu conținut fizic, reprezentând în cazul mineralelor bune conducătoare un flux de căldură produs în urma unei căderi de temperatură iar la cele rău conducătoare, un proces de radiație termică interioară; dilatația termică reprezintă un fenomen de deformare omogenă, adică de schimbare, prin ridicarea temperaturii, a formei cristalelor în întreaga lor masă, fără anularea omogenității fizice reale. Dilatarea termică poate fi însă izotropă, și anizotropă, uniaxă și biaxă.

Proprietăți electrice. Acestea prezintă, la rîndul lor, asemănări cu proprietățile termice, fluxul electrostatic avînd drept corespondent termic fluxul staționar de căldură iar căderea de potențial electric ca revers căderea de temperatură.

Principalele proprietăți electrice considerate sunt termoelectricitatea, piroelectricitatea, piezoelectricitatea și polarizarea electrică. Din punctul de vedere al conductibilității, mineralele au fost împărțite în bune conducătoare și semiconducătoare, iar din punct de vedere al simetriei, în grupe corespunzînd sistemelor și claselor de simetrie cristalografică.

Proprietăți magnetice. Sunt grupate, după modul lor de comportare într-un cîmp magnetic omogen, în paramagnetice (atrase de magnet) și diamagnetice (respinse de magnet), o a treia categorie — feromagnetice — reprezentând un caz particular de intensitate mai mare a paramagnetismului determinat de momentele magnetice ale electronilor produse de spinul acestora. Din punct de vedere al simetriei, după variația intensității inducției magnetice cu direcția, mineralele se pot împărți în izotrope, uniaxe (pozitive și negative) și biaxe (pozitive și negative).

Privind în ansamblu proprietăile optice, termice, electrice și magnetice se poate reține analogia dintre simetria fenomenelor fizice bivectoriale elipsoidale desfășurate în masa lor, în legătură cu diferite forme de energie de natură electromagnetică.

Greutatea specifică și radioactivitatea sunt proprietăți importante ale mineralelor, legate de particularități ale chimismului și structurii interne.

Examinarea în continuare a proprietăilor fizice va avea în vedere îmbinarea criteriului fenomenologic cu cel vectorial, ordinea expunerii urmând cea de a doua modalitate de clasificare, considerată mai semnificativă din punct de vedere practic.

2. PROPRIETĂȚI MORFOLOGICE

Forma de prezentare a mineralelor a constituit primul mijloc de identificare a acestora și numele a numeroase minerale derivă din anumite trăsături ale morfologiei lor cum sunt: actinot (în limba latină „actinos“ — piatră cu raze), granat (granum în limba latină — grăunțe), axinit (în limba greacă „axines“ — topor), crisotil (în limba greacă „cri-sos: — fibră aurie) și multe altele.

Investigațiile complexe efectuate asupra procesului de cristalizare au indicat că morfologia externă a mineralelor este determinată atât de factori interni — structura reticulară cît și de factori externi cum sunt — temperatura, presiunea, concentrația și pH-ul soluțiilor etc., astfel încât ea poate oferi indicații prețioase asupra condițiilor de geneză ale unor asociații complexe de minerale cum sunt rocile sau minereurile.

Tratarea legilor care generează simetria geometrică a cristalelor a format obiectul cristalografiei, datele prezентate în acest cadru se referă doar la aspectele morfologiei exterioare și au în vedere atât formele indivizilor cristalini izolați, cît și anumite concreșteri orientate ale unor indivizi cristalini care conduc la apariția unor forme caracteristice pentru acestea. Sunt incluse de asemenea și aspecte ale morfologiei unor minerale cu grad scăzut de cristalinitate.

2.1. MORFOLOGIA INDIVIZILOR CRISTALINI

Din punct de vedere morfolodic mineralele cristalizate sunt caracterizate prin combinația de fețe care îmbracă mineralul — denumit *tracht*¹), precum și de modul de dezvoltare relativă a fetelor sale, lățimea și lungimea acestora, definite prin noțiunea de *habitus*².

Habitusul. Plecind de la faptul că, în spațiu, orice corp prezintă trei dimensiuni, putem distinge cristale cu :

¹ Termenul de „tracht“ introdus de Ramdohr (1936) înseamnă în limba germană — costum, vesmînt.

² În limba latină „habitus“ înseamnă tipar.

— forme dezvoltate egal în cele trei direcții constituind habitusul *izometric*. El este caracteristic pentru mineralele cristalizate în sistemul cubic apărând la granați, pirită, magnetit, fluorină, diamant, spinel, piroclor.

— forme alungite într-o direcție, pentru care sunt caracteristice habitusul *columnar* — la cuart, turmalină; habitusul *prismatic* — la piroxeni, amfiboli; habitusul *bacilar* și habitusul *acicicular* la stibină, rutil, actinot; habitusul *fibros* — la asbest.

— forme dezvoltate predominant în două direcții; pentru care sunt caracteristice habitusul *tabular* la baritină, sanidină, habitusul *lamelar* — la specularit (oligist); habitusul *foios* sau *solzos* la mice, clorite, mineralele argiloase, mice uranifere.

În afara de aceste tipuri principale de habitus pot exista și forme de tranziție cum sunt formele intermediare între habitusul izometric și cel prismatic la cristalele scalenoedrice de calcit; formele intermediare între habitusul izometric și cel tabular la cristalele plate de sfen, formele intermediare între habitusul prismatic și cel tabular la cristalele alungite de gips. Sunt bine cunoscute și formele de „butoias“ ale cristalelor de corindon.

Trachțul. Anumite minerale prezintă o combinație de fețe atât de caracteristică încit ea poate deveni un însemnat indiciu pentru recunoașterea lor. Este cazul unor forme simple cum sunt dodecaedrii romboïdali de granați, cuburile de pirită și halit, octaedrii de magnetit fluorină sau spinel, dodecaedrii pentagonali de pirită, romboedrii sau scalenoedrii de calcit prismele ditrigonale de turmalină sau prisme hexagonale de apatit (tabelul 1).

Tabelul 1

SISTEMUL CUBIC

Cub : galenă, pirită, argentit, cuprit, halit, fluorină, diamant

Octaedru : diamant, aur, cuprit, spinel, magnetit, franklinit, fluorină

Dodecaedru : cupru, magnetit, lazurit, granat, diamant.

Trapezoedru : analcit, granat

Forme compacte, pepite, dendrite : aur, argint, cupru, platină, argentit, bornit, skutterudit, smaltină, cloantit, uraninit, sodalit lazurit.

SISTEMUL TETRAGONAL

Bipiramidă pătratică : casiterit, scheelit, wulfenit, apofilit, zircon

Prisme pătratice : apofilit, scapolit, vezuvian, zircon

Tetraedru : calcopirită

Prismă tabulară : tobernit și autunit, wulfenit

Pseudotrapezoedru : leucit

Pseudocub : apofilit

Forme compacte : piroluzit, casiterit

SISTEMUL HEXAGONAL

Prismă hexagonală : pirargirit, proustit, corindon, apatit, piromorfit, mimitit, vandinit, cuart, beril, millerit.

Bipiramidă hexagonală : corindon
Hexagonal tabular : molibdenit, pirotină, covelină, corindon, hematit, beril ilmenit, apatit.
Prisme hexagonale : wurtzit

SISTEMUL TRIGONAL

Romboedru : cinabru, hematit, calcit, siderit, dolomit, chabazit
Scalenoedru : calcit, rodocrodit, smithsonit
Prismă trigonală : dioptaz, turmalină, willemit
Trigonal tabular : benitoit, fenacit
Masiv : arsen, alemontit, bismut, stibiu, nichelină, brucit, nefelin

SISTEMUL ROMBIC

Prismă : löllingit, enargit, bournonit, crisoberil, aragonit, ceruzit, baritină, anglezit, adamit, wavellit, danburit, natrolit, stibină.
Prismatic bipiramidal : sulf, olivină, andaluzit, topaz, staurolit.
Tabular : sulf, calcozină, marcasită, enargit, hemimorfite, columbit, tantalit, strontianit, baritină, celestină, anglezit.
Lamelar : diaspor, goethit, strontianit
Pseudohexagonal tabular : calcozină, crisoberil, ceruzit, witherit, aragonit
Tabular dințat : bournonit
Acicular : desclozit, mottramit
Masiv : goethit, variscit, wavellit, cordierit, olivină, prehnit

SISTEMUL MONOCLINIC

Prismă : realgar, manganit, azurit, kernit, gips, vivianit, tremolit, actinot, spodumen, epidot, clinozoizit
Columnar : wolframit, ortoză, hornblendă, diopsid
Lamelar : vivianint, eritrină, hübnérít, tremolit, sfen
Ascuțit : auripigment, azurit, gips, monazit, wolframit, sfen
Acicular : tremolit, actinot, crocoit
Pseudoromboedric : mispichel, colemanit, datolit
Pseudobipiramidal : lazulit :
Pseudohexagonal tabular : muscovit, flogopit, biotit, lepidolit, clorit.
Masiv : malachit, annabergit, scorzalit, serpentină, actinot, jadeit.

SISTEMUL TRICLINIC

Columnar : microclin, rodonit
Lamelar : albit, disten
Ascuțit : exinit
Masiv : ulexit, pectolit, turcoază, rodonit

La fel de tipice sunt anumite combinații de fețe cum este combinația de fețe de prismă și bipiramidă ditetragonală la vezuvian sau chiar existența unei fețe foarte bine dezvoltate caracteristică pentru un anumit mineral cum este pinacoidul transversal posterior (101) pentru adular sau față (010) la sanidină.

Striațiiile fețelor. Uneori fețele cristalelor nu sunt perfect netede ci prezintă unele striații care pot constitui un indiciu pentru identificarea mineralelor. Înțilnim astfel striații paralele — la cuart sau striații inter-

sectate după anumite unghiuri la perowskit. Uneori striațiile sunt paralele cu sensul alungirii cristalelor ca la turmalină, epidot iar alteori perpendicularare pe sensul alungirii cristalelor ca la cuarț. În cazul piritei striațiunile fiecărei fețe sunt perpendicularare pe striațiile feței vecine astfel încit simetria holoedrică a formelor cubice trece într-o simetrie meriedrică.

Originea striațiilor este diferită; sunt striații de combinație care sunt rezultatul repetării multiple ale unor fețe vecine înguste ca în cazul diamantului sau rezultatul maclariei polisintetice a diferenților indivizi de exemplu la feldspați.

2.2. ASPECTE MORFOLOGICE ALE CONCREȘTERILOR DE MINERALE

Mineralele pot apărea deseori sub forma unor edificii cristaline complexe, cu forme caracteristice rezultate din orientarea reciprocă a individelor în timpul procesului genetic. Aceste concreșteri pot include asocieri regulate la minerale aparținând aceleiași specii sau unor specii diferite³.

2.2.1. Concreșteri de minerale aparținând aceleiași specii minerale

În cadrul acestora se pot deosebi asocieri regulate, simetrice sau neregulate.

2.2.1.1. Concreșteri regulate

Principalele tipuri sunt concreșterile paralele, formele scheletice, sferolitice și axiolitice.

Concreșterile paralele. Sunt formate din două sau mai multe cristale dispuse astfel încit elementele lor geometrice (fețe, muchii) sau elementele de simetrie (axele cristalografice) să aibă o orientare comună. Exemplu cel mai caracteristic este oferit de geodele sau druzele cu cristale de cuarț (fig. 1) sau de concreșterile de baritină (fig. 2) cu fețele și

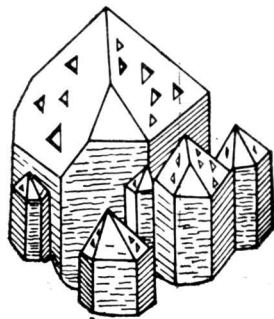


Fig. 1. Concreștere paralelă de cristale de cuarț în geode.

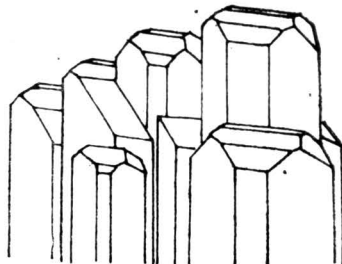


Fig. 2. Concreștere paralelă de cristale de baritină.

³ Nu sunt discutate aici relațiile texturale sau structurale din cadrul agregatelor complexe de minerale cum sunt rocile sau minereurile.

muchiiile paralele precum și de cristalele de cuarț (fig 3a) sau calcit (fig. 3b) în formă de sceptru, la care axele cristalografice sunt paralele.

Forme scheletice. Formele scheletice sunt concreșteri arborescente, ramificate stelate, dantelate sau scobite constituite din indivizi cristalini cu o dezvoltare incompletă.

Dendritele sunt concreșteri arborescente (în limba greacă „dendros” înseamnă arbore) caracteristice în special pentru elementele native Au, Ag, Cu. Ele pot să aibă aspecte foarte regulate cum sunt dendritele de

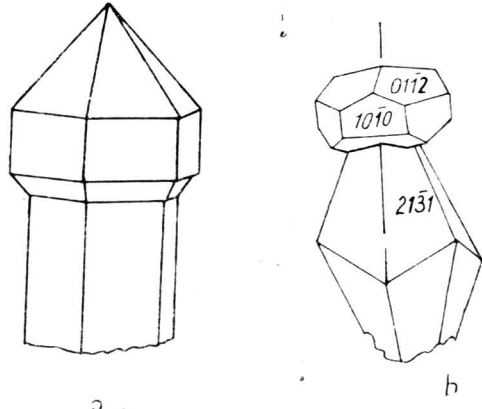


Fig. 3. Concreștere în formă de sceptru: a) la cristale de cuarț; b) la cristale de calcit.

aur de la Fața Băii, Munții Metaliferi cu toate cristalele concrescute dezvoltate în planul (111) al feței de octaedru și al feței de cub (100), (fig. a și b) sau alte concreșteri bine cunoscute sub numele de „feriga”

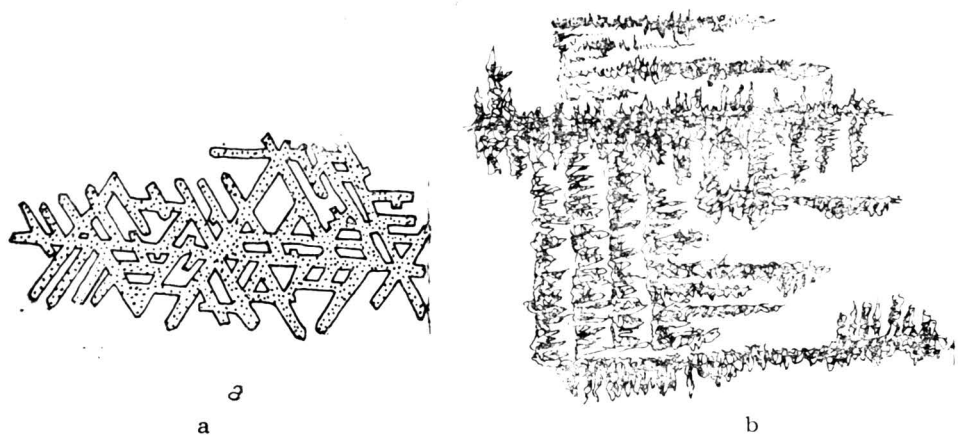


Fig. 4. Dendrite de aur concrescute regulat: a) în planul feței de octaedru; b) în planul feței de cub, de la Mina Fața Băii — M-ții Metaliferi.

și de „șopîrlă de aur“ (fig. 5 a și b). La fel de cunoscute sănt și concreșterile dendritice de Cu nativ din zonele de oxidație ale zăcămintelor de la Altîn Tepe, Bălan, Sasca Montană. Sub forma de dendrite sau impre-



Fig. 5. Concreșteri dendritice de aur în formă de : a) ferigă de aur ; b) șopîrlă de aur — Muzeul aurului Brad.

siuni dendritice apar și depunerile de oxizi de fier și de mangan de pe suprafața fisurilor din calcare, marne, argile sau prinse ca incluziuni în calcedonie (fig. 6).

Tremiile sănt forme scheletice scobite constituite din suprapunerile rectangulare în descreștere progresivă (fig. 7) generate prin creșterea exagerată în direcția muchiilor, care apar la unele cristale de sare, dezvoltate în condițiile de suprasaturație din lagunele zonelor tropicale. În

afară de aceste tremii concave se cunosc și tremii convexe cum sint cele dezvoltate pe fețele cristalelor de pirită de la Bucium — M-ții Apuseni.



Fig. 6. Dendrite de mangan.

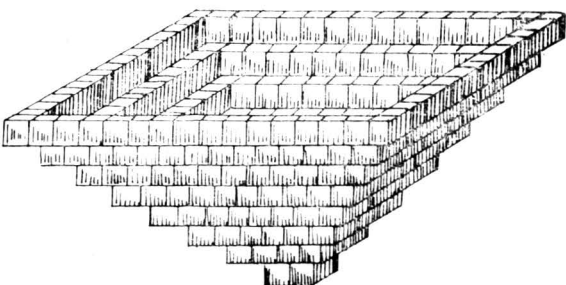
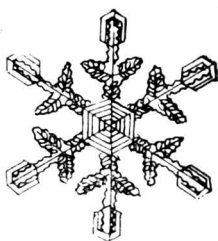


Fig. 7. Tremie de halit.

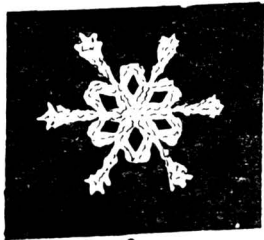
Aspecte scheletice arată și *cristalele stelate* ale fulgilor de zăpadă sau din florile de gheătă (fig. 8).



a



b



c

Fig. 8. Cristale de zăpadă și gheătă : a și b) forme stelate ale fulgilor de zăpadă ; c) flori de gheătă.

Forme scheletice reprezintă deci grupări de cristale și aggregate de cristale incomplet dezvoltate individualizate din soluții suprasaturate printr-un proces de creștere rapidă și exagerată în direcția muchiilor și colțurilor.

Sferolitele. Sferolitele sint concreșteri regulate de formă sferoidală sau elipsoidală constituite din fibre dispuse în jurul unui centru de cristalizare adeseori vizibil în mijlocul globulei sferolitice. Ele iau naștere în medii omogene izotrope în care toate direcțiile fiind echivalente, procesul de cristalizare pornit dintr-un punct va conduce la formarea unor aggregate sferice concrescute radial. Exemplele de sferolite sint numeroase și ele privesc concrețiunile sferoidale de calcit, aragonit, calcedonie, marcasită, apatit, siderit din depozitele argiloase, cărbunoase, nisipoase, carbonatice. Ele se pot forma : din soluții apoase de exemplu oolitele

sau pisolitele de aragonit și calcit ; din soluții hidrotermale — marcasita ; din devitrificarea sticlelor vulcanice sau prin răcirea accelerată a dia-bazelor spilitice — sferolitele de calcedonie ; prin cristalizarea coloziilor și a gelurilor — sferolitele limonitice sau manganoase numite „glaskopf“ cum apar în zonele de oxidație de la Ghelar, Teliuc, Ocna de Fier, Răzoare, etc.

Axiolitele. Axiolitele sunt aggregate cu structură fibroasă la care fibrele sunt aranjate pe o axă rectilinie sau curbată. Exemplele cele mai tipice sunt axiolitele de egirin din masa pechsteinurilor din insula Aran (Scoția) sau aggregatele formate din fibre de crocidolit cunoscute și sub numele de „ochi de tigru“ de la Grigentown — Africa de Sud.

2.2.1.2. Concreșteri simetrice-Macle

Maclele⁴ sunt concreșteri simetrice de două sau mai multe cristale aparținând același speciei minereale și orientate unul față de altul după legi bine determinate. Aspectele teoretice — privind simetria maclelor și geneza acestora care au făcut obiectul unor studii complexe (Friedel, 1964) nu vor fi abordate în acest cadrul. Plecind de la faptul că, maclele pot fi recunoscute cu ușurință macroscopic prin existența unghiurilor intrinde sau a unor striații diferit orientate pe aceeași față de cristal și că diferențele combinații rezultate sunt caracteristice multor specii minereale ele vor fi examineate ca o proprietate morfologică semnificativă pentru recunoașterea mineralelor ;

Elementele cristalografice caracteristice maclelor (elemente de maclare) sunt planul de maclă care poate fi o față posibilă sau existentă în cristal (caracterizat prin densitate reticulară mare) și axul de maclă care poate fi o direcție paralelă cu muchiile cristalului sau o direcție perpendiculară pe una din fețe. În funcție de orientarea acestor elemente și modul de concreștere se pot distinge diferite tipuri de macle denumite după planul sau axul care definesc legea de maclă. Principalele tipuri separate sunt maclele de justapunere, maclele de penetrație și maclele mimetice.

Maclele de justapunere (hemitropie). La aceste macle alipirea cristalelor se face după un plan comun celor doi indivizi. Dacă axul de maclă este perpendicular pe planul de maclă iau naștere macle de *hemitropie normală* — De exemplu macula gipsului numită „coadă de rindunică“ (fig. 9). Dacă axul de maclă este conținut în planul de asociere avem de-a face cu o *hemitropie paralelă*, de exemplu macula Karlsbad tipică pentru ortoză (fig 10). care pare din punct de vedere morfologic o maclă de penetrație. Există o serie de minerale care maclează după ambele legi rezultind macle de *hemitropie complexă* la care poziția celui de al doilea individ

⁴ Termenul provine din limba franceză („macle“) și este o denumire de blazon desemnând un romb cu interiorul gol, amintind de desenul observat pe secțiunile transversale de chiaștolit, considerat inițial ca o maclă a andaluzitului. În limbile engleză și germană se folosesc termenii „twin“ respectiv „zwilling“ care înseamnă gemeni.

se obține după rotații succesive de 180° în jurul unei axe perpendiculare pe planul de alipire și în jurul unei axe conturate în acest plan de exemplu

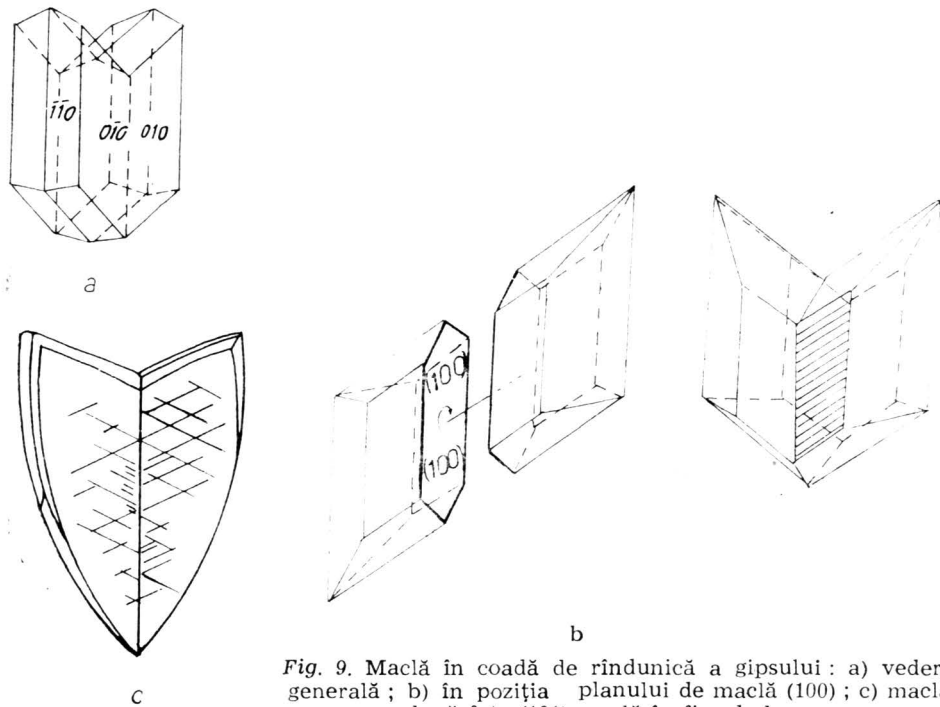


Fig. 9. Maclă în coadă de rîndunică a gipsului : a) vedere generală ; b) în poziția planului de maclă (100) ; c) maclă după față (101) maclă în fier de lance.

macla Albit — Karlsbad a feldspaților plagioclazi (fig. 11). Alipirea indi- vizilor maclați poate fi repetată de mai multe ori. Dacă repetarea se face după planele de asociere care corespund unor fețe diferite dar

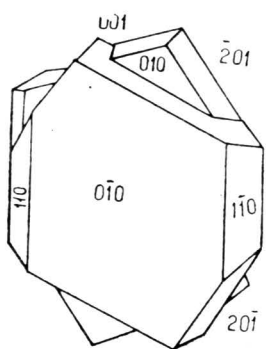


Fig. 10. Macla Karlsbad a ortozei (hemitropie paralela).

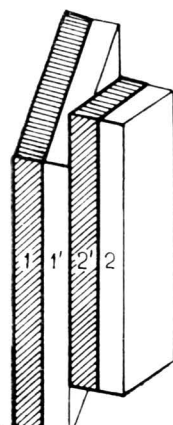


Fig. 11. Macla albit-Karlsbad a ortozei (hemitropie complexă) a feldspaților plagioclazi.

echivalente ale acelaiași cristal rezultă macle ciclice de exemplu macula aragonitului (fig. 12) și a rutilului (fig. 13). Dacă repetarea maclei are loc de mai multe ori după același plan de măclă se obține o măclă *polisintetică* de exemplu macula de tip albit a feldspațiilor plagioclazi (fig. 14). Dintre alte macle aparținând tipului de juxtapunere mai amintim macula

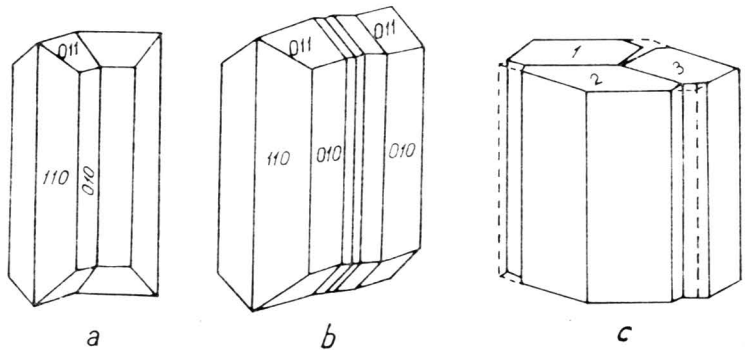


Fig. 12. Macla aragonitului : a) simplă ; b) polisintetică ; c) macla ciclică (văzută lateral).

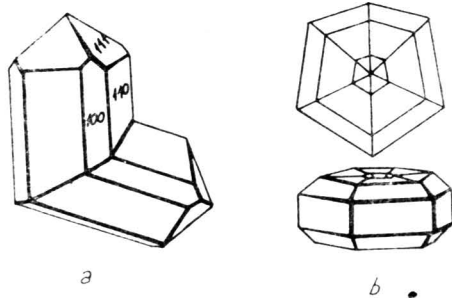


Fig. 13. Macla rutilului : b) macla ciclică ; a) macla în genunchi.

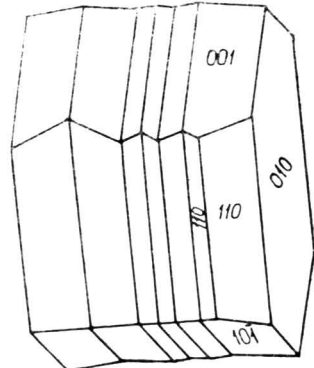


Fig. 14. Macla poliosintetică de tip albit a feldspațiilor plagioclazi după (100).

spinellilor (fig. 15) cu cei doi indivizi alipiti după fața de octaedru (111) și macula calcitului (fig. 16) alipire după planul (0001).

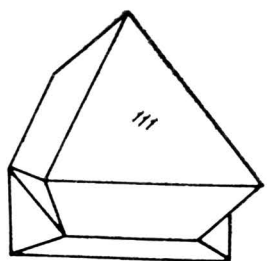
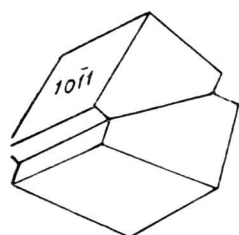
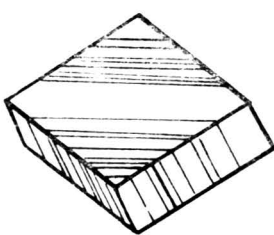


Fig. 15. Macla de justapunere a spinelilor.

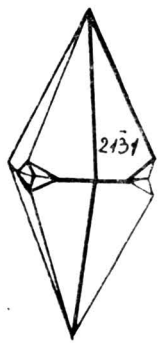
Macle de penetrație. Maclele de penetrație rezultă formal din întrepătrunderea a doi indivizi fără a mai prezenta un plan de asociere bine determinat. Simetria cristalului maclat este superioară celei a minera-



a



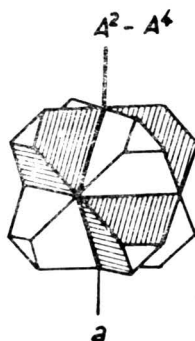
b



c

Fig. 16. Macla calcitului. a) macla simplă după $(01\bar{1}2)$; b) macla polisintetică; c) macla calcitului după (0001) .

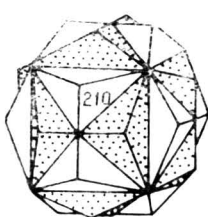
Iului nemaclat de exemplu la macla diamantului (fig. 17) cu doi tetraedri întrepătrunși unde A_2 devine A_4 . Alte cunoscute macle de penetrație sunt macla piritei (fig. 18) cu doi dodecaedri pentagonalni întrepătrunși cu



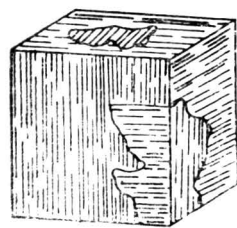
$A^2 - A^4$

a

Fig. 17. Macla de penetrație a diamantului.



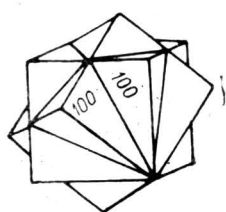
a



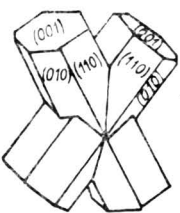
b

Fig. 18. Macla de penetrație a piritei : a) întrepătrunderea a doi dodecaedri pentagonalni; b) macla piritei pusă în evidență la cristalele în formă de cub prin apariția unor striații diferențiale pe aceeași față.

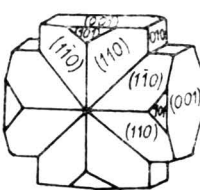
axul de maclă A_4 , macla fluorinei (fig. 19 a) două cuburi întrepătrunse cu axul de maclă A_3 ; maclele staurolitului (fig. 19 b și c).



a



b



c

Fig. 19. Macla de penetrație; a) a fluorinei; b și c) a staurolitului.

Macle mimitice. Maclele mimitice sunt agregate de cristale cu aspect de cristal unic care „mimează“ o simetrie superioară, care nu corespunde simetriei reticulare a cristalelor componente. Geneza acestor macle este asociată fenomenului de polimorfism. Astfel unele minerale care la temperaturi ridicate au o simetrie superioară corespunzătoare simetriei reticulare, în acel moment la temperaturi mai scăzute își modifică rețeaua cristalină fără ca polimorfismul să afecteze simetria geometrică inițială a poliedrului. Aceste macle pot fi sesizate macroscopic prin apariția pe fețele cristalelor a unor striațiuni a căror orientare nu corespunde cu simetria geometrică și microscopic prin identificarea cristalelor componente cu proprietăți optice distințe : Exemplul celei mai cunoscute privesc mala mimetică a leucitului — Friedel (fig. 20) sau cea a granaților calcici,

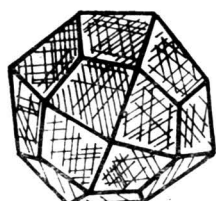


Fig. 20. Macla mimitică a leucitului (îmagine macroscopică).

studiată de Mallard. Descrieri detaliate ale maclelor mimetice au fost date de Kissling (1967) (fig. 21) pentru granații de la Ocna de Fier și Constantinescu (1976) pentru granații de la Sasca Montană.

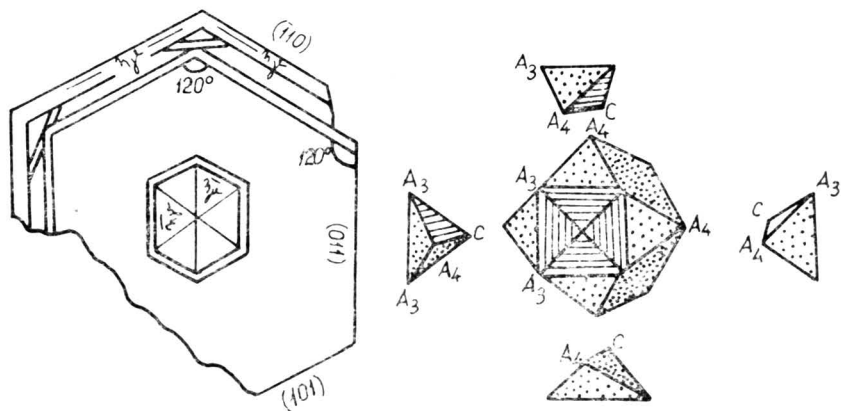


Fig. 21. Macla mimetică la granați calcici. (macle de granați de la Ocna de Fier după Al. Kissling, 1967).

2.2.1.3. Concreșteri cu forme neregulate

Aspectele morfologice descrise în cadrul acestui capitol s-au referit în cea mai mare parte la forme asemănătoare celor ideale cristale idiomorfe dezvoltate mai mult sau mai puțin liber în geode sau druze⁵. În

⁵ geodele („geodes“, înseamnă pământos în limba greacă) și druzele (druze în limba germană) sunt spații libere existente în masa rocilor magmatice sau în umplutura filoanelor hidrotermale și alpine, tapisate cu cristale.

majoritatea cazurilor însă mineralele formează aggregate granulare fără forme proprii (xenomorfe) denumite fanerocristaline dacă mineralele pot fi distinse cu ochiul liber și micro sau criptocristaline dacă componentele pot fi sesizate doar la microscop.

De multe ori însă aggregatele microcristaline pot prezenta și ele aspecte morfologice caracteristice și definițorii pentru anumite specii minerale cum sunt formațiunile stalactitice și stalagmitice de calcit, aggregatele mamelonare de goethit, lepidocrocit, siderit formațiunile reniforme de malachit, azurit, smitsonit, etc. Aceste aspecte iau naștere prin cristalizarea substanțelor coloidale și formațiunile rezultante pot fi caracterizate prin alternanța unor sectoare cu grad diferit de cristalizare sau cu colorație diferită (fig. 22). Unele varietăți spectaculoase de opal sau calcedonie

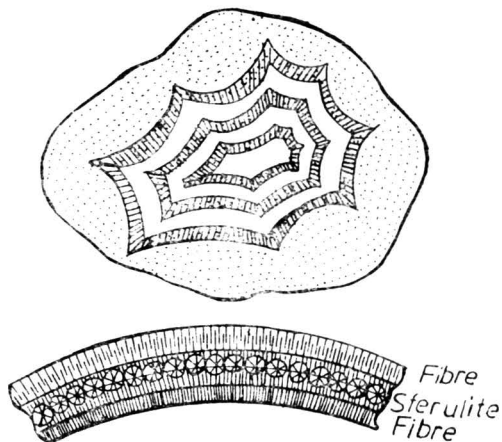


Fig. 22. Cristalizări ale substanțelor coloidale
— depuneri ritmice.

cunoscute sub numele de agat sau onix cu inele diferite colorate s-au format după cum a arătat Liesegang încă din 1898 prin precipitarea ritmică a unei soluții cristaloide colorate conținând de pildă hematit în masa gelului de silice.

2.2.2. Concreșteri aparținind unor specii diferite de minerale

2.2.2.1. Concreșteri epitaxiale

Prin epitaxie se înțelege asocierea unor specii de minerale diferite condiționată de dispunerea paralelă a unor elemente de simetrie ale unui mineral față de elementele de simetrie ale altui mineral cristalizat în altă clasă sau sistem de simetrie. Pentru ca fenomenul de epitaxie să se realizeze trebuie ca structura planelor reticulare ce se suprapun prin concreștere să fie analogă iar constantele reticulare ale mineralelor concreștute să fie asemănătoare.

Dintre exemplele cele mai cunoscute de epitaxie amintim concreșterile regulate ale calcitului trigonal și salpetrului de Na trigonal după fețele de romboedru paralele; ale albitalui cu simetrie triclinică și ortozei cu simetrie monoclinică după față (110) (fig. 23) ale staurolitului rombic pe față (100) a distenului triclinic (fig. 24) ale rutilului și oligistului (fig. 25) și piritei și galenei (fig. 26); intereseante aspecte epitaxiale au fost descrise de Popescu (1976) la piritele de la Bălan.

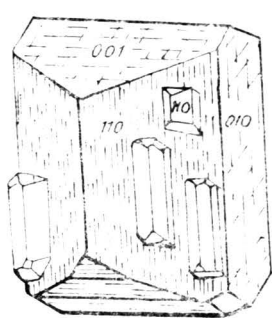


Fig. 23. Concreșteri epitaxiale albital pe față (100) a ortozei.

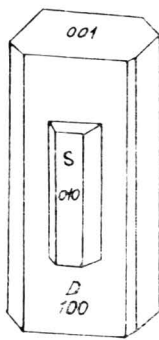


Fig. 24. Concreșteri epitaxiale staurolit (notat S) pe față (100) a distenului (notat cu D).

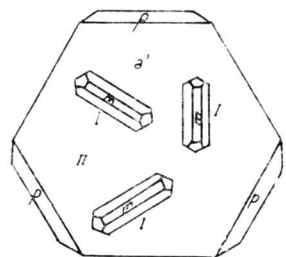


Fig. 25. Concreșteri epitaxiale rutil și oligist.

Unii autori (Codarcea, 1965) consideră drept concreșteri epitaxiale și acele de rutil (sagenit) dispuse după trei direcții care fac un unghi de 60° în biotit (fig. 27) în acest caz este vorba de un fenomen de exsoluție (dezamestec) al bixoxidului de titan inclus inițial în rețeaua biotitului de

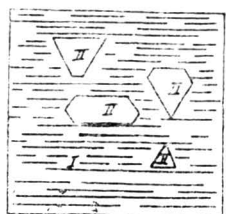


Fig. 26. Concreșteri epitaxiale pirită și galenă.

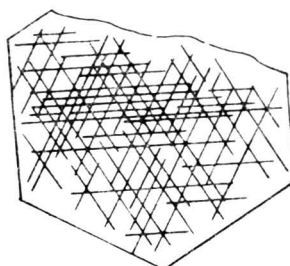


Fig. 27. Ace de rutil (sagenit) pe față (001) de biotit.

origine magmatică. Aspecte asemănătoare de disperție orientată au fost întâlnite și în cazul dezamestecurilor de bornit sau de cubanit în calcopirită (Constantinescu, Udubașa — 1982). Alte exemple: hematit-ilme-

nit, magnetit-ilmenit, magnetit-hematit, hematit-rutil, cuarț-rutil, calcit-aragonit, zircon-xenotim, piroxen-amfibol, augit-biotit.

2.2.2.2. Concreșteri pseudosferolitice

Din punct de vedere al formei exterioare și structurii interne prezintă aspecte asemănătoare cu cele descrise anterior la sferolitele sensu strictu, diferenția fiind marcată de coexistența în perimetru lori a mai multor specii de minerale. În funcție de modul de prezențare, mineralele componente și ambianța geologică au fost separate (Rosenbuch, Vogt) mai multe tipuri :

— *variolite* — concreșteri radiare de feldspați, plagioclazi și augit în roci diabazice ;

— *felsosferite* — sferele cu structură radială constituuite dintr-un amestec fin granular de feldspat alcalin și cuarț în proporții eutectice în roci efusive acide (riolite, porfire cuarțifere) ;

— *litofize* — sferolite constituuite din cuarț-tridimit, agat, hematit în formă de sticlă de ceas cu pereți concavi, formate prin procese de degazeificare ritmică în roci vulcanice vitroase de tipul liparitelor ;

— *chondre* — sferolite cu structură radială fibroasă centrală sau excentrică constituuite din olivină și bronzit, dispuse în masa meteořitilor titici (fig. 28).

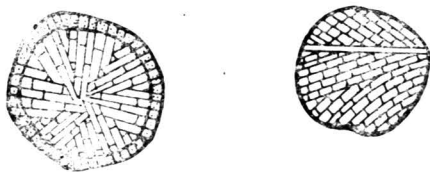


Fig. 28. Chondre.

2.2.3. Alte aspecte legate de morfologia mineralelor

O situație interesantă și care nu rareori se poate întâlni în natură este dată de înlocuirea unui mineral printr-un alt mineral cu menținerea formei primului mineral. Acest fenomen este cunoscut sub numele de pseudomorfism și după cum schimbarea fazelor mineralogice implică sau nu o modificare de chimism sau numai o schimbare a structurii se disting noțiunile de pseudomorfism sensu strictu și de paramorfism.

2.2.3.1. Paramorfismul mineralelor

Paramorfismul apare cind are loc o transformare polimorfică într-un cristal bine constituit. Exemplul cunoscut este cristalele de calcit care prezintă fețe caracteristice pentru aragonit indicând formarea calcitului, din aragonit cu preluarea simetriei exterioare a acestuia. Un caz ase-

mănător privește cristalele de cuarț α cu forme de cristal de cuarț β din unele roci vulcanice. Cazul particular al maclelor mimetice în care un agregat de lamele de leucit tetragonal menține forma leucitului cubic de temperatură înaltă sau cel asemănător al boracitului este inclus de ascimenea de Friedel (1964) în cadrul fenomenului de paramorfism.

2.2.3.2. Pseudomorfismul mineralelor

Pseudomorfismul presupune o înlocuire parțială sau totală a minceplului primar care poate implica cîstig sau pierdere de material.

Astfel, formarea cristalelor de Cu nativ care preiau aspectul cristalelor de cuprit (Cu_2O) implică o pierdere de ioni O^{2-} iar formarea pseudomorfozelor de gips $Ca(SO_4) \cdot 2H_2O$ după anhidrit $Ca(SO_4)$ un cîstig de H_2O . Apariția goethitului $FeO(OH)$ cu aspect de pirită solicită un schimb mai complex cu înlocuirea ionilor de S^{2-} cu ioni de O^{2-} și OH^- iar cuartul cu aspect de calcit ($CaCO_3$) presupune o înlocuire completă a $CaCO_3$ prin SiO_2 .

Se cunosc și situații mai deosebite cînd fazele mineralogice înlocuiesc material organic cu conservarea perfectă a formei acestora ca în cazul lemnelor silicificate în care celuloza este înlocuită total prin SiO_2 sau al fosilelor pseudomorfozate de minerale silicate și sulfuri metalice citate de Mîrza (1978) în skărnele de la Ocna de Fier.

3. PROPRIETĂȚI LEGATE DE COEZIUNE

Proprietățile incluse în această grupă⁶ decurg din relațiile de coeziune existente în masa mediilor minerale. Coeziunea reprezintă rezultanta forțelor de atracție și de respingere dintre particulele materiale care constituie structura reticulară a mineralelor și ea acționează ca o forță prin care aceste particule tind să-și păstreze distanțele reciproce dintre ele.

La corpurile lichide sau solide amorfă, caracterizate prin omogenitate statistică, coeziunea prezintă aceeași intensitate în toate direcțiile, ele avind o comportare izotropă.

La corpurile solide cristalizate coeziunea variază în mărime cu direcția, în mod discontinuu, cu valori maxime și minime în direcții învecinate și cu aceeași valoare în direcții paralele.

Sub influența unor acțiuni mecanice unilaterale care se exercită într-un singur sens cum sunt presiunea, lovirea, tracțiunea orientată, indoirea, torsinea, se produc în rețeaua mineralelor cristalizate schimbări neomogene inegale care se traduc prin apariția unor deformații temporare sau definitive. Aceste schimbări sunt reprezentate printr-o serie de proprietăți fizice bivectoriale cum sunt duritatea, clivajul elasticitățea, plasticitatea a căror simetrie este inferioară unui elipsoid cu trei axe.

⁶ Aceste proprietăți au fost descrise de o serie de autori sub numele de proprietăți mecanice.

3.1. DURITATEA

Prin duritatea mineralelor înțelegem gradul de rezistență pe care acestea îl opun unei acțiuni mecanice exterioare. Deși duritatea este o proprietate importantă pentru caracterizarea mineralelor și poate servi în bună măsură la diagnoza acestora, noțiunea de duritate nu a fost încă precis definită iar cercetările de detaliu au demonstrat că diferitele metode folosite în laborator pentru evidențierea sau măsurarea ei se referă de fapt la fenomene fizice de natură diferită.

3.1.1. Principalele tipuri de durități

Principalele tipuri de durități, în funcție de specificul acțiunii exercitate asupra mineralelor sunt grupate în mai multe categorii de durități: la penetrație, sfredelire, zgâriere sau șlefuire.

3.1.1.1. Duritatea la penetrație

Duritatea la penetrație reprezintă rezistență pe care o opun mineralele la pătrunderea unui penetrant de diferite forme atunci cind asupra penetratului se exercită o forță exterioară care acționează prin presiune. Se cunosc mai multe sisteme de determinare a durității la penetrație. Cele mai cunoscute sunt: Vickers, Brinell și Rockwell. De importanță deosebită este metoda Vickers, deoarece ea poate fi aplicată în mineralogie pentru a se determina duritatea mineralelor chiar la dimensiuni microscopice în scopul de a obține unele date necesare identificării mineralului.

3.1.1.2. Duritatea la sfredelire

În acest caz duritatea se determină prin intermediul unui sfredel care acționează cu o turație constantă pentru a face găuri de anumit diametru și anumită adîncime. Si în această metodă introdusă în practica mineralologică de Pfaff și Jäggar ca și în cele care vor fi descrise în continuare, pentru a se putea obține valori mai reale și comparabile este necesar a se respecta condițiile experimentale. Ca mineral etalon s-a ales corindonul, folosind ca măsură evaluată, valoarea de 1000.

3.1.1.3. Duritatea la zgâriere

Pentru determinarea durității unui mineral în cele mai multe laboratoare se recurge la o metodă simplă care constă în zgârierea acestuia cu ajutorul altui mineral, urmărind ca diferența de duritate să se aprecieze pe baza unei scări de duritate întocmită de mineralogul F. Mohs în 1812⁷.

Scara lui Mohs cuprinde 10 minerale etalon, selecționate după criteriu de frecvență lor în natură sau a caracterului deosebit de accentuat al durității

⁷ Această scară a fost completată ulterior de Breithaupt la 12 trepte de duritate prin intercalarea biotitului între gips și calcit și a amfibolului între fluorină și apatit.

lor și inseriate în ordinea crescindă a durității : talc, gips, calcit, fluorină, apatit, ortoză, cuarț, topaz, corindon, diamant.

Gradele de duritate sunt arbitrale. Cresterea durității neprezintând o funcție liniară, diferențele de duritate dintre două grade successive sunt inegale. Duritatea reală a termenilor din scara lui Mohs corespunde următorului ordin de mărire 1 talc (1), 2. gips ($41\frac{1}{2}$), 3. calcit ($148\frac{1}{2}$), 4. fluorină (165), 5. apatit ($214\frac{1}{2}$), 6. ortoză (1221), 7. cuart (3960), 8. topaz (5775), 9. corindon (33.000), 10. diamant (4.620.460). Compararea valorilor obținute prin diferite metode de determinare a durității pentru numerele standard din scara lui Mohs este redată în figura 29.

Cu toate aceste limitări scara lui Mohs este totuși utilă deoarece cele mai multe minerale prezintă deosebiri de duritate remarcabile și se repartizează aproximativ egal în lungul scării de duritate. Astfel oxizii, hidroxizi și silicații se repartizează în domeniul valorilor 6–8, carbonații, sulfatații, fosfații, sulfurile au duritate între 3–5 iar în partea inferioară a scării durității se plasează mineralele solubile în apă (halogenuri). În acest mod prin folosirea scării lui Mohs, investigațiile efectuate în determinările de minerale pot fi mult simplificate.

O altă metodă de determinare a durității prin zgâriere este metoda sclerometrului. Sclerometrul (skleros = tare, dur, metron = măsurător) conceput de A. Seebeck în 1839 prezintă un braț de pîrghie cu un șurub reglabil și un al doilea braț asociat cu un disc pentru greutăți de care este fixat un vîrf ascuțit de oțel sau diamant (fig. nr. 30). Cu un astfel

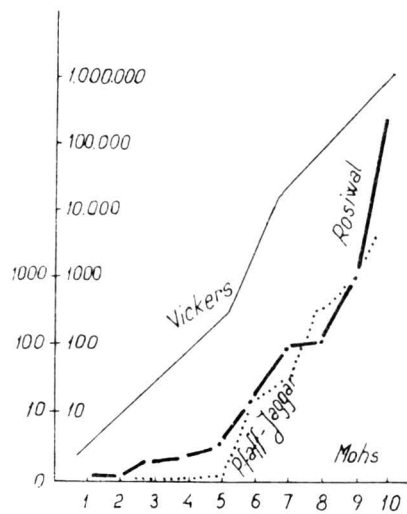


Fig. 29. Scara de durități după diferite metode.

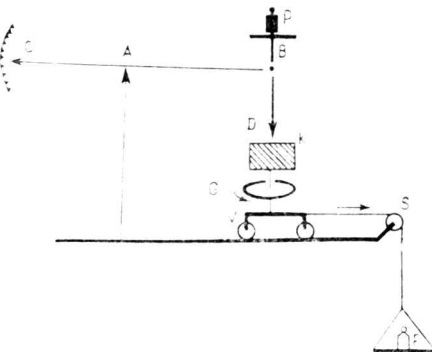


Fig. 30. Schema sclerometrului.

de sclerometru se poate determina mărimea durității exprimată cu ajutorul diferențelor greutăți folosite. De asemenea prin variația greutăților la diferite direcții din planul unei fețe de cristal se pot măsura valorile

durităților în toate direcțiile cristalografice ale unor fețe de cristal. Prin reprezentarea grafică a măsurătorilor efectuate se obțin trasee caracteristice numite curbe de durități care exprimă variația și deci dependența durității față de direcția cristalografică. Aceste curbe (fig. nr. 31) reproduc simetria feței supuse analizei deoarece variația durității este aceeași în direcții echivalente din planul unei fețe.

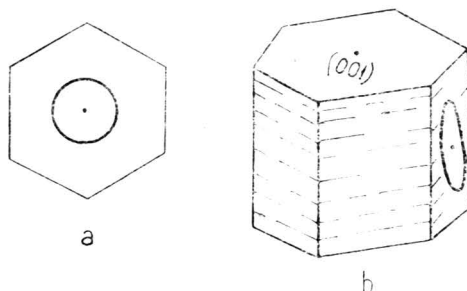


Fig. 31. Curbele de egală duritate la muscovit : a) pe fața (001) ; b) pe fața (010).

3.1.1.4. Duritatea la șlefuire

Acest tip de duritate se obține printr-o metodă propusă de Rosiwal care constă în șlefuirea cu un abraziv pînă la tocirea abrazivului. Prin cîntărirea mineralului înainte și după șlefuire se determină pierderea în greutate și valoarea părții șlefuite (pierderea de volum suferită). Inversul acestei valori este duritatea relativă a mineralului. Determinările efectuate prin metoda șlefuirii sunt afectate de numeroase variații provocate de o serie întreagă de factori ca presiunea aplicată asupra mineralului în timpul șlefuirii, durata operației, viteza de frecare. Erni și Holmquist au căutat să amelioreze metoda standardizînd diferitele elemente ale operațiunii.

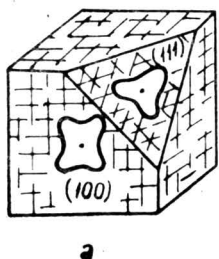
3.1.2. Relația dintre duritate și structura cristalină a mineralelor

Prin compararea diferitelor valori relative ale durității s-a constatat că raportul durității relative este 1:1 în cazul fețelor echivalente de la cristalele acelorași specii minerale și diferă la fețele neechivalente sau cu orientare cristalografică diferită. Astfel distenul triclinic prezintă o anizotropie a durității la zgîriere puternic evidențiată prin variația ei pe fața (100) unde duritatea în scara lui Mohs este 4,5 în direcția (001) și 6,5 în direcția (010) în timp ce pe fața (010) valoarea medie a durității este 7.

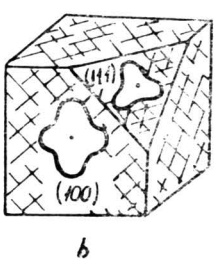
La cristalele trigonale-trepezoedrice de cuart valorile cele mai mari ale durității relative apar pe fața de pinacoid bazal (0001), valorile intermediare pe fețele de prismă (1010) iar valorile cele mai scăzute pe fețele de romboedru (1011).

La cristalele de adular valorile durității sunt mai mari pe fețele (100), intermedie pe fețele (010) și mai mici pe fețele (001).

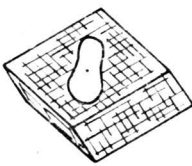
Variația durității în diferitele direcții ale aceleiași fețe este sugestiv evidențiată de curbele de duritate obținute pentru cristalele cubice de halit (NaCl) și de fluorină (CaF_2) în planul fețelor (100) și (111) la calcit în planele fețelor (1011) și la cristalele rombice de baritină (BaSO_4) în planul fețelor (001) și (110) (fig. 32, 33).



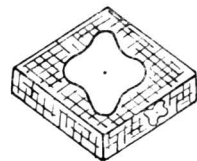
a



b



c

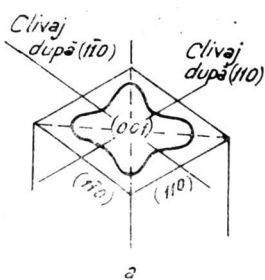


d

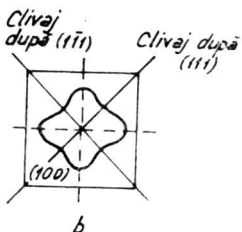
Fig. 32. Variația durității : a) halit pe față (100) și pe față (111) Clivaj după (100); b) fluorină pe față (100) și pe față (111) Clivaj după (111).

Fig. 33. Curbe de durități la cristale de calcit pe față de romboedru (a) și la cristalele rombice de baritină (b).

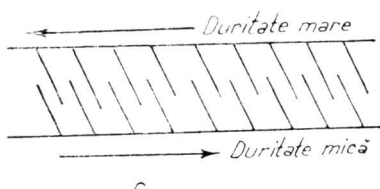
Alura și orientarea curbelor de duritate evidențiază și interdependența dintre duritatea mineralului și clivaj. Astfel duritatea este minimă în direcțiile paralele cu planul de clivaj și maximă în direcțiile perpendiculare pe planul fețelor de clivaj (fig. nr. 34c).



a



b



c

Fig. 34. Dependența durității în raport de direcțiile de clivaj la baritină (a) fluorină (b) și de sensul sgirierii (c)

Pe o față perpendiculară, pe clivaj se observă că duritatea este mai mare în direcția perpendiculară pe urma clivajului și mai mică de-a lungul clivajului, fiind însă echivalentă în cele două sensuri ale aceleiași direcții (fig. nr. 35). Variația durității în corelație cu direcțiile de clivaj la piroxeni este prezentată în fig. nr. 36.

Indiferent de metoda prin care se determină duritatea (prin zgâriere, şlefuire) s-a observat un paralelism între duritatea mineralelor și densitatea lor. La mineralele care pot cristaliza în forme diferite, modificația cu cel mai mic volum molecular (deci cu densitatea mai mare și cu structura internă mai compactă) este mai dură. Astfel duritatea pe scara

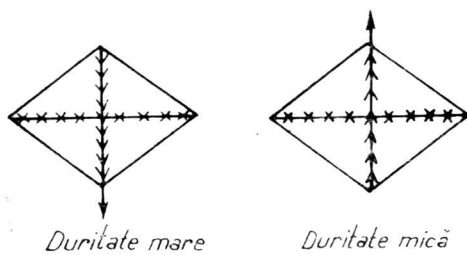


Fig. 35. Polaritatea durității în planul fețelor de romboedru (1011) la cristalul de calcit.

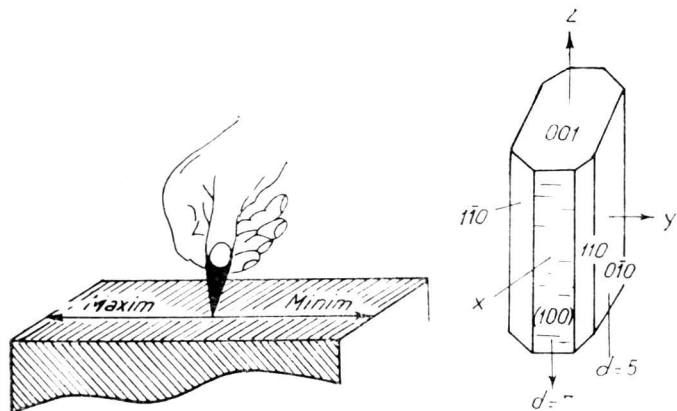


Fig. 36. Dependența durității în raport de clivaj la piroxeni.

lui Mohs a calcitului ($G=2,77$) este 3 iar duritatea aragonitului ($G=2,94$) este 4. La fel și în cazul modificărilor polimorfe ale bioxidului de siliciu; cuarțul cu $G=2,65$, are duritatea 7 iar tridimitul cu $G=2,26$ are duritatea $6\frac{1}{2}$.

Prin compararea unei serii de date empirice se poate constata o strânsă legătură între distanța dintre planele reticulare și valența elementelor, pe de o parte și variația durității pe de altă parte. Ca atare, la o serie de combinații cu același tip structural de exemplu cu structura cubică centrală pe fețe, la care echidistanța planelor reticulare (100) este apropiată, duritatea variază cu valența cationului și anume crește odată cu creșterea valenței.

Formula chimică	NaF	MgO	SCN	TiC
Valența cationului	1	2	3	4
Echidistanța în A°	2,30	2,10	2,23	2,23
Duritatea în scara Mohs	3,20	6,50	7,80	8,90

La combinațiile de același tip și cu cationi în rețea de aceeași valență, duritatea este mai mică cind echidistanța planelor reticulară este mai mare.

Formula chimică	NaF	NaCl
Valența	1	1
Echidistanța în A°	2,31	2,80
Duritatea în scara Mohs	3,20	2,50

Și în cazurile compușilor de tip AX izotipi cu NaCl, corelația arată că duritatea medie de zgâriere scade o dată cu creșterea distanțelor planelor reticulare pentru diferiți compuși (tabelul 2).

Duritatea variază în funcție de tipurile de rețea,ionică, atomică, metalică, moleculară, etc. și după cum o rețea este homodesmică sau heterodesmică. Dacă analizăm din acest punct de vedere, mineralele etalon din scara lui Mohs, sesizăm că acestea sunt reprezentate prin următoarele tipuri de rețea :

- talc, gips, calcit — rețea planară
- fluorină, apatit — rețea ionică heteropolară
- ortoză, cuarț — rețea tetraedrică tridimensională
- topaz — rețea cu legături mixte, ionice și covalente
- corindon, diamant — rețea cu legături covalente

Se observă o creștere progresivă a durătății de la legăturile intrareticulare heterodesmice la legăturile ionice izodesmice și apoi la cele covalente care sunt cele mai solide.

Tabelul Nr. 2

	Mg	Ca	Sr	Ba
O {	A — X A°	2,10	2,50	2,57
	H (Mohs)	6,50	4,50	3,50
S {	A — X A°	2,59	2,84	3,00
	H (Mohs)	4,50—5,00	4,00	3,30
Se {	A — X A°	2,74	2,96	3,12
	H (Mohs)	3,50	3,20	2,90
Te {	A — X A°	—	3,17	3,32
	H (Mohs)	—	2,90	2,60

3.1.3. Consecințele diferențierii mineralelor prin duritate

Diferențele de duritate pot explica comportarea mineralelor în unele proceșe petrogenetice. Astfel, în procesele de formare a rocilor sedimentare

detritive, s-a observat că mineralele dure pot forma acumulări care uneori prezintă importanță economică, constituind zăcăminte detritice (diamant, casiterit, topaz, safir, rubin, zircon, crisoberil). Majoritatea acumulărilor de pietre prețioase s-au constituit în cadrul unor astfel de tipuri genetice.

În procesele de formare a rocilor metamorfice gradul de dezvoltare al cristalelor și posibilitatea de a-și constitui forme proprii depind de forța de cristalizare a mineralului. S-a demonstrat că ea este funcție de structura cristalului. Întrucât însă, aceasta este mai dificil de cunoscut, s-a remarcat relația dintre forța de cristalizare și duritatea mineralelor; mineralele cu duritate mare au și o forță de cristalizare mare. Așa de pildă granații care au duritate mare prezintă conture euhedrale spre deosebire de miciile subhedrale care mulează conturul idioblastelor de granat.

Cunoașterea durității mineralelor prezintă și importanță practică atât în determinarea mineralelor pe baza valorilor durității lor (tabelul 3) cît și într-o serie de operațiuni tehnologice cum ar fi șlefuirea pietrelor prețioase și semiprețioase sau la orientarea diamantelor în coroanele de foraj. Practica a demonstrat că unele cristale de diamant sunt foarte rezistente iar această rezistență depinde de orientarea cristalului. La diamante duritatea cea mai mare corespunde fețelor de octaedru (111) care conform structurii au cea mai mare densitate reticulară. Fețelor (110) le corespund valori intermediare iar fețelor (001) le corespund valorile cele mai mici. Prin folosirea unor cristale de diamant cu orientarea corectă și anume cu axul [111] puțin inclinat față de direcția de forare și axul de rotere, consumul scade de la 0,422 karate pe metru forat în cazul coroanelor cu cristale neorientate, la 0,254 karate pe metru forat în cazul coroanelor cu cristale orientate. Aceasta conduce și la o scădere considerabilă a contravalorii uzurii coroanei de foraj.

Tabelul 3

Duritatea (Mohs) mineralelor

Duritatea (Mohs)	Denumirea mineralului	Duritatea (Mohs)	Denumirea mineralului
1	Talc	17	2-2 ^{1/2}
2	Grafit	18	2-2 ^{1/2}
3	Molibdenit	19	2 ^{1/2}
4	Covelină	20	2 ^{1/2}
5	Realgar	21	2 ^{1/2}
6	Auripigment	22	2 ^{1/2}
7	Vivianit	23	2 ^{1/2} -3
8	Sulf	24	2 ^{1/2} -3
9	Eritrină	25	2 ^{1/2} -3
10	Stibină	26	2 ^{1/2} -3
11	Gips	27	2 ^{1/2} -3
12	Proustit	28	2 ^{1/2} -3
13	Cinabru	29	2 ^{1/2}
14	Argentit	30	2 ^{1/2} -3
15	Bismut	31	2 ^{1/2} -3
16	Autunit	32	2 ^{1/2} -3

Tabelul 3 (continuare)

Duritatea (Mohs)	Denumirea mineralului	Duritatea (Mohs)	Denumirea mineralului
33	2½—3	Lepidolit	89 4½—5
34	2½—4	Muscovit	90 4½—5
35	2½—5	Serpentină	91 4½—6½
36	3	Enargit	92 5
37	3	Bornit	93 5
38	3	Ceruzit	94 5
39	3	Olivină	95 5—5½
40	3—3½	Calcit	96 5—5½
41	3—3½	Stibină	97 5—5½
42	3—3½	Millerit	98 5—6
43	3—3½	Witherit	99 5—6
44	3—3½	Baritină	100 5—6
45	3—3½	Celestină	101 5—6
46	3—4	Heulandit	102 5½
47	3—4½	Tetraedrit	103 5½
48	3½	Arsen	104 5½
49	3½	Strontianit	105 5½
50	3½—4	Blendă	106 5½—5
51	3½—4	Calcopirită	107 5½—6
52	3½—4	Wurtzit	108 5½—6
53	3½—4	Cuprit	109 5½—6
54	3½—4	Siderit	110 5½—6
55	3½—4	Rodocrozit	111 5½—6½
56	3½—4	Dolomit	112 6
57	6—6½	Benitoit	113 6
58	6—7	Casiterit	114 6
59	6—7	Zircon	115 6
60	6½	Hematit	116 6
61	6½	Microclin	117 6
62	6½	Jadeit	118 6
63	6½	Vezuvian	119 6
64	6½	Andradit	120 6
65	6½—7	Prehnit	121 6
66	6½—7	Diaspor	122 6
67	6½—7	Axinit	123 6—6½
68	6½—7½	Spodumen	124 6—6½
69	7	Cuart	125 6—6½
70	7	Cordierit	126 6—6½
71	7	Danburit	127 6—6½
72	7	Epidot	128 6—6½
73	3½—4	Malachit	129 6—6½
74	3½—4	Azurit	130 7
75	3½—4	Wavellit	131 7
76	3½—4	Piromorfit	132 7
77	3½—4½	Pirotină	133 7
78	4	Manganit	134 7½
79	4	Fluorină	135 7½
80	4	Aragonit	136 7½
81	4	Chabazit	137 7½
82	4	Stibină	138 7½
83	4—4½	Platină	139 7½—8
84	4—4½	Smithsonit	140 8
85	4—4½	Wolframit	141 8
86	4½	Colemanit	142 8
87	4½	Hemimorfit	143 8½
88	4½	Harmoton	144 9
			145 10

3.2. CLIVAJUL ȘI SPĂRTURA

Clivajul este o proprietate fizică caracteristică mineralelor cristalizate, care constă în divizarea, după suprafețe mai mult sau mai puțin plane, atunci cînd sunt solicitate la apăsare sau lovire după o direcție perpendiculară pe o direcție de coeziune minimă. Această proprietate a mediilor cristalizate este deosebit de importantă, deoarece ea se manifestă pe orice fragment de mineral chiar dacă acesta este lipsit de formă cristalografică și nu depinde de condițiile în care s-a realizat cristalizarea.

Definițoriul pentru clivaj este și faptul că desfacerea se produce întotdeauna după aceeași direcție pentru același mineral. Planul de clivaj nu trebuie confundat cu planul de separație, care la un mineral poate apărea doar ca un aspect local în timp ce planul de clivaj se manifestă ca un fenomen constant pe întreaga suprafață a mineralului.

3.2.1. Caracteristicile clivajului

Calitatea clivajului depinde de particularitățile specifice coeziunii și anume discontinuitatea și variația ei în funcție de direcție. De aceea la stabilirea calității se iau în considerare fie liniile de clivaj (drepte, întrerupte, deviate, etc.) obținute în momentul spargerii, fie natura suprafeței de clivaj (netedă sau mai puțin netedă).

La unele minerale clivajul se obține ușor la o lovire intîmplătoare, fără existența unei presiuni de lungă durată pe o anumită direcție, de exemplu la calcit (1011) sau la mice (001). Acest tip de clivaj este prezent la acele minerale la care se observă deosebiri importante în valoarea coeziunii după direcțiuni diferite. Într-un cristal din punct de vedere al coeziunii pot exista mai multe direcții de minimum și de maximum care pot fi clasificate după importanța lor în relative și absolute.

Pentru cele mai frecvente cazuri planele de clivaj se obțin relativ ușor, pe suprafețe largi (exemplu: mice, calcit, gips, etc.). Planele de clivaj sunt netede mai puțin netede sau complet neregulate, mici ca întindere și orientate paralel cu planul caracteristic de clivaj, urmărind particularitățile specifice coeziunii. Deseori în cazurile de imperfecțiune a suprafeței de clivaj, se practică sistemul de a se lua în considerare liniile drepte create în timpul spargerii și care tend să se orienteze după anumite direcții cristalografice. În cazurile în care aceste liniile drepte sunt apropiate între ele pot determina forme caracteristice de spargere, cu suprafețe cilindrice, concave, convexe, etc. De cele mai multe ori linia de clivaj este determinată de intersecția a două plane de clivaj perfecte sau a două plane imperfecte. La majoritatea cristalelor vom identifica un clivaj (plan sau linii) obținut ușor sau mai puțin ușor cu suprafețe netede sau mai puțin netede. Există însă și cazuri cînd clivajul nu se observă decît în condiții speciale, la tăiere în lame subțiri sau în procesul de încălzire sau răcire bruscă (ex. cuarț). În mod normal un fragment de cuarț supus acțiunii de sfârșimare produce o spărtură concoidală analoagă substanțelor amorfice (sticla).

Unele specii de cristale clivează după o singură față, (cristalele de mică monoclinice) alte specii minerale clivează după două sau mai multe fețe sau direcții neechivalente (cristalele monoclinice și triclinice de feldspați). La gips $\text{CaSO}_4 \cdot 2\text{H}_2\text{O}$ monoclinic remarcăm un clivaj perfect după (010). În acest plan de clivaj există și două clivaje liniare slabe numite : clivaj sticlos după (100) cu aspect ușor concoidal, orientarea fiind paralelă cu axul „c” [001] și clivaj fibros după (001) paralel cu axul „a” [100]. Un alt exemplu, antofilitul $(\text{Mg},\text{Fe}^{2+})_7 [\text{Si}_4\text{O}_{11}]_2 (\text{OH},\text{F})_2$ rombic arată un clivaj perfect (210) ușor paralel cu direcția de alungire a cristalului și două clivaje liniare slabe (010) și (100), asemănătoare clivajului fibros al gipsului.

O imagine corectă asupra cauzelor care determină apariția unui anumit tip de clivaj la un mineral poate fi conturată plecind de la particularitățile structurii sale cristaline ; studiile efectuate în direcția menționată deși nu au elucidat complet problema clivajului au arătat totuși influența forțelor de legătură dintre particule și modul de orientare a acestor forțe în rețea.

Planele de clivaj sunt plane reticulare de maximă densitate și deci cu cele mai mari valori interplane, în timp ce liniile de clivaj reprezintă șiruri reticulare cu densitate maximă și parametrii cei mai mici în cadrul același rețele. Deci în același cristal tipurile diferite de clivaj sunt determinate de planele din rețea care arată densități reticulare diferite, calitatea clivajului variind în ordinea descrescătoare a densității reticulare. Planele cu densitatea cea mai ridicată prezintă ochiuri reticulare foarte mici, de aici distanțe relativ mari între două astfel de plane, și deci o slabă coeziune interplane și o coeziune ridicată în planul reticular și în planele perpendiculare pe suprafețele de clivaj. Nu totdeauna însă planul cu densitatea reticulară cea mai ridicată reprezintă și suprafața de clivaj a cristalului. Nu putem afirma, deci, că singurul factor care impune prezența clivajului este tipul de plan reticular și trebuie să acceptăm că o influență remarcabilă revine și modului în care este distribuită materia, deci modului de constituire a motivului rețelei.

La blendă echidistanțele cele mai mari dintre plane se află după fețele de tip octaedric (111) și sunt egale cu $\frac{a}{\sqrt{3}}$; și fiind parametrul muchiei cubice și reprezentind echidistanța dintre două plane reticulare succeseive constituite din Zn. Distanța dintre un plan cu Zn și un plan cu S este de $\frac{1}{4}\frac{a}{\sqrt{3}}$ și $\frac{3}{4}\frac{a}{\sqrt{3}} = 0,433a$, adică intervalul cel mai mare interplane. Luând în discuție această valoare ar urma ca la blendă să asistăm la un clivaj perfect după direcția acestui plan, respectiv după fața de octaedru (111). În realitate la blendă remarcăm șase clivaje perfecte după fețele de dodecaedri romboidali unde planele sunt constituite din atomi de Zn și S, iar echidistanțele sunt egale cu $\frac{a}{2\sqrt{2}} = 0,354a$. Pentru a putea explica această situație trebuie să luăm în discuție constituția chimică a blendei. Coeziunea cristalină a edificiului reticular al blendei este dată de tipul de legătură Zn^{2+} și S^{2-} , iar forța de coeziune acționează în direcția

în care se află atomii de Zn și de S astfel că se iau în calcul distanțele cele mai apropiate dintre particulele de-a-lungul axului A³ din rețeaua cubică. În rețeaua cubică a blendei fiecare ion de Zn este înconjurat tetraedric de 4 ioni de S și invers fiecare ion de S este înconjurat tetraedric de 4 ioni de Zn. În felul acesta planul (011) de dodecaedru romboidal are particularitatea de a conține toate cele patru forțe de legătură în timp ce planele (111) numai una din cele patru forțe. Coeziunea cea mai scăzută va apărea deci între planele paralele cu fața de dodecaedru.

În sarea gemă (halit) ar trebui, de asemenea, la prima vedere, să asistăm la un clivaj perfect după fața de octaedru. În fapt, clivajul este cubic. Distribuția materiei în rețeaua NaCl arată că fiecare ion de Na este înconjurat de 6 ioni de Cl și invers, iar liniile de legătură spre cei 6 ioni vecini sunt paralele cu muchiile de cub. De aceea fața de cub (001) joacă același rol ca și fața (011) de la blendă în care întâlnim 4 sau 6 linii de forță spre deosebire de fața de octaedru unde întâlnim numai una respectiv două din aceste forțe.

Diamantul prezintă o structură reticulară de tipul blendei unde locurile Zn și S sunt înlocuite prin atomi de C; prin asemănare ar trebui ca diamantul să indice ca și la blendă un clivaj după (011). În realitate la diamant clivajul este după fața de octaedru fapt impus probabil de tipul de legătură dintre atomii de C, care este de altă natură decât legăturile heteropolare prezente la blendă. Nici acest factor însă, modul de legătură, nu trebuie absolutizat, deoarece, există compuși heteropolari care nu se comportă conform regulei stabilite la blendă. Astfel fluorina compus heteropolar și cu structură foarte apropiată de a blendei (pe fiecare muchie de cub și în centrul fețelor apar ioni de Ca²⁺, iar în centrul celor 8 cuburi mici la distanța $\frac{a}{2}$ apar ioni de F⁻) nu prezintă același tip de clivaj cu blenda deși direcțiile forțelor de legătură între Ca²⁺ și F⁻ sunt aceleași ca și în cazul blendei. Aici clivajele sunt de tip octaedric ca și la diamant.

Rezultă din aceste exemplificări că sunt mai mulți factori care influențează clivajul; densitatea reticulară, echidistanțele dintre plane, tipurile de legături dintre particulele constitutive. Suprafața cea mai bună de clivaj este influențată predominant de densitatea reticulară, apoi de echidistanțele stabilite și în final de tipul de legătură dintre particule, deci mai precis de direcțiile de forțe existente între atomii sau ionii vecini.

3.2.2. Principalele tipuri de clivaj și spărtură

În practică este important să deosebim acele tipuri de clivaj care ne pot ajuta la recunoașterea mineralelor. Acestea pot fi clasificate:

- a) după direcțiile de minimă coeziune în forma cristalografică (fig. 37, 38).
- b) după calitatea fețelor obținute prin clivare

In primul caz deosebim :

La sistemul cubic, minimele de coeziune coincid cu A⁴ A³ sau A², deci trei plane de clivaj.

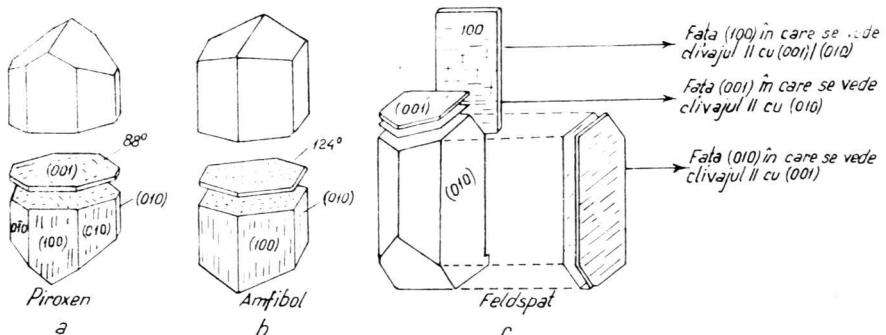


Fig. 37. Diferite tipuri de clivaj ;a) piroxen ; b) hornblendă ; c) feldspat.

- (100) — clivaj cubic (A^4) caracteristic la halit (fig. nr. 38 a), galenă pirită ;
- (111) — clivaj octaedric (A^3) caracteristic pentru diamant și fluorină (fig. 38 b) ;
- (110) — clivaj dodecaedric (A^2) caracteristic pentru blendă.

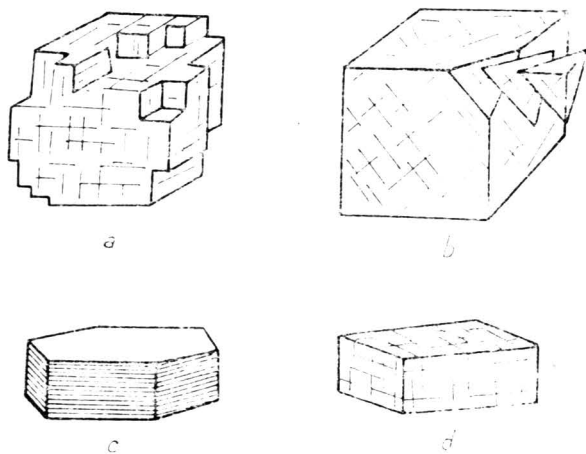


Fig. 38. Clivajul la : a) halit — clivaj cubic ; b) fluorină — clivaj octaedric ; c) clivaj bazal la mice ; d) clivaj bazal și prismatic la baritină.

La sistemul hexagonal minimele de coeziune corespund mai ales cu direcțiile axului principal și mai rar pe direcții perpendiculare pe acest ax sau pe normala unei bipiramide.

Clivajul poate fi :

(0001) pinacoidal (bazal) caracteristic la beril, grenockit

- (1010) prismatic caracteristic la apatit, pirotină
(1011) bipiramidal caracteristic la piromorfit, mimitit, benitoit.

La sistemul tetragonal întâlnim aceleasi tipuri de clivaje pinacoidal, prismatic și bipiramidal.

- (001) pinacoidal (bazal) întilnit la torbernit, hausmanit
(111) bipiramidal întilnit la scheelit
(110) prismatic întilnit la anatas, casiterit, piroluzit, rutil.

La sistemul trigonal apar două tipuri de clivaj

- (0001) pinacoidal (bazal) la grafit
(1011) romboedric la calcit, siderit.

La sistemul rombic apar următoarele tipuri de clivaj :

- (001) pinacoidal la baritină, anhidrit
(100) pinacoidal transversal la anhidrit
(010) pinacoidal lateral la anhidrit
(110) prismatic la aragonit, baritină
(111) bipiramidal la sulf.

La sistemul monoclinic distingem ca și la sistemul rombic clivajele :

- (001) pinacoidal (bazal) la mice, talc, clorite (fig. 38 c).
(010) pinacoidal lateral la gips, ortoză (fig 37 c).
(110) prismatic caracteristic la piroxeni și amfiboli (fig. nr. 37 a și b).
(100) pinacoidal transversal la gips, mirabilit
(111) bipiramidal la gips, kieserit.

La sistemul triclinic se întâlnesc trei tipuri de clivaje pinacoidale :

- (001) pinacoidal (bazal) la plagioclazi
(010) pinacoidal lateral la plagioclazi, disten
(100) pinacoidal transversal la disten.

In cel de al doilea caz deosebim :

— Clivaj perfect (ex. : mice, clorite). Cristalul se poate desface în foi subțiri cu ușurință, nu se mai obține vreo altă spărtură decât suprafața netedă a planului de clivaj, prezintă luciu sidefos.

— Clivaj foarte bun (ex. : calcit, baritină, feldspați) desfacerea se face destul de ușor, fața de clivaj, este în continuare netedă și prezintă un luciu sticlos.

— Clivaj bun (ex. : fluorină, amfiboli, piroxeni), desfacerea planului de clivaj este mai dificilă, se obține totdeauna prin lovire cu o forță exterioară, apar fragmente care amintesc de forma adevărată a cristalului.

— Clivaj slab¹ (ex. : olivină, granați), desfacerea se realizează după fețe mai puțin plane cu suprafața în trepte sau în formă concoidală și cu un luciu gras.

— Spărtura, desfacerea se realizează după linii orientate după foarte multe direcții cristalografice, determinind la lovire suprafețe neregulate, astfel încât nu mai putem vorbi de clivaje. După modul în care se face spargerea mineralului deosebim, spărturi concoidale (suprafețe curbe, cu

¹ Acest tip de clivaj este denumit de unii autori (Betehtin, Lațiu etc) imperfect denumire pe care o considerăm neadecvată în contextul acestei clasificări.

luciu gras sau unsuros), de exemplu, la cuart, opal, sticla ; spărturi aşchi-oase sau colțuroase la vezuvian, argint ; spărturi fibroase, de exemplu, la gips, varietatea selenit.

3.3. ELASTICITATEA ȘI PLASTICITATEA

3.3.1. Noțiuni privind deformarea mecanică a mineralelor

În stare gazoasă substanțele nu au formă proprie. Cind nu acționează forțe exterioare asupra lor, gazele ocupă uniform tot spațiul care le stă la dispoziție. Forțele exterioare pot determina neuniformități în ceea ce privește volumul, densitatea și presiunea internă.

Lichidele nu au formă proprie însă au un volum constant la temperatură constantă. Cind asupra lor acționează forțe exterioare, lichidele îmbracă forma recipientului în care sunt conținute, formind perpendicular pe direcția forței, suprafețe plane (suprafețele mărilor și oceanelor).

Solidele au formă proprie și volum constant. Cind asupra mineralelor (solidelor cristalizate) acționează forțe exterioare, ele suferă modificări în ceea ce privește forma sau dimensiunea dar în limita accluași volum. Noua formă realizată este determinată de o cauză numită deformație. În funcție de natura forței, direcția ei sau direcția de acțiune, deformările pot fi clasificate în deformări reversibile și deformări ireversibile. Primele reprezintă proprietățile elastice, cel de al doilea tip deformările plastice și rupturale.

3.3.2. Elasticitatea

Elasticitatea este caracteristică mineralelor care supuse forțelor exterioare (solicitări mecanice unilaterale) pot reveni la forma, dimensiunile inițiale în momentul închecării acțiunii mecanice exterioare. Revenirea la forma inițială a mineralelor este posibilă în cazurile în care forța mecanică exterioară nu depășește anumite limite impuse de rezistența solidului cauzată de coeziune*. Mărimea deformării în fenomenul de elasticitate este proporțională cu solicitarea conform legii lui Hooke (1676).

$$\Delta x = KF$$

unde Δx = mărimea deformării elastice

F = mărimea forței ce acționează

K = o constantă care variază cu tipul de deformare și de natura mineralului (structură, chimism).

O bară de lungime L , de secțiune S supusă unei forțe de întindere suferă conform legii lui Hooke

$$\frac{\Delta L}{L} = K \frac{F}{S} = \frac{1}{E} \cdot \frac{F}{S}$$

* elasticitatea diferitelor substanțe cristalizate, este concretizată prin „coeficientul de elasticitate” (numit și coeficient de alungire sau de comprimare) al lor sau inversul acestuia „modulul de elasticitate”.

K = coeficientul de elasticitate care este alungirea unei bare de 1cm lungime, secțiune transversală de 1 cm^2 , sub acțiunea unei forțe de tracțiune de 1 kg.

E = modulul de elasticitate este forța exprimată în kg/forță necesară ca o bară de 1 cm lungime și secțiunea de 1 cm^2 să suferă o alungire elastică de 1 cm. E = este exprimat în g/cm^2 sau g/mm^2 iar în sistemul MKfs în Kgf/m^2 .

La corporile amorfice E are o valoare egală în toate direcțiile. Pentru corporile cristalizate E este o mărime vectorială. Suprafața de elasticitate (suprafața infășurătoare a vectorului E) depinde de sistemul de simetrie a mineralului și apare mai complicată decât indicatricea.

Sunt 9 simetrii de elasticitate cu următoarele constante de elasticitate necesare definirii lor.

Sistemul cubic clasa holoedrică } — 3 constante

Sistemul pătratic clasa holoedrică }
clasa tetragonală bipiramidală } — 6 constante

Sistemul hexagonal clasa holoedrică } — 7 constante

Sistemul trigonal clasa holoedrică }
clasa primitivă trigonală piramidală } — 7 constante

Sistemul rombic clasa holoedrică } — 9 constante

Sistemul monoclinic clasa holoedrică } — 13 constante

Sistemul triclinic clasa holoedrică } — 21 constante,

Elasticitatea cristalelor este dependentă de simetria reticulară (a rețelei) și în cadrul aceleiași simetriei de distanță dintre particule.

Interesante sunt formele curbelor de elasticitate trasate pe diferite fețe cristalografice, care sunt specifice speciei de mineral (fig. 39).

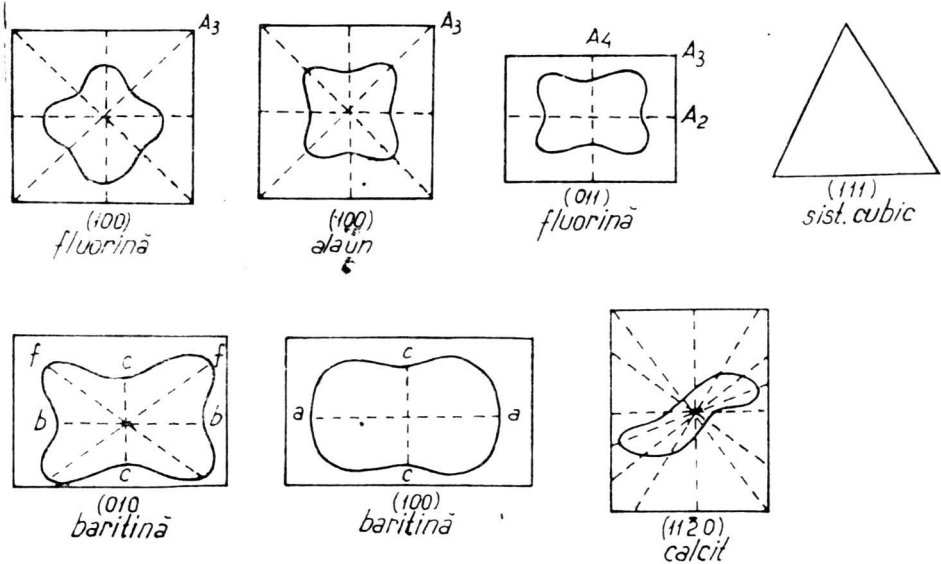


Fig. 39. Curbe de elasticitate obținute pe diferite fețe cristalografice la fluorină, alaun, baritină și calcit.

Din aceste figuri se pot deduce coeficienții de elasticitate specifici sistemului în care cristalizează mineralul și ele reprezintă intersecția unui plan (față) cu suprafața de elasticitate).

Deformarea cauzată de o forță este cu valoare mai mică cu cît rezistența elastică a mineralului (modulul de elasticitate) este mai mare.

În tabelul următor sunt dați modulii de elasticitate pentru cîteva minerale pe principalele direcții cristalografice (Kissling, 1979)

Halit $[100] = 4170 \text{ kg/mm}^2$; $[110] = 3400 \text{ kg/mm}^2$; $[111] = 3180 \text{ kg/mm}^2$
Fluorina $[100] = 13940 \text{ kg/mm}^2$; $[110] = 9527 \text{ kg/mm}^2$; $[111] = 9100 \text{ kg/mm}^2$.

Calcit $[10\bar{1}0] = 5010 \text{ kg/mm}^2$

Cuarț $[1010] = 10304 \text{ kg/mm}^2$

Sticla 7915 kg/mm^2 .

Mineralele sunt mai puțin elastice în raport cu metalele. La minerale se observă diferențe în ceea ce privește valoarea elasticității, valori care pot fi folosite la determinări calitative. Astfel mineralele se împart în :

— minerale cu elasticitate ridicată, ele se pot îndoia puternic fără să-și piardă elasticitatea. exemplu mici ;

— minerale cu elasticitate mică, ele nu se îndoiaie decât puțin uneori răminind în continuare îndoite după închiderea acțiunii externe, exemplu : gipsul, talcul, cloritul ;

— minerale care se îndoiaie ușor, dar au coeziune foarte mare, este cazul mineralelor maleabile și ductile exemplu : aurul, argintul, cuprul, calcozina, argentitul ;

— minerale cu elasticitate mică și coeziune mică, este vorba de mineralele casante ca exemplu : stibiul, cuarțul, tetraedritul.

Această proprietate este folosită în geofizică la stabilirea limitelor de separație între două medii naturale diferite. Metoda se bazează pe evidențierea diferențelor viteze de propagare a undelor elastice în diferite minerale și roci ; de exemplu : în formațiunile sedimentare $v < 2000 \text{ m/s}$ și în formațiunile cristaline și eruptive $v \approx 5000 \text{ m/s}$.

3.3.3. Plasticitatea

Dacă intensitatea forței exterioare care acionează asupra unui cristal este la limita de elasticitate a mineralului, dar fără ca prin acțiunea ei cristalul să-și piardă coeziunea, atunci deformarea pe care o suferă cristalul este permanentă, iar despre cristal se spune că este plastic.

Deformațiile plastice* sunt explicate astfel : acțiunile mecanice orientate, exercitate asupra cristalelor acionează asupra particulelor constitutive, acestea suferind deplasări pe un anumit plan sau pe-o oarecare direcție fără ca prin aceste deplasări cristalul să se desfacă. Aceste deplasări se pot efectua fie în mod regulat fie cu totul întâmplător. În cazul unor deplasări regulate sub acțiunea unei forțe mecanice orientate,

* Deformațiile ireversibile (neelastice) se sub împart în două tipuri, deformațiile plastice propriu-zise (translație, laminare, mărci mecanice), și deformațiile rupturale (clivajul, duritatea).

vorbim de alunecări simple care conduce la aşa numitele „macle prin presiune“ iar în cazul deplasărilor întâmplătoare a unor porțiuni din masa cristalului, o alunecare în trepte sub acțiunea forței mecanice, obținem aceea ce cunoaștem sub numele de „fenomene de translații mecanice“.

a) *Alunecări simple sau macle mecanice*. Unele specii minerale au o plasticitate relativă, ele prezintă o deplasare a unei porțiuni din masa lor sub formă unor translații de plane reticulare cînd sunt supuse unor presiuni reduse și stau într-o poziție simetrică față de partea rămasă nedeformată. Aceste alunecări se produc cu multă ușurință chiar în cursul operației de șlefuire a unei secțiuni subțiri cînd se formează astfel de macle mecanice adeseori polisintetice, după un plan de alunecare care corespunde unei fețe de romboedru.

Reproducerea pe cale experimentală a fenomenului de maclare mecanică poate fi realizată dacă se apasă lama unui cuțit aplicată vertical pe muchia obtuză a unui romboedru de calcit (fig. 40) obținut prin clivaj dintr-un cristal bine dezvoltat. În acest caz o formațiune din masa cristalului solicitată, se deplasează prin alunecare după un plan corespunzînd feței de romboedru, în direcția muchiei apăsată, așezîndu-se într-o poziție de maclă cu porțiunea nealunecată. Volumul părții deplasate nu s-a modificat, de asemenea unghiul pe care-l fac fețele care se întrelăsească cu muchia orizontală rămîne același.

În schimb s-au produs următoarele modificări cristalografice.

— vîrful a, (fig. 40) care era un vîrf polar A^3 , a devenit un colț lateral a'; iar colțul b, lateral a devenit polar b'. Deci A^3 iese acum din

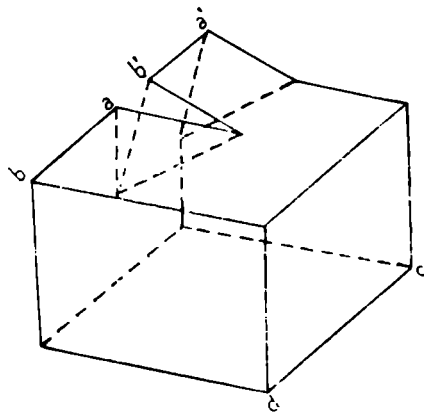


Fig. 40. Alunecare simplă (maclă mecanică) la calcit.

cristal prin colțul b' și este în poziție de maclă cu A^3 neschimbat al cristalului.

— față care trunchia vîrful a' [adică baza (0001)] nu va mai fi bază, deci unele fețe își schimbă indicii.

În cristalul supus acțiunii de deformare plastică există două direcții de plane ale căror drepte nu suferă nici o schimbare de lungime. De asemenea în toate direcțiile cuprinse în aceste două sectoare de plane, distanțele între puncte rămân aceleași și după deformare. În toate celelalte direcții, punctele din poziția inițială de pe o dreaptă stau tot pe aceeași dreaptă în poziție deplasată dar la distanțe între ele mai mari sau mai mici. Direcțiile din cele două plane care nu suferă schimbări în lungime sunt planele paralele cu planul ce separă partea deplasată de partea fixă a cristalului deci cu planele paralele cu diagonala scurtă a feței de romb. Dacă exercităm o presiune unilateră asupra unei sfere de calcit, prin deformare, sfera devine un elipsoid turtit, deci alunecarea simplă este o proprietate elipsoidală. Alunecarea se face numai dintr-un singur sens al direcției, este deci polară. Componenta de alunecare este o fracțiune de parametru. În structura maclei mecanice partea deformată stă în poziție simetrică prin reflexie față de partea nedeformată (fig. 41) în raport cu planul de alunecare, care devine plan de maclă.

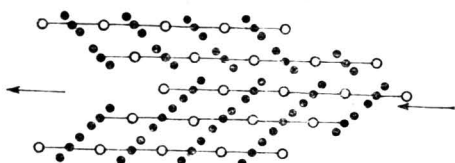


Fig. 41. Explicarea structurală a maclei după față (0112) prin alunecare simplă.

La calcit o presiune foarte mică poate produce mace mecanice. Astfel, în masa diferitelor varietăți de marmoră rezultă în urma recristalizării sub presiune în procesele naturale de metamorfism a calcarului, indivizi granulari de calcit care apar în secțiuni subțiri sub formă de lamele constituite din mace mecanice polisintetice.

b) *Translații mecanice*. Numeroase specii de minerale cristalizate, solicitate unilateral fără a se depăși limitele lor de coeziune, încearcă deplasări treptate, deci alunecări în trepte fără formare de mace, fenomene numite „translații“. Este un fenomen mecanic, care reprezintă un nou aspect al deformației lor plastice. Acest fenomen mecanic de alunecare în trepte este în funcție de intensitatea și de durata acțiunii forței solicitatoare și se petrece ca și cind cristalul solicitat, ar fi constituit din pături paralele ca un pachet de cărți sau plăci de sticlă suprapuse.

În general translația treptată a unei porțiuni din masa cristalului se petrece după un anumit plan și într-o anumită direcție. Deci prin translație înțelegem alunecarea unor pachete reticulare paralele de grosimi diferite, dintr-un cristal, de-a-lungul unor plane reticulare, care sunt de obicei plane de densitate mare putind fi uneori și plane de clivaj.

Direcția în care se face translația este un sir reticular cu parametri mici (fig. 42). Planul de translație se notează cu T iar direcția de translație este notată cu $\tau(t)$. Planul de translație corespunde unor fețe cristalografice cu indici raționali mici, care însă nu trebuie să se confundă cu fețele de clivaj, iar deplasarea în acest plan după direcția de translație este arbitrară. În ceea ce privește orientarea cristalografică a fețelor de translație după care nu se produce o segmentare a cristalelor ca în cazul clivajului, acestea sunt orientate de cele mai multe ori perpendicular pe direcția de maximum de coeziune. Grosimea păturilor alunecate paralel în planul de translație este foarte redusă.

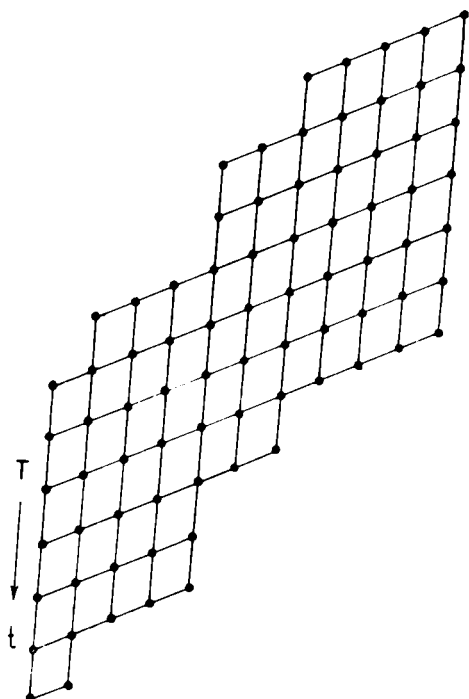


Fig. 42. Explicația structurală a translațiilor : T = plan de translație. t = direcția de translație.

Planul de translație este frecvent un plan de simetrie al speciei de cristal, deformat plastic prin alunecare. Alunecarea se face în ambele sensuri ale direcției este deci bipolară. Componența de translație este cel puțin egală cu o perioadă întreagă. Prin alunecare din punct de vedere structural vor fi mereu față în față particule constitutive (ioni) încărcați cu electricitate contrară, păstrîndu-se astfel coeziunea cristalului. Un exemplu este oferit de plasticitatea halitului.

Planele de translație ale halitului sunt fețele (110) iar direcțiile de translație sunt $\parallel [1\bar{1}0]$ direcția unei axe A². Șirurile reticulare deplasate sunt formate din ioni de semn contrar dispuși față în față rămînind

astfel, ori care ar fi amplitudinea translației (fig. 43). Planele de translație sunt multiple, deci cristalele de halit pot fi orientate favorabil în cimpul de forțe tangențiale. Deci un zăcămînt de halit supus unei presiuni orientate se va deforma plastic luind forma unui dom ce se deplasează pe verticală boltind stratele sedimentare sau străpungîndu-le (fig. 44). Acest fenomen este cunoscut sub numele de diapirism și a fost studiat de L. Mrazec (1907) în zona subcarpatică. Un alt exemplu este plasticitatea gheții identificat frecvent prin curgerea ghețarilor.

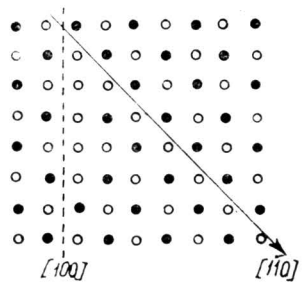


Fig. 43. Translație mecanică de-a lungul lui A^2 la halit.

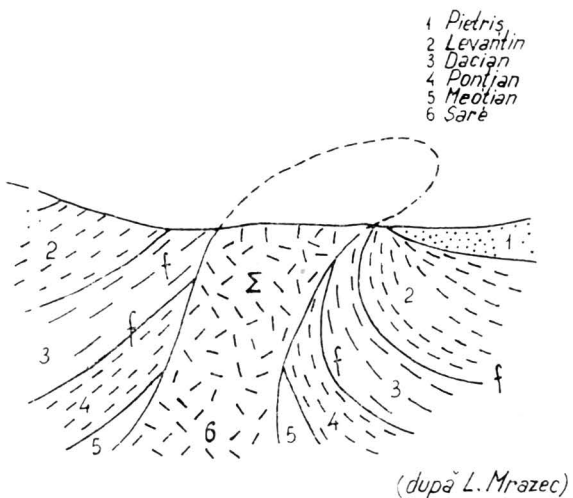


Fig. 44. Imaginea unei lame diapire de sare în profilul de la Moreni, Băicoi, (după L. Mrazec).

Tot cu ajutorul translațiilor se explică și maleabilitatea și ductibilitatea metalelor, fenomene care decurg din existența unor plane de translație în rețeaua cristalină. Planele de translație sunt plane de densitate reticulară maximă. Exemplu la sistemul cubic planele cu densitate maximă sunt cele de octaedru care admit fiecare trei direcții de translație [110]. În această structură cristalizează cuprul, aurul, argintul, aluminiul, calciul, fierul, plumbul, platina, iridiul, paladiumul care se comportă ca cele mai ductibile și maleabile metale.

c) *Figurile de percusiune și de presiune.* Atunci cînd sunt supuse la solicitări mecanice prin percusiune sau presiune unele specii de minerale cristalizate, conduc la figuri caracteristice a căror simetrie este în acord cu simetria fețelor în planul căror au fost provocate.

Prin o ușoară lovire aplicată de un iac de otel cu un vîrf ascuțit plasat în poziție perpendiculară pe planul unei fețe de cub a unui cristal de halit, astfel încît acesta să pătrundă puțin în masa cristalului, se obține o figură de percusiune caracteristică cristalului de sare, figură constituită din două brațe principale paralele cu fețele de dodecaedru

romboidal (110) și care apar în cimpul feței de cub (001) în forma de două crăpături diagonale, reprezentând direcții de translație. Ambele crăpături străbat un sistem de fisuri fine, paralele fețelor de cub (fig. 45), reprezentând de astă dată direcții de clivaj. În schimb pe o față de octaedru a unui cristal de halit se obține în condiții identice o figură de percusiune în formă de stea cu trei brațe orientate de asemenea paralel cu fețele de dodecaedru romboidal corespunzînd unor direcții de translație.

Simetria acestor figuri devine evidentă în cazul cristalelor trigonale de calcit. Pe fața de romboedru a unui cristal se obține o figură monosimetrică, iar pe față sa bazală preparată în acest scop prin tăiere o figură trisimetrică (fig. 46).

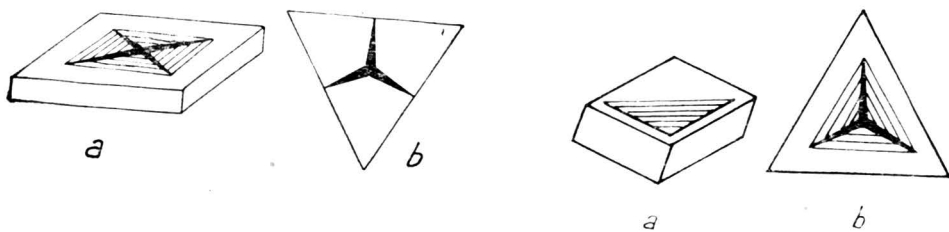


Fig. 45. Figuri de percusiune la un cristal de halit: a) pe față (100); b) pe față (111).

Fig. 46. Figuri de percusiune la un cristal romboedru de calcit: a) monosimetric; b) trisimetric.

De asemenea sunt caracteristice pentru cristalele monoclinice pseudohexagonale de mică, albă și neagră, figurile de percusiune alături de cele de presiune. În planul unei fețe de clivaj după față bazală (001) de muscovit sau biotit se obține prin lovire cu un vîrf ascuțit o figură în formă de stea cu șase brațe din care brațul lung este orientat paralel cu fața de clinopinacoid (010), brațele figurii reprezentând în acest caz clivajele (fig. 47 a).

Dacă se apasă pe o lamelă de clivaj, similară de muscovit sau biotit se obține o figură de presiune, de asemenea în formă de stea cu șase brațe, însă altfel orientate, cu brațul mai lung perpendicular pe direcția feței de clinopinacoid (010), brațele figurii reprezentând de astă dată direcții de translație (fig. 47 a).

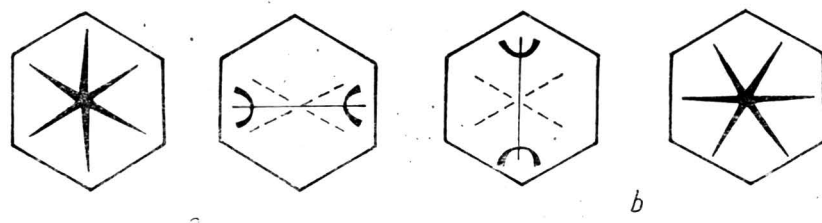


Fig. 47. Figuri de percusiune și presiune la un cristal de mică: a) presiune brațul lung φ (010); b) percusiune, brațul lung II pe (010).

4. PROPRIETĂȚI OPTICE

4.1. PROPRIETĂȚI OPTICE MACROSCOPICE

4.1.1. Considerații teoretice

4.1.1.1. Natura și comportarea radiațiilor luminoase

Despre natura luminii s-au purtat discuții controversate începând din a șaptea decadă a secolului XVII-lea și pînă în a treia decadă a secolului XX.

Newton (1669) a emis teoria corpusculară a luminii, iar Huygens (1690) a demonstrat propagarea luminii prin unde similar cu propagarea undelor care traversează apă pentru, ca Young și Fresnel (1817 și 1824) să arate că în anumite condiții undele luminoase se polarizează și interferă cu ele însăși.

Teoria ondulatorie a luminii este în strînsă concordanță cu conceptul lui Maxwell (1873) care specifică că lumina are proprietăți congruente cu oricare radiație electromagnetică. Astfel undele de lumină sunt niște perturbații luminifere cu comportament analog undelor electromagnetice și care se propagă în tot universul*. Modul în care se propagă cimpul electromagnetic este unda electromagnetică. Radiațiile electromagnetice pot fi privite însă atât sub aspect ondulatoriu cât și sub aspect corpuscular.

Aspectul ondulatoriu al radiațiilor electromagnetice se bazează pe propagarea continuă a energiei radiante și se explică prin formarea suprafetelor de undă, după principiul lui Huygens. Fenomenele ce pun în evidență aspectul ondulatoriu al radiațiilor electromagnetice sunt reflexia, refracția, dispersia, interferența, difracția, polarizarea. Toate aceste fenomene au putut fi puse în evidență pentru toate tipurile de radiații electomagnetic : herțiene, termice și de frânare.

Totuși conform legii lui Planck, energia radiantă este emisă și absorbită sub formă de cuante. Existența cuantei de energie radiantă și o serie de alte fenomene au scos în evidență caracterul corpuscular al radiațiilor electromagnetice. Einstein a introdus pentru cuanta de energie electromagnetice denumirea de foton**, tot el a definit pentru această

* Relațiile lui Maxwell arată interdependența între cimpul electric și cel magnetic. Variația sinusoidală în timp a unui cimp magnetic produce un cimp electric al cărui rotor este diferit de zero. Expresia acestui cimp electric $\vec{E} = \vec{A} \cos(\omega t - \varphi)$ arată că în timp cimpul electric de forma menționată produce un cimp magnetic variabil în timp și.m.d. Această înlătuire în timp a unui cimp magnetic rotațional cu un cimp electric rotațional este ceea ce se numește cimpul electromagnetic. Deci consecința interdependenței exprimată în relațiile lui Maxwell este formarea cimpului electromagnetic.

** Fotonul este o particulă fără masă de repaus ; el are o masă de mișcare și dată de relația $h\nu = \mu c^2$ în care h = constanta lui Planck, ν = frecvență, μ = masa de mișcare, c = viteza luminii în vid. Deosebirea fundamentală între foton și particulele care intră în constituția substanței constă în faptul că aceste particule au masa de repaus diferită de zero, pe cind fotonul are masa de repaus zero. Particulă cu masă de repaus nulă este și neutrinul considerat tot în „categoria de substanță”. Masa fotonului are proprietăți gravitaționale ca și masa oricărui corp.

particulă noțiunile de masă și impuls. Prin teoria cuantelor Einstein (1905) a redeschis din nou controversa asupra naturii luminii.

Rezolvarea problemei naturii dualiste a luminii a fost punctată printr-un argument enunțat pentru prima dată de L. de Broglie în 1922. El a subliniat faptul că la unele radiații electromagnetice de același tip se întâlnesc fenomene care arată atât comportarea ondulatorie cât și aceea corpusculară, efecte, observate pentru radiațiile Röntgen la difracția în interacțunea cu rețelele cristaline, la efectul fotoelectric și efectul Compton. La alte radiații electromagnetice predomină însă numai una din proprietățile amintite mai sus. Astfel pentru radiațiile herțiene, infraroșii și vizibile ale căror frecvențe sunt mai mici și lungimi de unde mari experimental s-a constatat, existența în principal a fenomenelor ondulatorii, în timp ce pentru radiațiile ultraviolete, Röntgen, gama, ale căror frecvențe sunt foarte mari, și lungimi de unde foarte mici, experimentele pun în evidență cu precădere comportarea corpusculară. Dualitatea undă-corpuscul există pentru toate radiațiile electromagnetice dar la fiecare tip de radiații în funcție de frecvența lor, predominant unul sau altul din aspectele undă sau corpuscul. Energiile mici ale fotonilor care au frecvențe mici, indică efecte la care aspectul corpuscular este mascat de aspectul ondulatoriu. Deci la radiațiile cu frecvențe mici, și cu lungimi de undă mari, predominant aspectul ondulatoriu datorat de regulă prezenței simultane a unui număr foarte mare de fotonii cu energie individuală foarte mică. Pentru radiațiile cu frecvențe mari și cu lungimi de undă mici predominant aspectul corpuscular, aspectul ondulatoriu fiind de astă dată el mascat, din cauza unui număr mic de fotonii ale căror energii individuale sunt foarte mari (tabelul nr. 4). Mărimea folosită pentru caracterizarea radiațiilor electromagnetice diferă în funcție de aspectul predominant, ea este energia fotonului sau impulsul acestuia (în domeniul cu frecvență mare) și frecvența undei sau a lungimii de undă (în acel al radiațiilor cu frecvență mică).

Tabel Nr. 4
Caracterele principale ale spectrului radiațiilor electromagnetice

Domeniul	Frecvența	Lungimea de undă	Aspectul predominant	Mărimea caracteristică
{ Herțian Infraroșu Vizibil	mică	mare	ondulatoriu	Frecvența undei
{ Ultraviolet Röntgen Gama	mare	mică	corpuscular	Energia fotonului

Impulsul fotonului în vid se exprimă prin relația :

$$p_v = \mu \cdot c = \frac{hv}{c} \quad c = \text{viteza luminii în vid}$$

$\mu = \text{masa de mișcare}$

și folosind relația $v \cdot \lambda_v = c$

obținem

$$p_v = \frac{h}{\lambda_v}$$

λ = lungimea de undă în vid

p_v = impulsul fotonului în vid

v = frecvență

h = constanta lui Planck

Această relație exprimă legătura dintre impuls, mărime corpusculară și lungimea de undă, mărime ondulatorie, adică între mărimile caracteristice ale celor două aspecte ale unei radiații electromagnetice. Această expresie reprezintă una din relațiile cele mai importante ale fizicii cuantice.

Într-un alt mediu decât vidul, fotonul are impuls p_m deplasat cu viteza de grup, u , diferită în general de viteza de fază v a radiației electromagnetice asociată. În acest caz relația se poate scrie sub forma:

$$p_m = \frac{h}{\lambda_m}$$

h = constanta lui Planck

p_m = impulsul fotonului într-un mediu dat

λ_m = lungimea de undă a radiației electromagnetice asociată fotonului în mediul considerat.

Mărimile caracteristice fotonului și undei asociate, pentru cele două aspecte ale unei radiații electromagnetice la trecerea din vid într-un mediu oarecare se prezintă $p_m < p_v$ și deci $\lambda_m > \lambda_v$ iar pentru impulsul în mediu $p_m = h/\lambda_m$ în timp ce impulsul în vid $p_v = h/\lambda_v$. Reprezentarea și mărimile caracteristice fotonului și undei asociate sunt redate în fig. nr. 48.

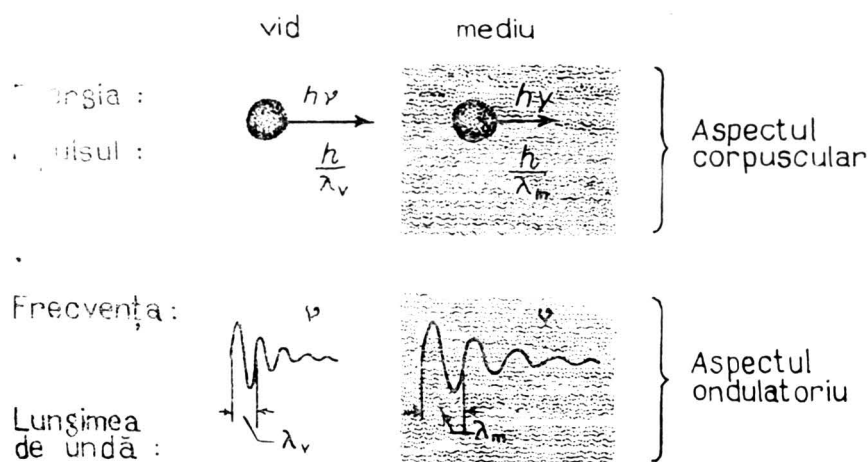


Fig. 48. Reprezentarea și mărimile caracteristice fotonului și undei asociate pentru cele două aspecte ale unei unde electromagnetice.

Mărimile corpusculare W și p sunt legate de cele ondulatorii prin constanta lui Planck, iar mărimile ondulatorii ν și λ sunt legate de cele corpusculare prin constanta c . Aceste afirmații reies din relațiile :

$$W = h\nu \text{ și } p = \frac{h}{\lambda}$$

$$\text{și } \nu h = c \text{ și } W = p \cdot c$$

Relația dintre impulsul p și lungimea de undă λ conform celor arătate se exprimă prin expresiile :

$$p = h/\lambda \text{ sau}$$

$$\lambda = h/p$$

și este cunoscută ca „relația lui de Broglie“.

Pornind de la aceste date de observații de Broglie a intuit că perioicitatea din comportarea undei poate fi asimilată și la electronii de pe orbitele atomilor. Generalizând deci, unei particule care este în mișcare și are un impuls (p) își poate asocia o undă caracterizată prin lungimea (λ) exprimată prin relația lui de Broglie. Undele asociate particulelor se numesc unde de Broglie și sunt asociate particulelor cu masa de repaus, așa cum undele electromagnetice sunt asociate protonilor (particule fără masă de repaus). Deci radiațiile electromagnetice ca și radiațiile corpusculare prezintă atât proprietăți ondulatorii cât și proprietăți corpusculare.

Impulsul poate fi exprimat fie în funcție de viteza (v) pentru particulele nerelativiste fie în funcție de factorul Lorentz (γ) pentru particule relativiste. În primul caz $p = mv$, în al doilea caz $p = m_0 c \sqrt{\frac{1}{\gamma} - 1}$. Deci lungimea de undă din formula lui de Broglie se poate scrie și :

$$\lambda = \frac{h}{vm} \text{ nerelativist}$$

și

$$\lambda = \frac{h}{m_0 \cdot c \sqrt{\gamma - 1}} \text{ relativist}$$

relații din care se remarcă că λ este cu atât mai mică cu cit masa particulei este mai mare la viteză constantă, iar pentru aceeași particulă λ , variază în raport de viteză și anume scade simultan cu creșterea vitezei.

În fig. nr. 49 este dat spectrul undelor de Broglie pentru particulele : electroni, protoni și neutroni.

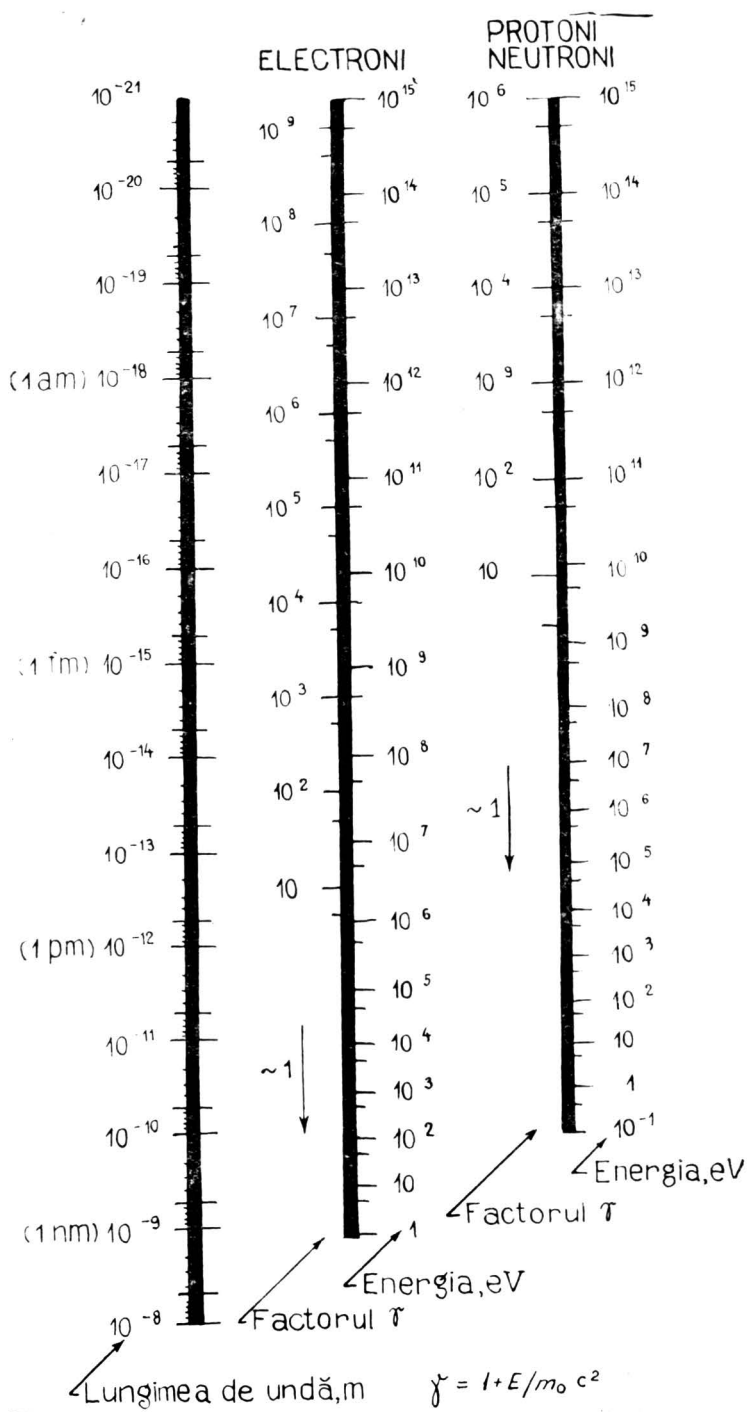


Fig. 49. Spectrul undelor de Broglie pentru electroni, protoni și neutroni. Lungimea de undă a undei de Broglie se citește pe orizontală corespunzătoare valorii energiei sau a factorului γ pentru particula respectivă ($\gamma = 1 + E/m_0 c^2$)

Între mărimele λ și v a undelor de Broglie există relația

$$V_f = v \cdot \lambda$$

unde V_f = viteza de fază a undei de Broglie.

Folosind relația $W = mc^2$ specifică particulei asociată undei și relația $W = h \cdot v$ (din legea lui Planck) deducem

$$v = \frac{W}{h} = \frac{mc^2}{h}$$

Introducând în relația care exprimă pe V_f și ținând seama că $\lambda = h/p$ și $p = mv$

$$V_f = \frac{W}{h} \cdot \frac{h}{p} = \frac{W}{p} = \frac{mc^2}{mv} = \frac{c^2}{v}$$

Cum viteza (v) nu poate să egaleze sau să depășească limita c, rezultă că totdeauna :

$$v < c \text{ iar } V_f > c$$

De unde rezultă că viteza v a particulei nu este egală cu viteza de fază a undei de Broglie (V_f). În schimb viteza de grup (u) a undei de Broglie este egală cu viteza particulei deci :

$$u = v$$

fenomen întîlnit și la foton unde viteza de deplasare a fotonului este egală cu viteza de grup a undei electromagnetice asociate.

Studiile referitoare la fenomenul de difracție a particulelor au impus realitatea teoriei ondulatorii a particulelor și deci existența undelor asociate (de Broglie). Davisson și Germer (1927) au stabilit experimental valoarea lungimii de undă a lui de Broglie ($\lambda \approx 17 \text{ nm}$) și au confirmat „legea lui de Broglie“. Aceleași date de observații au putut fi urmărite nu numai la electroni ci și la alte particule ca protoni, particule α , neutroni, mezoni etc.

Comportarea particulelor este de regulă o undă — și mai puțin ca un corpuscul — fenomen localizat în spațiu. Experimentele lui R. Feynman — care a încercat să arate existența interfe renței undelor asociate electronilor și să caracterizeze cantitativ aspectul ondulatoriu la particule, precum și stabilirea imprecizia la determinarea mărimeilor caracteristice ale particulelor (poziția, viteza, impulsul sau energia sa) demonstrează și de Heisenberg au indicat că nu se poate pune în evidență în același timp atât aspectul ondulatoriu cât și aspectul corpuscular specific particulelor.

4.1.1.2. Interacțiunea radiațiilor luminoase cu materia

Radiațiile luminoase (precum și alte tipuri de radiații electromagnetice : radiații infraroșii, radiații X, radiații γ) pot smulge electroni cu un material la interacțiunea lor cu acesta (fenomenul fotoelectric)

Fenomenul de scoatere, are loc prin interacțiunea-foton incident cu un electron care se găsește pe una din păturile atomului. Electronul din atom este considerat ca electron legat datorită forței de atracție excitată de nucleu asupra electronului încărcat cu sarcină contrară nucleului. Forța de atracție depinde de pătura pe care se găsește electronul în atom și de sarcina nucleului; această forță este considerată energie de legătură a electronului și se notează cu φ . Energia de legătură este cu atât mai mare cu cât electronul este mai aproape de nucleu și cu cât sarcina nucleului este mai mare.

În efectul de smulgere, energia fotonului ($h\nu$) este consumată fie total fie parțial ($h-\varphi$) cînd o parte de energie rămîne ca o energie cinetică E . Efectul de smulgere se produce numai dacă $h\nu > \varphi$.

Fotonii cu energii mici acționează numai asupra electronilor de pe pozițiile exterioare, (φ este mic) în timp ce fotonii cu energii mari acționează cu electronii de pe diferite orbite ale atomului, dar în deosebi asupra electronilor care au energia de legătură φ ceva mai mică decît energia $h\nu$ a fotonului incident. Dacă energia fotonului incident este foarte mare, depășind energiile de legătură ale electronilor prezenți în atomi, fotonul acționează eficient asupra electronilor de pe pătura K.

După smulgerea electronului, atomul devine încărcat cu sarcină pozitivă, iar eliberarea unui electron produce un loc liber în pătura electronică de pe care electronul a fost smuls. Acest loc se numește „vacanță electronică” și atrage imediat rearanjarea celorlăți electroni. Vacanța electronică poate fi ocupată fie printr-un electron de pe o pătură exterioară din atomul excitat cînd energia electronului eliberat (φ) este mai mare decît energia electronului adus (φ') și cînd ocuparea se produce cu eliberare de energie, fie de către un electron liber exterior atomului (cu $\varphi=0$) cînd ocuparea creează o energie sub forma unei radiații. Deci prin acest fenomen se eliberează electronul cu energie $E=h\nu-\varphi$, precum și fotonul cu energie $\varphi=\varphi'$ și fotonul cu energie φ .

La impactul radiațiilor luminoase cu materia minerałă se produc următoarele fenomene :

- reflexia, cînd undele se întorc în mediul din care au venit ;
- refracția, cînd undele traversează suprafața de separare a celor două medii, transmitere realizată prin modificarea direcției de propagare și modificarea vitezelor de fază ale radiațiilor electromagnetice.
- dispersia fascicolului de radiație, produsă la străbaterea unui mediu cînd viteză de fază a radiațiilor componente, nu este constantă, ea variind în funcție de lungimea de undă a radiațiilor din fascicol. Mediul respectiv se numește „mediu dispersiv”. Prin refracția undelor la intrarea în mediu dispersiv, alături de variația vitezei de fază, în funcțiile de lungimea de undă, va varia și indicele de refracție. În aceste condiții fascicolul de radiații electromagnetice se descompune în radiații monocromatice aşa cum se întimplă la descompunere luminii albe la trecerea printr-o prismă.

- absorbția, un fenomen care se desfășoară conform legii lui Planck cînd corpul absoarbe o cantitate de energie radiantă formată

întotdeauna dintr-un număr întreg de cuante. Mărimea cuantei de energie radiantă este proporțională cu frecvența ν a radiației electromagnetice $W = h\nu$, unde h = constanta lui Planck, a cărei valoare este dedusă în mod experimental și este egală cu $6,63 \cdot 10^{-34}$ J.s.

— interferența undelor reprezentată prin suprapunerea undelor cu aceleași lungimi de undă și cu diferență de fază.

— difracția undelor, un caz particular de interferență petrecut între undele același fascicol după ce acesta întâlneste o rețea sau un obstacol a căror dimensiuni sunt de ordinul de mărime al lungimilor de undă din fascicol.

În apariția unei proprietăți optice macroscopice importante cum este culoarea, un rol deosebit revine fenomenului de absorbție produs de materia solidă, ceea ce impune necesitatea unor referiri suplimentare asupra structurii atomului în concepția mecanică cuantice.

Pentru înțelegerea mecanismului de absorbție și emisie îndeosebi la atomii multielectronici, amintim existența orbitalilor s, p, d și f care diferă prin energia lor (fig. nr. 50). Diferențele acestea se explică prin faptul că electronii din orbitali s, sunt atrași mai tare, de sarcina pozitivă

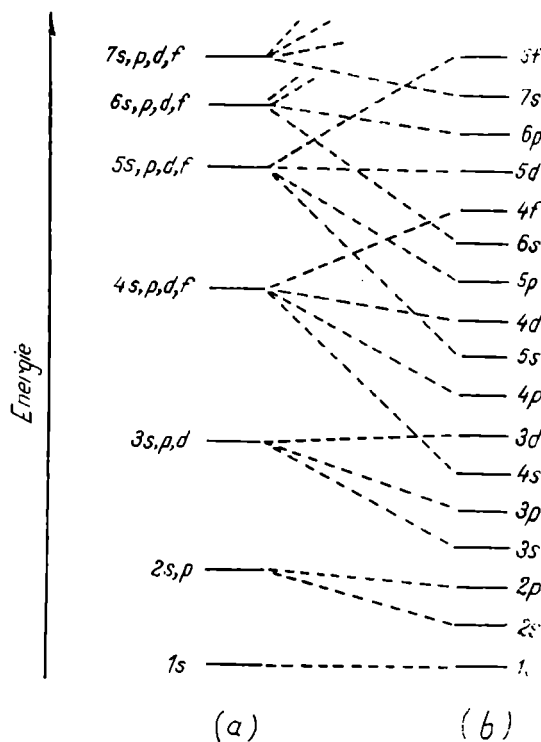


Fig. 50. Niveluri de energie (aproximative) a orbitalilor : a) în atomul de hidrogen ; b) în atomii multielectronici.

Ză nucleuluij decit aceia din orbitalii p, iar aceştia sint atraşi mai tare decit aceia din orbitalii d, etc. Orbitalii cu acelaş număr cuantic principal n constituie un strat de electroni; cei caracterizaţi prin acelaş număr cuantic azimutul 1, un substrat. Orbitalii aceluiaşii substrat au energii egale, deosebindu-se numai prin simetria lor în raport cu sistemul de coordonate. În atomii multielectronicî orbitalii se populează succesiv cu electroni și anume întii cei cu energie mai joasă, apoi cei cu energii din ce în ce mai înalte. În figura nr. 51 este prezentată schema de orbitali

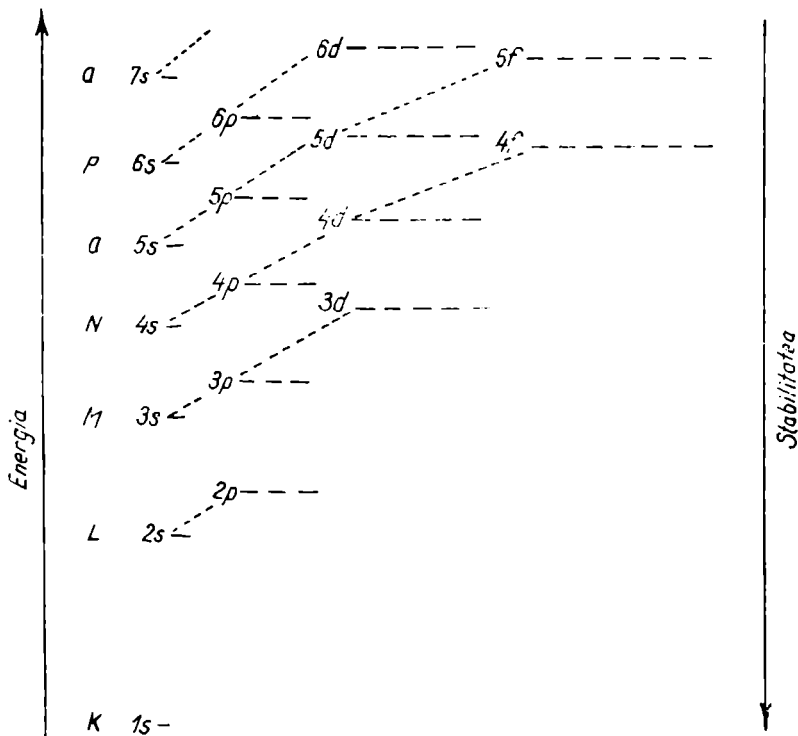


Fig. 51. Orbitalii atomici, reprezentaţi prin liniuţe, ai celor 104 elemente. Ordinea nivelurilor de energie și scara energiilor este arbitrară.

atomici care dă configurația electronică a atomilor precum și energiile caracteristice fiecărui orbital.

S-a arătat că în cazurile în care o energie radiantă interacționează cu un electron, energia radiantă este transferată electronului. Deseori electronul care a primit această energie倾de să se deplaseze de pe orbita proprie, spre o orbită cu o energie mai ridicată, energia radiantă în acest caz fiind absorbită de atom. Într-un cristal există numeroși atomi/ioni/molecule cu astfel de electroni capabili să absoarbă cuante radiante cu energii și lungimi de undă specifice tipului de electron excitat. În cazurile în care cuantele au energii mult prea mici, ele nu sint capabile de

a acționa asupra vreunui electron și deci, cuanta poate străbate cristalul. În felul acesta electronii cristalului acționează ca niște filtre pentru energiile radiante, unele radiațiile sunt absorbite altele sunt transmise. Fenomenul de absorbție este intensificat prin multiplele defecte de structură, de fisurile existente în cristal sau de impuritățile chimice incluse în cristal. În funcție de natura radiațiilor absorbite sau emise se obțin spectrele atomice sau moleculare, folosite deseori în explicarea culorii mineralelor.

Lumina albă este o combinație a tuturor lungimilor de undă din domeniul vizibil a) spectrului electromagnetic (fig. 52). De aceea tot ce se vede cu ochiul liber ca alb, este rezultatul combinațiilor de fotonii de diferite energii cuprinse între 0,32—0,61 eV (cu lungimi de undă între 390 și 760 nm).

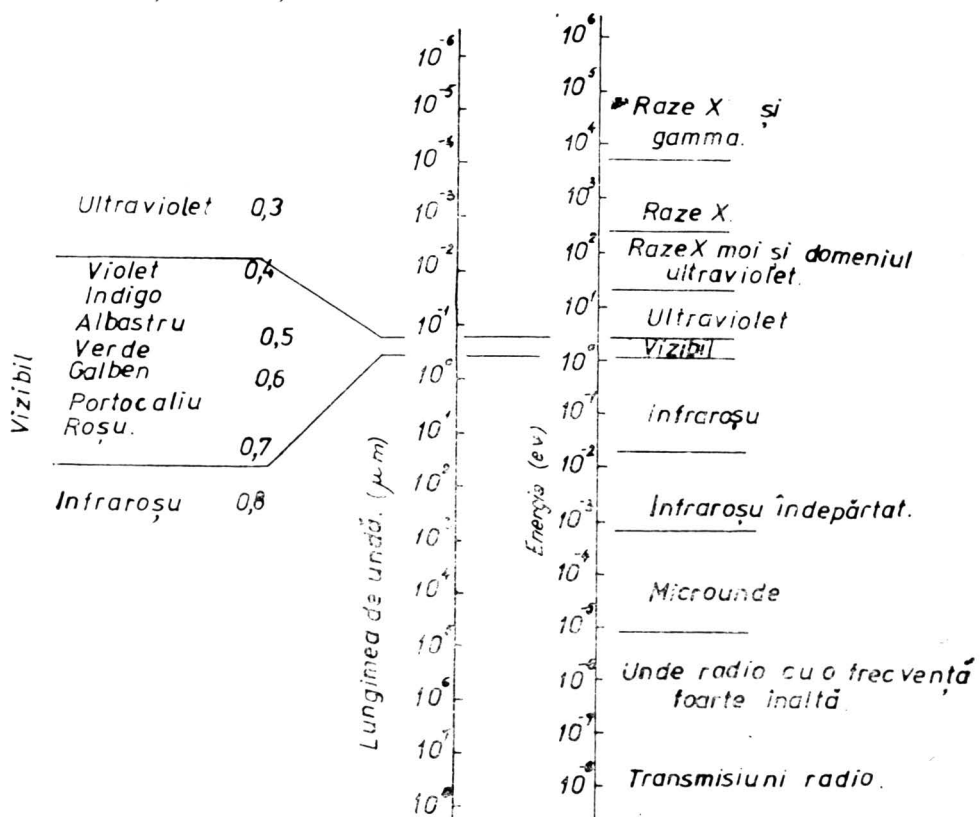


Fig. 52. Spectrul electromagnetic. Diferitele domenii ale radiațiilor electromagneticice ($1 \text{ eV} = 1,24 \mu\text{m}$).

Culorile spectrului luminii albe trec dintr-una în alta prin intermediu unei mari game de culori. Se disting net culorile roșu, portocaliu, galben, verde, albastru, indigo și violet.

Spectrul de absorbție produs de un mineral este în strînsă legătură cu tipurile de ioni din rețeaua cristalină și de tipul de legătură chimică

stabilitatea dintre particulele specifice rețelei cristaline. În fig. nr. 53 este redată diagrama de absorbție și transmisie a radiației la diferite substanțe cristaline deosebite din punct de vedere chimico-structural.

Dacă urmărим comportarea ionilor cu configurație de gaze nobile constatăm că acestea în general sunt lipsite de culoare. Se explică această comportare prin aceea că energiile orbitalului p sunt considerabil mai mari decât energia fotonilor din domeniul vizibil astfel încât fotonii sunt transmiși ca atare prin ionii acestor elemente.

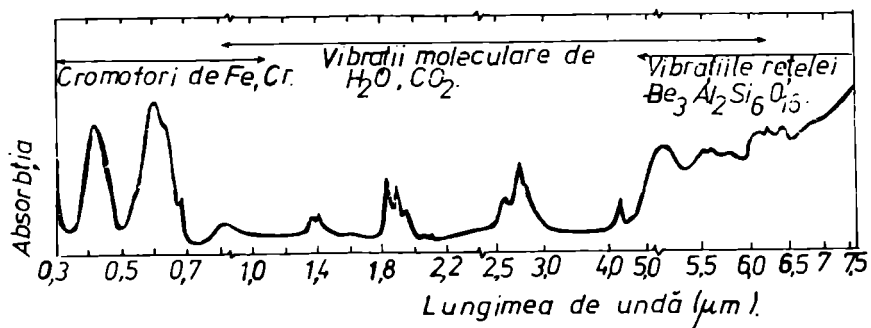


Fig. 53. Spectrul de absorbție al berilului. Absorbție minimă (maximum de transparență) la 0,5 μm, și absorbție maximă (minimă transparență) la 0,4 μm.
(După D. L. Wood și K. Nassau).

La examinarea comportării fotonilor din spectrul vizibil asupra metalelor tranzitionale, constatăm mai întâi rolul deosebit de important jucat de electronii din orbitalul d. Figura nr. 54 reprezintă orbitalii d, direcționați spațial. Problema care se ridică este legată de modul în care electronii de pe acești orbitali se comportă în interacțiunea lor cu un cimp de ioni negativi. Între sarcina negativă a particulei din cimpul ionic și electronii orbitalului d, apar respingeri. Deci cu cât orbitalul se va găsi mai aproape de particulele negative, el va fi mai destabilizat ca urmare a interacțiunii dintre acestea. Dispoziția electronilor orbitali d prezintă pe, coordonate o dispoziție octaedrică, cu o primă categorie de tip d_{xy} , d_{yz} , d_{zx} , (fig. 55— a, b, c) la care energia orbitalilor este echivalentă. La fiecare dintre aceste trei cazuri, — două dintre sarcini se găsesc de o parte și de alta a planului orbitalului, iar celelalte patru în planul orbitalului și anume între lobii orbitalului respectiv. Interacțiunea celor 6 sarcini în orbitalii — d_{xy} , d_{yz} , d_{zx} este de același tip, influența celor 6 sarcini manifestându-se cu aceeași intensitate deci cu aceeași valoare a energiei. A doua categorie de orbitali sunt de tip $d_{x^2-y^2}$ și d_{z^2} . Aici, acțiunea sarcinilor negative asupra orbitalului $d_{x^2-y^2}$ este ușor diferită de cea existentă pe orbitalul d_{z^2} (fig. 55 d și e). La $d_{x^2-y^2}$, remarcăm existența a două dintre sarcini care se află de o parte și de alta a planului orbitalului iar celelalte patru sarcini ale octaedrului sunt plasate în planul orbitalului și plasate pe axele lobilor

orbitalului și foarte aproape de aceștia; de aici energia celor 6 sarcini asupra $d_{x^2-y^2}$ este mai mare decât cea manifestată în orbitalii, d_{xy} , d_{yz} și d_{zx} . Si orbitalul d_{z^2} care are o energie apropiată de a orbitalului $d_{x^2-y^2}$ va arăta o energie mai mare decât aceea a orbitalilor d_{xy} , d_{yz} , d_{zx} . La interacțiunea acestor orbitali $d_{x^2-y^2}$ și d_{z^2} cu particulele negative din cimpul ionic îi vor fi mai puternic destabilizați în contradicție cu destabilizarea observată la d_{xy} , d_{yz} , d_{zx} . Această diferență de energie a orbitalilor este notată cu Δ_0 și depinde de intensitatea cimpului de sarcini negative, de ionii plasați în cimpul de sarcini negative a orbitalilor d (de cimpul de liganzi). Putem vorbi deci de cimp de liganzi

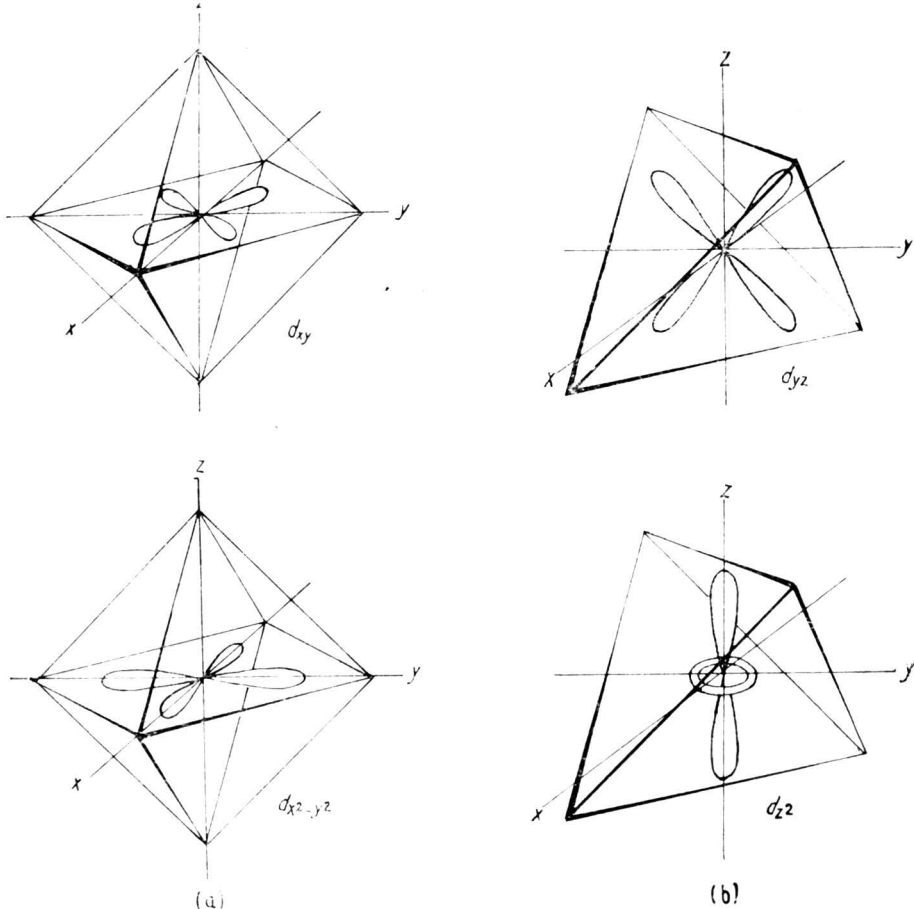


Fig. 54. Coordonăția polihedrală și orbitalii d. (După Burns, 1970): a) orbitali octaedrici; b) orbitali tetraedrici.

puternici ($\Delta_0 = \text{ mari}$) și cimp de liganzi slabii ($\Delta_0 = \text{ mici}$). Dacă o energie a orbitalilor d în cimpul sferic este luată drept referință, atunci energia orbitalilor $d_{x^2-y^2}$ și d_{z^2} este de $3/5 \Delta_0$ iar a orbitalilor d_{xy} , d_{yz} , d_{zx} este de $2/5 \Delta_0$.

Energia orbitalilor d variază în funcție de simetria cîmpului ionic (fig. 55). Diferențele de energii a orbitalilor d, pentru simetria în coordinate tetraedrice se notează Δ_t , în coordinate cubice Δ_c etc. Astfel la un complex tetraedric situația este inversă față de cea din cîmpul ionic cu simetrie octaedrică, anume orbitalii $d_{x^2-y^2}$ și d_{z^2} sint mai stabili (mai

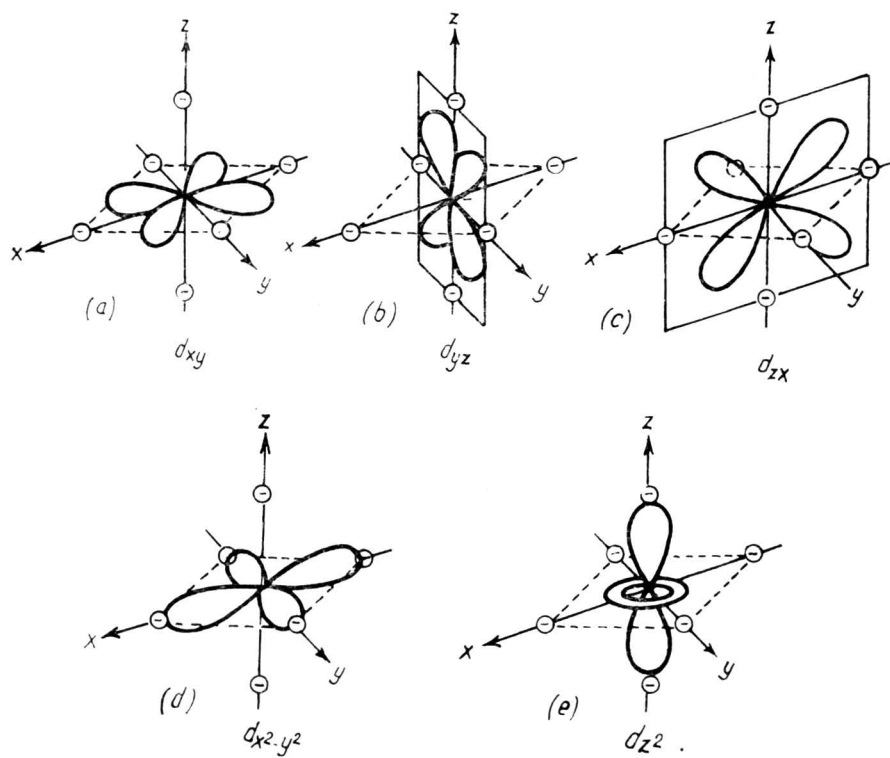


Fig. 55. Orbitali d în cîmp octaedric de liganzi.

greu destabilizați) în raport cu orbitalii d_{xy} și d_{zx} . Energia relativă a cîmpului ionic de coordonate tetraedrice este egală cu $4/9 \Delta_0$, iar pentru simetria cîmpului de coordonate cubice este egală cu $8/9 \Delta_0$ (fig. nr. 56).

Valorile Δ_0 obținute experimental cresc de la prima, la a doua și apoi la cea de a treia serie de elemente tradiționale, ex.: Co cu $\Delta_0 = 66$ kcal/mol, Rh cu $\Delta_0 = 97$ kcal/mol, Ir cu $\Delta_0 = 117$ kcal/mol.

În mecanismul de completare a orbitalilor d, electronii se dirijează inițial spre orbitalii cu energii joase. Datorită efectului de răsucire, specific mișcării electronice se constată că electronii tind să-și ocupe locuri în orbitali aliniindu-se după o configurație paralelă. În tabelul nr. 5 sint prezentate distribuțiile electronilor în orbitalii d în corelație cu stabili-

tatea energetică pentru seriile de elemente tranziționale cu simetrie a cîmpului ionic octaedrică și anume la acele elemente cu electroni cu configurații de răscucire mare.

Tabelul nr. 5a

Nr. de electroni pe orbitali d	Ioni	d_{xy}	d_{zx}	d_{yz}	$d_{x^2-y^2}$	d_{z^2}	Nr. electroni impari	CFSE ^{c)}
0	Ca ²⁺ , Sc ³⁺ , Ti ⁴⁺						0	0
1	Ti ²⁺ , V ³⁺	↑					1	0
2	Ti ³⁺	↑↑					2	
3	Y ³⁺ , Cr ³⁺ , Mn ⁴⁺	↑↑↑	↑↑↑	↑↑↑			3	4/5 Δ_0
4	Cr ²⁺ , Mn ³⁺ , (b)	↑↑↑↑	↑↑↑↑	↑↑↑↑	↑↑↑↑		4	6/5 Δ_0
5	Mn ²⁺ , Fe ³⁺ , (b)	↑↑↑↑↑	↑↑↑↑↑	↑↑↑↑↑	↑↑↑↑↑	↑↑↑↑↑	5	3/5 Δ_0
6	Fe ²⁺ , Co ³⁺ , Ni ^{4+(b)}	↑↑↑↑↑↑	↑↑↑↑↑↑	↑↑↑↑↑↑	↑↑↑↑↑↑	↑↑↑↑↑↑	4	2/5 Δ_0
7	Co ²⁺ , Ni ³⁺ , (b)	↑↑↑↑↑↑↑	↑↑↑↑↑↑↑	↑↑↑↑↑↑↑	↑↑↑↑↑↑↑	↑↑↑↑↑↑↑	3	4/5 Δ_0
8	Ni ²⁺	↑↑↑↑↑↑↑↑	↑↑↑↑↑↑↑↑	↑↑↑↑↑↑↑↑	↑↑↑↑↑↑↑↑	↑↑↑↑↑↑↑↑	2	6/5 Δ_0
9	Cu ²⁺	↑↑↑↑↑↑↑↑↑	↑↑↑↑↑↑↑↑↑	↑↑↑↑↑↑↑↑↑	↑↑↑↑↑↑↑↑↑	↑↑↑↑↑↑↑↑↑	1	3/5 Δ_0
10	Zn ²⁺ , Ga ³⁺ , Ge ⁴⁺	↑↑↑↑↑↑↑↑↑↑	↑↑↑↑↑↑↑↑↑↑	↑↑↑↑↑↑↑↑↑↑	↑↑↑↑↑↑↑↑↑↑	↑↑↑↑↑↑↑↑↑↑	0	0

a) După Burns 1970

b) în plus se adaugă ioni cu spin de configurație scăzută

c) CFSE = stabilitatea energetică a cîmpului cristalelor.

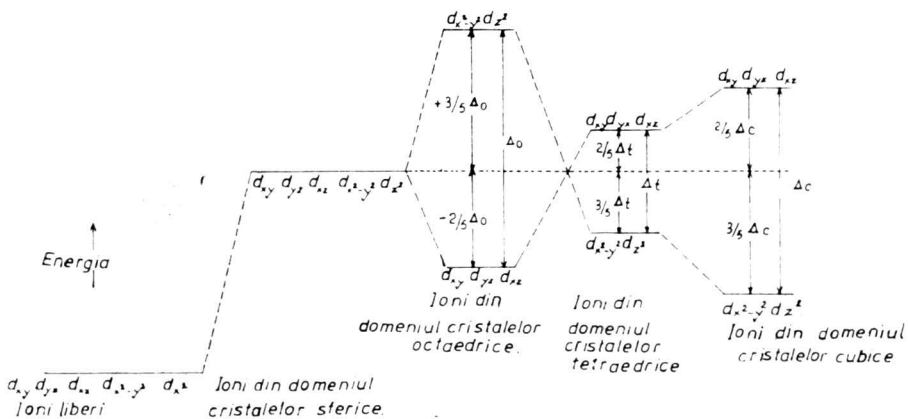


Fig. 56. Desfășurarea domeniului cristalin. Un domeniu cristalin hipotetic de formă sferică face să crească starea de energie a orbitalilor d mai sus de starea liberă a ionului. Domeniul cristalin octaedric, tetraedric și cubic împarte orbitalii d printr-o cantitate Δ . Culoarea apare datorită valorilor Δ ce apar în spectru vizibil sau a vizibilului apropiat.

Reducerea simetriei legăturilor prin deformarea sistemului octaedric (fig. nr. 57) suplimentează neuniformitatea orbitalilor d; ea este funcție de numărul de electroni pe orbitalii d, la ionii metalelor tranziționale, apar modificări în stabilitățile energetice a cîmpului ionic, conducînd chiar

la schimbarea tipului de coordonare. Diferențele de energii dintre orbitalii d ai metalelor tranziționale în cristale sunt influențate în afară de numărul de electroni d, de numărul de coordonare al elementului (cation) în rețea, de distanța și de natura legăturii cation—anion, de încărcătura cationului și de simetria legăturilor coordinative.

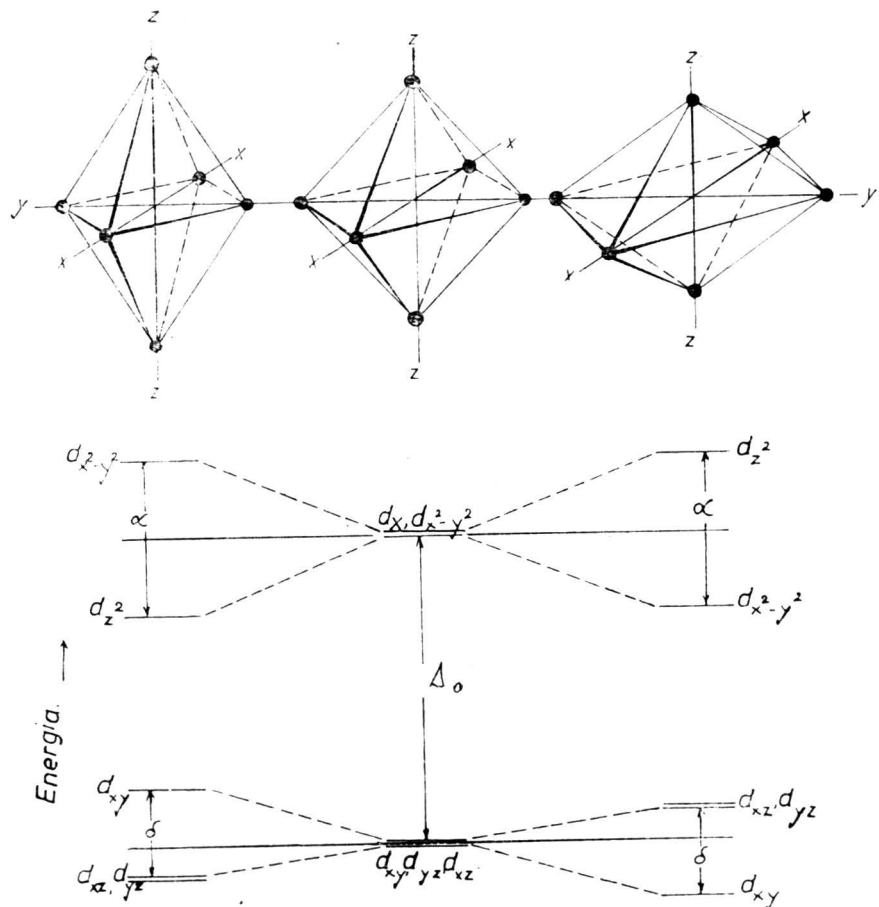


Fig. 57. Distorsiunea produce destabilizări în orbitalii d.

4.1.2. Culoarea și urma mineralelor

4.1.2.1. Noțiuni generale

Culoarea este o proprietate optică aparentă care reprezintă efectul unui proces de absorbție selectivă a razelor monocromatice din compoziția luminii albe. S-a arătat că sub acțiunea unei energii radiante, în structurile electronilor diferitelor elemente se produc unele modificări, evidențiate prin fenomenele de absorbție și emisie. S-a precizat de asemenea

că lumina albă este o combinație a tuturor lungimilor de undă din domeniul vizibil. Dacă asupra unui mineral se dirijează un fascicol luminos, unii fotoni vor avea energii mai mici decât energiile orbitalilor elementelor din rețea în timp ce alții vor avea energii mai mari. În aceste condiții în urma interacțiunii cu electronii orbitali fotonii din prima categorie vor fi transmiși iar cei din categoria a doua vor fi împăraștiți cu unghiuri și diferențe de energii diferite. În situațiile în care elementele componente din rețea au energii pentru orbitalii lor mai mari decât energia fotonilor din domeniul vizibil, mineralele respective vor apărea incolore (mineralele constituite în principal din elemente alcaline și alcalino-teroase). Pentru mineralele constituite din elemente multielectronice elementele tranzitionale — interacțiunea fotonii (din domeniul vizibil) și electroni (ai elementelor) este mult mai complexă. Aceste minerale tind să se coloreze, una din cauzele principale care explică colorația fiind modificările produse în orbitalii d, ai elementelor, în urma interacțiunii lor cu fotonii din domeniul vizibil. În urma acestor modificări o parte a spectrului vizibil este absorbită de către mineral iar altă parte este transmisă. Culoarea pe care o capătă mineralul este reprezentată din combinația lungimilor de undă a spectrului vizibil transmisă de mineral. Variantele tonuri de culori apărute sunt determinate de tipul de ion din mineral, adică de valorile energiilor orbitalilor elementelor care suferă destabilizări la impactul cu fotonii. Dacă aceste energii sunt spre exemplu cuprinse între 0,5 și 0,6 eV (lungimea de undă 600—700 nm.) asistăm la producerea unei absorbții puternice în partea de roșu terminal a spectrului vizibil și deci mineralul poate apărea colorat în tonuri de albastru. În cazurile mineralelor constituite din tipuri de ioni cu absorbție maximă în partea albastru terminal, a spectrului vizibil vom asista la producerea pentru mineralul respectiv a unei culori în tonuri de roșu. Culoarea pe care o poate căpăta un mineral cu Fe^{2+} în constituția sa chimică, este de regulă verde datorită faptului că absorbția cea mai accentuată produsă de orbitalii d se află în zona infraroșu apropiat, absorbție care se întinde și spre zona roșie a spectrului vizibil. În felul acesta este explicată culoarea verde intens caracteristică olivinelor bogate în Fe^{2+} .

Există elemente din grupele tranzitionale care prezintă mai multe stări de ionizare (ex. : Fe^{2+} și Fe^{3+}). Colorația prezentată de acele minerale care conțin simultan ambele stări de oxidare ale elementului, este determinată atât de deformările în simetria orbitalilor d, ai elementului (neuniformizați electronii de pe orbitali) cât și datorită transferului de sarcină de la un ion la altul. În exemplul, dat prin procesul de oxido-reducere, un electron poate fi transferat astfel încât ionul de fier să cedeze sau să primească electron, oxidind sau reducind elementul de bază ($\text{Fe}^{2+} \rightarrow \text{Fe}^{3+} + \text{e}^-$ sau $\text{Fe}^{3+} + \text{e}^- \rightarrow \text{Fe}^{2+}$). Acest proces de transfer de sarcină dă orbitalilor energii similare energiilor din spectrul vizibil deci suplimentează deformările orbitalilor și neuniformitatea dispoziției electronilor de octaedrii de sarcini ai orbitalilor d. De aici apariția de colorații

închise (tonuri de cenușiu, cenușiu brun etc.) întlnite la numeroase minerale feromagneziene din clasa oxizilor sau clasa silicăților.

La producerea culorilor aşa cum s-a mai arătat intervin și alți factori care țin de tipul de rețea al minereului, de tipul de legătură chimică, de numărul de coordonare al elementului, de distanțele cation-anion etc. Multitudinea de factori care acționează în procesul de colorare a diverselor minerale (există numeroase culori care nu au putut fi total explicate prin mijloace fizice) a făcut ca și în prezent în mineralogie să se mențină în clasificarea culorilor mineralelor, clasele instituite de Fersman, care sprijină și nu contrazic elementele teoretice discutate.

4.1.2.2. Tipuri de culori

Mineralogii disting trei principale clase de compuși minerali colorați, idiocromatici, allocromatici și pseudocromatici.

Culori idiocromatice (idos = propriu). Un mineral este considerat colorat idiocromatic, în cazurile în care o parte importantă din constituția sa este dată de prezența unor elemente din grupele metalelor tranzitionale (ioni multielectronici cu orbitali d, capabili să producă efecte de absorție, fenomen generator de culoare). Aceste metale sunt cunoscute sub numele de „cromofori“. Exemple de astfel de minerale colorate idiocromatic întâlnim în special la clasa silicăților; olivina, piroxenii, amfibolii etc. În natură există un număr relativ restrins de minerale idiocromatic colorate astfel datorită prezenței cantitative a cromoforilor. Tot ca substanțe colorate idiocromatic sunt considerate și mineralele colorate a căror colorație este explicată prin unele particularități ale structurii de rețea, determinate de transferul de electroni între ionii rețelei. Este vorba aici de colorația albastră observată la halit, mineral deobicei incolor. Ca element principal în compoziția sa chimică intră Na, element care face parte din grupa elementelor cu configurație de gaze nobile. Culoarea albastră idiocromatică se datoră transferului de electroni către ionii de sodiu, transfer care conduce la apariția de atomi de sodiu (neutrii) care ies de sub influența forțelor de legătură ale structurii reticulare specifice mineralului și se plasează în rețea în diferite goluri ale structurii (defecți de structură). O astfel de colorație idiocromatică obținută prin transfer de electroni se realizează și în mod artificial cind mineralul este supus acțiunii substanțelor radioactive (bombardat prin radiații γ). Tot ca substanțe colorate idiocromatic sunt considerate și mineralele care prezintă în structura lor cristalină, ioni sau grupe de ioni plasate în intervalele libere ale rețelei cristaline. Asemenea situații sunt întâlnite în special la unele minerale silicatace care în timpul procesului de cristalizare încorporează un anion suplimentar ca de exemplu Cl^- sau SO_4^{2-} care aduc energii suplimentare în rețeaua cristalină. Acești ioni sau grupe de ioni prin energia specifică lor, deformează puternic simetria sarcinilor orbitalilor elementelor de bază, creând posibilitatea de apariție a unor colorații proprii și la acele minerale lipsite în constituția lor de elemente din

grupa cromoforilor. Această colorație idiocromatică este cunoscută și sub numele de stereocromatism: un exemplu de mineral astfel colorat, este lazuritul, mineral intens colorat în albastru. De reținut că acest tip de culoare idiocromatică se caracterizează printr-o deosebită stabilitate în timp.

Culori allocromatice. Allocromatismul (allos == străin) este culoarea pe care o îmbracă unele minerale datorită substanțelor străine care pot apărea în rețeaua cristalului sau în afara acesteia. Substanțele străine pot fi reprezentate prin elemente chimice (intrate în rețea datorită fenomenului de izomorfism izo sau heterovalent), prin faze solide minerale reținute de mineral, ca urmare a unui fenomen de sincristalizare (cind fragmentele de minerale străine sunt reținute în masa mineralului gazdă neorientate sau orientate pe direcția planelor de separație și de clivaj) sau ca urmare a unor impurificări mecanice a mineralului gazdă (cu substanțe minerale străine, legate genetic de mediile în care s-a desfășurat procesul de formare al mineralului).

Apariția culorii allocromatice prin fenomenul de izomorfism este impusă de includerea în rețeaua mineralului în spațiul aparținând unui ion cu configurație de gaz nobil, a unui, sau mai mulți ioni multielectronici (metale tranziționale-cromofori). În urma acestui schimb izomorf mineralul care inițial era incolor apare diferit colorat. Sunt implicate aici fenomenele de absorbție în orbitalii d, și deformările cîmpului electronic, octaedric (tetraedric și cubic), produse în rețeaua mineralului de cromofoarul introdus și evidențiate prin apariția unor culori.

Există și situații în care culoarea allocromatică este determinată de înlocuirea dezordonată a elementelor incolore din rețea cu elemente cromofore. Obținerea culorii este legată în acest caz și de interacțiunea dintre element-element. Cromoforul cel mai reprezentativ pentru apariția unor astfel de culori este cromul, care în cantități foarte mici determină formarea unor culori intense. Capacitatea de colorat a acestui element este probată prin faptul că, dacă adăugăm un conținut mic de cca. 0,1% Cr_2O_3 unui mineral incolor — ca Al_2O_3 (corindonul) acesta se colorează în roșu aprins (metodă folosită în obținerea rubinelor sintetice). Studiile structurale efectuate au arătat că distanța dintre doi ioni de crom în rețeaua corindonului este de 20 \AA^0 deci cu mult mai mare decât suma razelor ionilor Cr^{3+} și Al^{3+} . Raza ionului de Cr^{3+} este $\text{Cr}^{3+} = 0,66 \text{ \AA}^0$, iar $\text{Al}^{3+} = 0,51 \text{ \AA}^0$. Rezultă că ionii de crom se deosebesc esențial de ionii de aluminiu prin configurația păturilor electronice. Cîmpul electronic din structura ionului de crom acționează asupra ionilor de aluminiu produce puternice perturbări în simetria cîmpului electronic orbital al ionilor de Al^{3+} . În ciuda stării reduse de dispersare a ionilor de Cr^{3+} în rețeaua corindonului, ei exercită o influență puternică asupra tuturor orbitărilor ionilor de Al^{3+} din întreaga rețea.

Prezența ionilor de crom în diferite minerale generează tipuri variate de culori. Această variație, este determinată pe de o parte de starea de oxidare diferită a ionului de crom iar pe de altă parte de tipul de cation principal prezent în mineralul incolor, și mai precis de gradul lui de

polarizare. Astfel apariția Cr^{6+} , sub forma anionului CrO_4^{2-} , dă mineralului culoarea galbenă iar prezența acestui ion de crom alături de un cation puternic polarizat Pb^{2+} dă mineralului o culoare roșu portocaliu (exemplu la crocoit). La diferitele specii de minerale din grupa granațiilor prezența urmatorilor de Cr^{3+} determină variate culori în tonalități de roșu și verde.

Cromoforii cei mai importanți sunt prezenți în tabelul nr. 6.

Tabelul nr. 6

Cromofor	Culoare	Exemple
Fe^{2+}	verde	microclin
Fe^{3+}	roz pînă la roșu	calcit, cuarț, microclin, disten
	verde gălbui	corindon
Cr^{3+}	roșu	conrindon (sintetic-rubin) alexandrit
	verde	beril (smarald) alexandrit
Ti^{3+}	albastru deschis	corindon (sintetic-safir) disten
	roșu	corindon (sintetic-rubin)
Ni^{2+}	galben	corindon (sintetic)
V^{3+}	verde	corindon (sintetic)
Fe^{3+} și Fe^{2+}	albastru deschis	corindon (sintetic-safir)
	galben verzui	corindon
Ti^{3+} și Fe^{2+}	albastru deschis	corindon (sintetic-safir)

Culorile allocromaticice produse de prezența unor substanțe străine în defectele de rețea, sau în afara acestora (impuritățile mecanice) arată diferite culori în funcție de structura chimică a impurității și în tonuri frecvent pastelate. Printre principalele minerale colorate allocromatic amintim: varietățile de cuarț, ametist = violet, citrin = auriu, moțion = cenușiu; speciile de calcit, cristale de calcit colorate în roșu (datorită incluziunilor de Fe^{3+}), cristale colorate în roz (datorită incluziunilor de mangan) cristale colorate în brun (datorită incluziunilor cărbunoase); cristalele de halit, colorate în alb cenușiu sau brun (datorită unor incluziuni fine de substanțe organice sau anorganice).

Substanțele străine sunt de diferite dimensiuni și fin dispersate în masa cristalului. Uneori aceste incluziuni au dimensiuni mai mari, și devin vizibile cu ochiul liber, este cazul incluziunilor de actinot în cristalele verzui, de cuarț sau a incluziunilor de sulfuri în cristalele negre de calcit.

Fenomenul de allocromatism nu este caracteristic numai mineralelor cristalizate, culorile allocromaticice sunt întâlnite și la substanțele amorfice (gelurile de silice). În aceste cazuri substanțele străine sunt foarte fine și puternic imprăștiate în masa coloidului. Este vorba de regulă, de dispersarea hidroxizilor bruni de fier, oxizi roșii de fier, oxizi negrii de

mangan sau diferitele substanțe organice, fin diseminate fie în întreaga masă a materiei, fie în benzi paralele sau concentrice (agatelor și onixurile).

Culori pseudocromatice. La anumite minerale transparente se mai observă uneori aşa-numitul joc de culori, determinat de reflexia și interfe rența repetată a undelor luminoase pe suprafețele interioare ale planurilor de clivaj sau pe suprafețele de separație impuse de existența diferențelor incluziuni din minerale. Acest fenomen este cunoscut sub numele de pseudocromatism iar exemplul tipic îl constituie labradorul. Pe suprafețele lustruite sau pe colțuri se observă reflexe albastre, verzi, ca efect al reflexelor și interfe rențelor pe suprafețele de clivaj perfect, pe planele căruia s-au insinuat foite foarte fine de ilmenit.

4.1.2.3. Aprecierea culorilor

În practică pentru determinarea culorilor se recurge la aprecieri comparative cu culoarea unor obiecte sau substanțe binecunoscute. Pentru o diferențiere mai exactă a culorilor se utilizează de multe ori și denumiri duble: alb-lăptos, galben de miere, galben de alamă, roșu-carmă, verde de smarald, verde de măr, brun-ciocolatiu etc.

Iată principalele culori și principalele minerale etalon care pot fi identificate pe baza culorilor caracteristice: violet-ametistul; albastru-azuritul; verde-malachitul; galben-auripigmentul; portocaliu-crocotul; roșu-cinabrus; brun-varietăți spongioase de limonit; galben brun-varietatea de limonit ocros; alb de staniu-mispichelul; cenușiu de plumb-molibdenitul; albastrul indigo-covelina; roșu arămuș-cuprul nativ. galben de alamă-calcopirita; auriu metalic-aurul.

4.1.2.4. Culoarea urmei mineralelor

Sub această denumire se înțelege culoarea pulberii fine a unui mineral, care se obține la trasarea cu mineralul, a unei linii pe suprafața mată a unei plăci de porțelan, sau la sfârșimarea mineralului prin forțe exercitate din exterior.

În unele cazuri culoarea urmei (pulberea de mineral) coincide cu culoarea mineralului; de exemplu: la cinabru urma are culoarea roșie, la magnetit urma este neagră, la lazurit urma este albastră. În alte cazuri se observă o diferență netă între culoarea mineralului și culoarea urmei. Astfel hematitul colorat în cenușiu de oțel, lasă urmă roșie, iar la pirită colorată în galben de alamă urma este neagră.

Trebuie menționat că majoritatea mineralelor colorate, transparente sau semitransparente nu lasă urmă sau lasă urmă slabă, culoarea urmei fiind importantă numai pentru determinarea mineralelor opace sau semi-transparente colorate intens și nu prea dure.

Luciu și culoarea macroscopică a mineralelor**LUCIU METALIC**

- Alb de staniu sau argintiu* : argint, stibiu, arsen, allemontit, mercur, arsenopirită, löllingit, bismut, cobaltină, skutterudit, smaltnă.
- Alb cenușiu cenușiu* : galenă, stibină.
- Cenușiu de oțel* : platină bournonit.
- Cenușiu-albăstrui* : galenă, molibdenit, stibină.
- Cenușiu inchis* : platină, enargit, grafit, calcozină, covelină, bornit.
- Roșu de cupru* : cupru.
- Roșu-cenușiu* : bornit.
- Galben-bronziu* : calcopirită, pirită, marcasită, pirotină, millerit.
- Galben-auriu* : aur, calcopirită.

LUCIU SEMIMETALIC

- Negru* : hematit, ilmenit, rutil, uraninit, manganit, wolframit, goethit, magnetit, columbit, piroluzit, calcozină.
- Negru-roșcat sau cafeniu* : rutil, goethit, tantalit, hübnerit.
- Roșu-negricios* : rutil, pirargirit.

LUCIU ADAMANTIN

- Negru* : casiterit, rutil, zircon, blendă, diamant.
- Alb sau incolor* : diamant, ceruzit, zircon, casiterit, scheelit, anglezit.
- Cafeniu* : sfen, monazit, zircon, vanadinit, wulfenit, casiterit, blendă, rutil, diamant, ceruzit, scheelit.
- Roșu-cafeniu* : rutil, monazit, blendă, zircon, vanadinit, cuprit.
- Roșu* : realgar, cinabru, cuprit, rutil, vanadinit.
- Portocaliu* : crocoit, zircon, wulfenit, scheelit, mimetit, auripigment.
- Galben* : sfen, wulfenit, blendă, auripigment, rutil.
- Verde* : zircon, andradit, vanadinit, sfen, blendă.

LUCIU GRAS

- Alb sau incolor* : apatit nefelin, witherit, halit, gips.
- Negru-cafeniu* : wurtzit.
- Cafeniu* : axinit, willemit, serpentină, piromorfit.
- Portocaliu sau galben* : sulf, auripigment, blendă, willemit, serpentină.
- Verde* : willemit, apatit, piromorfit, serpentină.
- Albastru* : sodalit.

LUCIU STICLOS

- Negru* : spinel, cuart, opal, hornblendă, turmalină, olivină, andradit, fayalit.
- Cenușiu* : corindon, smithsonit, stronțianit, kernit, wavelit, cuart, grossular.
- Alb sau incolor* : corindon, diaspor, fluorină, calcit, dolomit smithsonit, hemimorfit, aragonit, stronțianit kernit, ulexit, colemanit, baritină, celestină, gips, leucit, albit, opal, cuart, microlin, scapolit, stilbit, analcit, natrolit, tremolit, jadeit, beril, forsterit, topaz, grossular.
- Cenușiu* : corindon, diaspor, crisoberil, calcit, siderit, smithsonit, andradit, dolomit, baritină, cuart, opal, stilbit, axinit, turmalină, epidot, clinozoizit, fayalit, andaluzit topaz, staurolit, almandin, grossular.
- Roșu* : corindon, diaspor, spinel, fluorină, turmalină, rodocroxit, opal, andaluzit, almandin, spesartin, grossular, microclin, scapolit, chabasit, beril.
- Portocaliu* : corindon, calcit, stilbit, topaz, spessartin.

Galben : corindon, crisoberil, fluorină, calcit, smithsonit, aragonit, colemanit, bari-
tină, apatit, cuart, opal, ortoclas, scapolit, spodumen, beril, topaz, andradit,
datolit.

Verde : corindon, spinel, crisoberil, fluorină, smithsonit, vivianit, beril, olivenit,
adamit, apatit, wavellit, opal, microclin, tremolit, actinot, fayalit, olivină, epidot,
vezuvian, turmalină, dioptaz, jadeit, spodumen, grossular, andaluzit, datolit,
andradit.

Albastru : corindon, spinel, fluorină, smithsonit, azurit, baritină, celestină, vivianit,
lazulit, scorzalit, sodalit, benitoit, beril, turmalină, disten, topaz.

Purpuriu și violet : corindon, diaspor, spinel, fluorină, vivianit, strengit, apatit, cuart,
spodumen, cordierit, disten.

LUCIU SIDEFOS

Alb sau incolor : brucit, gips, apofilit, stilbit, heulandit, muscovit, albit.

Cafeniu : stilbit, muscovit, biotit.

Roșu : eritrină.

Galben-verzui : torbernit, autunit.

Albastru : disten.

Purpuriu : vivianit.

LUCIU MĂTASOS

Albastru : goethit, hematit.

Alb : ulexit, gips, scapolit, tremolit, pectolit, aragonit, calcit, ceruzit, kernit, apatit.

Cafeniu : baritină, calcit.

Roz : scapolit, gips.

Galben : cuart (ochi de tigru), serpentină (crisotil), gips.

Verde : malachit, actinot, prehnit, wavellit, serpentină, turmalină, diopsid.

Albastru : cuart (substituind crocidolitolul).

LUCIU DE CEARĂ

Albastru : turcoază.

Verde : turcoază, variscit, opal.

LUCIU PAMINTOS

Negru : grafit, piroluzit, uraninit, magnetit, goethit.

Alb : minerale argiloase, anglezit (asociat cu galenă).

Cafeniu : goethit, desclozit, staurolit, andaluzit (chliastolit).

Roșu : hematit.

Verde : variscit, turcoază, annabergit, clorit.

Albastru : lazurit.

4.1.3. Luciul

4.1.3.1. Principalele elemente care influențează luciul mineralelor

Calitatea luciului depinde de existența energiilor diferențiate a orbitalilor din structura electronică a elementelor constitutive. Electronii elementelor chimice din rețea unui mineral sunt repartizați caracteristic, în structurile reticulare, în funcție de simetria orbitalilor și de tipul de legături dintre particule : ionică, covalentă, metalică, Wan der Walls. Ni-

velul de bază și nivelul stării de excitare a elementului sănt 2 nivele separate prin diferențe de energii specifice, fiecare avînd energii considerabil mai mari decît energiile fotonilor din domeniul vizibil : ex. la mineralele cu legătură metalică în structura lor cristalină. Existența de zone lipsite de energie, creează pe orbitali diferite stări de excitații, cu energii $h\nu$ care acoperă energiile întregului domeniu al spectrului vizibil. Orice foton din lumina vizibilă care interferează pe suprafața unui mineral cu legături metalice sau parțial metalice poate fi absorbit imediat. Cea mai mare parte din energia absorbită este retransmisă (în deosebi sub acțiunea căldurii) imediat, sub formă de lumină. Aceste energii retransmise se manifestă ca unde reflectate pe suprafața cristalului determinînd luciu metalic (fig. nr. 58). Pe cristalele cu luciu nemetalic fenomenele

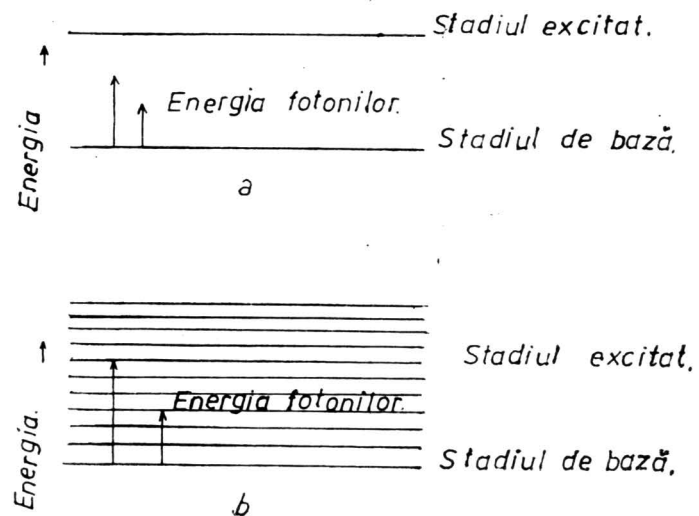


Fig. 58. Luciu metalic și nemetalic : a) luciu nemetalic energia fotonilor din domeniul vizibil este mai mică decît energia de capcană dintre nivelul de bază și nivelul de excitare următor ai electronilor exterior; b) luciu metalic, cu stadiu de excitare ce au energii ce acoperă întregul spectru vizibil.

Fotonii sunt absorbiți la suprafață.

care determină luciu necesită explicații în principal pe baza teoriei ondulatoriei a undelor luminoase.

Fascicolul luminos care cade pe un astfel de mineral, este parțial reflectat — fascicolul reflectat indicînd aceiași frecvență cu cea a vibrațiilor fascicoului incident. Intensitatea acestui fascicol de reflexie observăm că reprezintă ceea ce numim luciu mineralelor și pe care mineraalogii îl exprimă sub forma valorii indicelui de reflexie (R). Acest indice

este dat de raportul dintre intensitatea razelor reflectate (determinată de structura rețelei) Ir și intensitatea razelor luminoase incidente Io.

$$R = \frac{I_r}{I_o} \quad (1)$$

Pentru a se calcula intensitatea razelor reflectate se folosește relația :

$$R = \frac{(n - 1)^2 + n^2 k^2}{(n + 1)^2 + n^2 k^2} \quad (2)$$

în care n = indicele de refracție, iar k = coeficientul de absorbție al mineralului. Caracterul și intensitatea luciului depind în afară de tipul de structură al învelișurilor electronice ale elementelor de mai mulți factori cum sunt : indicele de refracție, coeficientul de absorbție și caracterul suprafetei, de posibilitatea de a se asocia culorii specifice mineralului, de corelația care se stabilește între valorile indicelui R și a indicelui n , etc.

Indicele de refracție (n) are o influență deosebită asupra luciului mineralelor transparente răminând singurul factor operant din relația care exprimă intensitatea indicelui de reflexie, deoarece cel de al doilea termen din relație, k , la corpurile transparente tinde spre zero. În aceste condiții relația ia forma :

$$R = \frac{(n + 1)^2}{(n - 1)^2} \quad (3)$$

și este cunoscută sub numele de relația lui Fresnel.

4.1.3.2. Tipuri de luciu

Dacă plecăm de la formula (3) și dăm diferite valori lui n , putem urmări dependența lui R în funcție de n . Din graficul din fig. 59 se observă variația caracterului luciului în raport de valorile lui n . În acest sens deosebim următoarele tipuri principale de luciu unele aparținând cristalelor metalice (A) altele cristalelor nemetalice (B).

A. *Luciu metalic*, specific mineralelor opace care absorb puternic radiațiile luminoase au indici de refracție mai mari de 3 ($n > 3$) și capacitatea de reflexie mai mare de 0,3 ($R > 0,3$). Acest tip de luciu este puțin frecvent și se întâlnește la unele elemente native, la o parte din sulfuri și la unii oxizi opaci. În graficul din fig. 59, se remarcă existența unei ramuri a curbei inițial cu R foarte mare ca apoi să descrească brusc în zona cu valori ale indicelui de refracție ($n < 1$) subunitare, deci la $n < 1$ se grupează o serie de elemente native cum sunt Ag (0,18); Au (0,36); Cu (0,64). Pe ramura slab ascendentă cu $n > 1$, se vor plasa în ordinea creșterii indicilor de refracție piroluzitul, molibdenul, stibina, galena, calcopirita, pirita, bismutul nativ. Ca excepție întâlnim în acest tip de luciu și magnetitul, un termen al seriei spinelilor care prezintă un luciu

metalic/semimetalic determinat de gradul său de opacitate ridicat deși în raport de valoarea indicelui de refracție ($n = 2,42$) ar trebui să fie încadrat în seria mineralelor cu luciu adamantin.

Unele elemente native precum și unele elemente prezentate la diferite minerale opace, prin energiile orbitalilor ridicate au capacitatea de a

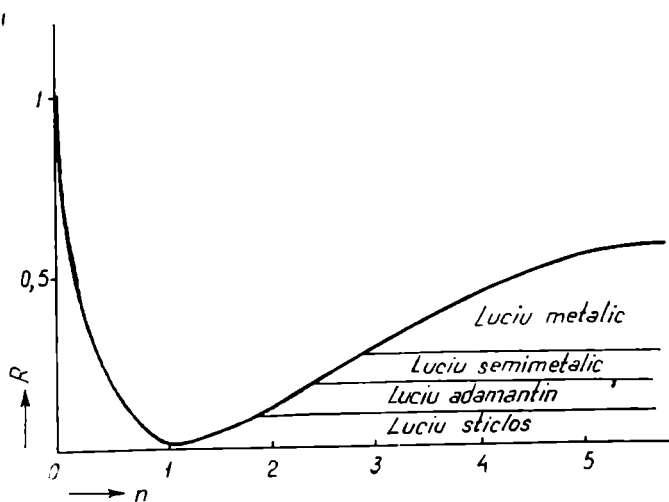


Fig. 59. Curba de variație a capacității R în raport cu valorile n , a mineralelor.

absorbi aproape total fotonii din domeniul spectrului vizibil. Fotonii cu energii mici acționează asupra electronilor de pe orbitele exterioare iar fotonii cu energii mai mari acționează asupra electronilor de pe orbitele cu energii ϕ ceva mai mici decât a fotonilor incidenti. Din această interacțiune, energiile fotonilor pot fi absorbite total sau parțial, diferența minimă de energie fiind transmisă din mineral, sub formă de radiație cu aceeași frecvență ca și a fascicolului incident. În funcție de intensitatea de absorbție, mineralul este mai opac sau mai puțin opac. Datorită acestor fenomene, substanțele minerale amintite, pot arăta abateri de la tipul de luciu caracteristic impus de valorile indicilor de refracție.

Luciul semimetalic caracteristic mineralelor transparente sau semi-transparente cu indici de refracție foarte mari $2,60 < n < 3$, și indice de reflexie cuprins între $0,2 - 0,3$. Acest luciu este întâlnit în special la oxizi și la unele sulfuri care au predominant în compoziția lor elemente multi-electronice. Exemple de minerale cu luciu semimetalic în ordinea creșterii indicelui de refracție, alabandina (2,70); cupritul (2,85); cinabru (2,91); hematitul (3,01) etc.

B. *Luciul adamantin* este caracteristic mineralelor transparente cu indici de refracție mari $1,9 < n < 2,6$. Pentru aceste minerale remarcăm și o intensitate relativ mare, pentru valorile indicelui de reflexie (R)

care variază $0,10 < R < 0,20$, și determină un luciu viu caracteristic. Aici întlnim un număr redus de minerale, iar dintre acestea amintim: casiteritul (1,99—2,09); sulful nativ (2,20); blenda (2,30—2,40) diamantul (2,40—2,46); rutul (2,62). La aceste minerale energiile fotonilor din domeniul vizual sunt mai mici decât energia ϕ a electronilor orbitali, fapt pentru care majoritatea fotonilor străbat mineralul, iar radiațiile transmise au energii ridicate.

Luciul sticlos este propriu mineralelor transparente cu valori pentru indicii de refracție mai mici anume $1,30 < n < 1,90$; și pentru $0 < R < 0,1$. În general mineralele cu luciu sticlos au o rețea de tip ionic. Exemple de minerale cu luciu sticlos: halogenuri, carbonați, sulfati, azotați, fosfați, silicați, unii oxizi și sticlele naturale și cele sintetice. Dintre acestea amintim criolitul (1,34—1,36); fluorina (1,43); ortoza (1,50); cuarțul (1,54); spinelul (1,73); corindonul (1,77); granații (1,84—1,90). Majoritatea acestor minerale conțin în componența lor chimică ioni cu configurație de gaz nobil, deci cu energii mari ale electronilor de pe orbitali față de fotonii luminii și care în aceste condiții sunt transmiși în totalitatea lor prin mineral.

Coefficientul de absorbție poate juca un rol important în determinarea capacitatei de reflexie care, la mineralele cu absorbție puternică, se calculează așa cum s-a arătat prin relația (2)

$$R = \frac{(n-1)^2 + n^2 k^2}{(n+1)^2 + n^2 k^2}$$

Cînd coeficientul de absorbție are o valoare apreciabilă $5 < k < 7$ valcarea să domină întregul raport. Această situație este specifică pentru reflexia pe suprafața elementelor native metalice unde coeficienții de absorbție sunt diferenți în funcție de structura învelișurilor electronice ale elementelor și cînd luciul se asociază și cu culoarea vie caracteristică metalului se obțin așa numitul luciu-colorat întlnit la aur, la argint, la cupru etc. Un exemplu sugestiv al modului în care absorbția radiațiilor incidente scade influența indicelui de refracție modificînd valoarea luciului, îl oferă așa cum s-a mai arătat magnetitul, care deși prezintă $n < 2,42$ datorită gradului ridicat de absorbție în orbitalii cu energii ridicate ai elementului metallic, determină pentru indicele de reflexie a luminii retransmise valori ridicate, astfel încît magnetitul arată un luciu metallic/semimetalic și nu adamantin conform valorii indicelui de refracție.

Caracterul suprafetei. Tipurile de luciu discutate se referă la suprafețele de cristal perfect netede sau lustruite, așa cum apar ele pe unele fețe naturale ale mineralelor sau pe suprafețele de clivaj ale acestora. Dacă mineralul la presiune prezintă în spătură o suprafață neregulată, sau concoidală, luciul sticlos care este cel mai răspîndit (70% din minerale) sau luciul adamantin, capătă o nuanță particulară deoarece datorită neregularităților, oricît de fine, lumina reflectată își pierde uniformitatea suferă o difuzie (dispersie) ceea ce conduce la apariția unui *luciu gras*. Rezultă că la același mineral putem vorbi de existența a două tipuri de luciu de exemplu la cuarț sticlos pe suprafețele netede și gras.

în spărtură. Luciu gras mai apare la halit pe suprafețele vechi de clivaj corodate de umiditatea atmosferică sau la sulf pe spărturile concoidale.

Suprafețele cu asperități prezintă un luciu de ceară caracteristic mai ales maselor criptocristaline și gelurilor solide slab colorate.

Dacă mineralul prezintă o porozitate accentuată lumină transmisă este dispersată în toate direcțiile iar porii cu dimensiuni submicroscopice acționează asupra radiațiilor luminoase ca niște capcane pentru lumină rezultând astfel un luciu mat caracteristic îndeosebi la cretă, caolin, bauxită, piroluzitul pulverulent, limonit etc.

La mineralele care au morfologic o structură fibroasă cu o dispoziție paralelă a fibrelor se observă existența unui luciu mătăsos. Acest luciu îl remarcăm îndeosebi la asbest, gips fibros etc.

Mineralele cu structură cristalină stratificată care arată un clivaj perfect prezintă un luciu sidefos. Acesta este caracteristic perlelor și sidefului care îmbracă interiorul valvelor lamelibranhiatelor sau al cochiliilor gasteropodelor, fenomen datorat suprapunerilor paralele ale agregatelor lamelare cristaline a mineralului. Pe suprafețele de separare ale lamelor, razele transmise de cristal, săn reflectate și propagate după o anumită direcție putind astfel interfera între ele, cu anumite diferențe de drum, ceea ce provoacă și irizațiile specifice acestui tip de luciu.

4.1.4. Transparentă

La străbaterea unui cristal de către un fascicol luminos, o parte din radiațiile incidente sunt transmise altele sunt împărtăsite. Radiațiile transmise prezintă energii mai mici față de radiațiile incidente. Intensitatea radiațiilor ieșite din mediu dat, (I) este mai slabă decit intensitatea radiațiilor incidente (I_0). Diferența de intensități se exprimă prin coeficientul de transparentă al mediului considerat — (a). Mărimea „a“ pentru o grosime a stratului egală cu 1 cm este dată de raportul I/I_0 .

$$a = I/I_0$$

Coefficientul de transparentă depinde de natura chimică a minera-lului (structura reticulară, tipurile de legături dintre particule, structurile învelișurilor electronice) de natura radiației incidente etc. Cu cit valoarea lui „a“ se apropiе de valoarea 1 cu atit mineralul este considerat mai transparent.

În funcție de gradul de transparentă cristalele mari de minerale se împart în următoarele grupe :

1. Transparente — exemple : cuarțul, (cristal de stincă), calcitul (spa-tul de Islandă) topazul etc.
2. Semitransparente — exemple : smaraldul, blenda, cinabrus, etc.
3. Opace — exemple : pirita, grafitul, magnetitul etc.

Deși practic nu există minerale perfect opace, există totuși unele minerale în special metalele (chiar în secțiuni subțiri) care lasă în măsură foarte mică să treacă radiațiile luminoase și deci ele apar la observațiile cu ochiul liber, complet opace. De asemenea nu se poate vorbi de substanțe perfect transparente, care să nu absoarbă deloc radiațiile incidente

cum este spre exemplu apa, care se comportă ca un mediu perfect transparent, dar care totuși în strate groase, absoarbe parțial radiații din zona roșie a spectrului solar vizibil, aparind astfel colorată în albastru.

Există și minerale care în cristale sau fragmente foarte mari se comportă opac, dar devin transparente cind sunt trecute în foișor subțiri sau secțiuni subțiri. Ca exemple putem da biotitul, muscovitul, rutilul.

4.1.5. Luminiscență

Unele substanțe cristaline pot emite radiații luminoase în domeniul spectrului vizibil, însă sub forme diferite decât emiterile de energii produse de substanțele incandescente. Luminiscență este rezultatul unui fenomen inițial de absorbție a fotonilor de către mineralele cristalizate; energia este apoi reemisă datorită ciocnirilor create între particule molecule, și care au ca rezultat transformări ale energiei luminoase în energie termică, apoi în energie chimică sau din nou în energii luminoase cu lungimi de undă din domeniul vizibil (proces de iluminare-luminiscență).

Reemiterea luminii absorbite prin tranziții electronice* (trecerea unui electron de la o stare de excitare la alta), este cunoscută sub numele de fotoluminiscentă. Fotonii cei mai importanți în producerea acestui fenomen sunt cei din domeniul ultraviolet și radiațiile X, fotonii care furnizează energiile necesare pentru excitarea electronilor plasati pe diferitele nivele ale învelișurilor electronice ale elementelor. Electronul care cade sub incidența acestor excitații, emite radiații și se deplasează continuu pînă la nivelul de bază. În timpul acestor modificări de energii la deplasările pe diferitele nivele se produc fotonii în domeniul vizibil, astfel încît fenomenul de fotoluminiscentă se manifestă sub formă de lumină albă (fig. nr. 60).

Luminiscență produsă instantaneu (pe un interval de $\sim 10^{-8}$ s) este cunoscută sub numele de fluorescentă. Mineralele emit fotonii vizibili doar dacă energia de activizare crește permanent. Unele structuri cristaline devin capcane pentru electroni excitați. Dacă capcana este temporară, electronii excitați se întorc pe nivelul lor de bază comportindu-se ca o acțiune finită. Totuși luminiscența se mai observă și după închiderea energiei de oscilație, a electronului dar care un anumit timp este și ea total opriță. Fenomenul de micșorare treptată a luminiscenței și reemitere intîrziată a radiațiilor poartă numele de fosforescentă**. În cazurile în care la unele minerale există unele bariere de energie care împiedică electronul excitat să-și revină la nivelul său de bază asistăm la oprirea fenomenului de luminiscență care nu se produce decât prin intervenția unor factori străini din afară. În cazurile în care electronii excitați sint

* Lumina este absorbită în cuante provocând modificări în energia de rotație, vibrație electronică a moleculelor. Energia absorbită este cedată zonelor vecine uneori sub formă de energie cinetică (căldură) iar alteori este remisă cu aceeași lungime de undă sau cu lungime de undă mai mare (fluorescentă). Absorbția unei cuante de lumină nu provoacă în toate cazurile reemiterea de radiații luminoase.

** Corpurile fosforescente au proprietatea de a lumeni vreme de mai multe ore, mai ales dacă în prealabil au fost supuse unor iluminări puternică.

trimiș la nivelul de bază prin alte căi decit prin absorbția de foton și anume sub intermediul căldurii, fenomenul este cunoscut sub numele de „termoluminiscență. Dacă se folosește energia lasserului electronii excitați existenți într-o zonă interzisă, sint împinși spre nivelul de bază (monocromatic) emițind astfel lumină clasică.

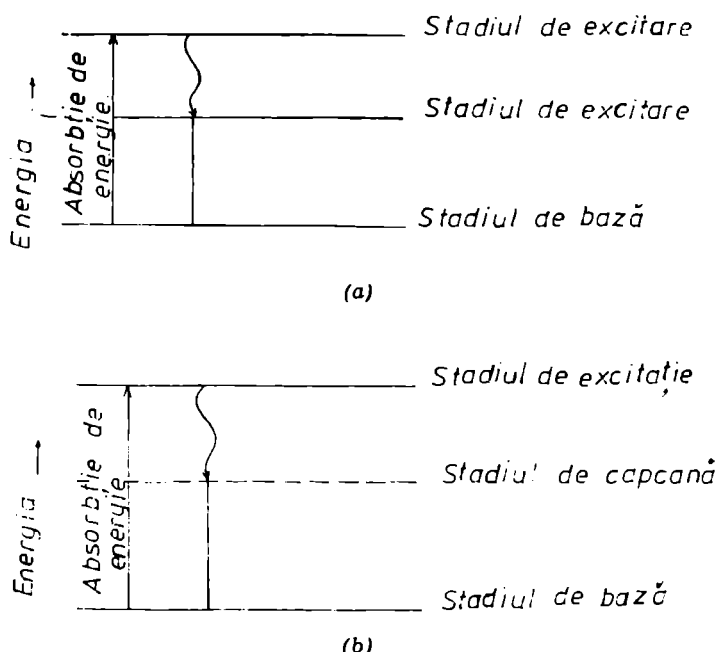


Fig. 60. Luminiscență în minerale : a) Fluorescență. Un foton din domeniul vizibil, ultraviolet sau a RX al spectrului electromagnetic excită un electron exterior la un stadiu de energie mai mare. Electronul cade de pe nivele cu o energie ridicată pe un nivel cu energie mai scăzută după care cade pe nivelul de bază — Fluorescență apare cind energiile de capcană apar în domeniul vizibil ; b) Fosforecență. Electronul trece la un nivel de excitare ca la fluorescență dar cade în nivelul de capcană unde rămîne un timp finit după care cade pe nivelul de bază. Fenomenul continuă și după închiderea sursei de energie.

Dacă urmărim fenomenul de luminiscență și sub aspect chimic, excitarea realizându-se prin intermediul unei reacții chimice, se produce fenomenul numit chemoluminiscență, (realizat în deosebi în prezența elementelor din grupa pământurilor rare, acestea fiind unele din elementele chimice care au orbitali neocupati de electroni).

Fluorina și calcitul care au constituent principal Ca^{2+} în rețeaua cristalină, arată frecvent substituiri ale acestuia cu elemente din grupa lantanidelor ; prezența acestora în componența chimică le face să devină minerale care produc în general fluorescență.

Fosfați care conțin frecvent calciu și deci posibilități de substituire ale acestuia prin TR, produc și ei de regulă fluorescență. Acest tip de

fotoemisie este analog cu colorația idiochromatică a mineralelor (elementelor lantanidice adăugindu-se adesea și uraniu și thoriu). În cazul unor fosfați remarcăm și manifestări de tipul fosforescenței, în acest caz fenomenul de fotoemisie este analog cu fenomenul caracteristic colorației allocromatice. Tuburile de televiziune în culori conțin compoziții fosfatice cu impurități de elemente rare, care prin fosforescență dă naștere la culori allocromatiche.

Unele cristale emisă lumină în urma unui proces de frecare, sau prin zdrobire într-un mojar. Fenomenul de iluminare este cunoscut de astă dată sub numele de triboluminescență.

Toate aceste fenomene de luminiscență se deosebesc de radiațiile termice a corpurilor incandescente prin temperatura joasă a radiațiilor emise și prin natura spectrului care este un spectru de absorbtie a substanței în cauză. Luminiscența se manifestă deci ca o emisie de lumină „rece“.

Fotoluminescența — în particular fluorescentă — se deosebește de fenomenul de reflexie și de difuzie a luminii precum și de spectrul Raman (difuzia combinată a luminii) prin aceea că are loc la un interval de cel puțin 10^{-9} s de la iluminare și nu se stinge instantaneu la oprirea iluminării, ca la fenomenele amintite, la care durata este de ordinul perioadei luminii circa 10^{-15} s).

Fluorescenta nu se limitează doar la excitările produse de partea vizibilă a spectrului electromagnetic. Cu alte cuvinte energia luminoasă de excitare poate fi realizată tot atât de bine și cu fotoni care acționează în alte zone ale spectrului. O metodă comună este folosirea radiațiilor cu raze X ale spectrului electromagnetic, aceste efecte de fluorescentă fiind folosite și în determinările chimice fără a avea acțiune distructivă asupra structurii reticulare a mineralelor. În aceste situații, structurile cristaline respective, anume ionii sunt bombardați cu radiații de energie ridicată, raze X. Cantitatea cuantelor incidente prezintă o energie suficient de mare pentru a acționa asupra unui electron din învelișurile K α , din vecinătatea nucleului atomic; în aceste condiții atomul este excitat iar structura sa internă indică lipsă de electroni. Atomul își revine la starea inițială în cazul în care un electron din exterior (electron liber) este în situația de a ocupa spațiul rămas liber (vacanță electronică) cînd se produce și emiterea unei cuante de energie egală cu cuanta zonei de raze X a spectrului. Stări de excitație posibile și spectre de fluorescentă sunt ilustrate în mod schematic în fig. 61. Cînd un electron K excitat este expulzat de pe orbita sa, el trece pe un nivel nou a stării K de excitație. Iar cînd asupra lui acționează un electron extern—liber cade într-un nou nivel al orbitalului K și are loc o emisie K. Un electron din orbitalul L, dă o emisie K α iar un electron de pe orbitalul M, produce o emisie K β . Similar expulzarea electronului L, produce un salt pe o treaptă de excitație L, cu o emisie de cuantă L căpătată de la electronul extern care a căzut pe locul vacant de pe orbitalul L. La îndepărțarea unui electron M, rezultă o fluorescentă de tip M. Fluorescenta se produce în toate zonele spectrului electromagnetic în condiții similare, totuși cum razele X mai lungi de 10 Å și

lumina ultravioletă mai mică de 500 Å sănătatea puternică în aer, ele nu ajung să acționeze asupra mineralelor fapt care îngreunează sesizarea fenomenului în mod natural. De asemenea multe minerale sănătatea

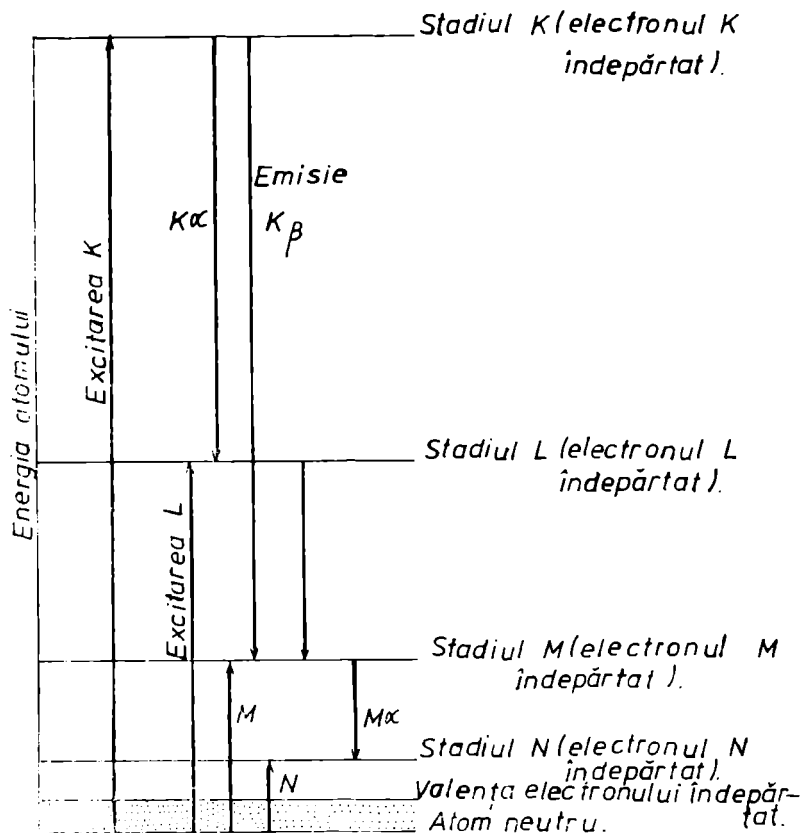


Fig. 61. Nivele de energie atomice. Energia unui atom este la stadiul cel mai jos cind toți electronii sunt la nivelul de bază. Energia crește cind un electron de valență este îndepărtat. Energie progresivă apar la adâncuri pe nivele N, M, L, sau K. Emisia $K\alpha$ apare cind electronul L căde într-un orbital K vacanță. Emisia $K\beta$ cind electronul M căde pe orbitalul K vacanță. Emisiile L și M cind locurile vacante de pe M și N sunt pline.

transparente în lumină vizibilă și opace în lumină ultravioletă, sau în părți ale spectrului infraroșu îndepărtat, de aici necesitatea de limitare a folosirii fenomenului de fluorescentă în alte zone spectrale, decât în cele din vizibil, raze X sau parțial din infraroșu.

Cu ajutorul fenomenului de fluorescentă se determină ușor prezența în roci a unor minerale care nu pot fi sesizate prin metodele clasice de observație — de exemplu scheelitul un mineral foarte important se luminează puternic sub acțiunea radiațiilor ultraviolete în nuanțe albastre,

mai rar verzui deosebindu-se astfel ușor de alte minerale asociate lui. Diamantul devine fluorescent apărind colorat în albastru-palid sau galben-verde. Fluorina indică o fluorescentă în tonuri de albastru viu.

Această metodă de recunoaștere a mineralelor nu poate fi considerată decisivă dat fiind că se întâlnesc unele varietăți de minerale (chiar la scheelit, sau diamant), care nu reacționează absolut de loc față de razele ultraviolete sau raze X. Există și situații cînd mai multe cristale aparținînd aceluiași mineral colectat însă din zăcăminte diferite, prezintă culori de luminiscență diferite (exemplu calcitul). Este vorba de schimbarea luminiscenței sau chiar stingerea ei, datorită unor amestecuri de substanțe străine de mineral (exemplu luminiscență determinată de existența cuprului este stinsă prin prezența bismutului).

Exemple de alte minerale care prezintă fenomenul de fluorescentă : blenda (galben închis, galben oranž, oranž) greenokitul (galben oranž), halitul și olivina (roșu în ultraviolet) rubinul (roșu intens), aragonitul (roz) ceruzitul (galben roziu, verde), baritina (verzui), anglezitul (roșu galben), gipsul (verde, oranž, galben), vilemitul (verde), zirconul (oranž), sodalitul (oranž-roșu) autunitul (galben).

Exemple de minerale care dau efecte de termoluminiscentă : diamantul, corindonul, spinelul, cuarțul, calcitul, apatitul, zirconul, hemimorfitul, wollastonitul.

4.2. PROPRIETĂȚI OPTICE MICROSCOPICE

Proprietățile optice microscopice constituie calea cea mai eficientă pentru cunoașterea complexă a mineralelor. Această situație este determinată de faptul că majoritatea mineralelor apar în natură cu dimensiuni mult prea reduse — pentru a permite identificarea lor macroscopică iar separarea diferențelor speciei este îngreunată de asocierea lor intimă în diverse aggregate cum sint rocile sau minereurile.

Posibilitatea determinării acestor proprietăți s-a conturat la numai cățiva ani după descoperirea de către Fresnel a fenomenului de polarizare. Primul aparat a fost construit de Talbot în 1834 dar, eficacitatea acestui aparat a sporit considerabil din 1845 cînd Sorby a arătat cum pot fi utilizate secțiunile subțiri de minerale și cînd microscopul a devenit instrumentul specific și fundamental pentru științele mineralogo-petrografice.

4.2.1. Criterii de sistematizare

In contact cu radiațiile luminoase mineralele acționează ca niște mecanisme optice extrem de complicate condiționînd apariția unor semnale variate, care, evidențiate cu ajutorul microscopului polarizant, reflectă modificările produse asupra fascicolului de radiații incident, de impactul cu proba analizată. Aceste semnale, sub forma unor proprietăți optice măsurabile, exprimă particularitățile structurii și chimismului fiecărui mineral și variația lor urmează fidel cele mai fine modificări ale acestora. Interpretarea ansamblului acestor semnale poate permite, nu

numai diagnoza precisă a mineralelor, dar poate furniza și informații prețioase asupra genezei și transformărilor suferite în timpul geologic, informații care nu pot fi obținute decât în măsură foarte redusă sau deloc prin alte metode de investigație.

Tinând cont că principalele noțiuni teoretice asupra naturii și propagării luminii în mediile cristalizate precum și cele privind simetria fenomenelor optice în cristalele proprietăți examineate în cadrul cursului de Cristalografie, în cele ce urmează va fi prezentată o caracterizare succintă a principalelor proprietăți optice microscopice ale mineralelor. În aceeași ideie, detaliile concrete asupra aparaturii și modului de lucru au fost evitate urmând a fi incluse în determinatoarele practice utilizate pentru lucrările de laborator.

Clasificarea și prezentarea proprietăților optice microscopice poate fi efectuată în diferite moduri în funcție de felul luminii utilizate, gradul de transparență al mineralului, modul de preparare a probei pentru analiză sau după diferite particularități ale aparaturii și tehnicii de lucru.

4.2.2. Proprietăți optice microscopice ale mineralelor transparente în secțiuni subțiri examineate în lumină transmisă

Pentru observarea acestor proprietăți proba este prelucrată sub forma unui preparat cu o grosime de 0,02—0,03 mm prins între două lamele cu ajutorul unui mediu de imersiune cu indice de refracție cunoscut care poate fi un produs natural — Balsam de Canada ($n = 1,54$) sau sintetic — CEDAX etc. ($n = 1,54$) iar fascicolul de radiații luminoase străbate secțiunea preparată pentru analiză. Lumina utilizată poate fi nepolarizată, naturală * situație în care se pot observa un număr redus de proprietăți (forma, dimensiunile, grosimea granulelor, clivajul și culoarea) sau polarizată. Aceasta din urmă poate fi plan polarizată (lumină paralelă—ortoscopie) sau convergentă (conoscopie).

Lumina polarizată se obține cu ajutorul unor dispozitive denumite nicii confectionați inițial din calcit (spat de Islanda) iar în prezent din filtre polaroide (pelicule foarte subțiri de cristale de sulfat de iodochină-herapatit dispuse pe un suport format dintr-o lamă de sticlă fără tensiuni). Se poate utiliza un singur nicol (polarizorul) sau doi nicii (polarizorul și analizorul) ale căror plane de vibrație sunt dispuse perpendicular între ele — nicii încrucișați.

Proprietăți observate în lumină plan polarizată (lumină paralelă).

Cu un nicol. În aceste condiții se pot observa conturul, habitusul, clivajul, refrigența, culoarea, pleocroismul, gradul de transparentă, pseudoadsorbția, incluziunile și aureolele pleocroice.

Conturul este considerat euhedral (idiomorf), subhedral (hipidiomorf) sau anhedral (xenomorf) după cum mineralul examinat este delimitat integral de fețe cristalografice, doar parțial sau respectiv lipsit complet de forme proprii.

* În unele cazuri speciale (determinări cantitative ale indicilor de refracție, birefringenței) se utilizează radiații monocromatice cu anumite lungimi de undă.

Habitusul poate fi definit ca în cazul aprecierilor macroscopice asupra morfologiei după modul de dezvoltare în spațiu ca izometric tabular, prismatic, columnar, acicular, fibros cu mențiunea că imaginea microscopică fiind în două dimensiuni mineralele care cu ochiul liber sunt considerate tabulare sau lamelare de exemplu baritina sau miclele prezintă cel mai adesea sub microscop habitus columnar sau prismatic.

Clivajul reprezentând direcții cristalografice precise și caracteristice, pentru diferite specii minerale cristalizate servește atât la determinarea acestora cît și ca un reper pentru orientarea poziției direcțiilor de elasticitate optică și în general a indicatricei, mai ales, în cazul secțiunilor prin granule minerale, care nu apar marcate prin conture geometrice pronunțate. El apare la microscop sub forma unui sistem de crăpături fine lineare sau sub forma a două sisteme care se intersectează sub un unghi anumit și caracteristic pentru unele specii de minerale. După finețea și continuitatea liniilor se separă tipurile de clivaj perfect, bun, distinct, slab iar cu ajutorul platinei, fibrelor reticulare și al vernierului se măsoară valoarea în grade a unghiului de clivaj.

Refringența. Având în vedere faptul că indicii de refracție constituie constante optice cu o mare valoare determinativă pentru diferite specii de minerale sau termeni în seriile izomorfe cunoașterea valorii lor reprezintă unul din obiectivele principale ale opticii mineralelor. Ei pot fi determinați cantitativ ca valori numerice prin metoda imersiei utilizându-se alături de microscop a unor refractometre, măsuțe de încălzire și monocromatoare unde variem temperatura sau lungimea de undă. În mod expeditiv, se recurge însă la aprecierea calitativă a refringenței prin intermediul reliefului mineralelor. Relieful este expresia valorii indicilor de refracție sesizată vizual în secțiuni subțiri și apare cu atât mai pronunțat cu cît aceștia sunt mai ridicăți imprimind suprafetei plane a granulelor un aspect plin de asperități numit chagrinaj. Caracterul pozitiv sau negativ al reliefului se apreciază comparativ cu refrigența balsamului de Canada ($n = 1,54$) și se determină prin urmărirea comportării dungii luminoase care apare la contactul dintre două minerale cu refrigență diferită (franja lui Becke) în momentul în care se deregleză punerea la punct a imaginii. Dacă în momentul măririi distanței dintre obiectiv și secțiune franja se deplasează spre mineral, relieful este pozitiv; la deplasarea franjei spre balsam relieful este considerat negativ. Intensitatea reliefului se apreciază pe baza grosimii liniei conturului mineralului, iar ca termeni de comparație pentru stabilirea gradelor de intensitate se utilizează o serie de minerale etalon care compun aşa numita „scară de reliefuri“ a lui Michel Lévy: relief slab ($n = 1,55-1,60$) — quartul; relief mediu ($n = 1,61-1,65$) — mucovitul; relief pronunțat ($n = 1,66-1,70$) — olivina; relief puternic ($n = 1,71-1,75$) — augitul; relief foarte puternic ($n = 1,75-1,80$) — sfenul; relief extrem de puternic ($n > 2,00$) rutilul.

Culoarea și pleocroismul — Un avantaj al observațiilor microscopice privind aceste proprietăți constă în posibilitatea sesizării variațiilor de culoare care apar la unele minerale anizotropice, la rotirea platinei microscopului.

Această proprietate se numește dicroism la mineralele uniaxe unde în secțiunile paralele cu axul optic apar două nuanțe de culoare și tricroism la mineralele biaxe unde în două secțiuni diferit orientate apar trei nuanțe de culoare corespunzînd direcțiilor principale de vibrație. Secțiunile perpendiculare pe axele optice sunt monocroice iar culoarea lor corespunde unei absorbții mai intense și se numește culoare fundamentală. În aprecierea pleocroismului se fac precizări asupra schemei de pleocroism cuprinzînd gradul de intensitate al culorii paralel cu cele trei (respectiv două) direcții de vibrație considerate și asupra caracterului normal (tip biotit) sau invers (tip turmalină) al pleocroismului.

Proprietăți observate în lumină plan polarizată cu doi nicoli

Dacă la un microscop se folosesc ambii nicoli (polarizor și analizor, ale căror direcții de vibrație sunt perpendiculare) și între ei nu există o secțiune de mineral raza extraordinară se comportă asemănător cu raza ordinară fiind eliminată și se obține obscuritate. Dacă însă între cei doi nicoli încrucișați se introduce o secțiune subțire se pot observa o serie de proprietăți determinate în special de fenomenul de polarizație cromatică.

Izotropia și anizotropia optică. Pot fi examinate prin rotirea platinei microscopului cu 360° . O secțiune printr-un mineral optic izotrop (cristalizat în sistemul cubic sau amorf) va rămîne complet stinsă deoarece nu are nici o acțiune asupra razelor de lumină polarizată, care nu-și schimbă azimutul de vibrație cu care ies din polarizor și ajungind la analizator vor fi eliminate prin reflexie totală. O comportare identică prezintă și secțiunile perpendiculare pe axul optic la mineralele uniaxe sau biaxe dar anizotropia lor poate fi stabilită printr-o operațiune de control executată în lumină convergentă. Secțiunile prin mineralele anizotrope prezintă patru poziții de extincție și patru poziții de lumenozitate.

Extincția. Extincția se produce cînd cele două direcții de vibrație sau de elasticitate optică după care razele luminoase traversează o secțiune anizotropă sunt la coincidență cu direcția de vibrație din nicoul polarizor fiind eliminate de nicoul analizor. Pentru stabilirea tipului de extincție este necesar ca direcțiile de extincție marcate prin firele reticulare ale ocularului să fie raportate la un reper cristalografic (linii directoare) care poate fi dat de conturul cristalelor idiomorfe, liniile de clivaj, planele de maclă. După felul de orientare al direcțiilor de extincție în raport cu liniile directoare se deosebesc :

— extincție dreaptă cu direcțiile de extincție paralele cu muchiile cristalelor prismatice sau cu urma liniilor de clivaj paralele cu fețele de prismă ;

— extincție simetrică, cînd direcțiile de extincție bisectează unghiul dintre două muchii care mărginesc o față bazală sau unghiul format de două direcții de clivaj paralele cu fețele de prismă ;

— extincție inclinată, cînd direcțiile de extincție formează un unghi oarecare cu una din liniile directoare.

Aceste trei tipuri de extincție reprezintă un prim criteriu pentru stabilirea sistemului de cristalizare al granulelor din secțiunile subțiri.

Astfel : mineralele cristalizate în sistemele trigonal, tetragonal și hexagonal prezintă întotdeauna extincții drepte pe fețele de prismă și simetrice (pe fețele bazale) ; mineralele cristalizate în sistemul rombic prezintă extincții drepte în planul fețelor de prismă și de pinacoizi și extincții simetrice în planul fețelor de prismă și dom ; mineralele cristalizate în sistemul monoclinic prezintă extincții drepte și simetrice în secțiuni perpendiculare pe planul de simetrie din zona (001)/(100) și inclinate în secțiunile perpendiculare pe acest plan (010) ; mineralele cristalizate în sistemul triclinic prezintă numai extincții inclinate.

O constantă importantă pentru caracterizarea mineralelor este unghiul de extincție. Acesta se măsoară reticular vertical, aducind în poziție paralelă cu firul unul din reperele cristalografice menționate și măsurând cu ajutorul vernierului valoarea în grade a unghiului cu care s-a rotit platina microscopului pînă la obținerea extincției. În practica analizei microscopice valoarea unghiului de extincție se citește în sensul în care secțiunea ajunge mai repede prin rotație la extincție (unghiul mai mic de 45°).

Birefringența care reprezintă un rezultat al interferenței razelor dublu refractate este o constantă optică cu mare valoare determinativă pentru mineralele anizotrope. Birefringența unui mineral cristalizat anizotrop depinde atât de diferența de viteză a celor două raze produse prin dubla refracție care îl străbat cât și de grosimea secțiunii în care este examinat. Relația birefringenței este :

$$R = e(n_g - n_p)^* \text{ sau } R = e(n_y - n_x) \quad (1)$$

în care R reprezintă diferența de drum, e grosimea secțiunii ; $(n_g - n_p)$ diferența dintre indicii de refracție maxim și minim numită și birefringență.

Birefringența se poate determina atât cantitativ obținindu-se valoarea exactă a termenului $(n_g - n_p)$ din relația 1 cât și calitativ prin aprecierea culorii și a ordinului culorii de birefringență. În primul caz grosimea secțiunii se măsoară cu un sferometru, cu ocularul micrometric cu fir mobil sau prin metoda ducelui de Chaulnes (punerea la punct a firului de praf) iar în cel de al doilea caz întîrzierea R se determină prin principiul compensației utilizându-se diferite compensatoare speciale (Babinet, Berek, Nikitin, Leitz-Wetzler) pentru care funcțiile de compensație sunt calculate și redactate în tabele. În cel de al doilea caz, birefringența poate fi apreciată și rapid cu ajutorul tabelului lui Michel Lévy. Acest tabel se compune dintr-o serie de diagrame cumulate într-o diagramă unică, care reprezintă transpunerea, prin suprapunere a culorilor de interferență din primele patru ordine din scara lui Newton, peste un sistem de coordonate în care pe abscisă sunt trasate întîrzierile R corespunzătoare diferitelor ordine de culori de birefrigență, iar pe ordinata grosimile „e“ ale secțiunilor în fracțiuni de milimetru (0,01—0,06 mm). Culorile de birefrigență sunt etalate în ordinea succesivă a ordinelor culorilor de

* Semnificația literelor utilizate rezidă din inițialele în limba franceză ale cuvintelor : retard — întîrziere ; épaisseur — grosime ; grand — mare ; petit — mic

interferență în formă de benzi verticale iar grosimile sunt indicate prin drepte orizontale. Din originea axelor de coordonate sunt traseate o serie de drepte inclinate care indică la marginea tabelei — birefrigență în fracțiuni de microni.

Culoarea de birefrigență se observă în poziția de luminozitate maximă care se află la 45° de poziția de extincție. Ordinul de culoare se prezintă cu ajutorul compensatoarelor de mică ($\lambda/4$) sau de gips (λ) care introduc o întârziere de un sfert de undă respectiv de o lungime de undă.

Valoarea numerică se poate afla prin citirea directă urmărind dreapta care pornind din punctul de origine trece prin intersecția culorii de interferență a unei secțiuni birefringente observate la microscop, cu grosimea secțiunii în cauză.

Determinarea poziției direcțiilor de vibrație. Pentru a se stabili ce indice corespunde fiecărui plan de vibrație se aduce mineralul în poziție de extincție, se scoate analizatorul și se desenează conturul mineralului pe care se trasează urma firelor reticulare deoarece la extincție direcțiile de vibrație în mineral sunt paralele cu planele de vibrație ale nicolilor. Pentru a afla în continuare care din aceste direcții corespund lui n_y și care lui n_x se rotește platina microscopului cu 45° , aducindu-se mineralul în poziție de luminozitate se observă culoarea de birefrigență și apoi se introduce o lamă compensatoare care produce o diferență de drum ce se traduce prin schimbarea culorii inițiale. Având în vedere faptul că direcțiile de vibrație ale compensatorilor sunt cunoscute și marcate pe aceștia, dacă se produce o creștere a culorii înseamnă că direcțiile de vibrație din mineral și compensator coincid iar dacă se produce o scădere se deduce că direcțiile de vibrație sunt de sens contrar.

Alungirea. Se determină la mineralele cu habitus columnar, prismatic sau acicular. La mineralele cu extincție dreaptă dacă n_y este paralel cu alungirea cristalului aceasta este pozitivă iar dacă n_x este în această poziție, este negativă. La mineralele cu extincție oblică se ia în considerare direcția care face cu alungirea un unghi mai mic de 45° .

Macle și structuri zonare. Maclele se sesizează prin modul diferit de extincție și se poate stabili orientarea planului de măslă față de un reper cristalografic (muchie de cristal, direcție de clivaj) și tipul de măslă: dublă, polisintetică sau ciclică.

Structurile zonare sunt evidențiate pe baza modificărilor de culoare, culoare de birefringență, relief din interiorul cristalului. În funcție de conturul zonelor se stabilăște caracterul lor euhedral sau anhedral iar în funcție de modificarea compoziției zonelor dedusă prin variația unor proprietăți optice (relief, extincție, birefringență), se stabilăște tipul de zonare — normală, inversă sau recurrentă.

Proprietăți observate în lumină convergentă.

Pentru efectuarea acestei analize (numită și conoscopică) în dispozitivul optic al microscopului se introduce un condesor constituit dintr-un sistem combinat de lentile plan convexe care au focalul superior în coincidență cu focalul inferior al obiectivului. În aceste condiții prin secțiunea de analizat străbate un fascicul convergent de lumină polarizată constituit dintr-o totalitate de man-

tale conice coaxiale luminoase ale căror raze se unesc punctiform în planul focal al obiectivului în care se produc apoi niște figuri numite figuri de interferență caracteristice pentru diferite grupe de minerale anizotrope. Observarea figurilor de interferență se poate efectua fie prin metoda Lasaulx prin îndepărțarea ocularului situație în care se observă o imagine mică și clară fie prin metoda Amici-Bertrand cind se introduce o lentilă obiectiv auxiliară care permite obținerea unei imagini mai mari dar mai vagi a figurii de interferență. Particularitățile micrografice care pot fi determinate conoscopic sunt : deosebirea precisă a mineralelor izotrope și anizotrope, stabilirea uniaxicității și biaxicității optice, determinarea orientării secțiunii față de indicatricea mineralului, evidențierea caracterului optic pozitiv sau negativ, studierea dispersiei direcțiilor de elasticitate optică (dispersia extincțiilor) și a dispersiei axelor optice, măsurarea unghiului axelor optice (2V).

4.2.3. Proprietăți optice microscopice ale mineralelor opace examineate în lumină reflectată

Această metodă de analiză numită și calcografie * se bazează pe fenomenele optice care au loc la incidența luminii plan polarizate cu suprafața lustruită a mineralelor opace. Numărul observațiilor este mai redus ca la analiza în secțiuni subțiri dar ele trebuie executate cu mare acuitate și precizie. Practica a reținut cîteva proprietăți esențiale printre care se numără puterea de reflexie, bireflexia, culoarea, izotropia și anizotropia, reflexele interne ; primele trei se determină cu un nicol iar ultimele două cu nicolii în cruce. În afara acestor proprietăți folosind un nicol se mai fac observații asupra habitusului conturului, clivajului, reliefului și gradului de lustruire și utilizând doi nicoli observați asupra maclelor, extincțiilor ondulatorii și anomalialilor optice. Prin atașarea la microscop a unui microurimetră se pot efectua măsurători precise ale microurității Vickers. Pentru examinarea unor particularități ale mineralelor se mai folosesc diferite procedee de atac diagnostic sau de atac structural care evidențiază diferite macle, concreșteri sau exsoluții.

5. PROPRIETĂȚI TERMICE

Din punct de vedere termic substanțele cristalizate prezintă o comportare amaloagă celei optice, deoarece razele termice suferă în mediile cristalizate aceleași modificări ca și razele de lumină. Simetria fenomenelor termice este analoagă cu cea a fenomenelor optice. Substanțele cristalizate pot fi transparente pentru razele de căldură cind sunt numite diatermane, exemplu halitul, silvina, sau netransparente numite adiatermane, exemplu alaunul, calcitul, pe rînd gipsul și mai ales apa, fac excepții fiind fie parțial fie total adiatermane.

* In limba greacă chalkos — înseamnă cupru, metal, minereu iar graphe — descriere.

Între mineralele diatermane unele prezintă absorbtie selectivă a razelor termice prezentindu-se „colorate“, altele însă se comportă în color pentru razele termice cum sunt, silvina, halitul, kerargiritul, blenda.

Mineralele opace sunt în acelaș timp și adiatermane.

5.1. CONDUCTIBILITATEA TERMICĂ

Si această proprietate specifică metalelor se explică de asemenea prin mobilitatea, prin ușurința mișcării electronilor în stratul lor de valență, sau datorită unei autodifuziuni din interiorul cristalelor. Într-un solid neconductor incălzit la un capăt, căldura se transmite spre capătul rece pînă la egalizare prin mișcările vibratorii ale atomilor. La metale electronii își măresc energia cinetică cînd se întîlnesc cu un atom cald și transmit apoi excesul de energie unor atomi reci. Deci electronii joacă un rol deosebit în transferul energiei cinetice, totuși ei nu contribuie la căldura specifică a metalului. Electronii pierd energia cinetică pe care o primesc atomii și pe care o păstrează indefinit. În tabelul nr. 8 sunt redată conductibilitățile termice ale unor substanțe.

Tabel Nr. 8
Conductibilitatea termică relativă a unor substanțe (la 20°C în raport cu Ag)
(după C. D. Nenițescu)

Nr. crt.	Substanță	Conductibilitatea termică	Nr. crt.	Substanță	Conductibilitatea termică
1.	Argint	1,00	1.	Flerură de calciu (fluorina)	0,024
2.	Cupru	0,93	2.	Clorură de sodiu (halit)	0,017
3.	Aur	0,71	3.	Sticlă	0,0025
4.	Aluminiu	0,48	4.	Porțelan	0,0025
5.	Sodiu	0,32	5.	Apă	0,0014
6.	Zinc	0,27	6.	Ciment	0,0005
7.	Fier	0,15	7.	Alcool, benzen, acetonă	0,0004
8.	Carbon, grafit	0,040			
9.	Plumb	0,085			
10.	Staniu	0,014			
11.	Bismut	0,018			

Conductibilitatea termică absolută este dată de numărul de calorii ce trec într-o secundă printr-un bloc de material de 1 cm grosime, pe suprafață de 1 cm² cînd diferența de temperatură este de 1°C. Unitatea de măsură este cal.cm⁻¹.s⁻¹.grad⁻¹(k). Conductibilitatea termică scade cu temperatura. Coeficientul specific de conductibilitate termică k se poate exprima prin formula :

$$dQ/dt = -kF \cdot dT/ds$$

în care F = suprafață prin care se transmite căldura, s = distanță, T = temperatura, t = timpul.

Fenomenul de polarizație liniară a razelor calorice împarte de asemenea substanțele în cristale termice izotrope și cristale termice anizotrope — care la rindul lor sunt impărțite în uniaxe și biaxe. Sistemele cristalografice stabilite sunt valabile și pentru radiațiile calorice.

Conductibilitatea termică a cristalelor optice anizotrope este dependentă de direcție ; cristalele bune conducătoare de căldură, reprezintă un flux de căldură, iar cele rău conducătoare de căldură, un proces de radiație termică interioara.

Prin încălzirea unui cristal într-un punct oarecare, căldura se poate propaga în toate direcțiile din cristal pînă ce toate punctele cristalului au aceeași temperatură. Dacă operația de încălzire este opriță la un moment dat, constatăm apariția unor suprafete marcate marginal cu puncte care indică aceleași temperaturi, aceste suprafete sunt numite „suprafete izoterme“. Forma acestor suprafete depinde de simetria cristalului.

În substanțele izotrope, coeficientul de conductibilitate termică are aceleași valori în toate direcțiile, suprafetele izoterme în aceste corpuși au forme sferice.

În cazul corpușilor anizotrope coeficientul de conductibilitate termică variază cu direcția, iar valoarea numerică depinde de natura substanței constitutive ; suprafetele izoterme au forme elipsoidale, iar secțiunile în acest elipsoid au în general forme eliptice.

Cristalele optic anizotrope uniaxe (pătratic, hexagonal și trigonal) prezintă un elipsoid de revoluție, la care secțiunile pe fețele bazale sunt cercuri iar pe celelalte fețe sunt elipse. Valorile coeficientului k la calcit trigonal sunt :

$$k \parallel c = 0,096 ; k \perp c = 0,083 \text{ cal/cm.s.grad} \text{ iar pentru cuarțul trigonal :}$$
$$k \parallel c = 0,0325 ; k \perp c = 0,0173 \text{ cal/cm.s.grad}$$

Cristalele optic anizotrope biaxe (rombic, monoclinic, triclinic) prezintă forma de elipsoid cu trei axe principale analoage axelor principale optice. Valorile coeficienților k pentru gips după cele trei direcții sunt $0,420 \cdot 0,640 ; 1,000 \text{ cal/cm.s.grad}$.

După cum cristalele optic anizotrope sunt pozitive și negative la fel și din punct de vedere termic, ele sunt termic uniaxe pozitive și negative și biaxe pozitive și negative.

Există o strinsă legătură între conductibilitatea termică și structura reticulară a cristalelor.

Se observă că în direcțiile cu densitate reticulară mare și conductibilitatea termică este mai ridicată. La structurile stratificate conductibilitatea termică este mai mare în interiorul stratelor decât pe direcțiile perpendiculare pe aceste strate reticulare. Exemplu la grafit hexagonal, raportul pentru k pe cele două direcții este :

$$k \perp c / k \parallel c = 4$$

iar la mică (monoclinică) aceleași rapoarte sunt :

$$k[100]/k[001] = 5,80 \text{ iar pentru}$$
$$k[010]/k[001] = 6,30$$

La structurile fibroase, de asemenea, conductibilitatea termică este maximă pe direcția de dezvoltare a fibrelor, care coincid cu șirurile reticulare cu densitate maximă, exemplu la tremolit (monoclinic) unde rapoartele coeficienților k sunt :

$$k[100] \text{ k}[001] = 0,36$$

$$k[010] \text{ k}[001] = 0,57$$

Înind seama de conductibilitatea termică, mineralele cristalizate se împart în : specii bune conducătoare de căldură, metale native și minerale metalifere — minereurile cu luciu metalic ; și specii rău conducătoare de căldură — mineralele cu aspect nemetalic. Mineralele cu compozitie chimică complexă au o conductibilitate termică mult redusă.

Pentru aggregatele policristaline cu cristalele neorientate sau pentru masele poliminerale valoarea coeficientului k este independentă de direcție dar este puternic influențată de porozitatea, umiditatea, dimensiunea cristalelor. În tabelul nr. 9 sunt redată valorile k pentru cîteva

Conductibilitatea termică a unor aggregate minerale (după A. Kissling)

Tabel Nr. 9

Substanță	g/cm ³	t°C	cal · cm ⁻¹ s ⁻¹ · grad ⁻¹
Marmură	—	0	0,0054 — 0,0084
Bauxită	2,72	300	0,005640
Gresie calcaroasă	1,66	40	0,001720
Gresie calcaroasă	1,99	40	0,002360
Argilă refracțiară	—	—	0,002100 — 0,003600
Nisip cuarțos uscat	1,52	20	0,000780
Mică (pulbere presată)	2,30—2,40	—	0,000600 — 0,000700
Azbest (vată)	0,38	0—100	0,000275
Azbest (placă)	0,89	50	0,000390
Vată de zgoră	0,25	10	0,000110
Vată de sticlă	0,13—0,07	10	0,000090 — 0,000010

aggregate minerale în raport cu greutatea volumică (g/cm³). Se observă că această valoare este inferioară față de cea a monomineralelor. Conductibilitatea termică ajută la recunoașterea mineralelor. Exemplu marmura conduce mai bine căldura în raport cu alabastru ; deci se poate simți diferența de temperatură la o cercetare macroscopică. Diamantul este rece în comparație cu alte pietre prețioase, de asemenea, cuarțul este rece în timpul verii cînd acționează asupra lui razele solare.

5.2. DILATATIA TERMICA

Orice corp supus încălzirii își mărește dimensiunile proporțional cu temperatura dată. În mod excepțional unele monocristale se contractă pe anumite direcții cristalografice (calcitul).

Un corp filiform încălzit de la temperatura t_0 la temperatura t , cu o lungime l_0 , va căpăta la temperatura t_1 o lungime egală cu l . Dilatarea să-a produs după relația :

$$l = l_0[1 + \beta(t - t_0)]$$

unde β = coeficientul de dilatație termică liniară. Creșterea unității de lungime pentru 1°C , este de 10^{-6} . grad $^{-1}$.

Dilatația termică la corporile cristalizate este în comparație cu cea a lichidelor sau gazelor foarte mică dar oscilează în limite destul de largi, apare sub forma unui fenomen de deformare omogenă, adică de schimbare a formei cristalelor în urma unei ridicări de temperatură fără însă a-și modifica omogenitatea fizică. De obicei apare o variație de volum care este pozitivă adică volumul devine din ce în ce mai mare, creșterea de volum depinzând de coeficientul de dilatare.

Sferele tăiate în monocrstäle aparținind diferitelor sisteme cristalografice, încălzite la temperatura t , prin dilatare îmbracă conform tipului de simetrie, forme sferice, elipsoizi de rotație sau elipsoizi cu trei axe.

Corporile optic izotrope, arată valori pentru coeficientul de dilatare egale pe toate direcțiile $\beta_a = \beta_b = \beta_c$. Fețele de cristal sunt deplasate paralel cu ele însile deci unghurile făcute de fețele unui cristal nu vor varia în funcție de variațiile de temperatură. Legea constantei unghuirilor rămîne valabilă la orice temperatură.

Corporile optic anizotrope uniaxe (simetrie medie tetragonal, hexagonal, trigonal) se deformează prin dilatare termică luînd forme de elipsoizi de revoluție, alungiți sau turtiți după cum sunt pozitivi sau negativi. Coeficienții de dilatație termică arată $\beta_a = \beta_b \neq \beta_c$. În consecință unghurile făcute de fețele de cristal variază în funcție de temperatură însă paralelismul fețelor se menține. Simetria geometrică nu e influențată de variația de temperatură.

Corporile optic anizotrope biaxe (simetrie inferioară — rombic, monoclinic, triclinic) se deformează prin dilatare termică, forma suprafețelor de dilatație este de elipsoid cu trei axe principale perpendiculare între ele $\beta_a \neq \beta_b \neq \beta_c$. În raport cu elementele cristalografice orientarea elipsoidului de dilatație este aceeași cu a elipsoidului de conductibilitate termică a sistemelor corespunzătoare. Legea raționalității indicilor este valabilă la orice temperatură.

În general prin dilatație termică substanțele cristalizate, nu-și schimbă simetria cristalului și nici legăturile zonale dintre fețele cristalului. Constantele optice ale mineralelor se modifică și anume indicii de refracție devin mai mici, birefringența variază și ea devenind mai mică. În cazul mineralelor biaxe, variază și unghiu axelor optice precum și poziția planului determinat de cele două axe optice. În continuare sunt prezentate coeficienții de dilatare liniară β la diferite monominerale (tabel nr. 10).

Coeficienți de dilatare liniară β la diferite minerale.

Tabel Nr. 10

Sistemul	Substanță	β	Sistemul	Substanță	β
Cubic $\beta_a = \beta_b = \beta_c$	Halit Fluorină Cupru Argint Platină Fier Aluminiu	$40 \cdot 10^{-6}$ $19 \cdot 10^{-6}$ $20 \cdot 10^{-6}$ $20,5 \cdot 10^{-6}$ $11,3 \cdot 10^{-6}$ $14,5 \cdot 10^{-6}$ $23,6 \cdot 10^{-6}$	Monoclinic β_a β_b β_c	Epidot Augit	$9,13 \cdot 10^{-6}$ $0,34 \cdot 10^{-6}$ $10,86 \cdot 10^{-6}$
Tetragonal β_c β_a	Zircon	$44,3 \cdot 10^{-6}$ $23,3 \cdot 10^{-6}$	Monoclinic β_a β_b β_c		$13,83 \cdot 10^{-6}$ $2,73 \cdot 10^{-6}$ $7,91 \cdot 10^{-6}$
Trigonal β_c β_a	Calcit	$26,21 \cdot 10^{-6}$ $5,4 \cdot 10^{-6}$	Monoclinic β_a β_b β_c	Gips	$41,63 \cdot 10^{-6}$ $1,57 \cdot 10^{-6}$ $29,33 \cdot 10^{-6}$
Rombic β_a β_b β_c	Cuarț	$7,81 \cdot 10^{-6}$ $14,19 \cdot 10^{-6}$			
Rombic β_a β_b β_c	Aragonit	$34,60 \cdot 10^{-6}$ $14,19 \cdot 10^{-6}$ $10,11 \cdot 10^{-6}$			
Rombic β_a β_b β_c	Topaz	$5,42 \cdot 10^{-6}$ $4,84 \cdot 10^{-6}$ $4,14 \cdot 10^{-6}$			

Diferențele dintre dilatația diferitelor minerale componente ale unei roci, diferențele mari între dilatația apei și a gheței etc., sunt cauza degradării mecanice a rocilor supuse variațiilor brusă de temperatură.

Dilatația termică este importantă din punct de vedere tehnic în industria metalurgică, ceramică și a sticlăriei și în general în acele domenii unde este nevoie de obținere de materiale care rezistă la schimbări brusă de temperatură de peste 1400°C în cîteva secunde. Pentru asemenea produse se folosesc în special materiale ca: zircon, corindon, corierit, mase ceramice din minerale cu litiu, la care coeficientul de dilatăre este foarte mic.

6. PROPRIETĂȚI ELECTRICE

Mineralele se împart în rău conducătoare de electricitate sau izolatori și bune conducătoare de electricitate, sau conductori electrici. La rîndul lor conductorii electrici sunt de două feluri, conductorii metalici sau electronici și electroliți *.

Curentul electric transmis prin metale este — conform legii lui Ohm — direct proporțional cu diferența de potențial, ori cît de mică ar fi aceasta. S-a dedus de aici că în metal trebuie să existe electroni foarte mobili, atașați slab de atomi și deci liberi să se miște prin metal de la un atom la altul. În unele cazuri putem assista la schimbări ale electronilor substanțelor cu electroni ai unei surse de curent. Electronii responsabili pentru conductibilitatea metalică se comportă ca un nor electronic ce se mișcă nederanjați într-o rețea compusă din ionii atomii metalului. Electronii mobili nu influențează capacitatea calorică a metalelor, deci existența lor este datorită numai mișcării vibratorii a atomilor în rețea.

Conducerea curentului electric prin mobilitatea electronilor are loc mai ușor atunci cînd banda de valență este numai pe jumătate ocupată cu electroni. Metalele în care stratul de valență „s“ este complet ocupat de electroni conduc mai puțin curentul electric decit acelea cu stratul s ocupat cu electroni numai pe jumătate.

Conductibilitatea electrică a metalelor este micșorată de orice defecte de rețea care apar, de regulă impurități de atomi/ioni străini. Valoarea conductibilității electrice se modifică la variațiile de temperatură — ea scade odată cu creșterea temperaturii.

Conductibilitatea electrică deci la substanțele cristalizate depinde de compoziția substanței, de structura reticulară a ei și simetria substanței cristalizate (este specifică unor anumite clase de simetrie). Conductibilitatea electrică se comportă în cristale ca și conductibilitatea termică și propagarea luminii. Suprafața vectorială a coeficientului de conductibilitate electrică are forma unei sfere, sau forme elipsoide, de rotație sau triaxiale. În cazul corpuri izotrope (și amorf) conductibilitatea prezintă aceleasi valori în orice direcție în masa cristalului suprafața infășurătoare fiind o sferă. În cazul celorlalte corpuri cristalizate anizotrope,

* Electroliții nu fac obiectul discuțiilor noastre.

Rezistențe și conductibilități specifice (la 18°C)

Substanță	$\rho =$ rezistență specifică în $\Omega \cdot \text{cm}$	$\gamma =$ conducție specifică ($1/\rho$) în $\Omega^{-1} \cdot \text{cm}^{-1}$	Natura conductorului
Argint	$1,6 \cdot 10^{-6}$	$6,2 \cdot 10^5$	Conductori metalici sau electronicii
Cupru	$1,8 \cdot 10^{-6}$	$5,6 \cdot 10^5$	
Aluminiu	$2,6 \cdot 10^{-6}$	$2,9 \cdot 10^5$	
Potasiu	$6,6 \cdot 10^{-6}$	$1,6 \cdot 10^5$	
Fier	$9,8 \cdot 10^{-6}$	$1,0 \cdot 10^5$	
Bismut	$4,1 \cdot 10^{-4}$	$9,1 \cdot 10^3$	
Carbon (grafit)	$1,4 \cdot 10^{-3}$	$7,1 \cdot 10^2$	
NaCl (topit)	0,30	3,33	
H ₂ SO ₄ (l/normal)	2,50	0,40	
KOH (l/normal)	5,00	0,20	
KCl (l/normal)	10,00	0,10	
Apa foarte pură	$2,5 \cdot 10^7$	$4 \cdot 10^{-8}$	Electroliți
Sticla	$1 \cdot 10^{10}$	$1 \cdot 10^{-10}$	
NaCl (cristale 20°C)	$1 \cdot 10^{17}$	$1 \cdot 10^{-17}$	
Sulf (rombic 20°C)	$2 \cdot 10^{17}$	$5 \cdot 10^{-18}$	Izolatori dielectrici

Intervalul rezistenței specifice $\gamma = 1/\rho$ se numește conductibilitate specifică sau conductivitate.

Unitatea de măsură ohm⁻¹·cm⁻¹.

conductibilitatea electrică este diferită pe direcții diferite deci suprafața înfășurătoare este elipsoid de revoluție pentru mineralele uniaxe și elipsoid triaxial pentru mineralele biaxe.

6.1. TERMOELECTRICITATEA

Relațiile existente între fenomenele termice și electrice în corpurile anizotrope sunt concretizate prin fenomenul de termoelectricitate. În general termoelectricitatea este o însușire fizică proprie metalelor și mineralelor cristalizate din grupa celor bune conducătoare de electricitate. Fenomenul termoelectric constă în producerea unui curent electric prin încălzirea sau răcirea contactului (sudura) dintre două metale sau minerale bune conducătoare. Curentul termoelectric produs reprezintă un caz de transformare a energiei calorice în energie electrică.

Producerea unui curent termoelectric se obține experimental dacă încălzim locul de legare a unei sîrme de cupru cu una de fier în timp ce celălalt loc de sudură se menține la temperatura camerei. Curentul produs trece de la cupru la fier. Metalele formează următoarea serie termoelectrică : Bi → Ni → Pt → Pd → Co → Mn → Ag → Sn → Pb → Cu → Au → Zn → Fe → As → Sb. Termenii extremi sunt Bi-negativ și Sb-pozițiv. Curentul termoelectric trece în sensul indicat de săgeți și este cu atît mai intens cu cit cele două metale sudate sunt mai îndepărtațe între ele în seria termoelectrică.

Dacă într-un astfel de circuit încălzim ambele locuri de sudură, la aceeași temperatură, constatăm că nu se formează nici un curent deoarece forțele electrice care se produc sunt egale și de semn opus.

O variantă a seriei termoelectrice este seria mixtă, constituită din următorii termeni: calcopirită → piroluzit → Bi → Ni → Cu → Zn → → Fe → pirotină → Sb → pirită. Dintre termenii extremi calcopirita este negativă iar pirită este pozitivă. Impuritățile din minerale chiar în cantități reduse pot determina o schimbare în comportarea sa termoelectrică. De exemplu în cazul piritei din cauza incluziunilor de calcopirită.

6.2. PIROELECTRICITATEA

Mineralele rău conducătoare de electricitate (dielectrice) se pot încărca cu electricitate de semn contrar în diferite părți ale lor, fie prin schimbarea de temperatură fie prin presiune sau sfârșire. Piroelectricitatea este o proprietate vectorială, ea se produce prin variații de temperatură la cristale de minerale individualizate în forme hemimorfe cu o axă principală polară de simetrie (fără centru de simetrie tabel nr. 12).

Tabel Nr. 12

Clasa de simetrie	Direcția de polaritate electrică	Exemple
\bar{A}^2	Direcții oarecare și sint în număr infinit [010] = [Y] = A^2	Zahăr de trestie
P^2	Direcții oarecare în nr. infinit cu excepția direcțiilor \perp pe P, care nu sunt polare.	
P^2	[0001] = [Z] = A^3	
A^3	[0001] = [Z] = A^3	Turmalina
$A^3 3P$	[001] = [Z] = A^2	Calamina
$A^2 P' P''$	[001] = [Z] = A^4	(hemimorfitul)
A^4	[001] = [Z] = A^4	Baracitul *
$A^4 2P' 2P''$	[001] = [Z] = A^6	
A^6	[0001] = [Z] = A^6	
$A^6 3P' 3P''$	[0001] = [Z] = A^6	

Fenomenul de piroelectricitate a fost observat prima dată la cristalele de turmalină cristalizate în clasa hemimorfă $A^3 3P$ a sistemului trigonal prezentând o axă de simetrie polară. Cristalele de turmalină în urma unei variații de temperatură se încarcă cu sarcini electrice opuse la cele două capete ale axei polare de simetrie. Capătul axei încărcat pozitiv la încălzirea unui cristal este numit „pol analog“, iar acel încărcat negativ este numit „pol antilog“ (fig. nr. 62). Acest fenomen constă în excitarea unui moment electric în urma unei schimbări uniforme sau neuniforme de temperatură, în masa cristalelor și se rezumă la separarea sarcinilor electrice (pozitive și negative) la cele două terminații ale cristalului (ale axei polare). Fenomenul se produce atât pe un cristal întreg cât și pe un

* Boracitul este dimorf, prin încălzire la $265^\circ C$ devine cubic, sub această temperatură este rombic, modificare care este piroelectrică.

fragment. În cazul unei răciri uniforme a cristalului piroelectric de turmalină fenomenul electric se produce în sens invers, adică capătul pozitiv este încărcat de astă dată cu electricitate negativă, iar capătul negativ este de asemenea încărcat pozitiv.

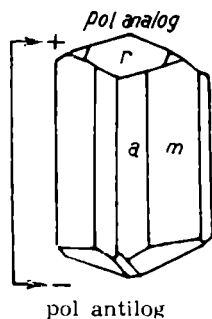


Fig. 62. Cristal de turmalină cu axa c de simetrie polară: polul analog (+) și polul antilog (-).

Metoda care permite un studiu calitativ al piroelectricității a fost dată de Kundt. După metoda lui Kundt cristalul se încălzește într-o baie de aer, apoi este trecut prin flacără unui bec de gaz, legat metallic cu pămîntul. Scopul urmărit prin această operație este de a descărca electricitatea ce s-a produs pe suprafața cristalului prin intermediul flacării. Se lasă apoi cristalul să se răcească lent. În acest timp se produce electricitate pozitivă la un capăt și electricitate negativă la celălalt capăt. Pentru a se face vizibilă repartiția electricității pe suprafața cristalului se pulverizează pe suprafața lui amestec de miniu (roșu) și pulbere de sulf (galbenă). Pulverizarea se face cu ajutorul unei site construită din pînză țesută din fire de bumbac. Pulberea de miniu și sulf trecută prin această sită deasă, prin frecare se electrizează pulberea de miniu devenind electric pozitivă, cea de sulf electric negativă. Această pulbere încărcată electric se fixează pe suprafața cristalului și anume pulberea roșie de miniu la polul negativ (antilog) iar cea galbenă de sulf la polul pozitiv (analog) al cristalului. Poziția celor doi poli iese în evidență prin contrastul de culoare a celor două feluri de substanțe. Se poate determina și cantitativ electricitatea produsă la cele două capete ale cristalului cu ajutorul unui electrometru cînd constatăm :

a) cantitatea de electricitate depinde de diferența de temperatură inițială și finală. Cu cît diferența este mai mare cu atât cantitatea de electricitate este mai mare;

b) cantitatea de electricitate nu depinde de lungimea cristalului ;
c) cantitatea de electricitate este cu atât mai mare cu cît secțiunea cristalului este mai mare.

6.3. PIEZOELECTRICITATEA

Acst fenomen a fost descoperit în 1880 de fizicienii Pierre și Jacques Curie. Piezoelectricitatea se obține la o altă serie de substanțe rău condcătoare de electricitate cristalizate în clase fără centru de simetrie prin exercitarea de presiuni sau tracțiuni, deci prin forțe mecanice de

astă dată se dezvoltă electricitatea. Prin revenirea cristalului în starea sa inițială se dezvoltă electricitate de sens contrar. Mărimea sarcinilor electrice depinde de intensitatea forței solicitatoare și nu de lungimea cristalului deformat prin solicitările mecanice. Fenomenul a fost studiat pe cristale de cuarț, varietate de temperatură joasă cu simetria $A^3 3A^2$. Piezoelectricitatea se obține pe lame de cuarț tăiate perpendicular pe una din cele trei axe liniare-polare. Polaritatea sau nepolaritatea unei direcții se explică prin structura reticulară (fig. nr. 63). În direcțiile A A' așezarea particulelor este aceeași indiferent de sensul în care sunt considerate (aceste direcții sunt considerate nepolare). În direcțiile B B' particulele se grupează într-o anumită succesiune într-un sens al direcției care este inversată în sensul contrar (este vorba de direcții considerate polare). Dacă se fac aceleași operațiuni de presiune sau tracțiune pe lame tăiate în direcția axei ternare (A^3) nu se vor obține fenomene de piezoelectricitate. Efectele piezoelectrice sunt un exemplu de transformare al energiei mecanice în energie electrică și invers a energiei electrice în energie mecanică, cristalele de cuarț jucând rol de transformator de energie. Ulterior fenomenul a fost observat și la cristalele de turmalină, de topaz, de blendă, de boracit. Deci acest fenomen se produce numai la cristale cu axe de simetrie polare. Clasele de simetrie care conduc la fenomene de piezoelectricitate : A^2 ; P^2 ; $A^2 P' P''$; $A^2 A'^2 A''^2$; A^3 ; $A^3 3P$; $A^3 3A^2$; A^4 ; $A^4 2A^2$; $A^4 2P' 2P''$; $A^4 2A^2 2P'$; $A^4 2A^2 2A'^2$; A^6 ; $A^6 3P$; $A^3 3A^2 3P''$; $A^6 3A^2 3A'^2$; $3A^4 4A^3 6P$.

Explicația fenomenului este legat de tipul de structură cristalină a cristalului. La apariția fenomenului de piezoelectricitate se produce deplasarea rețelei cationilor față de rețeaua anionilor, deplasare provocată prin comprimarea sau întinderea structurii cristaline ionice în direcția unei axe polare cea ce produce o modificare a distanțelor dintre pozițiile relative ale cationilor și anionilor. În aceste condiții sarcinile de valență nu sunt în întregime compensate și de aici posibilitatea de apariție de sarcini la capetele axelor polare.

Cuarțul este mineralul piezoelectric cu cele mai importante întrebunțări în tehnică ; se pot produce unde cu frecvențe care depășesc frecvența undelor audibile (ultrasunete), în radiofonie ca stabilizatoare ale frecvențelor în aparatura de radiocomunicație, ca oscilografe piezoelectrice, ca amplificatoare piezoelectrice, microfoane piezoelectrice, în construirea aparatelor defectoscoape pentru studiul defectelor pieselor metalice etc.

Trebuie menționat că în cazurile în care cristalele de cuarț sunt maclate, efectul de piezoelectricitate se anulează deoarece cele două cristale maclate au axe binare polarizate în sens contrar ca urmare a poziției lor simetrice în măclă, de unde și denumirea de „macle anti-piezoelectrice“. Deci cristalele de cuarț ca să fie piezoelectrice trebuie să fie cristale perfecte, nemaclate, nedeformate, ceea ce se întâlnește foarte rar în natură de aici și prețul ridicat al acestor cristale.

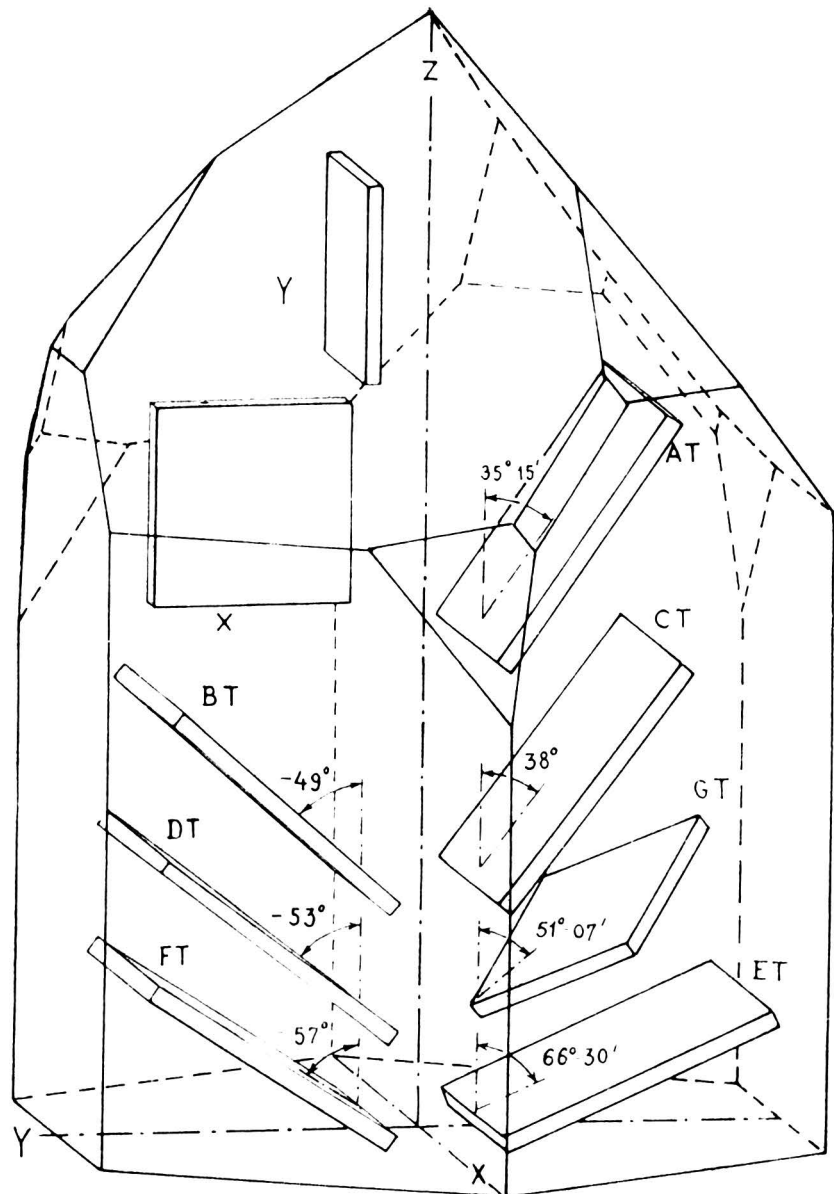


Fig. 63. Piezoelectricitatea la cristale de cuarț. Pe model sunt desenate diferite direcții de tăiere practicate în vederea obținerii unor plăci oscilatoare cu diferite caracteristici

6.4. POLARIZAREA DIELECTRICĂ A MINERALELOR

Cristalele dielectrice se comportă într-un cimp electric omogen în mod similar comportării într-un cimp magnetic. Un cristal dielectric

suspendat între doi conductori încărcați cu electricitate de semn contrar se electrizează și se orientează în cîmpul electric inductor ca și în cîmpul magnetic în conformitate cu simetria cristalului, cu axa mare de electrizare în direcția linilor de forță ale cîmpului. Polarizarea dielectrică este corespondentă magnetizării, se exprimă prin mărimea vectorială P , ce variază cu direcția și este funcție de coeficienții de susceptibilitate (γ) de constantele dielectrice (ϵ) de natură și de simetria substanței cristalizate. Suprafețele vectoriale au formă fie elipsoidală fie sferică. După forma și poziția elipsoidului de electrizare, se disting clase de simetrie uniaxe sau biaxe similare celor de la proprietățile optice, termice și magnetice.

Constanțele dielectrice sunt exprimate în unități c.g.s. față de vid pentru care se ia valoarea 1.

Exemple : halit $\epsilon = 5,77$

calcit $\epsilon_a \parallel C = 8,02$ $\epsilon_b \perp C = 8,58$

cuarț $\epsilon_a \parallel C = 4,60$ $\epsilon_b \perp C = 4,34$

baritină $\epsilon_a = 7,65$ $\epsilon_b = 1260$ $\epsilon_c = 7,70$

Susceptibilitatea electrică depinde de structura cristalului, deci de structura atomului, respectiv ionilor constitutivi, în care se produc deplasări ale sarcinilor pozitive și negative sub influența cîmpului electric. Constanța dielectrică variază în raport cu compactitatea structurii reticulare; direcțiile cu densitatea reticulară cea mai mare sunt și direcțiile cu constantele dielectrice cele mai mari.

6.5. APlicații practice

1. Separarea electrostatică a mineralelor; această metodă se bazează pe capacitatea mineralelor de a prezenta conductibilități electrice diferențiate. Prin această metodă se pot separa mineralele bune conducătoare de electricitate ca magnetitul, ilmenitul, hematitul, pirlita, pirotina, cromitul, de minerale moderat conducătoare de electricitate ca amfibolii și piroxenii ferici, turmalina, biotitul și de mineralele rău conducătoare ca sulfatii, carbonații, cuarțul, spinelii, corindonul.

2. In prospectarea subsolului; deosebirile de conductibilitatea electrică a mineralelor și agregatelor de minerale (roci, minereuri) sunt folosite în metodele de prospectare a subsolului; parametrul folosit este inversul conductibilității „rezistivitatea electrică”, valoarea pe care se bazează prospectiunea electrică. Acest parametru variază de la 1 ohm-metru (marne, nisipuri cu apă sărată) pînă la mii ohmii-metrii (calcare, anhidrită, sisturi cristaline).

7. PROPRIETĂȚI MAGNETICE

Orice sarcină electrică în mișcare generează un cîmp magnetic. Proprietățile magnetice determinate de sarcina și mișcările electronilor sunt de trei feluri: diamagnetice — mineralele sunt respinse în cîmpul magnetic neomogen spre zona densității minime a liniilor de forță; paramagne-

tice — mineralele sint atrase in cimpul magnetic neomogen spre zona cu liniile de forta cu densitate maxima; ferromagnetice — mineralele sunt atrase la fel ca substanțele paramagneticice, dar efectul este incomparabil mai puternic, constituind o proprietate specifică unor anumite substanțe cristalizate.

Susceptibilitatea magnetică X este o caracteristică a substanțelor și explică comportarea lor în cimpul magnetic. Susceptibilitatea diamagnetică prezintă o valoare negativă și este de ordinul 10^{-6} unități c.g.s. Susceptibilitatea paramagnetică este pozitivă și are valori de 10^{-3} — 10^{-4} unități c.g.s., iar susceptibilitatea substanțelor ferromagnetic este pozitivă și în jur de 10^6 unități c.g.s.

Magnetismul electronic al substanțelor se poate explica în felul următor: cind un orbital este ocupat cu doi electroni, spinii acestora se compensează total. Cind orbitalii moleculelor, atomilor, ionilor unor substanțe sunt ocupati cu perechi de electroni cu spin opus, substanța nu are moment magnetic, ea este diamagnetică. Paramagnetismul se manifestă la substanțe care au molecule, atomi, ioni la care există electroni necuplați adică au orbitalii ocupati de un singur electron. Aceștia au moment magnetic permanent, care se manifestă și în afara unui cimp magnetic exterior.

7.1. TIPURI DE MAGNETISM

7.1.1. Diamagnetismul

La substanțele diamagneticice toți electronii sunt cuplați doi cîte doi, fenomen care se menține și în prezența unui cimp magnetic. Cimpul magnetic exterior provoacă o ușoară deformare a orbitalilor determinînd un slab moment magnetic proporțional cu intensitatea cimpului magnetic și care persistă numai în timpul cind acesta se manifestă. De aceea substanțele diamagneticice sunt respinse din cimpul magnetic. Diamagnetismul nu variază cu temperatura spre deosebire de paramagnetism care scade la creșterea temperaturii.

7.1.2. Paramagnetismul

Electronul în rotație în jurul nucleului generează un cimp magnetic, iar momentul magnetic al unui electron în mișcarea sa pe o orbită este o mărime cuantificată ca și momentul mecanic și este definit prin relația

$$\mu_B = \frac{he}{4\pi mc}$$

e = sarcina electronului

μ_B = magneton Bohr

h = constanta lui Planck

m = masa electronului

c = viteza luminii

Acest moment magnetic elementar a cărui valoare numerică este $9,273 \cdot 10^{-24} A \cdot m^2$ este numit un „magneton Bohr“; el derivă din mărimi fundamentale ca sarcină și masa electronului, constanta lui Planck și viteza luminii.

Momentul magnetic de spin μ_s al unui singur electron este dat de ecuația :

$$\mu_s = g \sqrt{s(s+1)} \mu_B$$

în care $s =$ numărul cuantic de spin al electronului care este egal cu $1/2$. Factorul g este raportul giromagnetic, determinat de distanță diferențială a mesei (spre centru) și a sarcinii (spre periferie). Mărimea $\sqrt{s(s+1)}$ semnifică valoarea momentului cinetic al electronului și reprezintă raportul dintre momentul magnetic și momentul cinetic de spin. Pentru electronul izolat, g are valoarea 2,00.

Momentul magnetic de spin al unui atom determinat pentru un electron impar este :

$$\mu_s = 2\sqrt{1/2(1/2+1)}\mu_B = \sqrt{3}\mu_B = 1,73\mu_B$$

Există elemente care posedă mai mulți electroni necuplați. În acest caz, se folosește ecuația anterioară pentru a calcula momentul magnetic datorat numai spinilor electronilor necuplați. În general masa momentelor magnetice experimentale diferă de valorile de spin calculate din cauza contribuției momentelor magnetice orbitale (tabelul nr. 13). Contribuția

Tabel Nr. 13

Momente magnetice calculate și experimentate pentru cîțiva ioni (în magneton Bohr).

Elemente	Nr. electronilor necuplați	Momente magnetice	(în μ_B)
Cu^{2+}	1	1,73	1,70—2,20
Ni^{2+}	2	2,83	2,80—4,00
Cr^{3+}	3	3,87	~3,80
Fe^{2+}	4	4,90	5,10—5,50
Mn^{2+}	5	5,92	~5,90
Pb^{3+}	6	6,93	~9,70
Cd^{3+}	7	7,94	7,90

momentelor magnetice orbitale este mică, și este egală cu zero atunci cind electronul impar se află într-un orbital s, cind și numărul cuantic magnetic $m = 0$; exemplu elementele alcaline, în stare de vaporii. Aceste elemente în stare solidă sunt foarte slab paramagnetice. În această stare, cind particulele dintr-un cristal se află la distanțe foarte mici unele de altele, orbitalii stratelor de valență se întrepătrund atât de mult, încit electronii de valență nu mai aparțin unui anumit atom ci devin comuni atomilor întregului cristal. În locul unor niveluri de energii discrete, apar în metale zone de energii largite numite „benzi de valență“. Porțiunea cu energie înaltă și neocupată cu electroni se numește „bandă de conduction“. La temperaturi mai înalte de $0^{\circ}K$ o parte din electronii din banda de valență trec în banda de conduction. Electronii de valență disperși pe o bandă de conduction își compensează în mare măsură momentele de spin, asigurînd starea paramagnetică. Există puține substanțe paramagnetice.

Magnetizarea, sau momentul magnetic care ia naștere într-o substanță așezată într-un cimp magnetic este proporțională cu intensitatea H, a cimpului. Constanta de proporționalitate X numită susceptibilitatea magnetică este o proprietate specifică fiecărei substanțe.

Susceptibilitatea moleculară a unei substanțe paramagnetice este dată de suma a doi termeni, unul negativ și mic (10^{-6} unitate c.g.s), altul pozitiv și de obicei mult mai mare :

$$X_{\text{mol}} = X_{\text{dia}} + X_{\text{para}}$$

După cum s-a mai spus susceptibilitatea diamagnetică este independentă de temperatură în timp ce susceptibilitatea paramagnetică variază invers proporțional cu temperatura absolută.

$$X_{\text{para}} = C/T$$

C = constanta de proporționalitate, numită constanta lui Curie și care este specifică fiecărei substanțe paramagnetice. În absența unui cimp magnetic momentele de spin ale electronilor necuplați sunt orientate la intîmplare în toate direcțiile posibile; în cimpul magnetic momentele magnetice tind să se orienteze paralel cu cimpul. Acestei orientări î se opun însă mișcările termice ale moleculelor sau ionilor. Fenomenul de aliniere paralel cu cimpul, este comparabil cu orientarea acului unei busole în cimpul magnetic al Pământului, dar diferă de acesta având loc la scară atomică. Momentul magnetic creat nu poate avea decât două orientări opuse: una „paralelă”, alta „antiparalelă”. Cele două orientări corespund unor energii diferite, una joasă alta înaltă.

$$-\frac{1}{2} gH\mu_B \quad \text{și} \quad \frac{1}{2} gH\mu_B$$

În aceste expresii g = raportul giromagnetic (= 2,00 pentru un electron) H = intensitatea cimpului magnetic exterior, iar μ_B = magnetonul Bohr.

Energia necesară pentru a reorienta magnetul elementar de la sensul corespunzînd energiei joase la cel corespunzînd energiei înalte este :

$$\Delta E = \frac{1}{2} gH\mu_B - \left(-\frac{1}{2} gH\mu_B \right) = gH\mu_B$$

Cum $\Delta E = h\nu$, frecvența ν care corespunde acestei energii este

$$\nu = \frac{gH\mu_B}{h}$$

Numai o astfel de frecvență (ν) poate fi absorbită producind o reorientare a spinului electronului necuplat. Cum g , h și μ_B sunt constante ΔE și ν sunt funcție de intensitatea H , a cimpului magnetic exterior.

Observarea comportării magnetice a mineralelor sub influența unui cimp magnetic inductor, se realizează prin urmărirea modului de manifestare a unor bastonașe confectionate din mineral sau a unor tubușoare

de sticlă umplute cu pulbere de mineral suspendate între polii unui electromagnet în formă de potcoavă (fig. nr. 64).

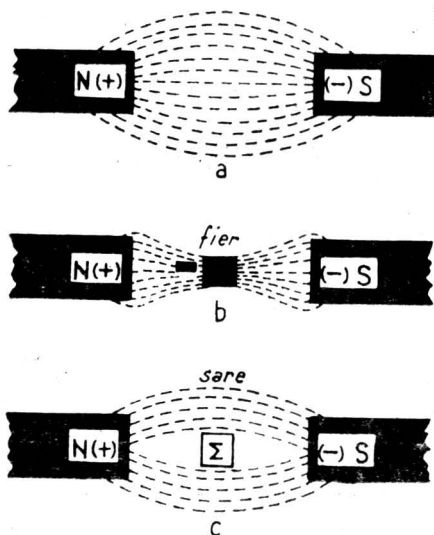


Fig. 64. Modificarea unui cimp magnetic.
a = cimp normal neperturbat; b = cimp perturbat de un corp paramagnetic;
c = cimp perturbat de un corp diamagnetic

7.1.3. Ferromagnetismul

Există unele substanțe dintre care cea mai cunoscută este fierul, care prezintă momente magnetice foarte mari (înăl sau chiar mai mari de 10^6) în comparație cu substanțele paramagnetice. Aceste substanțe sunt numite feromagnetice iar fenomenul, ferromagnetism. La substanțele feromagnetice saturația magnetică are loc la intensități relativ mici ale cîmpului magnetic. Susceptibilitatea magnetică la aceste corpu nu este o constantă ci o funcție a intensității cîmpului. Ea scade cu temperatura ca și la substanțele paramagnetice. Există o deosebire esențială între substanțele paramagnetice și cele feromagnetice. Anume la substanțele paramagnetice susceptibilitatea scade continuu cînd crește temperatura, în timp ce la substanțele feromagnetice se produce o discontinuitate brusă la o anumită temperatură numită „punctul Curie” (fig. nr. 65) și atunci cînd rețeaua cristalină nu se schimbă.

Ferromagnetismul se întindează numai la substanțele solide cristalizate; deasupra punctului Curie, substanțele devin paramagnetice, răcite sub punctul Curie ele devin din nou feromagnetice, transformarea fiind reversibilă.

Multe substanțe feromagnetice aşezate într-un cimp magnetic (sub punctul Curie) rămîn magnetizate și după îndepărțarea cîmpului ele deci devin, „magneți permanenți”. Încălzit peste punctul Curie, magneții permanenți se demagnetizează, dar pot fi magnetizați din nou după răcire

sub influența unui cimp magnetic. Puține elemente sunt feromagnetice $\text{Fe} (T_c = 769^\circ\text{C})$; $\text{Co} (T_c = 1120^\circ\text{C})$; $\text{Ni} (T_c = 360^\circ\text{C})$; o serie de aliaje sintetice sunt mai feromagnetice decât fierul de exemplu: „alnico V”, (Fe , Al , Ni , Co , Cu), sau aliajul Heasler (MnAlCu_{12}), care nu conține nici un element feromagnetic. Ca minerale amintim pirotina ($T_c = 300^\circ\text{C}$) și magnetitul ($T_c = 525^\circ\text{C}$).

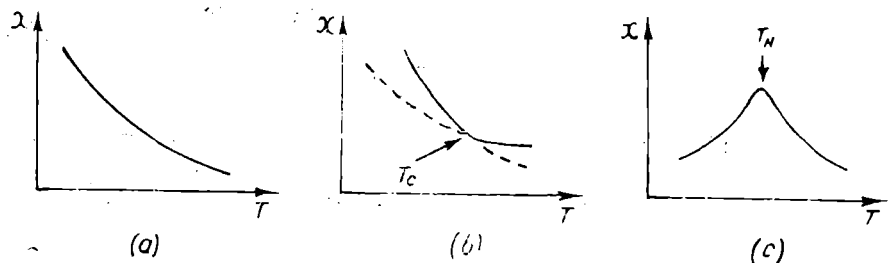


Fig. 65. Dependența de temperatură a susceptibilității magnetice (T_c = punct Curie, T_N = punct Néel) : a) substanțe paramagnetice ; b) substanțe feromagnetice ; c) substanțe antiferomagnetice.

7.1.4. Antiferomagnetismul

Antiferomagnetismul seamănă cu feromagnetismul; contrar substanțelor feromagnetice, la substanțele antiferomagnetice, magnetizarea crește cu creșterea temperaturii pînă la punctul Néel (T_N). Dacă la substanțele feromagnetice se constată orientarea paralelă a spinilor electronici pe porțiuni relativ mari ale cristalului (Domenii Weiss cu dimensiuni 10^{-3} cm), la substanțele antiferomagnetice spinii electronici sunt orientați antiparalel cu atomii vecini din rețea. Prin încălzire o parte din ce în ce mai mare de atomi adoptă o orientare întîmplătoare a spinului lor. La punctul Néel orientarea antiparalelă a spinilor dispare complet. Deasupra punctului Néel antiferomagnetismul dispare, substanța devenind paramagnetică. Exemple de materiale antiferomagnetice sunt cromul, unele halogenuri (MnF_2), oxizi (Fe_2O_4), feritele, sulfuri (FeS) în rețeaua căror atomii au alternativ spini antiparaleli.

7.2. RELAȚIA DINTRE MAGNETISM ȘI SIMETRIA CRISTALELOR

Intensitatea cimpului magnetic este o proprietate dependentă de simetria mineralelor. La mineralele amorfice și cele cristalizate în sistemul cubic, intensitatea nu variază cu direcția, în timp ce la mineralele anizotrope arată o intensitate care variază cu direcția și este reprezentată sub formă unui elipsoid. Din punct de vedere magnetic deci mineralele sunt izotropice sau anizotropice paramagnetice sau diamagnetice, uniaxe, biaxe, pozitive și negative. De exemplu: paramagnetice uniaxe pozitive — cristalele de siderit; paramagnetice uniaxe negative — cristalele de beril, vezuvian, turmalină; diamagnetice uniaxe pozitive — cristalele de calcit; diamagnetice uniaxe negative — cristalele de zircon, de stibiu, de arsen, de gheată.

7.3. APLICAȚII

Separarea magnetică a mineralelor care se bazează pe capacitatea de magnetizare diferită. Separarea se realizează cu ajutorul unui electromagnet introdus într-un circuit electric continuu sau alternativ a cărui intensitate poate fi variată; mineralele diferit magnetizate se pot separa. Prin creșterea treptată a intensității curentului electric se pot extrage fracțiuni de minerale din ce în ce mai slab magnetice. Aceste fracțiuni pot fi apoi concentrate în minerale magnetice prin alte metode (separarea electrostatică, separarea cu lichide grele, separații chimice etc.). Prin această metodă se obțin concentrări industriale de minereuri.

O altă aplicație privește prospectarea subsolului. Proprietățile magnetice ale mineralelor de fier sunt folosite în prospecțiunea magnetometrică în vederea detectării zonelor de acumulări cu minerale ferromagnetice. Cu ajutorul variometrelor se urmăresc abaterile valorilor cimpului magnetic terestru, numite anomalii magnetice. Corelarea acestor date cu lucrări prin sondaje sau miniere poate conduce la delimitarea unor zone interesante din punct de vedere al acumulărilor de minereuri de fier.

Tabelul 14

Susceptibilități magnetice ale principalelor minerale diagenetice, paramagnetice și feromagnetice (din Parfenoff, 1970).

Mineralul	Susceptibilitatea magnetică $\times 10^6$ uem	Mineralul	Susceptibilitate magnetică $\times 10^6$ uem
Apatit	-2,64	Pleonat	10—25
Gips	-1,0	(var, spinel)	
Cuarț	-0,46	Grosular Fe	13—47
Topaz	-0,42	Hedenbergit	15—25
Aragonit	-0,41	Actinot	15—25
Calcit	-0,38	Olivină	15—35
Ortoză	-0,37	Monazit	18,9
Corindon	-0,34	Hornblendă	19—23
Celestină	-0,34	Goethit	21—25
Baritnă	-0,31	Pirop	21—50
Fluorină	-0,28	Epidot	23,9
Casiterit	-0,08	Schorlamit	25—31
Disten	-0,01	(var, granat)	
Zircon	-0,13	Piroluzit	25—32
Pirită	-0,21	Piroxeni Fe	26—130
Spinel	-0,62	Biotit	28—45
Beril	-0,68	Melanit	36
Dolomit	-0,92	Hornblendă Fe	38—130
Marcasită	1,0—4,0	Andradit	51—95
Muscovit	1,0—4,0	Almandin	51—120
Rutil	2,0—5,0	Cromit	53—125
Pirop ferifer	10—20	Siderit	56—64
Grossular	10—20	Ilmenit	113—127
Schorlit (var. Turmalină)	10—22	Hematit	172—290
Sfen	10—22	Pirotină	1500—6100
		Magnetit	20000—800000

8. GREUTATEA SPECIFICA

8.1. NOTIUNI GENERALE

Greutatea specifică este o mărime fizică scalară care reprezintă greutatea unității de volum a unui corp. Ea se notează cu G și se exprimă în g/cm^3 .

Se operează o distincție între noțiunea de greutate specifică și densitatea notată cu ρ , care reprezintă greutatea relativă a unui corp exprimată în raport cu greutatea apei la temperatura $+4^\circ\text{C}$.

Determinarea greutății specifice în laborator este posibilă prin mai multe metode, între care menționăm :

Metoda plutirii. Se folosesc lichide dense, diluabile cu un alt lichid pînă la egalizarea lor cu cea a mineralului analizat astfel ca acesta să rămînă suspendat. Greutatea lichidului se determină cu balanța Mohr-Westphal sau folosind indicatorii mineralogici din seria lui Goldschmidt.

Metode hidrostatice, bazate pe principiul lui Arhimede. Dintre instrumentele folosite pentru determinarea greutății specifice prin metode hidrostatice amintim : picnometrul, balanța hidrostatică, balanța Joly, balanța Schwartz, areometrul Nicholson.

8.2. DEPENDENȚA GREUTĂȚII SPECIFICE DE CHIMISM, STRUCTURA ȘI FACTORII DE MEDIU

Greutatea specifică este influențată de mai mulți factori printre care se numără compoziția chimică, structura și gradul de cristalizare, condițiile termodinamice (temperatura și presiunea).

Compoziția chimică stoichiometrică. Este factorul cu cea mai puternică influență asupra greutății specifice. Astfel, mineralele, care conțin elemente grele (Pb, Zn, Fe, Cu), au greutatea specifică mai mare. De asemenea, în cadrul fenomenelor de izomorfism, cînd unele elemente sunt înlocuite cu altele, greutatea specifică crește la termenii care conțin elemente grele.

Structura. S-a constatat că, în condițiile egale de temperatură corpuși cristalizați, care au aceeași compoziție chimică, pot avea greutăți specifice diferite. Exemplul tipic îl constituie varietățile polimorfe. Astfel, la diamant, corespunzător formei cubice a elementului carbon, greutatea specifică este 3,52 iar la grafit, corespunzător carbonului cristalizat hexagonal, greutatea specifică este 2,26. La pirită (FeS_2 cristalizată cubic) $G = 5,02$ iar la marcasită (FeS_2 cristalizată rombic) $G = 4,86$. Și tot astfel, la aragonit (CaCO_3 cristalizat rombic) $G = 2,95$, iar la calcit (CaCO_3 cristalizat trigonal) $G = 2,72$. Deci, greutatea specifică depinde și de structura cristalului, mai exact de densitatea reticulară.

S-a remarcat, de asemenea, că greutatea specifică a aceluiași mineral variază după cum acesta este în fază cristalizată sau amorfă (sticloasă). Astfel, la cuarțul cristalizat trigonal $G = 2,65$ iar la cuarțul în stare vitroasă $G = 2,23$. Berilul cristalizat în sistem hexagonal are $G = 2,67$ iar în stare vitroasă $G = 2,41$. Olivina care cristalizează în sistem rombic are $G = 3,38$ iar în stare vitroasă $G = 2,86$. Rezultă că procesul de cristalizare a unui mineral este însoțit de o contracție a volumului și deci, de o creștere a greutății specifice.

8.3. APlicații teoretice și practice

Aplicații teoretice. La stabilirea tipurilor de structuri în röntgenometria cristalografică. Cunoscind volumul celulei (parametrii acesteia obținându-se prin difracția razelor X) masa moleculară (pe baza compoziției chimice) și numărul lui Avogadro (constant), se poate calcula numărul nodurilor din celula generatoare ocupate de ioni, atomi sau molecule.

În studiul procesului de geneză a rocilor metamorfice. Cunoașterea greutății specifice permite calcularea volumului molecular iar cunoașterea volumului molecular aduce elemente importante în studiul procesului de geneză a rocilor metamorfice. Conform principiului lui Le Chatelier, dacă se comprimă un sistem chimic în echilibru, la temperatură constantă, echilibrul se va deplasa în favoarea unei reacții sau transformări chimice din care va rezulta un compus cu un volum molecular mai mic. Sub efectul presiunii, starea de echilibru se deplasează în favoarea unui sistem cu volum molecular mai mic și deci, cu densitate relativă mai mare.

În studiul procesului de geneză a unor roci magmatice, de exemplu, a corporilor bazice stratificate care conduc la acumulări de minerale metalice, cum este pirotina nicheliferă, se impune cunoașterea valorii greutății specifice la temperaturi mai mari, caracteristice proceselor de cristalizare magmatică.

În studiul procesului de geneză a rocilor sedimentare. Transportul și sedimentarea asociațiilor de minerale sănătate de greutatea lor specifică. Datorită acestei situații, se pot forma acumulări de minerale cu greutate specifică ridicată, unele constituind zăcăminte detritice exploataibile de aur, platină, diamant, casiterit, zircon.

Aplicații practice. Cu ajutorul greutății specifice pot fi identificate și determinate minerale, termeni în seriile izomorfe și gradul de participare a unor faze în dezamestecuri (soluții solide).

Greutatea specifică variază de la 1,1 — la chihlimbar și 2,0 la montmorillonit, pînă la 22,5 — la mineralele din grupa osmiridiului (newjanskit, siserskit). Corespunzător acestor variații, distingem :

- minerale grele, în special metale în stare nativă (iridiu 21,6 ; platină 17—19 ; aur 15,6—19,4 ; magneziu 13,5 ; argint 10—12) ;
- minerale din minereuri, cu greutate specifică cuprinsă între 4—7,5 (pirită, blendă, galenă, calcopirită) ;
- minerale de gangă (gangă denumind sterilul care însoțește mineralizația), cu greutatea specifică între 2—2,5 (cuart, biotit) ;

Greutatea specifică a mineralelor

G	Denumirea mineralului	G	Denumirea mineralului
1,71	Borax	3,89—4,19	Willemit
1,99—2,25	Opal	3,90—4,10	Blendă
2,05—2,15	Chabazit	3,94—4,71	Zircon
2,07	Sulf	3,95—4,32	Almandin
2,10—2,20	Stilbit	3,96—3,98	Celestină
2,10—2,20	Grafit	3,98	Wurtzit
2,17	Halit	4,00—4,10	Corindon
2,20	Heulandit	4,00—4,50	Smithsonit
2,25	Natrolit	4,10—4,30	Calcopirită
2,28—2,30	Sodalit	4,12—4,20	Spessartin
2,30	Analcit	4,20—4,25	Rutil
2,32	Gips	4,29	Witherit
2,30—2,40	Apopilit	4,30	Manganit
2,36	Wavellit	4,30—4,60	Baritină
2,39	Brucit	4,40—4,50	Enargit
2,40—2,50	Lazurit	4,40—5,00	Piroluzit
2,45—2,50	Leucit	4,60—4,65	Pirotină
2,42	Colemenit	4,60—4,70	Molibdenit
2,44—2,50	Harmoton	4,60—4,76	Covelină
2,50—2,60	Serpentină	4,60—4,90	Tennantit
2,55—2,65	Nefelin	4,60—5,40	Monazit
2,55—2,75	Cordierit	4,63	Stibină
2,56—2,59	Microclin	4,70	Ilmenit
2,56—2,59	Ortoză	4,89	Marcasită
2,60—2,90	Scapolit	4,70—5,10	Tetraedrit
2,62	Albit	5,02	Firită
2,65	Cuart	5,07	Bornit
2,65	Oligoclas	5,15—6,57	Columbit
2,67—2,90	Beril	5,18	Magnetit
2,68	Vivianit	5,30	Hemalit
2,70—2,90	Clorit	5,50	Millerit
2,71	Calcit	5,50—5,80	Calcozină
2,71	Labradorit	5,55	Proustit
2,73	Bytownit	5,83	Bournonit
2,76	Anortit	5,85	Pirargirit
2,80—2,90	Muscovit	5,90—6,10	Schelilit
2,80—2,90	Lepidolit	6,00	Crococit
2,80—2,95	Prehnit	6,07	Arsenopirită
2,80—3,00	Datolit	6,10—6,90	Skutterudit
2,80—3,00	Dolomit	6,14	Cuprit
2,65—3,80	Pirop	6,33	Cobaltină
3,70—3,80	Staurolit	6,36—6,39	Anglezit
3,71—3,75	Crisoberil	6,50—7,00	Wulfenit
3,72—3,76	Stronțianit	6,50—7,10	Vanadinit
3,77	Azurit	6,50—9,70	Uraninit
3,80—3,90	Siderit	6,55	Ceruzit
3,80—4,39	Fayalit	6,57—8,00	Tantalit
3,82—3,90	Andradit	6,70	Stibiul

— minerale de origine organică, dintre care amintim petrolul cu $G = 0,6$ — $0,9$; ozocheritul cu $G = 0,85$ — $0,98$; asfaltul cu $G = 1,1$ — $1,2$; chihlimbarul cu $G = 1,1$ — $2,0$; cărbunii cu $G = 1,1$ — $1,7$ etc.

Minerale grele pentru rocile sedimentare sunt considerate mineralele care au greutatea specifică mai mare decât cea a bromorfomului ($G = 2,85$). Modul de comportare a acestor minerale grele a fost determinant în practica cercetării domeniului sedimentar.

În tehnica de preparare a minereurilor, diferența de greutate specifică servește la separarea mineralelor cu greutate specifică mare de celelalte componente ale minereurilor, respectiv mineralele cu greutate specifică mică, care formează ganga (sterikul). Este o tehnică cu veche tradiție în țara noastră, practicată încă de acum 2000 ani, pentru separarea aurului ($G = 19$) de mineralele ușoare cu care este asociat (cuart, feldspați cu $G = 2,5$ — $2,6$) și care sunt luate de apă, în timp ce aurul rămîne pe „șaitroc“ (un fel de fărăș din lemn).

În tehnica de foraj se practică ingreunarea noroaielor de foraj printr-un adaus de baritină (sulfat de bariu cu $G = 4,47$) pentru a impiedica erupția de gaze. În acest scop s-a încercat și folosirea altor minerale grele: magnetit ($G = 5,2$), galenă ($G = 7,5$), pirită ($G = 5,0$).

În prospecțiunea geofizică, aplicarea metodei gravimetrice se bazează pe legea atracției universale a lui Newton și urmărește cartarea variațiilor în cimpul gravitației. Se știe că, în diferite puncte de pe suprafața Pământului, valoarea gravitației depinde de latitudine, altitudine, efectele de marea ale litosferei, topografia terenului înconjurător, distribuția densității sub suprafața terestră. Prospecțiunea gravimetrică vizează izolarea efectului provocat de repartiția spațială neuniformă a maselor de roci din subsol. De aceea, valorile măsurate pe teren, cu gravimetrul, sunt corectate de efectul tuturor celorlalți factori, care fac să varieze gravitația, evidențindu-se numai anomaliiile gravitației provocate de distribuția inegală a maselor de minerale și roci cu densități diferite. Pe baza valorilor măsurate se construiesc apoi curbele de anomalii. Se pot contura anomalii negative — pentru sare, de exemplu, precum și anomalii pozitive — caracteristice zăcămintelor de minereuri.

9. RADIOACTIVITATEA

9.1. CONSIDERATII TEORETICE

Un nucleu stabil își menține structura un timp infinit de lung; există însă configurații ale nucleilor care nu sunt stabile. Asemenea configurații se modifică după care pot exista o durată mai mare sau mai mică, durată caracteristică pentru fiecare nuclid instabil. Instabilitatea nucleară îi este caracteristic faptul că un anumit nuclid are o existență relativă în timp, deci o existență limitată. La sfîrșitul duratei sale de viață un nucleu instabil suferă o transformare care conduce la o nouă configurație, stabilă sau instabilă. Acest fenomen se numește dezintegrare nucleară sau radioac-

tivă. Denumirea „radioactivă” atribuită dezintegrării se datorează faptului că dezintegrarea nucleului instabil se face cu emisarea din nucleu a unor radiații corpusculare și electromagnetice. La dezintegrarea nucleară, ca la orice transformare nucleară, se aplică legile generale de conservare: a energiei, a impulsului, a momentului cinetic și a sarcinei. În plus, dezint-

Tabel Nr. 16

Valorile spinului nuclear ale categoriilor de nuclizi stabili

Tipul nuclidului Z—N	Spinul nuclear I
Par—par	$\frac{0}{2}$
Par—impar	$\frac{1}{2}$
impar—par	$\frac{3}{2}$
impar—impar	$\frac{5}{2}$
	$\frac{7}{2}$
	1, 3, 5*

* Numerele 2, 4 se întâlnesc la nuclizi instabili.

tegrarea nucleară trebuie să satisfacă și legea conservării numărului de nucleonii sau pe scurt legea conservării nucleonilor. Conform acestei legi numărul nucleonilor din nucleul inițial trebuie să fie egal cu numărul nucleonilor din nucleul rezultat și a nucleonilor emisi dacă se emit nucleoni.

Tabel Nr. 17

Statistica nuclizilor stabili cunoscuți după paritatea numerelor Z și N

Tipul nuclidului Z—N	Numărul nuclizilor
Par—par	160
Par—impar	56
impar—par	52
impar—impar	4

Trătăsurile caracteristice pentru instabilitatea nucleară, în raport cu instabilitatea sistemelor atomice constau în:

- durata medie a unei stări excitate la un nucleu instabil față de cea a unui sistem atomic instabil. În primul caz durata este cuprinsă între 10^{-14} s și 10^{11} ani, în cel de al doilea caz este de ordinul de mărime 10^{-8} s.
- distanțarea nivelerelor energetice care la nuclee este de ordinul $10^3 \dots 10^6$ eV pe cind la atomi este de ordinul $1 \dots 10$ eV.
- modul dedezexcitare, la nucleele atomice dezexcitatea se face prin emisie de fotoni la nucleele instabile dezexcitarea se face atât prin emisie

de fotoni cît și de particule cu masa de repaus diferită de zero, ex. particule α sau β .

Dezintegrarea nucleară este un proces individual, caracteristica principală a fenomenului constă în aceea că durata de înjumătățire este neafectată de schimburile de presiune, de temperatură, de cîmp electric sau magnetic.

Probabilitatea de dezintegrare în unitatea de timp a unui nucleu instabil este independentă de influențe exterioare (presiune, temperatură etc.), de istoria acestui nucleu (timpul de când a fost format) și este aceeași pentru toate nucleele aceleiași specii. Probabilitatea de dezintegrare în unitatea de timp se notează cu λ . Deci

$$dN = -\lambda \cdot dt \times N = -N\lambda dt \text{ unde :}$$

dt = timp infinitesimal

λ = probabilitatea de dezintegrare

dN = numărul de nuclee care se dezintegrează în timpul dt

N = numărul de nuclee existente la începutul intervalului de timp

dt ; semnul $-$ se justifică prin faptul că numărul de nuclee

dN care se dezintegrează, conduce la scăderea numărului de

nucleee N (fig. 66).

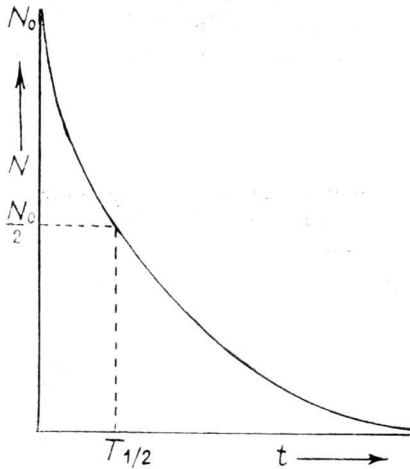


Fig. 66. Scăderea în timp a numărului de nuclee instabile N .

Prindezintegrarea unui nucleu instabil se formează un alt nucleu — numit nucleu derivat, care poate fi stabil sau tot instabil.

Numărul de nuclee deriveante se deduc folosind relația

$$N = N_0 \cdot e^{-\lambda t}$$

unde $N_0 - N$ = nuclee deriveante și care sunt egale cu :

$$N_0 - N = N_0 - N_0 e^{-\lambda t} = N_0 (1 - e^{-\lambda t})$$

Dependența de timp a numerelor N și $N_0 - N$ este dată în fig. 67.

O altă mărime folosită este activitatea notată cu Λ și definită ca numărul dezintegrării care au loc în unitatea de timp într-o cantitate de substanță radioactivă.

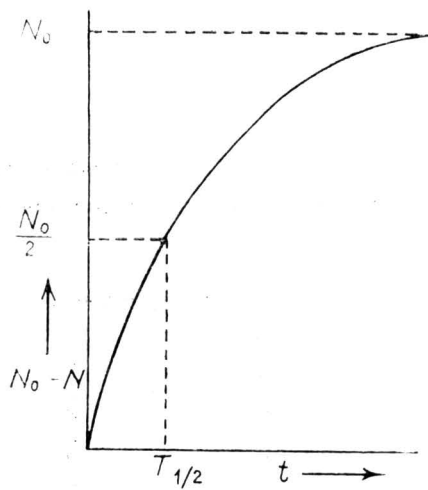


Fig. 67. Creșterea în timp a numărului de nucleu derivate care apar prin dezintegrarea unui nucliu instabil.
 $T_{1/2}$ le = durata de înjumătărire
 $N_{1/2}$ le = nucleu derivate

Se remarcă faptul că, activitatea Λ variază în timp cum se întimplă și cu numărul de nucleu instabile (fig. 66) și deci după un timp se reduce la

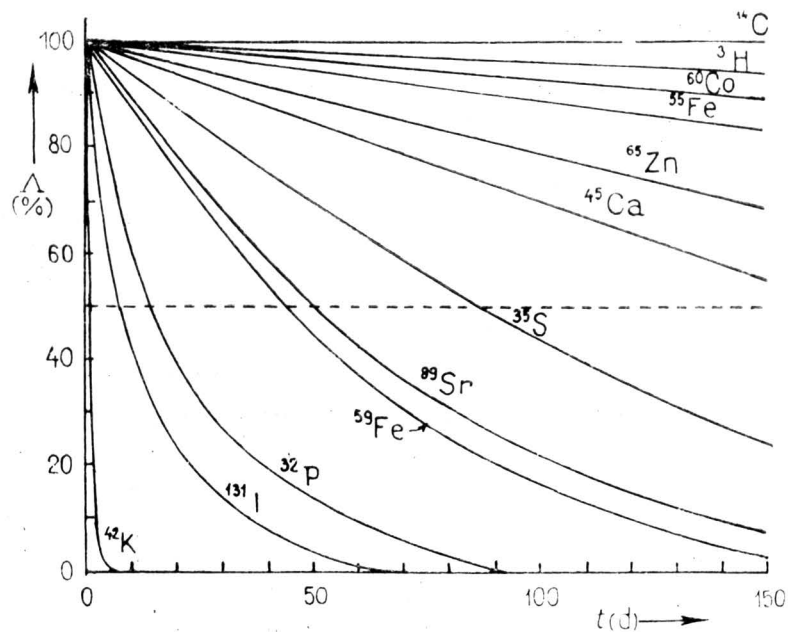


Fig. 68. Variația în timp a activității exprimată în procente pentru cîteva radionuclizi.

jumătate. Acest timp se numește durata de înjumătărire ($T_{1/2}$) (tabelul nr. 18). Activitatea se măsoară în dezintegrări pe secundă; cum această unitate este prea mică se folosește multiplul curie

$$1 \text{ Ci} = 3,7 \cdot 10^{10} \text{ dez/s}$$

Submultiplii curie sunt:

$$1 \text{ m Ci} = 10^{-3} \text{ Ci} = 3,7 \cdot 10^7 \text{ dez/s}$$

$$1 \mu \text{ Ci} = 10^{-6} \text{ Ci} = 3,7 \cdot 10^4 \text{ dez/s}$$

$$1 \text{ n Ci} = 10^{-9} \text{ Ci} = 3,7 \cdot 10 \text{ dez/s}$$

Tabel nr. 18

Durata de înjumătărire a cîtorva nuclizi instabili mai frecvent utilizați (după A. Oncescu)

Z	Nuclidul instabil	Λ	Durata de înjumătărire	
19	Potasiu	42	12,5	h
53	Iod	131	8,1	d
15	Fosfor	32	14,5	d
26	Fier	59	45	d
38	Stronțiu	89	50	d
16	Sulf	35	87	d
20	Calciu	45	170	d
30	Zinc	65	250	d
26	Fier	55	2,7	a
27	Cobalt	60	5,3	a
1	Hidrogen	3	12,3	a
6	Carbon	14	$5,6 \cdot 10^3$	a

h = ore, d = zile, a = ani

Pentru a compara scăderea în timp a activității pentru diferiți nuclizi mai importanți este dată curba $\Lambda = f(t)$ pentru radionuclizii ale căror durate de înjumătărire sunt arătate în fig. 68.

Modurile de dezintegrare. Prin dezintegrare configurația unui nuclid se modifică și trece la o nouă configurație care poate fi stabilă sau instabilă. Nucleul inițial prin radioactivitate emite o particulă și/sau un foton trecind într-un nucleu derivat. Substanța care suferă fenomenul de dezintegrare este constituită din atomi deci prin acest proces se obține trecerea de la un atom cu nucleu inițial la un atom cu nucleu derivat.

Tabelul nr. 19

Valorile sarcinei z și a numărului d masă a pentru cîteva particule emise în dezintegrarea radioactivă

Particula	Simbol	z	a
Foton	γ	0	0
Electron	e^-	-1	0
Pozitron	e^+	+1	0
Proton	p^+	+1	1
Neutron	n	0	1
Helion	α	2	4

Un nuclid este caracterizat prin :

Z = numărul atomic

A = numărul nucleonilor

X = simbolul nuclidului inițial (notat ${}_Z^A X$)

ξ = particula emisă în dezintegrare

z = sarcina particulei emise

a = masa particulei emise

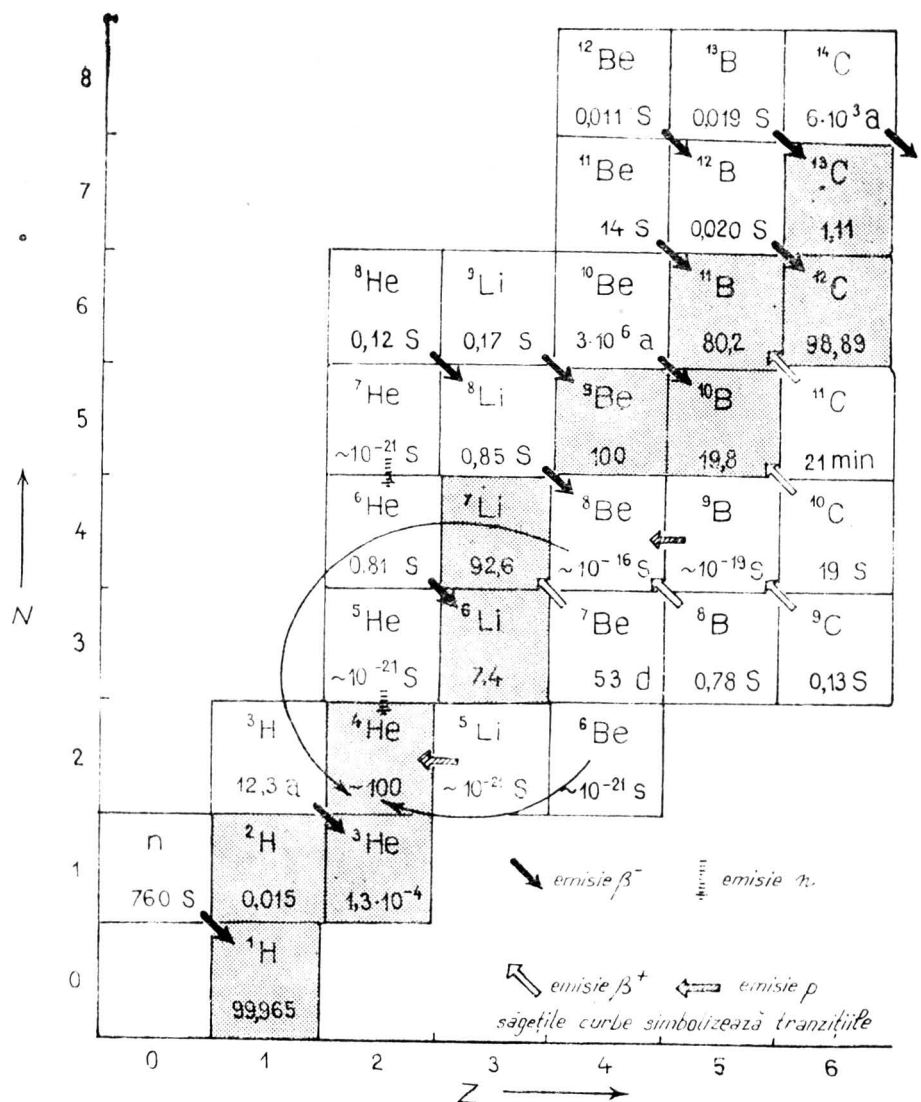
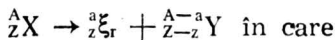


Fig. 69. Tranzițiile nucleare ale nucliziilor instabili de la începutul diagramei $N-Z$. În căsuțele nucliziilor stabili este arătată abundența naturală iar în aceleia a nucliziilor instabili este indicată durata de înjumătățire. Cele două săgeți curbe simbolizează tranzițiile ${}^8 B \rightarrow 2\alpha$, și ${}^6 Be \rightarrow \alpha + 2p$.

Deci prin procesul de tranziții radioactive, relația se exprimă



\mathbf{Y} = nuclidul derivat

Relația prezentată respectă atât legea conservării sarcinii electrice ($Z = z + Z - z$) cît și legea conservării nucleonilor ($A = a + A - a$). Particulele emise din nucleu pot fi: α , β^- , β^+ , γ emisie de neutroni și de protoni.

Ca urmare a diferitelor tranziții are loc, modificarea numărului Z și a numărului A adică trecerea dintr-o căsuță în alta a graficului $N - Z$ (fig. 69). Din acest grafic se constată că la nuclizi instabili cu exces de neutroni predomină tranziția β^- , pe cînd la nuclizi cu exces de protoni predomină tranziția β^+ .

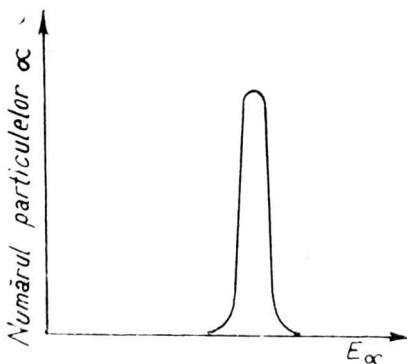
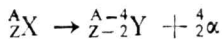


Fig. 70. Particulele care apar printr-o tranziție α sunt monoenergetice încit spectrul energetic al acestora arătă îngust.

Tranziția α se produce îndeosebi la nuclizi masivi cu $Z > 82$ cînd remarcăm o dezintegrare a nucleului. Particula α reprezintă un nucleu stabil, relația pentru un nuclid inițial X și un nuclid derivaț Y prin tranziția α decurge



Energia particulei α care apare în diferitele tranziții radiometrice nu depășește 10 MeV. Notind cu E_y energia cinetică a nuclidului și cu E_α energia particulei α , energia de dezintegrare notată cu Q în tranziția α este egală cu $E_y + E_\alpha$.

Deoarece energia de dezintegrare Q are o valoare bine determinată rezultă că și particula α are o energie determinată.

Spectrul de energie al particulelor α emise de un nuclid instabil, cù o singură tranziție α se prezintă sub forma unui spectru continuu (fig. 70).

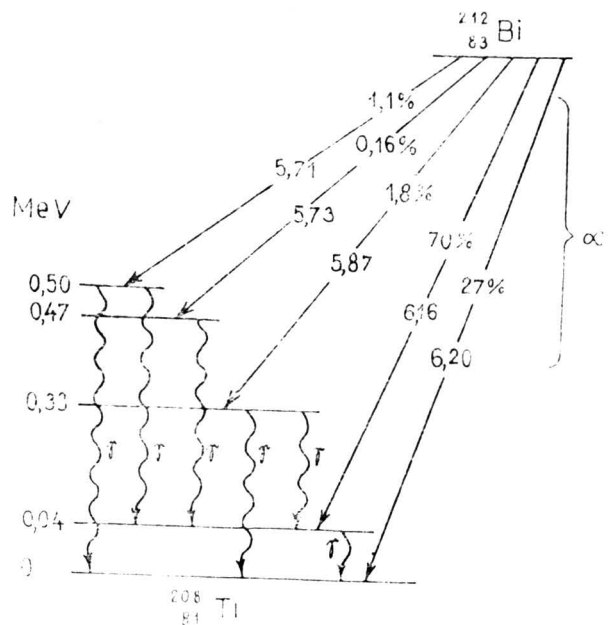


Fig. 71. Schema de dezintegrare a bismutului 212. Tranziții prin mai multe particule α .

În cazul unor tranziții prin mai multe particule α (ex. dezintegrarea α la $^{212}_{83}\text{Bi}$ (prezentate în fig. 71), arată pentru spectru de energie un spectru discontinuu ca în fig. 72.

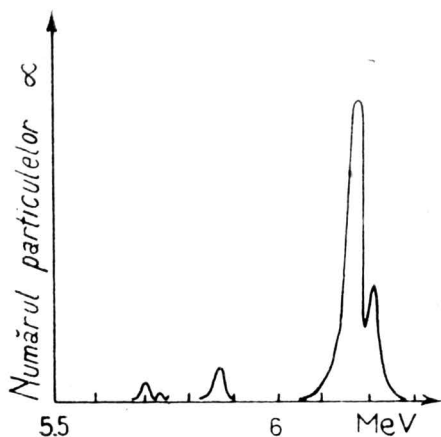


Fig. 72. Spectrul de energie al radiațiilor α emise de $^{212}_{83}\text{Bi}$.

Dacă tranziției α îi urmează și o tranziție γ atunci energia de dezintegrare Q este egală cu suma dintre energia particulei α și energia fotonului γ . Se cunosc 160 nuclizi instabili care se dezintegrează prin tranziții α . Radiațiile α emise au energii discrete cuprinse într-un domeniu de la 4 la 10 MeV iar duratele de înjumătărire ale nuclizilor variază de la 10^{-6} s, pînă la 10^{10} a = 10^{17} s. În tabelul nr. 20 sunt redată duratele de înjumătărire și energiile particulelor α ale cîtorva nuclizi instabili.

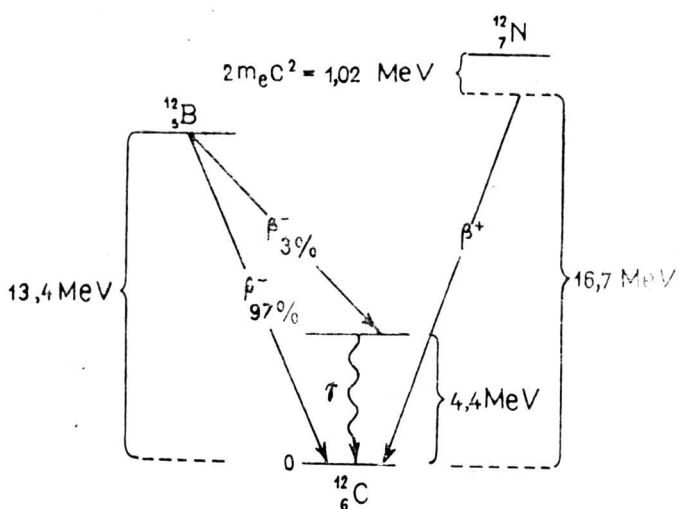


Fig. 73. Reprezentarea tranziției β^- pentru nuclidul $^{12}_5\text{B}$ și a tranziției β^+ pentru nuclidul $^{12}_7\text{N}$ în diagrama N-Z. Ambele tranziții conduc la $^{12}_6\text{C}$.

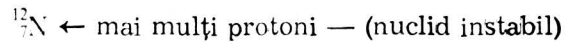
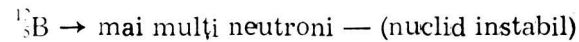
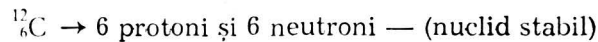
Tabelul nr. 20

Nuclidul	$T^{1/2}$	E
$^{238}_{92}\text{U}$	$4,5 \cdot 10^9$ a	4,18 MeV
$^{212}_{83}\text{Bi}$	2,99 h	6,09 MeV
$^{215}_{85}\text{At}$	10^{-4} s	8,00 MeV

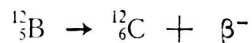
Emiterea unei particule α are ca efect transformarea treptată a atomului elementului respectiv în atomi mai ușori cu un număr de atomi mai mic cu două unități și cu o masă redusă cu patru unități.

Tranziția β . La dezintegrarea prin tranziția β , nucleul nu-și modifică numărul de nucleoni. Putem urmări tranziția β la nuclizii $^{12}_5\text{B}$, $^{12}_6\text{C}$ și $^{12}_7\text{N}$,

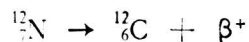
care sunt izobari și au 12 nucleoni în nucleu ; ei diferă doar prin numărul de protoni și neutroni ($Z + N$).



Nuclidul $^{12}_7\text{B}$ se dezintegrează prin transformarea unui nucleon în proton, cind neutronul pe nivel ridicat trece pe un nivel protonic mai coborât și se transformă în nuclidul stabil $^{12}_6\text{C}$ iar pentru conservarea sarcinii electrice s-a creat o particulă cu sarcină electrică negativă (β^-) emisă de nucleul care se dezintegrează.



Nuclidul $^{12}_7\text{N}$ se dezintegrează prin transformarea unui proton în neutron el conținând mai mulți protoni decât neutroni. Asistăm aici la o transformare inversă, cu crearea unei particule electrice pozitivă (β^+) emisă de nucleul care se dezintegrează.



Prin aceste relații se observă trecerea nuclizilor instabili într-un nucleu stabil $^{12}_6\text{C}$ respectîndu-se permanent legea conservării sarcinilor electrice. Schema de dezintegrare este reprezentată în diagrama N—Z din fig. 73.

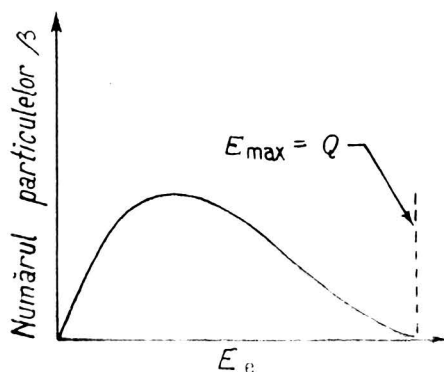
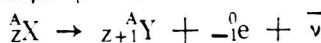


Fig. 74. Spectrul energetic al particulelor β emise într-o tranziție este un spectru continuu.

Relația pentru tranziția β^- este



iar pentru β^+ este



$\bar{\nu}$ = simbolul antineutrinului

În aceste tranziții apar trei particule fapt care o diferențiază de tranziția α unde apar două particule. Neutrino are sarcina electrică egală cu zero și masa de repaus egală cu zero. Tranziția β^- este energetic posibilă dacă masa atomică a nuclidului inițial este mai mare decât masa atomică a nuclidului derivat deci $M_x > M_y$.

În cazul tranziției β^+ ea devine posibilă dacă masa atomică a nuclidului inițial depășește, masa atomică a nuclidului derivat, cu cel puțin două mase atomice electronice.

$$M_x > M_y + 2m = M_y + 2 \times 0,00055u$$

M_x și M_y = masele atomilor neutri ale nuclidului inițial și nuclidului derivat.

m = masa electronului
ceea ce energetic inseamnă $2m_ec^2 = 1,02\text{MeV}$

Energia eliberată în tranziția β (a celor trei particule produse) apare egală cu :

$$Q = E_y + E_e + E_v$$

$$Q = \text{energie eliberată}$$

Spectrul energetic al tranziției β (fig. nr. 74) este un spectru continuu spre deosebire de spectrul discret al tranziției α . Maximumul spectrului energetic continuu al tranziției β determinat experimental este situat la o energie egală cu 1,3 din valoarea $E_{max} = Q$.

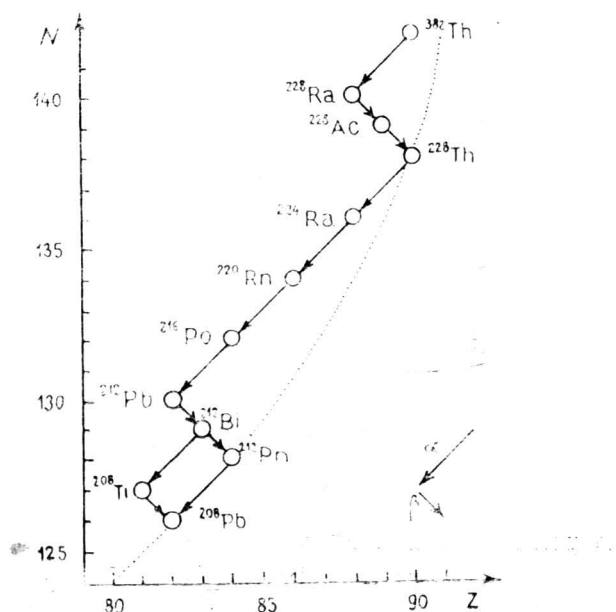
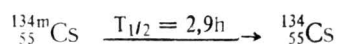


Fig. 75. Seria radioactivă a Th (seria 4n).

Prin emiterea radiațiilor β sarcina nucleului crește cu o unitate păstrându-se numărul de masă ceea ce determină creșterea numărului atomic cu o unitate.

Tranziția γ se caracterizează printr-o emisie într-un timp mai mic de 10^{-12} s. Nucleul stabil care se dezintegrează prin tranziția γ are durată de înjumătățire mai mică de 10^{-12} s. Există situații cind nucleii instabili au durată de înjumătățire mai mare, în aceste cazuri tranzițiile γ sunt lente realizându-se între 10^{-8} s și cîteva luni. Nucleul care suferă o tranziție lentă se numește izomer iar tranziția γ cu $T_{1/2} > 10^{-8}$ s se numește tranziție izomeră. Prin tranziția izomeră se obține un nuclid cu același număr de nucleoni A și același număr de protoni Z. Nuclidul inițial diferă de cel derivat doar prin starea energetică. Exemplu de tranziție izomeră



m = starea metastabilă (sinonim starea izomeră)

Dezintegrarea unui nucleu se poate face succesiv sau în paralel. Ansamblul tranzițiilor se reprezintă în diagrame numite scheme de dezintegrare.

Modificările numerelor A și Z în cazul tuturor tranzițiilor radioactive sunt prezentate în tabelul nr. 21.

Tabelul Nr. 21

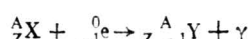
Tranziția radioactivă	Simbolul	Nuclidul derivat	
Tranziția α	α	Z-2	A-4
Tranziția β ⁺	β ⁺	Z-1	A
Tranziția β ⁻	β ⁻	Z+1	A
Captura electronică *	CE	Z-1	A
Tranziția γ	γ	Z	A
Tranziția izomeră	Ti	Z	A
Conversie internă **	Ci	Z	A
Emisie de neutroni	n	Z	A-1

* Un proton din nucleu se transformă în neutron ca și tranziția numai că această transformare în cazul de față prin captarea unui electron orbital după schema $p^+ + e^- \rightarrow n + \nu$. și aici numărul nucleonilor din nucleu rămîne neschimbăt.

Exemplu dezintegrarea ^4Be în ^7Li



Prin această tranziție apare o vacanță electronică în pătura K a atomului derivat. Ocuparea vacanței electronică de pe pătura K conduce la emisia unei radiații Röntgen. Ecuată generală pentru CE



** Energia tranziției radioactive se produce între două stări energetice ale unui nuclid și este comunicată direct din electronii orbitali care este astfel ejectat din atom. Această tranziție se numește tranziție prin conversie internă.

9.2. RADIOACTIVITATEA NATURALĂ A MINERALELOR

Noțiunile prezentate pînă acum s-au referit la dezintegrarea nuclizilor instabili. Se obișnuiește să se împartă nuclizia instabilă în :

— nuclizi instabili care se găsesc în natură conducind la radioactivitatea naturală ;

— nuclizi instabili produși de către om de regulă prin bombardarea nuclizilor, cu radiații corpusculare — producind radioactivitatea artificială.

Nuclizii s-au format în cantități diferite în sistemul solar în intervalul de $5 \cdot 10^9$ ani. Nuclizii instabili cu $T_{1/2}$ mult mai mică decît $5 \cdot 10^9$ ani s-au dezintegrat de mult și au devenit nuclizi stabili. În natură au rămas nuclizii instabili cu $T_{1/2}$ comparabil sau mai mare decît vîrstă sistemului solar. Dintre aceștia 14 se află în cantități măsurabile (Tabelul nr. 22).

Tabel Nr. 22

Radionuclizii cu durată de înjumătățire comparabilă sau mai mare decît vîrsta sistemului solar

Nuclidul instabil	Tranziția radioactivă	Durata de înjumătățire ană	Nuclidul derivat
$^{40}_{19}\text{K}$	β^- , CE	$1,2 \cdot 10^9$	2 stabili
$^{59}_{23}\text{V}$	CE	$4 \cdot 10^{14}$	stabili
$^{87}_{37}\text{Rb}$	β^-	$6 \cdot 10^{10}$	stabili
$^{115}_{49}\text{In}$	β^-	$6 \cdot 10^{14}$	stabili
$^{138}_{57}\text{La}$	β^- , CE	$1,0 \cdot 10^{11}$	2 stabili
$^{142}_{58}\text{Ce}$	α	$5 \cdot 10^{15}$	stabili
$^{144}_{60}\text{Nb}$	α	$3 \cdot 10^{15}$	stabili
$^{147}_{62}\text{Sn}$	α	$1,2 \cdot 10^{11}$	stabili
$^{176}_{71}\text{Lu}$	β^-	$5 \cdot 10^{10}$	stabili
$^{187}_{75}\text{Re}$	β^-	$4 \cdot 10^{12}$	stabili
$^{192}_{78}\text{Pt}$	α	10^{15}	stabili
$^{232}_{90}\text{Th}$	α	$1,4 \cdot 10^{10}$	10 instabili *
$^{235}_{92}\text{U}$	α	$7,1 \cdot 10^9$	11 instabili *
$^{238}_{92}\text{U}$	α	$4,5 \cdot 10^9$	14 instabili *

* În seria radioactivă respectivă.

Radioactivitatea mineralelor se determină prin măsurarea gradului de ionizare al aerului, folosindu-se electroscopul, camera de ionizare sau contori.

Mineralele care conțin elemente radioactive sunt foarte numeroase; ele fac parte din clasele silicătilor, fosfaților, vanadaților, arseniaților, carbonaților, oxizilor, sulfurilor și a compușilor organici.

În prezent se cunosc peste 160 minerale de U, dintre care 30 au fost descoperite în ultimii 15 ani. (Tabelul nr. 23).

Tabelul Nr. 23

Principalele minerale cu elemente radioactive

Gummit	$\text{UO}_3 \cdot \text{nH}_2\text{O}$
Clarkeit	$\text{UO}_3 \cdot \text{nH}_2\text{O}$
Becquerelit	$2\text{UO}_3 \cdot 3\text{H}_2\text{O}$
Schoepit	$4\text{UO}_3 \cdot 9\text{H}_2\text{O}$
Fourmarierit	$\text{PbO} \cdot 4\text{UO}_3 \cdot 5\text{H}_2\text{O}$
Curit	$2\text{PbO} \cdot 5\text{UO}_3 \cdot 4\text{H}_2\text{O}$
Uranosferit	$\text{Bi}_2\text{O}_3 \cdot 2\text{UO}_3 \cdot 3\text{H}_2\text{O}$
Vendenbrendit	$\text{Cu} \cdot \text{UO}_3 \cdot 2\text{H}_2\text{O}$
Iantituit	$2\text{UO}_3 \cdot 7\text{H}_2\text{O}$
Baddeleyit	ZrO_2
Uraninit	UO_2
Thorianit	ThO_2
Davidit	$(\text{Fe}, \text{U}, \text{Ce}, \text{La})_2(\text{Ti}, \text{Fe}, \text{Cr}, \text{V}), \text{O}_1$
Torbernit	$\text{Cu}(\text{UO}_2)_2(\text{PO}_4)_2 \cdot 8-12\text{H}_2\text{O}$
Autunit	$\text{Ca}(\text{UO}_2)_2(\text{PO}_4)_2 \cdot 10-12\text{H}_2\text{O}$
Uranocircit	$\text{Ba}(\text{UO}_2)_2(\text{PO}_4)_2 \cdot 8\text{H}_2\text{O}$
Salicit	$\text{Mg}(\text{UO}_2)_2(\text{PO}_4)_2 \cdot 10\text{H}_2\text{O}$
Zeunerit	$\text{Cu}(\text{UO}_2)_2(\text{AsO}_4)_2 \cdot 10-16\text{H}_2\text{O}$
Uranospinit	$\text{Ca}(\text{UO}_2)_2(\text{AsO}_4)_2 \cdot 8\text{H}_2\text{O}$
Tyuyamunit	$\text{Ca}(\text{UO}_2)_2(\text{VO}_4)_2 \cdot 5-8\text{H}_2\text{O}$
Carnotit	$\text{K}_2(\text{UO}_2)_2(\text{VO}_4)_2 \cdot 3\text{H}_2\text{O}$
Metatorbernit	$\text{Cu}(\text{UO}_2)_2(\text{PO}_4)_2 \cdot 8\text{H}_2\text{O}$
Metaautunit	$\text{Ca}(\text{UO}_2)_2(\text{PO}_4)_2 \cdot 2-6\text{H}_2\text{O}$
Metazeunerit	$\text{CU}(\text{UO}_2)_2(\text{AsO}_4)_2 \cdot 8\text{H}_2\text{O}$
Bassetit	$\text{Fe}^{2+}(\text{UO}_2)_2(\text{VO}_4)_2 \cdot 12\text{H}_2\text{O}$
Monazit	$(\text{Ce}, \text{La})(\text{PO}_4)_3$
Xenotim	$\text{Y}(\text{PO}_4)_3$

Thorul intră de asemenea în compoziția a peste 100 minerale majoritatea conținând în același timp și U. Mineralele propriu-zise de Th sunt mai puține de zece.

Radiusul nu formează minerale de sine stătătoare ci intră ca impurități în multe minerale radioactive. Din acest motiv principala sursă de materie primă pentru extracția elementelor radioactive o constituie mineralele cu U și Th.

Elementele radioactive se concentrează mai mult în învelișul sialic, în deosebi în rocile acide. Astfel granitile sunt de 2—4 ori mai bogate

decit celelalte roci. Mineralele radioactive au o frecvență mai mare în formațiunile pegmatitice. (tabelul nr. 24).

Tabelul Nr. 24

Conținutul în elemente radioactive în diferite tipuri de roci

Denumirea roci	Nr. probelor	Conținutul în Th x 10 ⁻⁵ la 1 gr	Conținutul în Ux · 10 ¹² la 1 gr
Granite	63	2	2,7
Porfire cuarțifere	23	2,20	3,9
Sienite	12	1,70	2,4
Diorite	8	0,99	1,6
Tralite	18	1,79	3
Gabbrouri și norite	5	0,50	1,0
Diabaze și dolorite	8	0,22	1,0
Bazalte	18	0,56	1,4
Gneise	14	0,87	12,6
Roci acide intrusive și efuzive		2,9	2,1
Roci intermediare eruptive		1,7	
Roci bazice eruptive		0,5	
Argile		1,1	
Nisipuri		0,5	
Calcare		0,1	

Prezența elementelor radioactive este responsabilă pentru modificarea unor proprietăți fizice ale mineralelor gazdă. Fenomenele cele mai cunoscute sunt metamictizarea, apariția aureolelor pleocroice și colorarea unor minerale care în mod normal sunt incolore.

Metamictizarea reprezintă o trecere a unor minerale din stare cristalină în stare amorfă datorită distrugerii rețelei cristaline prin bombardare cu particule α , rezultată din dezintegrarea unor elemente radioactive (U sau Th), prezente în compoziția chimică a mineralelor. Mineralele metamictice devin optic izotrope, pierd clivajul, arătând spărtură concoidală și luciu de smoală, duritatea scade și nu difractă razele X. Se conservă însă morfologia mineralelor anterioare astfel că starea metamictă poate fi considerată ca o pseudomorfoză amorfă după o fază cristalină. Este interesant că prin încălzire mineralele metamictizate recristalizează cu o creștere a densității. Cazurile de metamictizare cele mai cunoscute apar la malacon (α zircon), la thorit, allanit și au fost frecvent întâlnite în masivul alcalin de la Ditrău (Ivanovici, 1934, Constantinescu et al 1982, Iacob, 1982). Se pare că totuși, simpla prezență a elementelor radioactive nu este suficientă, pentru că thorianitul — ThO_2 nu a fost niciodată descris ca metamict.

Aureolele pleocroice reprezintă efectul unui proces de absorbtie luminosă selectivă și apar sub formă unor zone circulare ovoidale intens pleocroice inscrise în jurul unor incluziuni microlitice (de zircon, rutil, apatit, sfen, ilmenit, monazit, allanit) existente în mineralele pleocroice (biotit, turmalină, hornblendă, staurolit, clorit). Formarea acestor aureole pleocroice, cu o dimensiune radială maximă de 40 μ este atribuită acțiunii

particulelor α emise de incluziunile minerale cu conținut de elemente radioactive (Ra—C, Th—C) care pătrunzind în rețeaua cristalină a mineralelor o dezorganizează schimbându-i indicii de refracție, birefringență și imprimându-i un pleocroism mai pronunțat.

Colorații anormale apar sub influența radiațiilor la mineralele din ganga zăcămintelor radioactive care se colorează în violet — fluorina, în galben — calcitul, în roșu — feldspații, în fumuriu sau violet — quartul, în roz — dolomitul, etc.

9.3. APLICAȚII

Metode de determinare a compoziției chimice a mineralelor

Metodele radiometrice de analiză se bazează pe măsurarea radioactivității naturale și a fenomenelor care au loc la interacțiunea radiațiilor nucleare cu materia. Ele sunt în majoritate metode instrumentale nedistructive caracterizate printr-o mare sensibilitate și prin capacitatea de determinare rapidă și precisă a unui număr apreciabil de elemente. Cele mai cunoscute sunt spectrometria α și γ , metoda emanării, autoradiografia prin care se analizează elementele cu numere atomice mai mari de 82 care au izotopi radioactivi naturali și activarea neutronică și diluția izotopică prin care se determină un număr mare de elemente urmă din minerale și roci.

Metode de determinare a vîrstei absolute a mineralelor și rocilor

Unii nuclizi cu nucleee foarte masive produc prin dezintegrare nuclizi instabili; aceștia se dezintegrează în alți nuclizi și se pot obține astfel multe generații de radionuclizi sau serii radioactive pînă se ajunge la un nuclid stabil. Pornindu-se de la nuclidul inițial pînă la nuclidul derivat stabil se determină seria radioactivă.

Se cunosc trei serii radioactive principale.

— Seria uraniului $^{238}_{92}\text{U}$ cu 8 emisiuni succesive de particule α deci se pierd 32 unități de masă (8×4) ajungind la termenul derivat RaG sau $^{206}_{82}\text{Pb}$. Ca produși intermediari menționăm radiul, radonul, poloniul etc.¹.

— seria actiniului care are ca termen inițial $^{235}_{92}\text{U}$ denumit actinouraniu (AcU) și cuprinde pentru alți produși intermediari actiniu iar ca produs final după 7 emisii actiniu D (AcD) sau $^{207}_{82}\text{Pb}$.

— seria thoriului care începe cu $^{232}_{90}\text{Th}$ (fig. nr. 75) care prezintă 6 emisiuni successive de particule α pînă la termenul stabil $^{208}_{82}\text{Pb}$.

Un fapt demn de remarcat este că între substanțele radioactive se stabilește într-un timp relativ scurt un echilibru radioactiv în sensul că la un moment dat calitatele relative ale tuturor substanțelor radioactive sunt combinate sau se găsesc într-un raport egal cu acel al timpurilor lor de înjumătățire (independent de T și P).

În mineralele primare de U nealterate, între cantitatea de U și cea de Ra se constată un raport constant egal cu $2,773 \cdot 10^6$ stabilit în aproximativ 15 milioane de ani.

¹ Numele elementului uraniu provine din cuvîntul „urahn” care în limba germană înseamnă strămoș.

În schimb raportul dintre uraniu și produsele finale Pb și He variază treptat în funcție de timpul scurs de la formarea mineralelor radiactiv respective.

Aceste constatări stau la baza calculului vîrstei absolute a mineralelor și rocilor și la stabilirea unei cronologii absolute (în ani).

Cunoscindu-se timpul de injumătărire a Ra : $T_{Ra} = 1590$ a se poate deduce timpul de injumătărire a U pe baza raportului dintre cantitățile de U și Ra în condițiile de echilibru. $T_U = 4.49 \cdot 10^9$ ani.

Cu ajutorul relației :

$$t = T_U \cdot 3,323 \log \left(1 + \frac{1,158 \frac{^{206}_{\text{Pb}}}{^{238}_{\text{U}}}}{\dots} \right)$$

în care se introduce valoarea T_U și a raportului în greutate $\frac{^{206}_{\text{Pb}}}{^{238}_{\text{U}}}$ din mineralul cercetat se poate obține vîrsta absolută a mineralului.

S-ar putea folosi și raportul heliului însă cifrele obținute nu sunt sigure întrucât o parte din He poate difuza în mediul înconjurător în decursul timpului.

O metodă mai simplă și rapidă constă în separarea mineralului radioactiv (zircon sau monazit) și determinarea radioactivității (α pe mg h) și a conținutului de Pb în p.p.m. relația folosită :

$$t = \frac{c \cdot \text{Pb}}{\alpha} \quad \text{unde :}$$

c = constanta de dezintegrare (2600 a pentru zircon cu uraniu și 1990 a pentru zircon cu thoriu).

Pornind de la aceste date și prin studiul izotopilor de Pb în galene de diferite vîrste s-a estimat și vîrsta planetei noastre la $4.5 \cdot 10^9$ ani.

A. Holmes a elaborat scara timpului geologic din arhaic și pînă azi. (tabelul nr. 25).

Tabel nr. 25

Ere		Perioade	Vîrsta limitelor inferioare (milioane ani)
Tertiar	70	Neogen	25
	65	Paleogen	35
	65	Cretacic	137
Mezozoic	15	Jurasic	195
	45	Triasic	235
	45	Permian	285
Paleozoic	80	Carbonifer	350
	50	Devonian	405
	40	Silurian	440
	60	Ordovician	500
	100	Cambrian	570
Proterozoic			2250
Arhaic			3700

II. CHIMISMUL MINERALELOR

1. NOTIUNI GENERALE PRIVIND MATERIA CRISTALIZATA

Starea normală a materiei solide minerale este starea cristalină, dar în natură se cunoaște și starea solidă amorfă. În primul caz, materia apare într-o stare de ordonare aproape perfectă, particulele componente sunt dispuse în rețele geometrice regulate, în cel de al doilea caz particulele componente se află într-o stare de dezordine deseori completă. Dimensiunile moleculelor acestei materii amorse sunt mari, și seamănă în structură cu lichidele, doar că particulele nu dispun de aceeași libertate de mișcare. Macromoleculele sunt unite prin legături slabe, de unde comportarea acestor substanțe ca niște lichide cu viscozitate foarte mare.

Intr-un mineral constituie din substanță cristalină întinim planuri cu noduri ocupate de particule specifice substanței (atomi-molecule-ioni) care se organizează în rețele spațiale. Portiunea din rețea care ne dă o imagine despre structura întregului cristal se numește „celulă elementară”, care este definită cind cunoaștem numărul și poziția particulelor care o compun, lungimile celor trei muchii a_0 , b_0 și c_0 ale ei, precum și unghиurile dintre aceste muchii.

Forțele carețin particulele componente împreună sunt legăturile chimice și intermolecularare. Unele dintre acestea sunt neorientate în spațiu (ionice, metalice, legături intermoleculare, de tip Van der Waals) altele sunt orientate (covalente și legături de hidrogen).

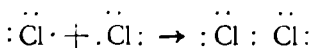
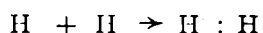
Intr-o rețea pot exista mai multe feluri de legături.

Tipurile de legături specifice din rețele sunt de cinci feluri: legături ionice sau electrovalențe, legături covalente sau covalențe, legături metalice, legături Van der Waals și legături de hidrogen.

Legăturile ionice sunt atracții electrostatice între elemente ale căror sarcini au semn contrar.



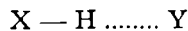
Covalența arată legătura între atomi dispuși în poziții fixe unii față de alții determinând o moleculă. Orbitalii atomici se întrepătrund dind naștere unor orbitali moleculari, comuni ambilor atomi, constituind astfel o legătură covalentă.



Legăurile metalice apar între atomii moleculelor în stare solidă sau lichidă și se caracterizează prin aglomerări de electroni în care unii electroni se mișcă cu ușurință de la un atom la altul. Acești atomi nu se pot lega nici prin covalențe nici prin electrovalențe. Orbitalii stratului de valență se întrepărtrund, electronii de valență nu mai aparțin unui singur atom, devin comuni întregului edificiu cristalin. Energia necesară pentru a îndepărta un electron de pe suprafața unui metal, lucrul de extracție al electronului este mult mai mic decât energia de ionizare.

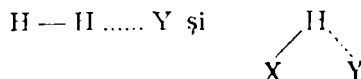
Legăturile Van der Waals sunt legături slabe și se manifestă ca forțe de atracție între moleculele nepolare (numite forțe de dispersie) ele sunt forțe nedirijate, iar moleculele se resping chiar la distanțe mici între ele; legăturile între ioni -- dipoli și dipoli-dipoli, sunt forțe care se dezvoltă între ioni și molecule polare (dipoli permanenți) în timp ce între doi dipoli permanenți legăturile care se dezvoltă se comportă ca forțe de natură electrostatică dar mult mai slabe decât legăturile ionice.

Legătura de hidrogen reprezintă interacțiunea între moleculele anumitor lichide. Legăturile dintre molecule sunt slabe și apar de forma $(H_2O)_n$, $(HF)_n$ etc.; aceste asociații de molecule slab legate sunt solventi buni. În aceste tipuri de legături întâlnim hidrogen legat covalent de unul din elementele cele mai electronegative, F, O, N, etc. Tăria de legătură descrește în ordinea electronegativității $F < O < N < Cl$. Legătura atomului de hidrogen poate fi reprezentată sub forma :



în care linia marcată prin puncte, reprezintă legătura de tip special, iar cealaltă legătură cu elementul electronegativ marcată prin linie continuă este legătură de tip covalent.

Legătura de hidrogen este de regulă liniară (a), dar în cazul unor anumite tipuri de molecule poate lua și formă angulară (b).



Cele mai frecvente astfel de legături sunt



Tipul de legătură care apare într-o rețea depinde de valoarea energiei de ionizare, de afinitatea pentru electroni, de dimensiunea atomului elementului, de numărul de sarcini pozitive sau negative (valență), de polarizabilitatea elementului etc.

Legătura care se stabilește între atomii A și B în funcție de energiile lor de ionizare este reprezentată în tabelul nr. 26 (după Nenițescu, 1979).

Energia de ionizare este egală cu energia ce se consumă pentru a îndepărta un electron (sau mai mulți electroni) dintr-un atom în stare gazoasă pentru a trece într-un ion pozitiv.

Afinitatea pentru electroni este egală cu energia ce se liberează cind un atom acceptă un electron conducind la un ion negativ.

Dimensiunile atomilor determină natura legăturilor chimice. În general atomii cu dimensiuni mici prezintă tendință de a forma covalențe

Energia de ionizare	Interacțiunea electronilor de valență	Legătura	
A	B		
mică ^{-a} mare mică ^{-b}	mare mare mică	transfer de electroni participare electroni mobili în orbitali în întregul cristal (benzi de valență)	ionică covalență metalică

^{-a} și afinitate pentru electroni mare
^{-b} atomi săraci în electroni de valență

spre deosebire de atomii cu același înveliș electronic dar cu dimensiuni mai mari.

În fiecare grupă a sistemului periodic elementele de la începutul grupei au tendința de a forma covalențe ex : litiu formează și covalențe în timp ce sodiu numai electrovalențe.

În fiecare perioadă tendința de a forma covalențe crește de la stinga spre dreapta.

Raportul dintre razele celor două elemente care se unesc influențează tipul de legătură. O rază mică a cationului și o rază mare a anionului formează o covalență.

Există unele dependențe între tipurile de legături din rețea și punctele de topire și de fierbere ale substanelor precum și conductibilitățile echivalente. Valorile ridicate pentru aceste proprietăți arată legături ionice în timp ce valori mici indică covalențe în rețeaua cristalină

Ex. :	LiCl	BeCl ₂	BCl ₃	CCl ₄	HCl
p.t.	606°	405°	-107°	-22° ...	115°
p.f.	1350°	488°	18°	77° ...	-85°
Ω	166	0.07	0	0 ...	10 ⁻⁶

Datorită legăturilor metalice în rețea, metalele au proprietăți specifice privind conductibilitatea electrică, termică, transparența (opacitatea) luciul, proprietățile mecanice etc.

Conductibilitatea electrică este mai ridicată la metalele care au volume mai mici, deci rețeaua cristalină este mai compactă și norul electronic mai dens. Conductibilitatea devine mai mică ori de câte ori apare o dezordine în rețea provocată în deosebi de prezența impurităților de alte elemente străine.

Conductibilitatea termică este ridicată datorită ușurinței mișcării electronilor. Electronii își măresc energia cinetică cînd se ciocnesc, energia pe care o transferă, deși o pierd, după un timp foarte scurt după ce au dobîndit-o. Atomii o păstrează și numai această energie este măsurată.

Luciul și opacitatea sint tot proprietăți dependente de mișcarea electronilor, puterea mare de a reflecta este o consecință a electronilor liberi din metal.

Proprietățile mecanice, maleabilitatea și ductibilitatea sunt proprietăți specifice metalelor și constau în faptul că nu pierd din rezistență lor la solicitările mecanice. Menținerea ca material unic chiar cind își modifică puternic forma se datorează atomilor care nu pierd contactul unii cu alții la acțiunea forțelor exterioare și nu-și modifică coeziunea.

În rețelele ionice ca urmare a atracției electrostatice nelocalizate, distribuită uniform în toate direcțiile, ionul pozitiv are tendința să se înconjoare de un număr cât mai mare de ioni negativi. Numărul de particule care înconjoară ionul pozitiv reprezintă numărul de coordonare al cationului, față de anionul respectiv. Rețelele ionice sunt deci rețele de coordonare. În aceste cristale forțele electrostatice se distribuie în mod egal între toți ionii de semn contrar învecinați după regula valenței electrostatice a lui Pauling, sarcina negativă a fiecărui anion fiind compensată prin suma legăturilor electrostatice ce îi revin de la cationii ce-l înconjoară. Pentru a afla practic partea care-i revine de la fiecare cation unui anion, se împarte valența cationului la numărul anionilor înconjurați. Suma părților de valență ce revin unui anion de la cationii înconjurați trebuie să fie egală cu valența anionului.

Majoritatea mineralelor întâlnite în natură sunt compuși cristalochimiici.

Prin numărul de coordonare se înțelege deci, numărul maxim de particule care pot să înconjoare la un anumit moment o particulă centrală, cele exterioare găsindu-se toate la aceeași distanță minimă. Numărul de coordonare este o noțiune importantă care permite înțelegerea multor particularități ale proprietăților structurilor și compușilor chimici corespunzători.

În orînduirea lor în structuri cristaline particulele materiale au totdeauna tendința de a se înconjura în mod simetric unele pe celelalte. Sunt cunoscute următoarele posibilități de aranjamente deci forme geometrice de coordonare (fig. nr. 76).

Principalele tipuri de coordonare întâlnite la minerale sunt prezentate în tabelul nr. 27. Rețelele la care întâlnim un singur fel de legătură între particulele constitutive le numim homodesmice. Există tipuri de rețele în care observăm existența simultană a mai multor feluri de legături, acestea sunt numite heterodesmice. Este cazul rețelelor ionice cu ioni complecsi (săruri oxigenate), al rețelelor stratificate și al rețelelor moleculare.

Factorii care condiționează structura unui cristal conform legii cristalochimiei enunțată de Golschmidt depinde de cantitatea și mărimea relativă și de starea de polarizare a particulelor constitutive (care sunt atomi, ioni sau grupe de atomi, respectiv de ioni).

O clasificare riguroasă bazată numai pe tipul de legătură dintre particule nu este încă elaborată. rețelele cristaline fiind grupate după caracterul legăturii predominante.

În cazul rețelelor ionice punctele nodale sunt ocupate de ioni pozitivi și negativi. Între aceste particule din nodurile rețelei acționează forțe de atracție electrostatice. Așa cum s-a mai arătat, aceste forțe nu sunt orientate în spațiu, ele acționează la fel în toate direcțiile și ele nu

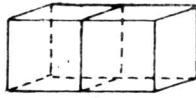
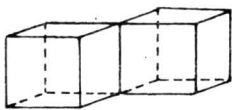
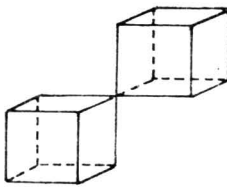
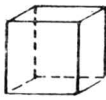
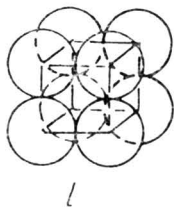
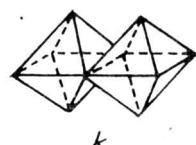
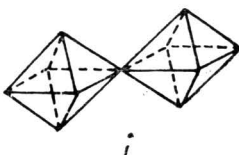
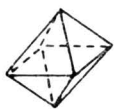
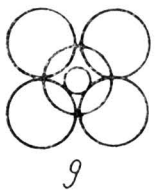
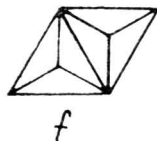
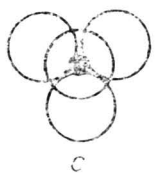
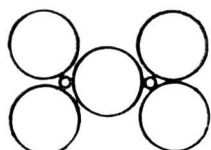
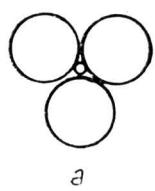


Fig. 76. Principalele poliedre pentru numerele de coordonare.
a, b = trigonal ; c, d, e, f = tetraedric ; g, i, h, j, k = octaedric ; l, m, n, o, p = cubic.

se saturează. Astfel forțele de atracție, acționează între toți anionii și cationii rețelei; similar și forțele de respingere dintre ionii cu aceeași sarcină se manifestă între toți anionii și respectiv între toți cationii. Ca urmare toți ionii vor tinde să se înconjoare cu un număr cât mai mare

Nr. crt.	Nr. de coordonare Ra/Rx	Modul și poliedrul de coordonare	Exemple
1.	< 0,155	1 rețea moleculară	$\text{S}-\text{S}$ $\text{O}-\text{C}$ $\text{O}-\text{O}$
2.	< 0,155	radicali electronegativi 2 rețea moleculară rețea moleculară	$\text{S}_2^{\cdot-}$; $\text{AsS}_3^{\cdot-}$ CO_2 (linear) H_2O (planar)
3.	0,155—0,225	3 atom în centrul unui triunghi echilateral piramidă cu baza unui triunghi (atomii în plane diferite)	C (grafit); $\text{CO}_2^{\cdot-}$; $\text{NO}_3^{\cdot-}$; $\text{BO}_3^{\cdot-}$ $\text{ClO}_4^{\cdot-}$; $\text{BrO}_4^{\cdot-}$ $\text{IO}_4^{\cdot-}$; $\text{SO}_4^{\cdot-}$ $\text{PtCl}_6^{\cdot-}$
4.	0,225—0,414	4 rețea planară, atom în centrul unui pătrat 0,225—0,414 4 rețea în plane diferite, atomi în centrul unui tetraedru. Trece la rețeaionică stratificată.	$\text{SiO}_4^{\cdot-}$; C (diamant); ZnSO_4 ; $\text{VO}_4^{\cdot-}$ $\text{AsO}_4^{\cdot-}$; $\text{PO}_4^{\cdot-}$ $\text{SO}_4^{\cdot-}$
5.	0,414—0,732	5 atom în centrul unei bipiramide trigonale atomi în centrul piramidei tetragonale	NiS —
6.	0,414—0,732	6 atomi în centrul unui octaedru atomi în centrul unei prisme trigonale atomi în centrul unui romboedru	NaCl ; PbS ; $\text{PtCl}_6^{\cdot-}$ NiAs ; MoS_2 —
7.	—	7 prismă trigonală combinată cu o piramidă	Sb_2S_3
8.	0,732—1,000	8 atom în centrul unui cub poliedru cu fețe triunghiulare și opt colțuri cu fețe centrate	CsCl ; Fe ; Ba ; Mo ; W . ZrSiO_4 ; CaWO_4 ; CaSO_4 . Cu ; Au ;
9.	> 1,000	12 prismă hexagonală centralată intern (compactă) cub octaedric centralat poliedru dodecaedru	Mg ; Be ; Re ; Ru . Cu ; Au ; Fe . $\text{K}_3\text{Co}(\text{NO}_3)_6$

posibil de ioni de sarcină contrară. În aceste condiții individualitatea moleculelor dispare și întregul cristal poate fi considerat drept o moleculă uriașă. Așezarea sferelor rigide ale ionilor în spațiu va fi determinată pe de o parte de principiul electronegativității (sarcina totală a anionilor trebuie să fie egală cu sarcina totală a cationilor), iar pe de altă parte de faptul că energia potențială trebuie să fie minimă în sistem. Acestea se realizează cind toți ionii sunt înconjurați de ioni de sarcină contrară în aşa fel încit spațiul dintre ei să fie cît mai mic. Mărimea ionilor este caracterizată cu ajutorul razei ionice, ei se comportă ca sfere rigide în contact direct între ele și cu distanța dintre planele reticulare din rețea (d) egală cu suma dintre raza anionului și raza cationului. La compusul AB avem pentru d, relația $d = r_A + r_B$ relație care exprimă aditivitatea razelor ionice. În cazul cristalelor care conțin în rețea, cationi cu stratul electronic exterior incomplet sau format din 18 electroni apar fenomene de polarizare care deformează ionii și aditivitatea razelor ionice nu mai este respectată. Razele ionice pot fi obținute și prin calcule de mecanică cuantică. În tabelul nr. 28 sunt date razele ionice, în Å^0 pentru cîteva elemente din grupele principale ale sistemului periodic.

Energia potențială a cristalului este minimă cind spațiile interionice sunt cele mai mici. Deci în această situație putem vorbi de o rețea cît se poate mai compactă. Volumul golurilor din rețea ionică depinde pe de o parte de raportul dintre razele ionice, iar pe de altă parte de raportul dintre numărul total al cationilor și anionilor, adică de tipul de combinație.

Tabel nr. 28

Dimensiunile razelor ionilor (Å^0) la principalele elemente

Li^+	0,60	Be^{2+}	0,31	B^{3+}	0,20	O^{2-}	1,40
Na^+	0,95	Mg^{2+}	0,65	Al^{3+}	0,50	S^{2-}	1,84
K^+	1,43	Ca^{2+}	0,99	Sc^{3+}	0,81	Se^{2-}	1,98
Rb^+	1,48	Sr^{2+}	1,13	Y^{3+}	0,92	Te^{2-}	2,21
Cs^+	1,69	Ba^{2+}	1,35	La^{3+}	1,14		
				Ac^{3+}	1,18		
F^{1-}	1,36	Fe^{2+}	0,74				
Cl^{1-}	1,81	Fe^{3+}	0,67	Ti^{4+}	0,68	V^{5+}	0,59
Br^{1-}	1,95	Ni^{2+}	0,69	Zr^{4+}	0,79	Nb^{5+}	0,69
I^{1-}	2,16	Co^{2+}	0,72	Hf^{6+}	0,78	Ta^{5+}	0,68
		Os^{4+}	0,65				
		Ru^{4+}	0,67				
		Ir^{4+}	0,68		Mn^{7+}	0,46	
		Cr^{3+}	0,52		Te^{7+}	0,56	
		Mo^{4+}	0,62		Re^{7+}	0,77	
		W^{6+}	0,62				

2. DEFECTE STRUCTURALE ALE REȚELELOR

2.1. MOBILITATEA PARTICULELOR DIN PUNCTELE NODALE

Intr-o rețea ideală orice ion sau atom se află în fundul unei gropi de potențial și pentru a părăsi punctul nodal al rețelei trebuie să treacă prin o barieră de potențial destul de ridicată. Migrarea ionilor într-o astfel de rețea ar fi posibilă numai la temperaturi foarte ridicate. Cu toate acestea s-a observat că particulele din punctele nodale ale cristalelor reale sunt destul de mobile. Cu ajutorul indicatorilor radioactivi s-a putut constata că în interiorul cristalelor are loc o autodifuziune și la temperaturi joase. Fenomenul poate fi observat la coroziunea metalelor. La ruginirea fierului se formează un strat microcristalin de oxid, neporos, ceea ce împiedică contactul direct dintre metal și oxigenul atmosferic. Coroziunea metalului totuși progresează datorită faptului că din interiorul metalului ionii de fier difuzează prin stratul de oxid, astfel încât la suprafață ei reacționează cu oxigenul. Conductibilitatea electrică a cristalelor ionice, cu coeeficient pozitiv de temperatură, pledează de asemenea pentru mobilitatea ionilor în rețeaua cristalină. Aceste fenomene au la bază defectele rețelelor cristaline, cu mențiunea că au rol important nu atât defectele macroscopice și microscopice cât cele submicroscopice, deci cele care apar la nivelul atomilor și ionilor. Astfel de defecte reticulare apar la toate cristalele reale și la orice temperatură, deoarece la creșterea cristalelor, formarea rețelei nu are loc niciodată absolut regulat. La creșterea temperaturii totdeauna densitatea acestor defecte crește.

2.2. TIPURI DE DEFECTE STRUCTURALE

Substituțiaionică poate fi privită ca un fel de defect — un defect chimic — într-un cristal ideal. În natură, însă, pot fi întâlnite la aşa-numitele cristale ideale, un vast sistem de defecte fizice. Deseori se enumesc aceste defecte ca defecte fizice, deoarece sunt rezultate din tendința unui ion de a scăpa de poziția sa din rețea, fapt care deranjează legăturile chimice dintre particule, slabindu-le sau chiar atenuându-le complet. Unele dintre defectele de structură sunt și rezultatul evoluției cristalului în timpul procesului de formare (condițiile specifice mediului de cristalizare) defecte care trebuie studiate și verificate cu cea mai mare atenție, în timp ce altele sunt dependente numai de variațiile valorilor temperaturilor care acționează asupra cristalelor. Absența totală a defectelor fizice se poate realiza doar în condiții termodinamice la zero absolut. Diferitele tipuri de defecte structurale sunt ilustrate în fig. nr. 77, iar caracteristicile lor sunt rezumate în tabelul nr. 29.

Imperfecțiuni în cristale

Timpul de imperfecțiune	Descrierea imperfecțiunii
1. Defecți interstițiale / de poziție (defect de punct) defect Schottky	Lipsa atomului/ionului din poziția sa inițială Deplasarea atomului/ionului spre spațiile interstițiale creându-se locuri vacante.
2. Defecți de dislocație de șir reticular defecți de muchie	Deplasare de șiruri de atomi/ioni marginal determinind muchia planului cristalografic ce se extinde pe structura cristalului.
defecți liniare marginale	Dislocație de șiruri reticulare de atomi/ioni producind o prăbușire care apare în spirală.
3. Defecți planare defecți de grupe de șiruri (defecți planare liniare)	Dislocarea apare la limita dintre două regiuni perfect adiacente cînd apare a modificare într-o parte a planului reticular. Prin dislocare se produce o înclinare suplimentară a celor două regiuni adiacente între două cristale (polycristal solid).
defecți de limită de granulație (defecți de hotar)	
defecți de suprapunere (defecți de îngrămădire)	Limite adiacente dintre 2 planuri, prezintă secvențe de suprapunerii alternative.
4. Defecți de ordine și dezordine în rețea tridimensională	
Ordine	Substituirea dintre elemente asemănătoare se realizează ordonat.
Dezordine	Substituirea dintre elemente se produce în mod neregulat în rețea cristalină.

Defecțiile interstițiale (fig. 77a) sunt determinate de introducerea unui atom mic străin în rețea în structura interstițială a mineralului cauzând o ușoară deplasare a ionilor din celula elementară în mod regulat ex.: introducerea atomilor de carbon interstițial în oțeluri. Defecțul Frenkel este un defect prin care un ion este deplasat din poziția sa normală și fixat într-un alt loc apropiat sub forma unui ion străin interstițial (fig. 77b). Defecțul Schottky constă în trecerea unor particule superficiale pe alte locuri din planele reticulare în aşa fel ca pe planul super-

ficial să apară goluri (absența unui ion din poziția sa structurală). Acest dezechilibru produs asupra rețelei poate fi neutralizat printr-un alt doilea defect Schottky cu un alt ion de sarcină contrară care a suferit o transformare prin oxidare, a înlocuit un alt ion dintr-o poziție normală din aceeași rețea (fig. 77 c) sau printr-un alt mecanism de echilibrare al rețelei realizându-se defecte de moment. La o rețea cu defecte de tip Schottky, golorile create pot fi pozitive sau negative în funcție de sarcina ionului care a părăsit locul respectiv. În cristalele ionice numărul golorilor pozitive este totdeauna egal cu numărul celor negative.

Aceste defecte sunt cunoscute și sub numele de „defecte de poziție“ (tabelul nr. 29).

O două grupă de defecte este cunoscută sub numele de „defecte de rind“ (șir). Dacă defectul de poziție rezultă din deplasarea unei particule, în defectul de rind este implicată deplasarea unui șir parțial de ioni atomi, cu o oarecare irregularitate în legăturile dintre particule.

Dacă defectul este realizat prin introducerea unui șir numai parțial în rețea cristalului, el terminându-se marginal, obținem ceea ce numim „defecte de muchie“ (fig. 77 d). Ionii/atomii deplasăți marginal prezintă slăbiri ale legăturilor interne, de aici o largire, o întindere a rețelei (fig. 77 e).

Un alt tip de defect de rind constă în deplasarea unei zone cu șiruri reticulare (plan) prin prăbușire (fig. 77 g). Aici o suprafață a ionilor nu se inchide de la sine ci se continuă ca o spirală. Toți ionii dintr-o astfel de spirală se află într-un mediu cristalin normal cu excepția ionilor din axa spiralei care apar într-un „defect liniar marginal“.

Al treilea grup de defecte de structură apare în legătură cu deplasarea unui strat întreg de ioni/atomii într-un mediu cristalin neregulat și este cunoscut sub numele de „defecte de plan“. În aceste situații un întreg strat de ioni/atomii prezintă o poziție neregulată în ansamblul reticular al cristalului. Șirurile de rînduri din rețea (fig. 77 f) sunt deplasate, deranjate liniar spre zone marginale și la intervale regulate, determinând „defecte de plan liniare“. Conturul planului suferă modificări, pozițiile particulelor structurale într-o parte a planului sunt inclinate față de partea opusă a planului care rămîne neschimbată. La inclinări suplimentare ale celor două părți apar unele forme de limită de granulație (fig. 77 f), în care toți ionii de interferență apar în rețea într-o stare neregulată „defect de hotar“. Un alt defect de plan îl constituie „defectul de suprapunere“ (de îngrămadire) în care o grămadă de secvențe de tip HCP este intreruptă de un strat, în poziția CCP, sau o zonă de CCP lipsește la unele strate dintr-o secvență de trei strate (fig. 77 i).

Un alt grup de defecte este legat de posibilitatea de apariție a unei ordini sau dezordini în rețea tridimensională (fig. 77 h). Ionii/atomii asemănători ca volum și sarcini electrice, pot să distribuiți în șiruri, planuri sau în poliedrul cristalin, fără a produce mari variații absorbției de energie. Se realizează o dezordine care este specifică unor specii minerale cu chimism asemănător și formate la temperaturi apropriate. La variații foarte mici de temperatură rețea tinde să îmbrace o formă ordo-

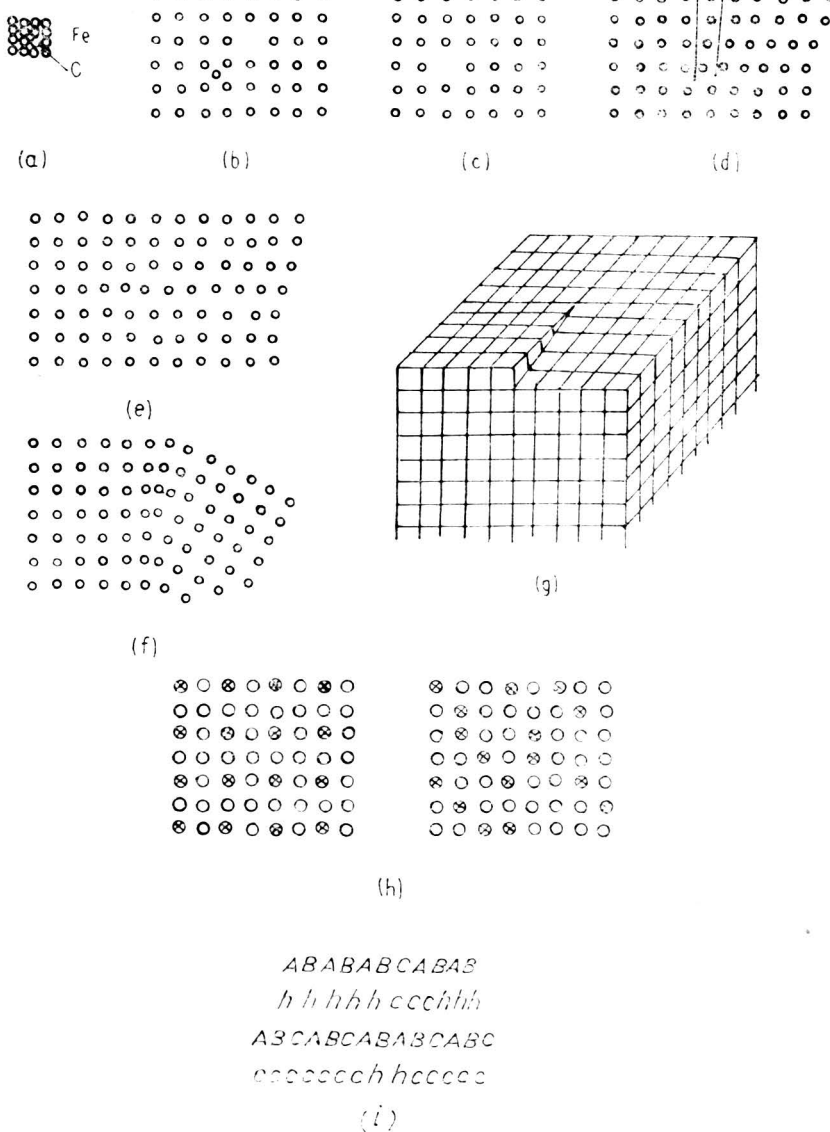


Fig. 77. Diferite tipuri de defecte fizice sau de dislocare : a) defect interstitial; b) defect tip Frenkel — ion deplasat din poziția sa normală și fixat în alt loc apropiat sub formă unui ion străin interstitial; c) defect tip Schottky — absența unui ion din poziția sa structurală; d) defect tip muchie — introducerea unui șir numai parțial; e) defect liniar marginal — deplasarea de șiruri; f) modificări ale planului, o parte a planului este inclinată față de partea opusă care rămîne neschimbată; g) deplasare de plan, prin prăbușire; h) defecte tip ordine și dezordine în rețea tridimensională; i) defecte de suprapunere sau de îngrämadire.

nătă. Aceste fenomene de ordine și dezordine sunt specifice înlocuirilor Al^{3+} și Si^{4+} în rețeaua mineralelor feldspatice.

În natură majoritatea cristalelor tind să devieze de la structura ideală, prezentând tendință de a forma defecte de un tip sau altul. Cantitatea și felul defectelor reprezintă o particularitate specifică naturii chimice a speciei minerale fapt care permite ca aceste aspecte să fie folosite în determinarea mineralelor.

Densitatea defectelor reticulare se poate prevedea teoretic pe baza unor calcule statistice. Aceste calcule au arătat că densitatea defectelor este o funcție exponențială de temperatură și la orice temperatură corespunde o densitate de echilibru atât a defectelor de tip Frenkel cât și a celor de tip Schottky. Notind cu n numărul defectelor reticulare în 1 cm^3 cu N numărul punctelor nodale și cu N' numărul interstițiilor tot în 1 cm^3 pentru defecți de tip Schottky.

se obține :

$$n_s = N \exp \left\{ - \frac{E_a}{kT} \right\}$$

iar pentru defecte tip Frenkel :

$$n_F = \sqrt{NN'} \exp \left\{ - \frac{E_a}{2kT} \right\}$$

în care E_a este energia de activare a formării defectului, adică înălțimea barierei de potențial prin care trebuie să treacă particula pentru ca să ia naștere un astfel de defect, T este temperatura absolută și k — constanta lui Boltzmann. În expresia n_F , apare un factor 1/2 deoarece la treccerea unui ion în interstițiile rețelei iau naștere concomitent două defecte reticulare, un gol și un ion interstițional, în timp ce la defectele n_s apare numai un gol.

Formarea defectelor de tip Schottky este însoțită permanent de creșterea volumului — adică de scăderea densității cristalului — în timp ce formarea defectelor de tip Frenkel nu influențează densitatea cristalului.

3. PRINCIPALELE TIPURI DE STRUCTURI RETICULARE LA MINERALE

Clasificarea și prezentarea structurilor cristaline examineate în cadrul cursului de cristalografie sunt aici prezentate în mod succint. Tipurile mai importante de structuri cristaline întâlnite la minerale, ordonate pe cît posibil după principiul clasificării cristalochimice și pe bază de analogii geometrice, iar la cristalele ionice ținindu-se seama și de formula chimică (simplă/complexă) sunt prezentate în felul următor :

Rețelele metalice caracterizate prin structuri compacte cu umplerea cea mai ridicată a spațiului și cu o simetrie ridicată.

Tipurile de structuri compacte sunt : structura cubică compactă (tipul cuprului) cu număr de coordonare 12 al cărui paralelipiped elementar este un cub cu fețe centrate. Exemple : Cu, Ag, Au, Ca, Sr, Pb, etc. ; structura

hexagonală compactă (tipul magneziului) cu număr de coordonare 12, și cu paralelipipedul elementar, prisma hexagonală cu bazele centrate și cu interiorul centrat la trei celule trigonale alternative. Exemple : Bi, Mg, Ti, Tl, Zr, Hf, Ru, Os, etc. O structură ceva mai puțin compactă este cea cubică centrată intern (tipul wolframului) cu număr de coordonare 8. Exemple : W, Mo, Na, K, Li, Cs, Ba, V, etc., precum și cea hexagonală simplă cu număr de coordonare tot 8.

Așa că de aceste structuri compacte se mai întâlnesc la unele elemente metalice și semimetalice unele tipuri de rețele mai complicate și care sunt puțin deformate față de tipurile de rețele fundamentale. Este vorba de formele intermediare (structurile zincului și cadmiului — structură hexagonală compactă cu raportul $c : a = 1.9$ față de 1.63 ; structura mercurului — romboedrică simplă ; structurile manganului, indiului și galiului, mai complicate ; structura tetragonală pseudocubică cu raportul $c : a = 1.08$; structurile germaniului și staniului asemănătoare structurii diamantului ; structurile arseniului, titanului și bismutului cu paralelipipedul elementar romboedru — pseudocubic) și de formele intermetalice — aliajele — care prezintă aspecte de asemenea identice cu a metalelor, dar deseori cu faze mai complicate, reprezentând combinații de compoziție variabilă, făcind excepție de la legea proporțiilor definite (cristale mixte, faze intermediare).

Rețelele covalente caracterizate prin legături homeopolare, sunt puține la număr și sunt și foarte simple. Este vorba aici de structurile adamantine (structurile diamantului, blendei, colusitului, wurtzitului etc.) structuri homeopolare-metalice (structurile cupritului, galenei, nichelinei, piritei molibdenitului, stibinei, bismutinei etc.).

Rețelele ionice, sunt cele mai răspândite în rîndul combinațiilor anorganice, deci a majorității mineralelor caracteristice rocilor. Tipurile de rețele se grupează după tările legăturilor ionice dintre particulele constitutive, în patru grupe principale : izodesmice, anizodesmice, mezodesmice și combinațiile hidrogenului.

Structurile izodesmice ($Z/n < 1/2$) sunt structuri tipice de coordonare, iar gruparea lor este efectuată și după tipul de formulă stoichiometrică. Structurile cele mai tipice, pentru combinațiile ionice izodesmice sunt : tipul AX : rețeaua CsCl (coordonare 8) și rețeaua NaCl (coordonare 6) ; tipul AX₂ : unde întâlnim rețelele structurale. CaF₂ (8 și 4), TiO₂ (6 și 3) SiO₂ (4 și 2), CO₂ (2 și 1) precum și structura rezultată din înlocuirea anionilor F¹⁻, O²⁻ prin anioni mai mari și mai ușor polarizați cind tipul reticular se schimbă, îmbrăcind un aspect stratificat : tipul CdCl₂, tipul CdI₂, tipul PbI₂ ; tipul A₂X₃ cu structura specifică Al₂O₃ ; tipul ABX₃ unde se încadrează și următoarele structuri : FeTiO₃, MnTiO₃, CaTiO₃ ; apoi rețeaua AB₂X₄ cu cele două tipuri, a spinelilor și a crisoberilului (MgAl₂O₄, BeAl₂O₄).

Structurile anizodesmice ($Z/n > 1/2$) sunt caracterizate prin radicali complecsi la care deosebim următoarele tipuri biatomice : CN¹⁻, C₂²⁻, O₂²⁻, triatomici liniari, N₃¹⁻, CNO¹⁻, CNS¹⁻ ; planari trigonali CO₃²⁻, NO₃¹⁻, piramidali trigonali PO₃³⁻, SO₃²⁻, ClO₃⁻ ; tetraedri deformați, MoO₄²⁻, WO₄²⁻ ; planari tetragonali Ni(CN)₄²⁻, PtCl₆²⁻ ; octaedri SiF₆²⁻, GeF₆²⁻, PtCl₆²⁻, etc.

Structuri mesodesmice ($Z/n = 1/2$) unde legătura cea mai puternică dintre un cation și un anion, este egală cu suma tuturor celorlalte legături caracteristice ale anionului, adică cu jumătatea unităților de valență a anionului. Se cunosc combinații mezodesmice la borați (grupa BO_3^-), la silicați (grupa SiO_4^-) și la germanați (grupa GeO_4^-). Specific acestor combinații este posibilitatea asocierii grupurilor BO_3^- , SiO_4^- , GeO_4^- în diferite moduri, dind naștere la structuri foarte variate. Astfel, în structura tuturor silicațiilor există la bază gruparea tetraedrică $[\text{SiO}_4]^{1-}$ deci fiecare ion de Si^{4+} este înconjurat de patru ioni de O^{2-} situați în colțurile unui tetraedru. Caracteristic silicațiilor este posibilitatea asocierilor grupărilor fundamentale în diferite moduri conducind la structuri foarte variate. În structura cristalină a silicațiilor pot apărea grupări izolate de SiO_4^- , legate între ele prin alți cationi sau mai multe astfel de grupări legate prin oxigeni comuni în complexe finite (inelare) sau în complexe infinite (lanțuri, plane, construcții tridimensionale). Forma de asociere depinde de raportul dintre numărul atomilor de oxigen și numărul atomilor de siliciu din formula silicatului respectiv.

Goldschmidt în funcție de modul în care sunt legați tetraedri stabilisce următoarea variație pentru raportul oxigen și siliciu. (tabelul nr. 30).

Tabel nr. 30

Raport O : Si	Forma anionului din silicați	Sarcina anionului	Exemple minerale
4 : 1	$[\text{SiO}_4]$ tetraedru independent	-4	forsterit $\text{Mg}_2[\text{SiO}_4]$
7 : 2	$[\text{Si}_2\text{O}_7]$ tetraedru dublu	-6	thortveitit $\text{Sc}_2[\text{Si}_2\text{O}_7]$
5 : 1	$[\text{Si}_2\text{O}_5]$ inelar	-6	benitoit $\text{BaTi}[\text{Si}_2\text{O}_5]$
3 : 1	$[\text{Si}_3\text{O}_8]$ inelar	-12	beril $\text{Be}_3\text{Al}_2[\text{Si}_3\text{O}_8]$
3 : 1	$[\text{SiO}_3]$ — lanț	-2n	dioptasid $\text{CaMg}_3[\text{SiO}_3]_2$
11 : 4	$[\text{Si}_4\text{O}_{11}]$ — bandă	-6n	tremolit $\text{Ca}_3\text{Mg}_2[\text{Si}_4\text{O}_{11}]_2(\text{OH})_2$
5 : 2	$[\text{Si}_2\text{O}_5]$ — plan	-2n	talc $\text{Mg}_3[\text{Si}_2\text{O}_5]_2 \text{Mg}(\text{OH})_2$
2 : 1	$[\text{SiO}_2]$ — rețea spațială	0	cuarț SiO_2

Din tabel reiese că pe măsură ce scade raportul O:Si intervine o complicare treptată a legăturii dintre ionii de oxigen și siliciu, de la structuri cu insule izolate (ortosilicați) se trece la grupe de insule și de inele, apoi la șiruri și benzi, la plane și în sfîrșit la volume. Complicarea se produce după schema punct—linie—plan—volum.

În funcție de chimism și de structură silicații se împart astfel :

A. Silicați cu grupări tetraedrice izolate de SiO_4^-

- a) subclasa nezosilicațiilor
- b) subclasa sorosilicațiilor
- c) subclasa nezo-sorosilicațiilor
- d) subclasa ciclosilicațiilor

B. Silicați cu tetraedri de SiO_4^- legați în formă de lanțuri (inosilicați)

- a) subclasa lanțuri simple—piroxeni
- b) subclasa cu lanțuri duble—amfiboli

C. Silicați constituți din tetraedri reuniți prin 3 ioni comuni de oxigen, formind rețele plane infinite cu ochiuri hexagonale (filosilicați)

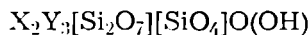
D. Silicați formați prin punerea în comun a celor 4 colțuri cu oxigen activ determinând rețelele tridimensionale de tetraedri SiO_4 (tectosilicați).

1. Silicații cu grupări tetraedrice izolate de SiO_4 apar sub mai multe forme :

a) Radicalul caracteristic pentru nezosilicați este $(\text{SiO}_4)^{4-}$ legat în rețea cu ajutorul cationilor altor elemente. Cationii mai importanți prezenti în aceste minerale sunt Mg^{2+} , Fe^{2+} , Ca^{2+} , (Mn^{2+}) , Al^{3+} , Fe^{3+} , Ti^{4+} , Zr^{4+} , Hf^{4+} , (Nb^{5+}) . Formula generală $X_2[\text{SiO}_4]$

b) Radicalul caracteristic pentru sorosilicați este $[\text{Si}_2\text{O}_7]^{6-}$. Elementele cationice specifice sunt în număr mai restrâns dintre acestea amintim : Na^+ , K^+ , Ca^{2+} , Al^{3+} , Fe^{2+} , Fe^{3+} , Sc^{3+} , Y^{3+} .

c) Formulele chimico-structurale sunt mult mai complexe la aceste minerale unde sunt identificați atât radicali aparținând nezosilicațiilor $[\text{SiO}_4]^{4-}$, cât și sorosilicațiilor $[\text{Si}_2\text{O}_7]^{6-}$. Elementele cationice caracteristice sunt similare subclaselor amintite anterior. Aspectul general al formulelor acestei subclase îl avem în expresia formulei generale a mineralelor din grupa epidotului. $\text{W}_2(\text{X}, \text{Y}), \text{Z}_2\text{O}_{12}(\text{OH})$ sau prin formula specifică



unde $\text{X}_2 = \text{Ca}^{2+}$, Ce^{3+} , La^{3+} , iar

$\text{Y}_3 = \text{Al}^{3+}$, Fe^{2+} , Mn^{3+} , Mg^{2+} , Ti^{4+} , Fe^{3+}

subclasă cunoscută sub numele nezo-sorosilicați.

d) Radicalii caracteristici pentru acești silicați sunt determinați din anioni inelari constituși din trei tetraedri $[\text{Si}_3\text{O}_9]^{6-}$, radicali anionici formați din patru tetraedri, $[\text{Si}_4\text{O}_{11}]^{8-}$, și în sfîrșit radicali anionici formați din 6 tetraedri cu formula de tipul $[\text{Si}_6\text{O}_{18}]^{12-}$. Această subclasă fiind numită a ciclosilicațiilor.

Silicații cu tetraedri de SiO_4 legați în formă de lanțuri (inosilicați), se prezintă sub două tipuri principale

a) Subclasa inosilicațiilor prezentată prin lanțuri simple (piroxenii). Radicalul anionic poate fi exprimat prin formula $[\text{SiO}_3]_{\infty}^{4-}$ care este neutralizată prin cationi de tipul Mg^{2+} , Na^+ , Ca^{2+} , Fe^{2+} , Fe^{3+} , Al^{3+} etc. Formula generală pentru aceste minerale este de tipul $\text{X}_2[\text{Si}_2\text{O}_6]$.

b) subclasa insilicațiilor prezentată prin benzi în structura ei cristalină și care are caracteristic radicalul anionic $[\text{Si}_4\text{O}_{11}]_{\infty}^{6-}$. Formula generală chimico-structurală este mult mai complicată în raport cu subclasa piroxenilor. În formula acestor minerale intră și gruparea $(\text{OH})^{4-}$, ca constituent esențial deseori fiind înlocuit prin F^{-} , sau Cl^{-} . Formula idealizată pentru aceste minerale se prezintă :



unde $\text{X}_{2-3} = \text{Ca}^{2+}$, Na^+ , K^+ , Mn^{2+} , Fe^{2+}

$\text{Y}_5 = \text{Mg}^{2+}$, Fe^{3+} , Al^{3+} , Mn^{3+} , Ti^{3+} , Fe^{2+}

Se remarcă în această rețea pentru prima oară posibilitatea ca Al^{3+} să apară și în coordonare tetraedrică, respectiv în radicalul anionic al mineralului, modificind sarcina electrică specifică radicalului caracteristic subclasei.

Silicații constituși din tetraedri reunisi prin trei ioni comuni de oxigen, formind rețele plane infinite cu ochiuri hexagonale (filosilicați) îmbracă aspectul unei structuri stratificate, la care ca și la amfiboli este obligatorie prezența și a radicalului $(\text{OH})^{1-}$, deseori substituit prin $\text{Cl}^{1-}\text{F}^{1-}$. Dintre cationi cei mai frecvenți sunt Mg^{2+} , Al^{3+} , iar ca înlocuitori ai lor, $\text{Fe}^{3+}\text{Mn}^{3+}$, Li^{1+} , respectiv Mn^{2+} . De asemenea ca și la inosilicați asistăm la înlocuirea tetraedrilor SiO_4 cînd în chimismul mineralelor apar și cationi cu dimensiuni mai mari ca K^+ , Na^+ și Ca^{2+} precum și molecule de apă.

Formula idealizată pentru aceste minerale :



unde $\text{W} = \text{Ca}^{2+}, \text{K}^+, \text{Na}^+, \text{Li}^+$

$\text{X} = \text{Mg}^{2+}, \text{Fe}^{2+}, \text{Mn}^{2+}$. (Al^{3+} — parțial)

$\text{Y} = \text{Al}^{3+}, \text{Fe}^{3+}, \text{Ti}^{3+}$

$\text{Z} = \text{Si}^{4+}, \text{Al}^{3+}$ (substituind siliciul)

Silicații formați din rețele tridimensionale de tetraedri de SiO_4 (tectosilicați). Remarcăm că mineralele din această clasă sunt caracterizate prin radicali anionici formați din tetraedri de SiO_4 și tetraedri AlO_4 , sunt minerale exclusiv de tipul alumosilicațiilor. Structurile lor se apropie de a mineralelor din grupa cuarțului — cuart, tridimit, cristobalit.

Majoritatea cationilor, care ocupă golarile din rețea au raze ionice mari și prezintă număr de coordonare mai mare de 6. Amintim că elemente cationice frecvente Na^+ , K^+ , Ca^{2+} , Ba^{2+} , mai rar Cs^+ , Rb^+ etc.

În cazul mineralelor din grupa feldspatoizilor în spațiile libere în golarile din rețea tridimensională, apar alături de elementele cationice mari — amintite — și anioni suplimentari ca : CO_3^{2-} , Cl^- , SO_4^{2-} etc.

Formula chimico-structurală caracteristică acestor minerale se prezintă sub forma $[\text{Si}_{n-x}\text{Al}_x\text{O}_{2n}]^{x-}$ cu cationi reținuți în golarile specifice rețelei. În această structură cristalizează feldspații, feldspatoizii și zeoliții. Cationii care compensează valențele negative create aparțin metalelor alcaline Na^+ , K^+ alcalino teroase Ca^{2+} , Ba^{2+} , în general cationi cu dimensiuni mari.

4. CONSTITUȚIA CHIMICĂ A MINERALELOR

4.1. COMPUȘI CHIMICI DEFINIȚI

Fiecare mineral are o compoziție chimică constantă, adică este compus permanent din aceleași elemente, în aceleași proporții.

Se încadrează aici compușii care se supun riguros legii conservării materiei, exprimată prin formule chimice, legii proporțiilor multiple și

legii proporțiilor definite, care arată raporturile compozițiilor respectivi cu raporturile lor din compușii de alte tipuri. Aceste legi chimice sunt în perfectă concordanță cu legea periodicității elementelor, sistemului periodic (al lui D. I. Mendeleev), cu legile cristalochimice și cu legea simetriei mediilor cristaline. Acești compuși se deosebesc printr-o serie de proprietăți fizice speciale. Ele apar vizibile în diagramele fizico-chimice privind variațiile în raport de doi parametrii la fusibilitate, solubilitate, conductibilitate electrică, duritate, greutate specifică, indicii de refracție etc. Cea mai mare parte din minerale sunt compuși definiți simpli.

Ca exemple de compuși chimici definiți simpli se pot cita diferenți oxizi (Cu_2O , MgO , F_2O_3 , SiO_2 etc.), săruri oxigenate (CaCO_3 , CaSO_4 , AlBO_3 etc.), sulfuri (NiS , FeS_2 , Sb_2S_3 , ZnS , PbS etc.), compușii halogenatați (NaCl , AgBr , CaF_2 etc.).

Afără de compușii definiți simpli se cunosc în natură și compuși chimici definiți dubli în special sărurile duble.

Sărurile duble sunt compuși definiți care sunt formați din două săruri simple, combinate în diferite proporții (în proporții multiple). În majoritatea cazurilor aceste săruri sunt duble prin cationi mai rar prin anioni sau și mai rar prin cationi și anioni simultan. Prin studiile structurale efectuate asupra sărurilor duble a rezultat că totdeauna cationii dubli care intră în componența lor, nu se pot înlocui (substitui) reciproc, izomorf în rețele cristaline analoage a sărurilor datorită diferențelor mari între razele lor ionice, dispoziția lor arătând aranjament alternativ pentru cationii dublii. De aceea la urmărirea proprietăților acestor combinații duble în raport cu combinațiile simple se constată că apar unele deosebiri în cea ce privește structura cristalină și desigur în raport cu mărimea acestor diferențe, deosebiri legate de unele proprietăți fizice sau chiar chimice.

Ca exemple de compuși definiți dubli putem menționa sărurile oxigenate : $\text{CaMg}(\text{CO}_3)_2$, $\text{K}_3\text{Na}_2(\text{SO}_4)_2$ pentru care dimensiunile razelor lor ionice sunt $\text{Ca}^{2+} = 0,99 \text{ \AA}$, $\text{Mg}^{2+} = 0,66 \text{ \AA}$, $\text{K}^+ = 1,43 \text{ \AA}$, $\text{Na}^+ = 0,97 \text{ \AA}$.

Compoziția de bază a compușilor definiți poate fi exprimată atât sub formă de formule empirice cât și sub formă de formule de constituție sau chimico-structurală.

Prin formulele empirice se exprimă compozitia mineralelor sub forma elementelor ce intră în combinație ex. : BaSO_4 , Na_3AlF_6 , CaF_2 etc.

Datele cristalochimice, bazate pe studiul röntgenostructural al mineralelor, aduc unele corecții în redarea formulelor compușilor cu o constituție chimică mai complexă. Cum majoritatea mineralelor sunt substanțe anorganice caracterizate de regulă prin preponderența legăturilor ionice între particulele constitutive, este bine ca în formulele chimice să se reflectă proporțiile și pozițiile acestor particule (ioni radicali) din structură obținându-se astfel formulele chimico-structurale. În acest caz anionii simplii sau complecși (radicali) se individualizează prin paranteze mari, iar cationii după caz, prin paranteze mici. Urmărind comportarea acestor compuși cristalini față de diferenți solvenți, constatăm că ei se comportă diferit. Unii sunt solubili în acizi sau în apă, sau numai în acizi nu și în

apă, alții sint insolubili atât în acizi cît și în apă etc. Chiar în același solvent substanțele cristaline solubile, prezintă grade diferite de solubilitate. În tabelul nr. 31 este prezentă comportarea cîtorva minerale la acțiunea HCl.

Tabel nr. 31

Solubilitatea mineralelor în acid clorhidric

Luciu metalic		
Solubile în HCl	Solubile în HCl cu degajare de clor	Solubile în HCl cu degajare de H_2S
Goethit (limonit) solubil în HCl cu dificultate Hematit Ilmenit Magnetit	Piroluzit Psilomelan Manganit Hausmanit Braunit	Stibină Galenă Pircătină Blendă
Luciu nemetalic		
Solubile în HCl	Solubile în HCl cu formare de gel silicios	Descompuse în HCl cu depunere de reziduu silicios
Criolit Zincit Brucit Colemanit Gips Jarosit Apatit Turcoază Carnotit Tyuyamunit Crocoit	Anortit Nefelin Sodalit Cancrinit Olivină Willemit Hemimorfit Datolit Analcit Natrelit Laumontit	Leucit Rödenit Wollastonit Pectolit Scapolit Cordierit Biotit Serpentină Crisocol Stilbit Chabazit Heulandit Garnierit
Solubile în HCl cu degajare de CO_2		
Toți carbonații		

4.2. COMPUȘI CHIMICI CU CONSTITUȚIE CHIMICĂ VARIABILĂ

Pe lîngă compuși chimici definiți există numerosi compuși, a căror compoziție variază în limite mai mici sau mai mari și la care variațiile de la formula empirică nu pot fi puse pe seama adausurilor mecanice de substanțe străine sau pe seama erorilor de analiză.

Compoziția variabilă a compușilor se explică din punct de vedere cristalochimic în special prin capacitatea unor substanțe cristaline de a

forma amestecuri în limite diferite (izomorfism) legată de proprietatea elementelor de a se înlocui reciproc atunci cînd particulele respective prezintă dimensiuni similare, au sarcini cu același semn, pentru ionii care se substituie și un grad de polarizare care nu depășește anumite limite. Substanțele care conduc la amestecuri prezintă formule chimice analoage. Același fenomen se observă și la substanțele chimice care au în structura lor cristalină particule complexe ca de exemplu $(MoO_4)^{2-}$, $(WO_4)^{2-}$ etc.

Combinățiile cu compoziție variabilă sunt destul de frecvente printre minerale. Aici trebuie menționate acele săruri cu compoziții chimice complexe care deși prezintă rețele cristaline construite asemănător, nu manifestă un izomorfism complet, această situație fiind impusă de diferențele importante dintre cationi din punctul de vedere al dimensiunilor razelor lor ionice, sau din cauza deosebirilor privind capacitatea lor de polarizare etc. Pentru acești compuși este caracteristică variația parțială a compoziției care se exprimă printr-o neconcordanță între formulele chimice empirice și raporturile strict stoichiometrice ale componentelor.

În foarte mulți compuși simpli și dubli se constată existența unor amestecuri izomorfe între diferiți compoziți în cantități neînsemnante; de exemplu la blendă (ZnS) , în care conținutul în fier sub formă de amestec izomorf atinge cîteva procente.

Compușii chimici de compoziție variabilă nu se deosebesc prin proprietățile lor de soluțiile solide.

4.3. COMPUȘI CHIMICI HIDRATAȚI

În afară de compuși chimici descriși anterior, în natură se mai întâlnesc combinații chimice care conțin în constituția lor și molecule de apă neutre din punct de vedere electric cu comportament independent față de grupările $(OH)^{1-}$, anioni prezenți în numeroase structuri cristaline.

Între molecula H_2O și ionul cu sarcină electrică negativă $(OH)^{1-}$ prezenți în structurile cristaline ale mineralelor, există o diferență clară, care se manifestă asupra proprietăților fizice și chimice ale mineralelor. Ionul $(OH)^{1-}$ este capabil să înlocuiască în compușii chimici anionii suplimentari ca F^{1-} , Cl^{1-} etc. și este strins legat în rețelele cristaline participind la formarea edificiului cristalin. Molecula de H_2O nu înlocuiește anioni în rețelele cristaline și este slab reținută în rețea, în afara nodurilor rețelei, putind fi deci ușor îndepărtată de regulă prin o ușoară încălzire a mineralului.

În formula chimico-structurală a mineralului se impune indicarea prezenței poziției grupului $(OH)^{1-}$, independent, concomitent cu precipitarea existenței sau nu a moleculelor de apă în mineral. În felul acesta se arată clar diferența dintre compușii bazici cu $(OH)^{1-}$ și compușii hidratați.

După modul în care sunt reținute moleculele de apă față de structurile cristaline deosebim: apa de cristalizare sau apa de constituție prezentă în cristal dar în afara nodurilor rețelei care participă la formula chimico-structurală a mineralelor și apa liberă care nu intră în structura substanței cristaline.

— *Apa de cristalizare* (de constituție) participă la rețea sub forma de molecule de H_2O care ocupă poziții strict determinate în rețea. Numărul de molecule de apă se găsește în raport simplu față de ceilalți compoziți ai compusului. Exemple :

- soda $Na_2CO_3 \cdot 10 H_2O$
- gips $CaSO_4 \cdot 2 H_2O$
- annabergit $Ni_3(AsO_4)_2 \cdot 8 H_2O$
- wavellit $(Al_2(PO_4)_3(OH)) \cdot 5H_2O$

Acstea combinații sunt așa numiți cristalohidrați, care trebuie considerați compuși complecsi în care moleculele de apă sunt dispuse ca particule constitutive într-o anumită ordine în jurul anumitor ioni, determinind astfel un fel de ioni complecsi. Spre exemplu la compusul cristalin $Ni(SO_4) \cdot 6H_2O$, prin studiul röntgeometric se constată că cele 6 molecule H_2O dipolare înconjoră nemijlocit cationul de Ni^{2+} , orientându-se într-un anumit mod față de cationul central Ni^{2+} . Dat fiind că moleculea de H_2O este electric neutră, cationul hidratat în formula chimică se exprimă sub forma $[Ni(H_2O)_6]^{2+}$ fapt ce arată că Ni^{2+} își păstrează sarcina specifică lui. De aceea se recomandă ca formula compusului să se scrie $[Ni(H_2O)_6] [SO_4]$.

Acești compuși hidratați (cristalohidrați) se deshidratează ușor prin încălzire, dezhydratarea producindu-se prin salturi, substanțele cristaline pierzind total sau parțial moleculele de apă. La o pierdere rațională de molecule de apă edificiul cristalin nu suferă modificări esențiale. Astfel spre exemplu mineralul cunoscut sub numele de calcantit care prezintă cinci molecule de apă în structura sa cristalină, prin încălzire lentă se dezhydratează inițial obținându-se trecerea de la $Cu(SO_4) \cdot 5H_2O$ la compusul la $Cu(SO_4) \cdot 3H_2O$, apoi la compusul $Cu(SO_4) \cdot H_2O$ ca la sfîrșit să se obțină sarea de tipul $Cu(SO_4)$. Pe măsură ce se elimină din moleculele de H_2O se remarcă variații în unele proprietăți fizice, în deosebi în valorile indicilor de refracție, greutatea specifică etc. dar nu modificări în structura de bază. Procesul de pierdere al moleculelor de apă se realizează însă la temperaturi diferite : unele minerale pierd apa de cristalizare chiar la temperatura normală a camerei, altele la temperaturi ridicate de regulă cu mult peste $100^{\circ}C$.

— *Apa liberă* se caracterizează prin faptul că nu participă direct la constituirea rețelei cristaline a mineralului. Să ea se elimină prin proces de încălzire în mod treptat. După pozițiile existente în mineral deosebim apă zeolitică, apă coloidală și apă higroscopică.

Apa zeolitică își trage denumirea de la mineralele cunoscute sub numele de zeoliți, unde comportarea acestor molecule de apă este mai evidentă și are caracter specific. În mineralele cu apă zeolitică moleculele de apă, nu au o poziție bine definită în rețea cristalină a mineralului ci se așeză în spațiile libere în deosebi în lungul canalelor structurale sau în spațiile libere dintre strate. De aceea cantitatea de molecule de apă absorbită în special la nivelul volumului canalelor din structura reticulară este limitată. Variațiile în cantitate de apă nu atrag modificări privind omogenitatea cristalină a substanței, deși apar modi-

ficări lente la proprietățile fizice ale mineralelor : gradul de transparență, indicii de refracție, greutatea specifică, birefrigență etc. Această constatăre ar presupune că apa zeolitică se află în stare aparentă de soluție solidă. Prin încălzire și aceste molecule de apă pot fi eliminate, temperaturile variind între 80° — 400°C . Reacția de pierdere a moleculelor de apă este o reacție reversibilă : prin o tratare la rece cu atenție, proprietățile optice se pot restabili inclusiv și capacitatea de absorbție a H_2O .

Apa coloidală este întâlnită în hidrogeluri, și anume este reținută la suprafața fazelor disperse, prin forțe de legături slabe. În realitate este o apă de adsorbție, prezența și cantitatea ei nu depinde de natura reței adsorbantului. Există însă posibilitatea ca adsorbantul să prezinte pe lîngă moleculele de apă adsorbite și molecule de apă legate cristalo-chimic de mineral. Ca exemplu de mineral cu apă coloidală menționăm opalul care este un hidrogel de silice : $(\text{SiO}_2 \cdot \text{aq})$.

Apa hidroscopică este cea reținută adsorbțiv pe suprafetele fisurilor fine și foarte fine, în porii mineralelor, în masele pulverulente etc., prin legături de tipul forțelor tensiunii superficiale (ca apă capilară). În cea mai mare parte această apă este eliminată prin o slabă încălzire la temperaturi pînă în jur de 100°C .

Între apa coloidală și apa hidroscopică este greu să se facă o perfectă delimitare.

4.4. COLOIZI

Într-o soluție adevărată, solutul este dispersat perfect în solvent sub formă de atomi/ioni/molecule. O suspensie apare cînd în mediul solventului există particule suficient de mari pentru a putea fi văzute fie cu ochiul liber fie la microscop. Între aceste două tipuri se află forma intermediară denumită „soluție coloidală“. Particulele sunt foarte fine pot trece prin filtru, dar suficient de mari față de ionii sau moleculele din soluțiile perfecte. Termenul de coloid a fost introdus în Graham în 1861. Suspensiile coloidale sunt numite și soli. La orice sol se deosebește o fază de dispersie și fază de dispersiune. Faza dispersă dintr-un sol se numește gel. Mediul de dispersiune poate fi gazos, lichid sau solid, iar faza dispersată de asemenea gazoasă, lichidă sau solidă. Deci la suspensiile coloidale deosebim mediul de dispersiune frecvent — solventul și faza dispersă aglomerată — gelul.

Mediu de dispersiune	Faza dispersă	Numele
gazos	lichid	ceață
gazos	solid	praf, fum, (aerosol)
lichid	gazos	izvoare cu CO_2 , cu H_2S , etc.
lichid	lichid	emulsie (ulei în apă)
lichid	solid	sol (hidrosol), miluri, etc
solid	gazos	inclusiunile gazoase din minerale
solid	solid	inclusiuni de fier dispersat în calcit

Faza dispersă se caracterizează prin particule foarte fine dintr-o substanță, dimensiunile varind de la 100 pînă la 1 m μ (10^{-4} mm — 10^{-6} mm). Fiecare particulă din faza dispersă poate cuprinde de la cîteva, zeci sau sute de molecule din compusul respectiv, deci faza dispersă apare sub forma rețelei cristaline — reprezentînd cele mai mici faze solide cristaline.

Faza de dispersiune este substanță în care se dispersează particulele fazei disperse.

Soluțiile coloidale care prezintă predominant mediul de dispersiune și subordonat faza dispersă, și care cînd sunt privite cu ochiul liber, apar ca o fază omogenă deseori transparentă neputînd fi deosebite ușor de soluțiile adevărate ionice sau moleculare se numesc soli.

Gelurile arată faza dispersată predominant iar mediul de dispersiune subordonat. Particulele fazei de dispersie par lipite între ele formînd mase cleioase, gelatinoase, sticloase. Mediul de dispersiune apare în aceste cazuri ca și cînd ar ocupa locurile rămase libere pentru particulele dispersate.

În funcție de natura mediului de dispersiune deosebim : mediul de dispersiune apă — hidrosoli și hidrogeluri ; mediul de dispersiune aer — aerosoli și aerogeluri ; mediul de dispersiune topitură — pirosoli și pirogeluri ; mediul de dispersiune o substanță cristalină — cristalosoli și cristalogeluri. Cei mai răspîndiți în natură sunt hidrosolii, cristalosolii și hidrogelurile.

Hidrosolii, se obțin prin pulverizarea fină a substanței în apă. În natură se formează prin abraziunea rocilor, a mineralelor sub acțiunea forțelor dinamice — curenti de apă, mișcări tectonice, îngheț, dezgheț, reacții chimice în medii apoase, activitatea organismelor vii (procesele biochimice). Particulele disperse microfragmente de minerale care ar trebui să fie neutre, au aceleași sarcini electrice și datorită acestui fapt particulele fazei disperse se resping și deci în mediul de dispersiune se găsesc în stare de suspensie. Sarcinile electrice ale fazei dispersate se explică din proprietatea de a adsorbi diferenți ioni din mediul de dispersiune.

Cristalosolii sunt medii cristaline tipice care conțin în ele sub forma de fază dispersată o substanță oarecare. Cristalosolii se formează în urma proceselor de cristalizare a hidrosolilor ex. : apa cu suspensii — gaze substanțe solide (praf, cărbune) ceea ce conduce la gheata cu incluziuni fie gazoase fie solide. Suspensiile determină diferențe culorii pentru cristalosol (în stare pură incolor). Ex. : baritina roșie determinată de oxiziile de fier dispersați ; calcitul negru datorită suspensiilor de sulf sau de pirită în stare dispersă ; cuarțul alb lăptos datorită incluziunilor gazoase.

Modul de aranjare a păturilor incolore în raport cu păturile colorate ale fazei dispersă, conduce la apariția de structuri caracteristice — zonare,

concentrice, alternante, neregulate. Și unele minerale opace se comportă ca cristalosoli, cristale de pirită cu cupru nativ, cristale de galenă cu argint sau sulfosăruri de argint, cristale de mispichel cu argint nativ sau sulfosăruri cu argint, cristale de calcopirită și de pirită cu aur nativ. De cele mai multe ori aceste faze disperse sunt vizibile la microscop (dimensiunile mai mici de $0,5 \text{ m}\mu$).

Hidrogelurile se formează prin coagularea hidrosolilor. Faza dispersă din soluțiile coloidale este reprezentată din particule care se solvatează în apă, cind sunt numite coloizi liofili, sau din particule care nu se leagă în nici un fel de solvenți și care se numesc coloizi liofobi. Soluțiile coloizilor liofili se obțin în concentrații mult mai mari decât coloizii liofobi. Stabilitatea suspensiilor coloidale (fazei dispersate) este determinată de respingerea dintre particulele care poartă sarcini electrice de același semn ex.: menținerea picăturilor de apă din ceată și din nori.

În medii de disperziune lichide unele faze disperse au sarcini pozitive altele negative după cum se vede în tabelul nr. 32.

Cauzele sarcinilor electrice a particulelor de coloizi se datorează adsorbților unor ioni din soluții. Exemplu solurile de metale (aur, argint etc.) care nu reacționează cu apa, dar care adsorb unii ioni din soluții. Acești coloizi se desorb ușor, sunt foarte instabili, deci se coagulează ușor cind particulele se aglomerează în agregate compacte care se depun mecanic sub acțiunea forței de gravitație.

Tabel Nr. 32

Sarcina citorva coloizi în soluție apoasă

Particule încărcate pozitiv	Particule încărcate negativ
Fe(OH)_3 Al(OH)_3 Cr(OH)_3 Cd(OH)_2 TiO_2 CeO_2 Coloranți bazici	Au, Ag, Pt $\text{S, As}_2\text{S}_3, \text{Sb}_2\text{S}_3$ $\text{SiO}_2, \text{SnO}_2, \text{V}_2\text{O}_5$ Amidon solubil Coloranți acizi

Neutralizarea sarcinilor electrice ale particulelor disperse se realizează: prin adăugirea unui electrolit (soluții ionice) în soluția coloidală. În aceste cazuri cationii sau anionii din electrolit sunt antrenați în reacții cu ionii adsorbiți de coloid, producându-se neutralizarea particulelor disperse: neutralizarea se mai realizează prin reacțiile reciproce dintre particulele coloidale încărcate diferit și prezente concomitent în soluțiile de disperziune.

Hidrogelurile se mai formează prin coagulare independentă, respectiv prin pierderea aproape totală a mediului de disperziune în urma unor procese de evaporare, creând un sistem stabil.

În natură sunt întâlnite și geluri formate sub acțiunea activităților bacteriilor de exemplu activitatea ferobacteriilor la depunerile din măruri a hidroxizilor de fier-limonitul.

5. METODE DE DETERMINARE A COMPOZIȚIEI CHIMICE A MINERALELOR

Pentru cunoașterea constituției chimice a diferitelor minerale se folosesc metode de investigații specifice chimiei și fizicei. Rezultatele obținute prin aceste analize cînt utilizate atît pentru stabilirea formulelor chimico-structurale cît și pentru identificarea tipului de proces genetic care acționează la formarea lor.

5.1. METODE CHIMICE DE ANALIZĂ

Ca metode de analiză chimică sunt cunoscute analiza gravimetrică și analiza volumetrică. Se aleg aceste tipuri de analize pentru concentrații de regulă mai mari de 1% pentru elementul cercetat.

Analiza gravimetrică are ca principiu măsurarea prin cîntărire a unui precipitat caracteristic format printr-o anumită reacție chimică. Elementul de dozat este inițial adus în stare de combinație solubilă, este trecut apoi în soluție, după care cu un reactiv specific este trecut în stare de precipitat care se separă de restul soluției prin filtrare. Dozarea prin această metodă se face prin separarea cît mai completă a ionului și pe cît posibil numai a lui. Cunoscind cantitatea de substanță supusă analizei, cantitatea de precipitat și concentrația ionului de analizat în precipitat, putem determina concentrația elementului în probă respectivă.

Analiza volumetrică se execută prin măsurarea volumului unui element, printr-o reacție specifică cu un reactiv de concentrație cunoscută; și la această analiză se impune trecerea substanței de analizat într-o formă solubilă care se tratează apoi cu reactivi de concentrație cunoscută, așa numitele soluții de titrare. Soluția de analizat este tratată cu o soluție de reactiv titrat pînă la un anumit punct de echivalență, care definește punctul de echilibru a elementului de analizat și reactiv. Punctul de echivalență este observat vizual cu ajutorul indicatorilor. Indicatorii sunt substanțe colorate, acizi sau baze slabe care prezintă proprietatea de a-și schimba culoarea la modificarea pH-ului mediului. Cunoscind cantitatea de substanță luată în analiză și volumul respectiv titrat, se poate determina concentrația elementului în probă de analizat.

Analiza gaz-volumetrică urmărește dozarea gazelor ca atare sau a unor gaze rezultate în urma unor reacții pe substanțe solide sau lichide. Dozările pentru măsurarea volumului gazului se fac cu ajutorul unor biurete sau a unor aparate mai complexe, la temperatură și presiune constantă. Analiza gazelor rezultate se face în funcție de compoziția lor, prin ardere, absorbție selectivă în diferite soluții, reacție cu diferiți reactivi, chromatografic etc.

5.2. METODE FIZICO-CHIMICE DE ANALIZĂ

Metodele fizico-chimice, folosesc pentru determinarea concentrației unui element, anumite proprietăți fizice ale căror valori sunt proporționale cu concentrația. În determinările pe baze fizico-chimice, se utilizează o

aparatură specială, caracteristică fiecărui tip de analiză, atât pentru aducerea substanței respective în stare specifică pentru metoda respectivă cît și pentru măsurarea rezultatelor. Rezultatele se raportează la un etalon sau la o serie de etaloane pentru aflarea concentrației elementului în proba de analizat.

Metodele fizico-chimice se pot clasifica în metode electro-chimice, ce folosesc curențul electric, metode optice pentru măsurarea intensității emisei sau absorbției luminii, metode termogravimetrice ce au la bază variația temperaturii și greutății la încălzire etc.

Dintre analizele electrochimice o largă răspindire are analiza polarografică. Principiul metodei constă în măsurarea intensității curențului electric în procesul unei electrolice la care diferența de potențial între electrozi este variabilă. Își aici în prealabil substanța este adusă în stare de soluție într-o combinație chimică specifică.

Colorimetria este metoda optică cea mai frecvent utilizată în geo-chimie. Metoda se bazează pe proprietatea unor substanțe în stare lichidă de a absorbi anumite radiații din spectrul vizibil apărind colorată astfel în culoarea complementară. Intensitatea absorbției, și deci a culorii este funcție de concentrația substanței respective în soluție și de grosimea stratului de lichid străbătut de lumină. Determinările se fac prin comparația intensității culorii soluției de analizat cu una sau mai multe soluții etalon într-un colorimetru, aparat ce permite aducerea celor două soluții la aceeași culoare prin variația grosimii stratului de soluție analizat.

Flamfotometria sau fotometria de flacără se bazează pe proprietatea atomilor excitați, de a emite radiații cu lungimi de undă bine cunoscute cind trec în starea fundamentală. Proba de analizat este adusă în soluție și pulverizată în flacără de acetilenă sau propan. Spectrele elementelor sunt separate cu ajutorul unor monocromatoare sau filtre optice pentru izolarea unor anumite radiații specifice pentru elementul căutat. Concentrația elementului analizat este proporțională cu intensitatea radiației care poate fi măsurată cu ajutorul unei celule fotoelectrice.

Spectroscopia de absorbție atomică este una din metodele fizico-chimice de analiză introduse relativ recent în cercetarea geologică, dar de mare eficiență caracterizată prin numărul relativ mare de elemente ce pot fi dozate, prin precizia rezultatelor și prin rapiditatea și costul redus al dozărilor. Principiul metodei constă în înregistrarea absorbției unei radiații de lungime de undă specifică de către atomii substanței pulverizată într-o flacără. Aparatura ; spectrofotometrul de absorbție atomică, este constituit în mod principal dintr-o sursă de radiație care este un tub catodic cu catodul din elementul de analizat și care pus sub tensiune emite radiația specifică, un arzător cu flacără în care se pulverizează substanță de analiză și al cărui rol este de a aduce elementul de dozat în stare atomică, un monocromotor pentru selecția radiației specifice și o fotocelulă pentru măsurarea absorbției radiației specifice. Concentrația elementului în soluție este proporțională cu intensitatea absorbției.

5.3. METODE FIZICE DE ANALIZĂ

Dintre metodele fizice de analiză, (tabelul 43, anexa 3) care nu necesită o preparare prealabilă a probelor pe cale chimică, amintim analiza spectrală de emisie și analiza cu microsonda electronică.

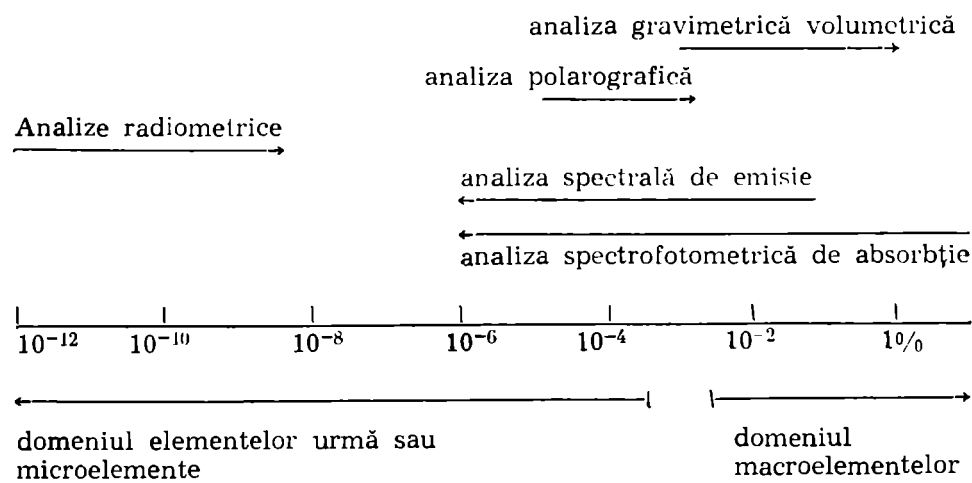
În analiza spectrală de emisie proba de analizat este introdusă după o mojarare prealabilă într-un arc voltaic iar spectrul produs este înregistrat pe o placă fotografică. Elementelor chimice le sunt specifice spectrele caracteristice iar măsurarea intensității liniilor de înegrire și comparația lor cu etaloane se permite dozarea elementelor.

Analiza cu microsonda electronică permite în plus și rezolvarea problemelor legate de poziția pe care o ocupă unele elemente în structurile mineralelor. Principiul metodei este : proba de analizat este bombardată cu electroni de energie înaltă, concentrați într-un fascicol cu diametrul pînă la 1μ . Sub acțiunea acestui proces elementele emit radiații X cu lungimi de undă specifice. Analiza spectrului de radiații X permite identificarea elementelor iar măsurarea intensității diferențierelor radiații conduce la dozarea elementului.

Alte metode fizice de analiză, sunt analiza fluorimetrică cind ionii sunt excitați sub acțiunea unui flux ultraviolet ; spectrometria de fluorescență X cind excitarea se realizează prin raze X convenabil alese și metodele radiometrice care sunt aplicate frecvent în prezent dintre acestea cele mai folosite fiind analiza prin activarea neutronilor și analiza prin diluție izotopică.

Analizele enumerate sunt folosite în mod diferențiat, fiecare metodă avînd domenii de aplicare specifice în funcție de gradul de concentrație al elementului în probele (mediile) studiate.

Dăm în continuare schema de aplicare a principalelor metode de analiză în funcție de concentrația elementelor.



În funcție de concentrația unui element într-un mineral distingem elemente majore (principale) care arată o concentrație mai mare de 1%, elemente minore cu o concentrație cuprinsă între 0,1–1%, și elemente urmă cu o concentrație mai mică de 0,1% (1000 p.p.m.).

6. STABILIREA FORMULELOR CHIMICO-STRUCTURALE LA MINERALE

6.1. NOTIUNI INTRODUCTIVE

La trecerea de la analize chimice spre formulele chimico-structurale trebuie să ținem seama de acele aspecte cristalochimice arătate anterior, respectiv de pozițiile structurale a cationilor și tipul de anion (complex) caracteristic mineralului. Se stabilesc în aceste situații elementele chimice care se înlocuiesc și în ce proporții față de formula definită (corectă) a mineralului și deci aşezarea lor în structura reticulară specifică seriei de minerale.

În determinarea formulei structurale a unui mineral trebuie să ținem seama de comportarea tuturor elementelor chimice în structurile cristaline. Ele ocupă spații cu anumite numere de coordonare. Elementele principale pot indica următoarele tipuri de numere de coordonare (după V. Bragg, tabelul nr. 33).

Tabel Nr. 33

Element	Nr. de coordonare	Element	Nr. de coordonare
Mn ²⁺ , Mg ²⁺ Fe ²⁺	4, 6, 8	Be ²⁺ , Zn ²⁺	4
Ca ²⁺	6, 7, 8	B ³⁺	3, 4
Al ³⁺	4, 5, 6	Na ⁺	6, 8
Fe ³⁺	4, 6	Zr ⁴⁺	8
Sc ³⁺	6	Ba ²⁺	6, 12.

Pornind de la formulele idealizate ale fiecărei clase sau subclase de minerale amintite anterior putem stabili modalitățile de trecere de la chimism la formula chimico-structurală a mineralului. În cele ce urmează atenția va fi direcțională cu precădere către mineralele silicatace ele reprezentind constituenții scoarței cei mai importanți.

Formulele structurale pentru fiecare clasă de minerale silicatace se stabilesc folosindu-se următoarele simboluri pentru pozițiile caracte-

ristice cationilor din structura mineralelor :

W = pentru cationii cu raze ionice mari care intră în structuri cu număr de coordonare mare de regulă mai mare de 6 ; exemple : Ca²⁺, Na⁺, K⁺.

X = pentru cationii bivalenti cu raze ionice medii care intră în rețele cristaline cu număr de coordonare 6 ; exemple : Mg^{2+} , Fe^{2+} .

Y = pentru cationii trivalenti și tetravalenti cu raze ionice medii și care se găsesc în rețele cu număr de coordonare 6 ; exemple : Al^{3+} , Fe^{3+} , Ti^{4+} .

Z = pentru cationii cu raze ionice mici prezente în rețele cu număr de coordonare 4 ; exemple : Si^{4+} , (Al^{3+}) , B^{3+} .

Radicalii anionici sunt cei indicați la clasele și subclasele din diviziunea silicatiilor, desigur cu observația că deseori la unii din acești radicali anionici, se produce înălțuirea cationului fundamental Si^{4+} care dă structura cadru a mineralului prin Al^{3+} , care introduce unele modificări în constituția chimică de bază fapt îndeosebi legat de schimbările electrostatice aduse structurii mineralului. Pentru menținerea echilibrului electrostatic se efectuează substituții izomorfe care explică și variaabilitatea constituției chimice a mineralelor.

Așa cum s-a mai arătat această variabilitate în constituția chimică fundamentală a mineralelor se întâlnește atât la compușii definiți simpli și dubli pentru aceste considerente în stabilirea formulelor chimico-structurale vom discuta metodele folosite atât pentru combinațiile minerale cu o constituție chimică mai simplă cît și pentru cele cu o constituție mai complexă.

6.2. PRINCIPII DE CALCUL

Analizele chimice aparținând unor combinații chimice minerale se exprimă sub formă de procente în elemente sau în procente de oxizi. Pentru stabilirea formulelor chimico-structurale deosebim metode de calcul aplicate la compuși chimici definiți simplii și dublii și metode de calcul pentru compușii chimici cu compoziție chimică complexă (silicati).

În primul caz din datele oferite de analizele chimice, fizico-chimice, cantitative asupra unui mineral se iau în considerație numai compoziții principali lăsindu-se la o parte impuritățile eventuale. Pentru stabilirea formulei chimico-structurale a unei combinații simple, a cărei analiză este prezentată sub formă de procente în elemente se procedează în felul următor :

a. Procentele în greutate ale diferitelor elemente din analiză sunt divizate prin greutatea atomică respectivă obținându-se astfel raportul stoichiometric în care intră în combinație elementele :

b. Acest raport obținut mai întii sub formă de numere fracționale, se transformă în numere întregi prin multiplicare cu un factor convenabil. Se obține astfel raportul între elemente în cadrul formulei empirice.

c. În situația unei analize prezentată sub formă de oxizi componente ai mineralului se calculează ponderea moleculară astfel : se divide valoarea procentuală a oxizilor din analiză, la greutatea moleculară a oxidului după care se procedează ca la punctul b. (vezi anexa nr. 1 punctul A).

În cel de al doilea caz, metoda folosită îndeosebi la mineralele silicata, apare mult mai laborioasă.

Să considerăm analiza chimică complexă a unui silicat prezentată în % oxizi. Transformarea constituției chimice în formulă chimico-strucțurală (formula teoretică) se realizează calculind următoarele valori pentru fiecare tip de oxid.

a) Coloana *proporțiilor moleculare* obținută prin determinarea raportului dintre greutatea procentuală a oxidului și greutatea moleculară a acestuia.

b) Coloana „*numărul atomic*“, obținută prin produsul dintre proporția moleculară a oxidului și numărul de cationi din oxidul respectiv.

c) Coloana „*numărul atomic de oxigen*“ se obține prin produsul dintre proporția moleculară a oxidului cu număr de oxigen din fiecare oxid.

d) Coloana „*numărul atomic în baza X de oxigen*“ (X = numărul total de oxigen din anionul caracteristic rețelei fundamentale din care face parte mineralul). Se obține această coloană ; mai întâi prin determinarea unui factor care să reducă formula la o rețea celulară unică și corespunzătoare grupurilor tetraedrice de SiO_4 caracteristice clasei. Metoda de obținere a acestui factor constă în totalizarea cifrelor aparținând coloanei „*numărul atomic de oxigen*“, după care se face raportul dintre numărul total de oxigen din celula elementară a mineralului specific anionului și suma obținută prin totalizarea valorilor din coloana „*numărul atomic de oxigen*“. Cu acest factor multiplicăm valorile pentru fiecare oxid din coloana „*numărul atomic*“; aceste date sunt trecute în ultima coloană „*număr atomic în baza X atomi de oxigen*“.

Pentru verificarea electronegativității formulelor se procedează astfel:

- se trece elementul chimic cu sarcina sa electrică
- se calculează produsul dintre valoarea sarcinii electrice a elementului și numărul atomic raportat la X atomi de oxigen specifici anionului.

Totalizind valorile obținute prin produsul sarcinii și număr în baza X atomi de oxigen pentru elemente pozitive pe de o parte și pentru elementele negative pe de altă parte, sumele obținute pentru fiecare grup de elemente trebuie să fie practic egale între ele.

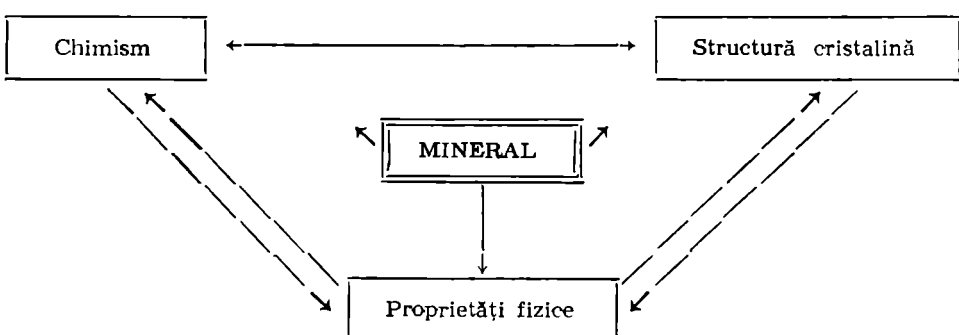
Pentru o mai bună înțelegere vom da o serie de exemple pe diverse minerale din diferite familii anexa nr. 1 punctul B (tabele nr. 34, 35, 36, 37).

În vederea cunoașterii baza X atomi de oxigen care să reducă formula la o rețea celulară elementară dăm anexa nr. 2 (tabelul nr. 38).

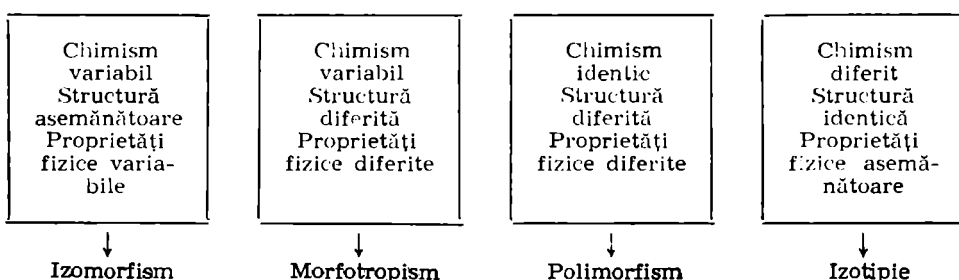
III. RELAȚIA CHIMISM-STRUCTURĂ-PROPRIETĂȚI FIZICE

Un mineral poate fi definit : prin natura sa chimică (compoziția chimică elementară), prin structura internă (modul de aranjare al particulelor, ioni—atomii—molecule) și prin proprietățile fizice (dintre care în mod tradițional sunt accentuate, caracterele morfologice, optice precum și cele legate de puterea de coeziune).

Acste legături pot fi schițate după schema :



Luând în considerare aceste trei elemente care caracterizează fiecare mineral în parte, putem arăta că între mai multe substanțe minerale pot apărea următoarele relații :



Dacă ne referim la primele trei situații observăm că între prima poziție care intră în noțiunea de izomorfism și cea de a treia care intră în noțiunea de polimorfism există o poziție intermedieră înglobată în sferă

noțiunii de morfotropism. Aceste trei situații reprezintă situațiile cele mai caracteristice pentru mineralogie, iar morfotropismul va fi caracterizat ca o situație de graniță, în care schimbarea structurii este determinată de o variație puternică a chimismului, variație care depășește limitele de toleranță pentru stabilitatea tipului de coordonare care permite anumite posibilități de substituire a elementelor în rețelele cristaline proprii mineralelor. Se poate chiar menționa că exemplele clasice de morfotropism privesc situațiile aflate la limita unde sfîrșește o serie izomorfă și începe o altă serie izomorfă.

Cazul descris poate constitui, în plan filozofic, o ilustrare elocventă a principiului conform căruia acumularea cantitativă determină o transformare calitativă, calitatea nouă fiind reprezentată, aici, de apariția unei noi faze minerale.

1. IZOMORFISMUL

1.1. DEFINIREA CONCEPTULUI DE IZOMORFISM

Noțiunea de izomorfism* a fost introdusă de E. Mitscherlich în 1818 pentru a desemna substanțe chimice diferite care pot da forme cristalografice apropriate sau identice (termenul derivă de la cuvintele grecești *izos* — aceeași și *morphe* — formă). Acest aspect a fost remarcat la substanțele fosfatul acid de potasiu (KH_2PO_4) și la arseniatul acid de potasiu KH_2AsO_4 cristalizate în sistemul tetragonal și foarte asemănătoare din punct de vedere al formei lor exterioare, de unde concluzia că substanțele chimice cu un grad ridicat de asemănare în formula chimică, dar cu o compoziție chimică diferită, pot arăta deseori asemănări din punct de vedere cristalografic. Prin asemănarea formelor cristalografice se are în vedere asemănarea dintre relațiile axiale, a unghiurilor dintre fețe, a elementelor de simetrie fundamentale, a habitusului, existența a acelorași tipuri de macle, iar uneori asemănări privind proprietățile fizice macroscopice și microscopice.

La puțin timp după această observație s-a descoperit că unele substanțe chimice cu caracteristici cristalografice apropriate sunt capabile să formeze cristale mixte prin cristalizare simultană. S-a putut ajunge astfel la un concept nou, conceptul de izomorfism indicând proprietatea de substituție reciprocă a elementelor constitutive între două substanțe cristaline capabile să formeze soluții solide. Rezultă deci că două substanțe

* Pentru a se păstra adevărul priorității trebuie amintit că, cu trei ani înainte, în 1815, Nepomuk Fuchs, observase modificarea chimismului mineralelor din grupul melilitelor (gehlenit-ackermanit) — un grup cunoscut azi ca serie tipic izomorfă. El explicase caracterele observate prin substituirea reciprocă a unor elemente bivalente, explicație rămasă fără ecou în știința epocii.

pot fi considerate izomorfe atunci cind indeplinesc in primul rind următoarele conditii :

a) au caracteristici cristografice de același tip, deci prezintă homeomorfism (identitate intre unghiuurile fetelor, valori apropiate ale constanțelor cristalografice) ;

b) sint capabile sa cristalizeze simultan in proportii limitate sau in proportii continue variabile, in același edificiu cristalin deci fenomenul de sincristalizare ;

c) prezintă compozitii chimice asemănătoare.

După definirea noțiunii de izomorfism s-a putut preciza existența a două aspecte distințte : izomorfismul în „sens strict“ — care se referă la substanțele capabile să sincristalizeze, să formeze cristale unice, in aparență perfect omogene și in orice proporții ; și izomorfismul în „sens larg“ unde pe lîngă capacitatea de a sincristaliza există tendința de limitare a procesului de substituție între compoziții chimice specifice substanțelor. In aceste cazuri din două substanțe puse in condiții de sincristalizare substanța A poate să încorporeze maximum 5% din cea de a doua substanță B. Deci in timpul procesului de cristalizare cele două substanțe pot conduce la apariția și de faze independente, de exemplu: $Zr[SiO_4]$ și $Y[PO_4]$ (zircon — xenotit).

Mai tîrziu Fersman a arătat că fenomenul de substituție a elementelor chimice in rețelele cristaline este realizat cind tipurile de rețele sunt identice pentru cele două minerale și razele ionice ale elementelor care se substituie sunt aproape sau chiar similare.

Goldschmidt cercetind fenomenele de substituție mutuală a ionilor într-o rețea, fenomen cunoscut sub numele de diadochie a făcut precizarea că acest fenomen de substituție este independent de pozițiile elementelor in tabelul lui Mendeleev și că elementul care este adus in rețea va fi acela care aduce rețelei energia cea mai mare.

Legile diadochiei ce decurg din aceste precizări vor fi impuse de necesitățile volumetrice pentru păstrarea edificiului cristalin al rețelei și de efectele care decurg din aplicarea atracției coulombiene între ionii rețelei. Aceste legi pot fi enunțate după cum urmează :

a) Diadochia intre doi ioni este posibilă cind diferența dintre dimensiunile razelor lor, nu depășesc 15% din raza ionului cel mai mic.

b) Intre doi ioni cu aceeași sarcină dar cu raze ionice diferite, va fi preferat in rețea, ionul cu raza cea mai mică.

c) În cazul ionilor cu aceeași rază dar cu sarcini diferite de preferat in rețea va fi ionul cu sarcina cea mai mare.

S-a observat totuși, că există numeroase abateri de la aceste legi deduse de Goldschmidt, de pildă Cd^{2+} are raza identică cu a Na^{1+} , egală cu $0,97\text{\AA}$. Ar rezulta de aici conform legii lui Goldschmidt ca ionul pre-

ferat de rețele să fie Cd^{2+} , care are sarcina mai mare pentru aceeași dimensiune a razei, totuși în natură nu se întâlnesc minerale unde cele două elemente să se substituie între ele. Se explică această comportare prin caracterul geochemical al elementelor. Tot din clasificarea geochemicală a lui Goldschmidt, Cd^{2+} este un element calcofil în timp ce Na^{1+} este litofil. Rezultă din caracterul geochemical că aceste elemente intră în rețele cristaline diferite, caracterizate prin anumite tipuri de legături între particulele rețelei (rețele cu legături covalente pentru Cd^{2+} și rețele cu legături ionice pentru Na^{1+}).

Cercetarea substituirilor în diferite tipuri de rețele pentru aceleași perechi de elemente, pune în evidență grade de înlocuire reciprocă diferențiate în diferitele tipuri structurale de rețele, unele elemente prezentând preferințe pentru anumite tipuri de coordonări. Numărul de coordonare este o funcție de rază ionică, și deci elementele care cer aceeași coordonare determină serii de elemente ce se pot substitui reciproc în rețelele tipic ionice. Folosind simbolul $Z =$ pentru coordonare egală cu 4, simbolul $Y =$ pentru coordonarea egală cu 6, simbolul $X =$ pentru coordonarea 6—8 și $W =$ pentru coordonarea 8—12, obținem serii de elemente care se pot substitui între ele (tabelul nr. 39). Elementele ce apar în aceste serii se substituie reciproc numai în anumite cazuri (condiții termodinamice specifice, anumite tipuri de rețele cu anumite forme de coordonare și tipuri de legături) cind se comportă ca perechi de elemente.

Considerarea ionilor ca niște sfere oarecare ce se pot substitui reciproc în rețelele mineralelor numai prin faptul că au raze asemănătoare neglijeză unele particularități impuse de :

- caracteristicile cîmpului electrostatic al rețelei în care este plasat ionul.

- modificările învelișurilor electronice ale ionului respectiv introdus în cîmp electrostatic (polarizarea).

Tabel Nr. 39

Serii de elemente caracteristice pentru anumite tipuri de coordonări *

Simbolul	Coordo-narea	Raza medie	Ionii
Z	4	0,40 Å	Si^{4+} , (Al^{3+}) , (Ti^{4+}) , Ge^{4+} , (B^{3+}) , (Be^{2+}) ; Mg^{2+} , Fe^{2+} , Fe^{3+} , (Al^{3+}) , Li^{1+} , Ti^{4+} , (Mn^{2+}) , Ni^{2+} , Co^{2+} , Cr^{3+} , V^{3+} , Zn^{2+} , Zr^{4+} , Sc^{3+} , Sn^{4+} , Ga^{3+} , Mo^{6+} , W^{6+} , Cu^{2+} , Nb^{5+} , Ta^{5+} , In^{3+} , Hg^{2+} , (Y^{3+}) ;
Y	6	0,70 Å	Ca^{2+} , Na^{1+} , (Mn^{2+}) , (K^{1+}) , (Sr^{2+}) , (Pb^{2+}) , La^{3+} , Y^{3+} , Ce^{3+} , Lu^{3+} , U^{4+} , Th^{4+} ;
X	8	1,00 Å	
W	8—12	1,40 Å	K^{1+} , (Na^{1+}) , Rb^{1+} , Ba^{2+} , Sr^{2+} , Pb^{2+} , Tl^{1+} ;

* Elementele din paranteze pot apărea și în alte tipuri de coordonări.

1.2. CONDIȚIILE NECESARE PENTRU REALIZAREA IZOMORFISMULUI

1.2.1. Condiții privind elementele care se substituie reciproc

Dacă luăm în considerare o sugestivă imagine a lui Paul Groth, care a comparat substituțiile izomorfe în rețele cristaline cu înlocuirea cărmizilor igrașioase ale unei construcții vechi prin altele noi, cu aceleași dimensiuni, fără modificarea ansamblului arhitectonic, rezultă că este mai interesant să conducem discuția asupra izomorfismului pornind de la particularitățile particulelor constitutive către caracterele fazelor mineralogice decit în sens invers.

Este locul aici să definim termenul de „diadochie“, introdus inițial de Paul Niggli și reluat de Strunz (1937).

„Doi atomi sau ioni sunt numiți elemente diadochy, atunci cînd sunt capabili să se înlocuiască total unul pe altul în structura mineralului în poziții identice“. Exemplu clasic de elemente diadochy sunt Mg^{2+} și Fe^{2+} , în seria izomorfă forsterit ($Mg_2[SiO_4]$) și fayalit ($Fe_2[SiO_4]$).

Pentru ca două elemente să se substituie reciproc în aceeași rețea cristalină, trebuie să îndeplinească următoarele condiții :

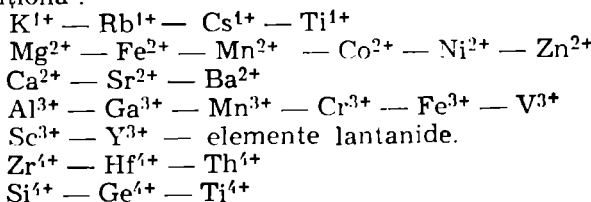
a) menținerea neutralității rețelei. Această condiție este realizată în două moduri distințe :

— ionii care se substituie au sarcini electrice egale (aceeași valență) și dimensiuni pentru razele lor similare. În acest caz înlocuirile între elemente se fac în mod continuu în orice proporții. Elementele acestea ocupă poziții vecine în sistemul periodic Mendeleev (uneori aceeași grupă).

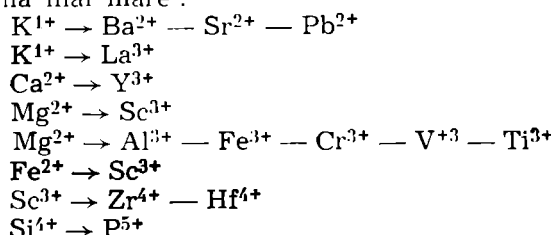
— ionii care se substituie au sarcini electrice diferite, fapt care cere pentru respectarea electronegativității rețelei apariția unei substituții suplimentare, a unei alte perechi de ioni astfel încît se realizează echilibrarea totalului de sarcini la nivelul întregului edificiu cristalin.

În primul caz vorbim de un izomorfism izovalent în cel de al doilea caz de un izomorfism heterovalent.

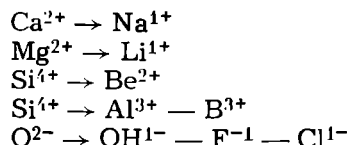
Ca exemple de elemente caracteristice substituirilor izovalente se pot menționa :



Ca exemple de elemente caracteristice substituirilor heterovalente pot fi citate pentru substituiri între elemente cu sarcină mai mică prin elemente cu sarcină mai mare :



și pentru substituiri ale unor elemente cu sarcină mai mare printr-un element cu sarcină mai mică.



b. *Dimensiuni asemănătoare ale razelor ionice pentru elementele care se substituie.* Pentru a se realiza înlocuirea unor elemente prin alte elemente în aceeași rețea este necesar ca diferența dimensiunilor razelor acestora să nu depășească 15% din raza ionului celui mai mic. Goldschmidt arată că dimensiunile razelor ionice în sistemul periodic variază după următoarele reguli :

-- în fiecare perioadă dimensiunile particulelor scad odată cu creșterea valenței (și a numărului de ordine).

Număr de ordine	19	20	21	22
Raza în A°	K^{1+}	Ca^{2+}	Sc^{3+}	Ti^{4+}
Element	1,43	1,06	0,83	0,64

— în fiecare grupă, raza particulelor crește o dată cu numărul de ordine, deși valența se păstrează :

Număr de ordine	3	11	19	37
Raza în A°	Li^{1+}	Na^{1+}	K^{1+}	Rb^{1+}
Raza A^{ρ}	0,78	0,97	1,43	1,49

Fac excepție elementele numite pământuri rare (TR) la care raza ionică scade cu creșterea numărului atomic, apărând astfel o „contractie a lantanidelor“. Variatiile menționate pentru razele ionice sunt variabile și pentru razele atomice, cu aceleași excepții. Modul de variație a dimensiunilor particulelor în perioade și în grupe sugerează deja o periodicitate a acestei proprietăți. Bazat pe această observație, Fersman a dedus legea seriilor diagonale conform căruia dimensiunile similare ale razelor ionilor apar în sistemul periodic al elementelor, în poziție diagonală.

c) *Valoarea apropiată a potențialului de ionizare.* După Goldschmidt, potențialul de ionizare are o influență considerabilă asupra elementelor diadochi, care au greutate atomică apropiată, raze ionice similare și aceleși sarcini electrice. S-a constatat că elementele chimice care ocupă pozitii identice în structura mineralelor au totdeauna potențiale de ionizare cu valori apropiate. Astfel Si^{4+} cu potențialul 44,89 poate fi substituit prin Ge^{4+} care are potențialul 45,50. De asemenea se înlocuiesc ușor $\text{K}^{1+} = 4,33$ cu $\text{Rb}^{1+} = 4,17$; $\text{Mg}^{2+} = 14,96$ cu $\text{Fe}^{2+} = 16,16$ și $\text{Al}^{3+} = 28,31$ cu $\text{Ga}^{3+} = 30,60$. Se remarcă că elementele cu potențialul de ionizare cel mai scăzut sunt elemente preferate în rețelele cristaline.

d) *Respectarea tipului de coordonare.* Numărul de coordonare, prezintă de asemenea o mare influență în substituirile elementelor diadochi. Sugestivă este analiza comparativă a comportării în funcție de pozițiile ocu-

pate a elementelor Al^{3+} și Fe^{3+} , care în unele situații, se pot substitui reciproc iar în altele, nu.

Studiul structurilor cristaline cu ajutorul difracției razelor X a evidențiat prezența în cadrul silicătilor atât a unor compuși de tipul alumosilicătilor, cât și a unor silicăți de aluminiu. În primul caz aluminiul apare ca un component al radicalului anionic ocupând pozițiile caracteristice Si^{4+} , în coordonare 4, iar cel de al doilea caz în afara radicalului, înconjurat de 6 ioni, deci în coordonare octaedrică ocupând de regulă poziții similare cu cele în care se plasează în mod obișnuit Mg^{2+} . Există specii minerale în care aluminiul se află în ambele poziții menționate în cadrul aceleiași structuri. Înlocuirea Al^{3+} cu Fe^{3+} este posibilă numai în situațiile în care Al^{3+} este în structura mineralului în coordonare octaedrică cum este cazul la mineralele din grupa granațiilor sau a mineralelor din seria spinelilor. Fe^{3+} , nu poate înlocui aproape nici odată Al^{3+} prezentat în structură, în coordonări egale cu 4 sau 5, cum este cazul pozițiilor în cadrul mineralelor din grupa distenului, andaluzitului și sillimanitului. În mineralele din grupele piroxenilor, amfibolilor sau micelor unde Al^{3+} poate apărea atât în coordonare tetraedrică cât și în coordonare octaedrică, Fe^{3+} nu va putea substitui decât ionii de Al^{3+} care sunt în coordonare octaedrică.

Alți factori care sunt luați în considerare pentru izomorfism

e) *Electronegativitatea* care reprezintă o măsură a tendinței elementelor de a capta electroni; elementul cu electronegativitatea cea mai mică fiind în acest caz elementul preferat în rețelele de tip ionic.

f) *Funcția de cimp electric* care este exprimată prin raportul dintre potențialul de ionizare (I) și raza ionică (r): $F = I/r$. Elementele cu F mai mare vor fi cele preferate în rețelele ionice.

g) *Energia în rețea a elementului* (E_K) determină concentrația elementului înglobat prin substituiri în rețeaua reticulară a mineralului. Dacă la formarea unui mineral concurează mai multe elemente pentru a substitui în rețea elementul principal (de bază), elementul preferat este cel cu E_K -ul cel mai mare deci cel care prin înglobarea sa în compoziția mineralului, determină pentru aceasta energia cea mai mare.

1.2.2. Factorii de mediu care acționează în izomorfism

Dintre factorii de mediu care influențează substituțiile izomorfe menționăm: concentrația, temperatura, presiunea existentă în sistemul din care se formează mineralul.

a) *Concentrația*. În cazurile în care asistăm la o creștere a conținutului elementului înlocuitor trebuie să se producă o creștere a concentrației elementului înlocuit. De aici principiul unor termometre geochimice, de exemplu termometrul lui Barth, care au la bază concentrația unui element într-o fază minerală.

b) *Temperatura*. Este un alt factor cu profunde implicații în fenomenul de izomorfism. S-a constatat că sanidina — $K[AlSi_3O_8]$ teoretic feldspat de potasiu, are un conținut ridicat în sodiu în timp ce microclinul teoretic tot feldspat de potasiu $K[AlSi_3O_8]$ sau adularul — $K[AlSi_3O_8]$ conțin cantități neglijabile în acest element (Na). În condițiile naturale primul se formează la temperaturi ridicate în timp ce celelalte două se formează la temperaturi scăzute. Variațiile de temperatură la care sunt supuși feldspații de potasiu cristalizați la temperaturi înalte prin răcire conduc la apariția fenomenului de dezamestec (exsoluție) cu formarea lamelelor de feldspat de sodiu în masa feldspatului de potasiu — respectiv la obținerea pertitelor. Fenomenul de dezamestec invers este cunoscut sub numele de antiperit.

c) *Presiunea*. Rolul presiunii în fenomenele de izomorfism este mai puțin studiat și nu se poate aprecia cu precizie mecanismul de acțiune în procesele de substituire. Cunoscind din termodinamică că activitatea presiunii de regulă se manifestă invers acțiunii temperaturii, în problemele de cristalogeneză, trebuie să ne așteptăm la efecte contrare în cazul creșterii presiunii comparativ cu efectele produse la creșterea temperaturii. Un exemplu îl oferă mineralele din grupa silicei, cuarț, tridimit, cristobalit, modificări stabile la temperaturi și presiuni diferite, fapt care determină rețelele cristaline cu structuri din ce în ce mai afinată și din ce în ce mai puțin stabile la presiuni mari. Se constată că în rețelele stabile la presiuni mici structurile pot îngloba elemente străine rețelei mai numeroase și în cantități mai ridicate.

1.2.3. Condiții impuse de caracteristicile rețelei cristaline

În procesul de izomorfism se pot substitui între ele atât elemente cu largă răspindire în scoarță ($Mg^{2+} \geq Fe^{2+}$) și care în general pot forma minerale proprii independente pentru fiecare element cît și substituiri între elemente cu largă răspindire prin elemente cu o răspindire redusă în scoarță fără ca acestea din urmă totdeauna să formeze minerale independente specifice elementului cu conținuturi reduse. De regulă elemente cu frecvență scăzută se concentreză continuu în procesele de cristalizare în mediile fluide sau lichide reziduale, sau sunt distribuite proporțional cu gradul de concentrație în structurile minerale care se formează. S-a constatat că antrenarea acestor elemente se face selectiv, în funcție de structura atomică a elementului, de afinitatea geochemicală a acestuia față de elementul principal, de natura rețelelor cristaline care se formează etc. În funcție de modul în care se face această selecție în structurile cristaline ale mineralelor deosebim trei tipuri de substituiri (după Goldschmidt).

— *camuflaj*: un element cu răspindire redusă înlocuiește un element principal care prezintă valență identică : este cazul substituirii Al^{3+} prin Ga^{3+} sau Si^{4+} cu Ge^{4+} .

— *captare* : un element cu răspindire redusă înlocuiește un element principal care prezintă o valență mai mică decât a sa : este cazul substi-

turii Ca^{2+} prin Sc^{3+} , Y^{3+} . În aceste situații elementul urmă se încorporează cu o tărzie mai mare în rețeaua cristalină comparativ cu cea a elementului major substituit. Cauza acestui fenomen denumit și „izomorfism dirijat“ sau „polar“ este legată de necesitatea de creștere a energiei rețelei cristaline a mineralului deci a gradului de stabilitate.

— admitere: un element cu răspindire redusă înllocuiește un element principal care prezintă o valență mai mare decât a sa: este cazul substituirii Mg^{2+} prin Li^{1+} . În aceste situații elementul urmă introduce o tărzie de legătură inferioară la înglobarea sa în rețeaua cristalină, energia rețelei cristaline a mineralului scade și simultan se reduce și gradul de stabilitate al mineralului, el opunând o rezistență scăzută proceselor de transformare care se produc în scoarță.

Substituirile elementelor urmă în rețelele cristaline ca aspect al fenomenului de izomorfism produs în cristale ideale, adică cristale la care ionii ocupă poziții fixe, bine determinate. Ionii ce se substituie sunt repartizați în rețea după o dispoziție geometrică regulată.

Cristalele în care dispoziția ionilor este regulată cristalele respective sunt considerate „cristale ideale“. Spre deosebire de cristalele ideale aşa cum s-a mai arătat în natură sunt prezente și aşa-numitele „cristale reale“, definite prin prezența unor anomalii sau defecte determinate de fragmentarea rețelei, lipsa unor ioni din anumite noduri, prezența unor ioni suplimentari în ochiurile rețelei etc.

În natură practic nu sunt întâlnite cristale ideale ci de regulă cristale reale cu un grad mai mult sau mai puțin avansat de ordonare a rețelei. La temperaturi superioare vibrațiile particulelor componente determină abateri de la pozițiile fixe considerate noduri ale rețelelor. Temperaturile mai mari, apropiate temperaturilor de topire, permit salturi ale particulelor din noduri, cu crearea de locuri vacante în aceste poziții și plasarea lor în ochiurile rețelei; aceste locuri pot fi ocupate prin alte elemente străine de regulă din cele cu frecvență redusă în scoarță. Reținerea acestor elemente se realizează prin fenomene de suprafață ca -- absorbția, ele apărind pe plante de discontinuități, interfețe, goluri, etc.

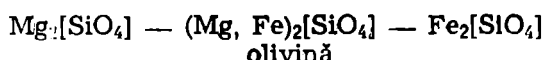
Astăzi izomorfismul și defectele structurale sunt fenomene cu ajutorul cărora se pot explica prezența unor elemente străine în rețelele mineralelor cu chimism variabil. În cercetările moderne aceste fenomene sunt considerate ca fenomene care se completează reciproc.

1.3. EXEMPLE DE IZOMORFISM

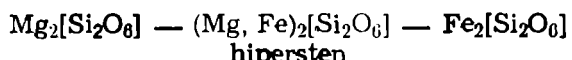
Exemple la care se produce fenomenul de izomorfism

Serii de minerale cu substituiri izovalente

— forsterit — sayalit



— enstatit — ferosilit



— diopsid — hedenbergit

Ca Mg[Si₂O₆] — Ca(Mg, Fe)[Si₂O₆] ≠ Ca(Fe, Mg[Si₂O₆] — Ca Fe[Si₂O₆]
salit ferosalit

— kupferit — grünerit

Mg₇[Si₄O₁₁]₂ · (OH)₂ (ipotetic) — (Mg, Fe)₇[Si₄O₁₁]₂(OH)₂ — Fe₇[Si₄O₁₁]₂(OH)₂
cummingtonit

— tremolit — feroactinot

Ca₂Mg₅[Si₄O₁₁]₂(OH)₂ — Ca(Mg, Fe)₅[Si₄O₁₁]₂(OH)₂ — Ca₂Fe₅[Si₄O₁₁]₂(OH)₂
actinot

— edenit — feroedenit

NaCa₂Mg₅[Si₇Al]₂O₂₂](OH, F) — NaCa₂(Mg, Fe)₅[(Si₇Al)O₂₂](OH, F) —
— Na Ca₂F₅²⁺[(AlSi₇)O₂₂](OH, F)

Serii de minerale cu substituiri heterovalente

NaFe³⁺[Si₂O₆] (Ca, Fe²⁺, Mg, Fe³⁺, Al Ti)₂[(Si, Al)₂O₈]
egirin augit

Na⁺ Fe³⁺ ≠ Ca²⁺ + (Mg²⁺ ≠ Fe²⁺)
egirin — augit

(Mg, Fe²⁺)₇[Si₈O₂₂](OH, F)₂ (Mg, Fe²⁺)₅₋₆Al₂₋₁[Si₆(Al, Si)₂O₂₂] (OH, F)₂
antofilit gedrit

(Mg²⁺ ≠ Fe²⁺) + Si⁴⁺ ≠ 2Al³⁺

Na[AlSi₃O₈] — Ca[Si₂Al₂O₈]
albit anortit

Na⁺ + Si⁴⁺ ≠ Ca²⁺ + Al³⁺

Na₂Ca[Si₄Al₄O₁₆] plagioclaz

K[AlSi₃O₈] — Ba[Si₂Al₂O₈]
ortoză celsian

K⁺ + Si⁴⁺ ≠ Ba²⁺ + Al³⁺

BaK[Al₄Si₄O₁₆] — hyalofan

Exemplul clasic da izomorfism heterovalent îl reprezintă totuși seria feldspațiilor plagioclazi, în care cei doi termeni extremi albit și anortit, formează o serie izomorfă continuă prin înlocuirea cationilor Na⁺ și Ca²⁺ pe de o parte și Si⁴⁺ și Al³⁺ pe de altă parte. În primul caz cationii care se substituie apar în coordonare 8, iar în cazul al doilea coordonarea este 4.

Tot la substituirile heterovalente sunt luate în discuție și înlocuirile dintre grupuri complexe cu sarcini diferite.

[SiO₄]⁴⁻ ≠ [AlO₄]⁵⁻; [PO₄]³⁻ ≠ [SO₄]²⁻; [SiO₄]⁴⁻ ≠ [PO₄]³⁻;

2. POLIMORFISMUL

2.1. NOTIUNI FUNDAMENTALE

Prin polimorfism se înțelege posibilitatea existenței unui compus mineral (sau element) în structuri reticulare diferite, caracterizate prin proprietăți fizice distincte. Polimorfismul este o expresie a faptului că structura cristalelor nu este determinată în mod exclusiv de constituente chimice ci de modul de aranjare în rețea a ionilor (atomilor). Acest fapt poate fi bine observat la carbon. În modificarea carbonului — cunoscută sub numele de diamant (fig. nr. 78 a, b) — fiecare atom de carbon este legat de alți patru atomi de carbon prin legături homeopolare în coordonare tetraedrică. Este o rețea afinată în care atomii de C ocupă doar 34% din spațiul disponibil, față de 74%, în rețelele compacte de sfere egale. Distanța între doi atomi de carbon în rețea diamantului este $1,54 \text{ \AA}$, distanță normală între atomii C—C hibridați, sp^3 , și uniți prin o legătură σ . Cristalul putind fi considerat în ansamblu ca o moleculă uriașă. Duritatea ridicată a diamantului este datorită naturii covalente a legăturilor între atomii cristalului și energiei de legătură mare dintre ei. Cea de a doua modificare — grafitul, arată în structura sa cristalină planuri paralele de atomi de carbon, unde atomii ocupă colțurile

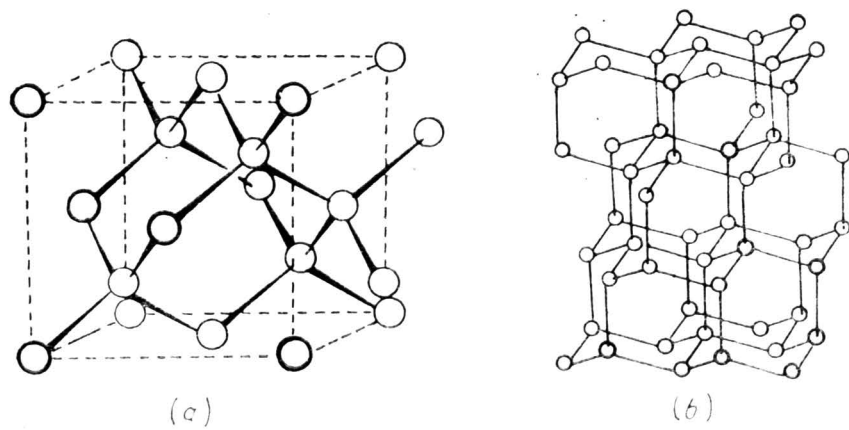


Fig. 78. Rețeaua diamantului : a) direct ; b) lateral.

unor hexagoane (fig. 79) regulate cu latura de $1,415 \text{ \AA}$. Fiecare atom are trei atomi vecini, iar legăturile dintre atomi formează unghiuri de 120° . Asemenea aranjare plană, indică o hibridizare, sp^2 , a carbonului. Această structură explică buna conductibilitate a electricității paralel cu planurile de atomi. Structura grafitului mai explică culoarea închisă, buna conductibilitate termică, clivajul perfect orientat paralel cu planurile de atomi legați prin legături slabe de tip Van der Waals, precum și ușurința de a intercală atomii străini între straturile de atomi.

Ca și în cazul izomorfismului, pe măsura extinderii observațiilor s-a conturat concluzia că în lumea mineralelor polimorfismul nu reprezintă

o stare de excepție ci mai degrabă o regulă ; cele mai multe combinații chimice putind să existe în doi sau mai mulți polimorfi. Cu toate că fenomenul de polimorfism a fost observat și descris de peste un secol și jumătate¹, pînă în momentul de față nu s-au putut furniza explicații

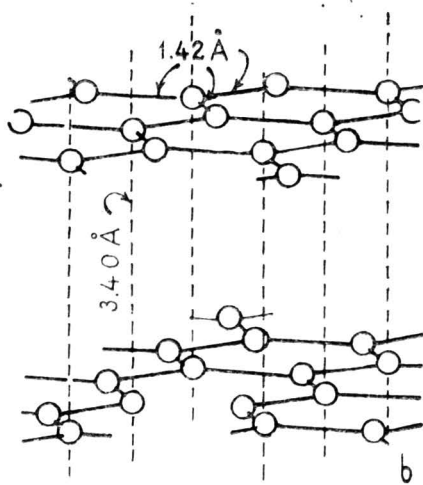


Fig. 79. Rețeaua grafitului.

perfect satisfăcătoare asupra tuturor situațiilor cunoscute și în special asupra mecanismului fenomenului, relațiilor dintre condițiile termodinamice și structura reticulară creată, sau a concordanței dintre proprietățile fizice și aranjamentul ionilor, relații care nu apar totdeauna cu aceeași claritate ca în exemplul prezentat mai sus.

În prezentarea fenomenului de polimorfism vom încerca să atacăm acest fenomen prin prisma cercetărilor recente asupra structurii.

Noțiunea de polimorfism nu diferă esențial de noțiunea de alotropie (elemente care apar în două sau mai multe forme sau structuri moleculare sau cristaline diferite) utilizată în special pentru elementele metalice dar care nu presupune necesitatea existenței stării cristalizate, sau a

¹ Klaproth (1788) sesizind că în natură CaCO_3 cristalizează sub forme romboedrice — calcit și rombice — aragonit, interpretează fenomenul prin prisma teoriei moleculei integrante a lui Haüy, considerind apariția unor forme cristalografice diferite — la aragonit, ca fiind rezultatul prezenței unor conținuturi reduse de strонțiu în constituția acestuia. Mitscherlich (1821) studiind cristalele artificiale de fosfat acid de sodiu hidratat $\text{NaH}_2\text{PO}_4 \cdot \text{H}_2\text{O}$ a constatat că acestea prezintă forme deosebite, de asemenea urmărind cristalizarea sulfului din topitură a remarcat că sulful apărut din propria sa topitură este de tip monoclinic în timp ce cristalele de sulf obținute în mod natural au o simetrie rombică. El denumește fenomenul observat polimorfism. Walleront (1904) a studiat originea polimorfismului. Tamman (1903) a cercetat influența presiunii și temperaturii asupra stării substanțelor care există la stări polimorfe. Goldschmidt (1926) a arătat că influența temperaturii asupra gradului de polarizare a ionilor în timpul procesului de cristalizare constituie principalul factor al schimbării aranjamentului ionilor în rețea și deci la obținerea de structuri diferite pentru aceeași substanță chimică. Burger (1936) propune ca explicație pentru transformările polimorfe o teorie cinetică care reiese din relația simetriei structurii și simetria ionilor supuși la agitație termică.

unor deosebiri în proprietățile cristalografice, condiții pe care polimorfismul le implică în mod restricțiv.

Polimorfismul se distinge sensibil de noțiunea de izomerie (două substanțe care au aceeași formulă moleculară dar formule de simetrie structurale diferite). După G. Friedel (1964), din punctul de vedere chimic sunt numite izomere două coruri care au compozitii chimice identice dar care au proprietăți fizice și reacții chimice diferite. Aceste coruri dacă sunt cristalizate și ulterior trecute în stare fluidă (amorfă) fie prin dizolvare fie prin topire, continuă să se comporte diferit. Aceste două substanțe din punct de vedere al fizicianului și al chimistului nu au comun decit compozitia chimică. În schimb, în cazul în care două substanțe în stare cristalină cu aceeași compozitie chimică și cu unele proprietăți fizice diferite indică în continuare proprietăți fizice diferite și după ce au suferit transformări de trecere în stare fluidă (amorfă) acestea sunt considerate ca două faze fizice ale aceleiași substanțe chimice reprezentând ceea ce cunoaștem sub numele de polimorfism.

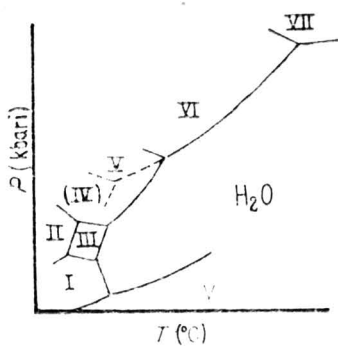
În cazul unor minerale pentru o anumită combinație chimică pot să existe un număr de polimorfi — dimorfism (2 termeni), trimorfism (trei termeni) etc. În general acești polimorfi sunt considerați specii minerale de sine stătătoare și primesc nume proprii. Există limite ale numărului de polimorfi care pot coexista la anumite presiuni și temperaturi. Pentru o anumită temperatură și presiune de regulă există un polimorf care este stabil, iar toți ceilalți metastabili.

Termenul general consacrat pentru polimorfi este „modificație“, sau „fază“ în acest din urmă caz este sinonim cu cel atribuit și stării gazoase sau lichide a unui element sau compus chimic. Trecerea de la o fază la alta este numită „schimbare de fază“, sau „transformare de fază“, iar sistemul stabilit între fază și variațiile de temperatură respectiv presiune reprezintă o diagramă de fază (fig. nr. 80).

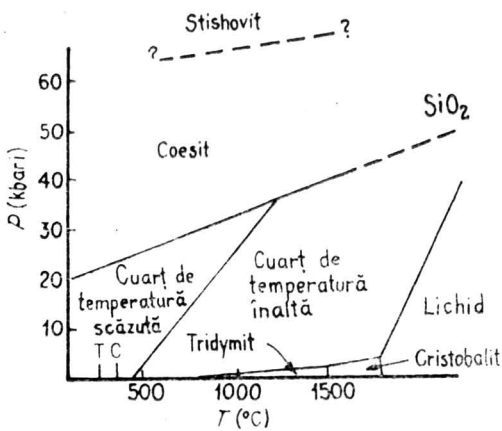
Temperatura le care au loc transformările de fază sub o presiune externă bine determinată, se numește punct de transformare. Modificațiile sau fazele polimorse se notează cu literele alfabetului grecesc α , β , γ , etc., de regulă pentru cei mai mulți cercetaitori în ordinea succesiunii temperaturilor de transformare de la valori ridicate spre valori mai scăzute*. În toate cazurile trecerea formei instabile în formă stabilă are loc cu degajare de căldură, iar trecerea formei stabile în formă instabilă se produce cu absorbția unei cantități egale de căldură (căldura latentă de transformare polimorfă $\beta \rightleftharpoons \alpha + Q_1$).

Căldurile de transformare sunt constante, cunoscute pentru diferitele substanțe minerale. De ex. pentru sulf căldura de transformare este de 0,087 kcal/atom gram.

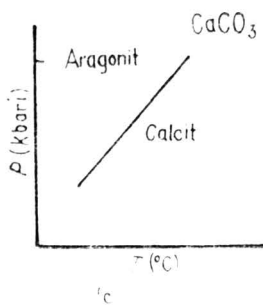
* La metale (formele allotrope) notația se face invers $a \rightarrow$ pentru modificațiile de temperatură joasă celelalte litere pentru temperaturile înalte.



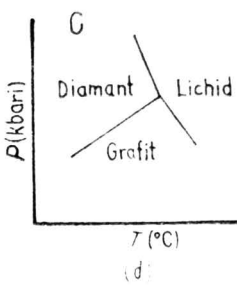
(a)



(b)



(c)



(d)

Fig. 80. Diagrame de faze : a) H_2O ; b) SiO_2 ; c) CaCO_3 ; d) C.

2.2. FACTORII CARE INFLUENȚEAZĂ TRANSFORMĂRILE POLIMORFE

La cristalizarea unei substanțe ia naștere întii forma cea mai puțin stabilă. La variații ale temperaturii între formele polimorfe se pot stabili două moduri de transformări.

— a) transformări *monotrope* cind forma cristalelor instabilă trece ireversibil în forma stabilă — transformarea fiind posibilă într-un singur sens.

— b) transformări *enantiotrope* cind fiecare formă este stabilă într-un anumit domeniu de temperatură propriu formei, deci de tip reversibil, transformarea realizându-se în ambele sensuri.

Presiunea de asemenea are un rol în realizarea unei anumite forme polimorfe. Cind unele substanțe cum este cazul RbCl , RbBr , RbI , cristalizează la presiune normală, cristalizarea se produce în rețeaua de tip NaCl , ca în situația în care cristalizarea se realizează sub presiune de 5.000 kg/cm^2 ele să imbrace stări cristaline apartinind unei rețele de tip CsCl .

La cristalizarea unei soluții cu HgS, se poate forma sulfura de mercur în două forme cristaline dintre care cea mai stabilă este cinabru (de culoare roșie) iar cea de a doua care ia naștere dintr-un mediu acid, mai puțin stabilă, metacinabaritul (de culoare neagră) și care trece lent în cinabru.

Din soluții hidrotermale bogate în sulf, se pot forma la presiuni și temperaturi diferite sulfura de fier — sub forma mineralelor, pirită sau marcasită, reacția fiind ireversibilă.

Bioxidul de siliciu, este mult răspândit în natură în trei forme cristaline polimorfe, precum și în diferite forme amorfă sau microcristaline. Cele trei forme cristaline cuarț, tridimit, cristobalit se transformă extrem de greu una în alta : fiecare din cele trei forme există în două modificări ușor interconvertibile una stabilă la temperatură joasă alta la temperatură mai ridicată.

Dacă transformările dintre cuarț, tridimit și cristobalit nu reușesc decât greu, dimpotrivă la toate cele trei forme cristaline ale SiO_2 transformările $\alpha \rightleftharpoons \beta$, se fac extrem de ușor și brusc, la atingerea temperaturilor de transformare.

In acord cu principiile termodinamicii, toate procesele naturale anorganice decurg spontan spre acea stare care oferă sistemului o stabilitate maximă în condițiile date ; în condiții izoterme, procesele spontane se desfășoară în sensul micșorării energiei libere a sistemului *.

Noțiunea de energie permite formularea aşa numitei „forțe motrice“, a procesului de formare a mineralului, adică tendința internă a sistemului în virtutea căruia acesta trece de la o stare la alta. Forța motrică poate fi echivalată cu energia liberă a sistemului cind acesta trece de la o stare inițială cu G_1 și (F_1) la starea finală cu G_2 și (F_2) . Mărimea energiei libere este diferența energiilor respectiv :

$$\Delta G = G_2 - G_1 \text{ sau}$$

$$\Delta F = F_2 - F_1$$

Energia liberă, apare astfel ca un criteriu de bază pentru a defini stările stable, metastabile și stările de dezechilibru. Se consideră două stări (1) și (2) a unei aceleiasi substanțe chimice care se deosebesc între ele prin structura lor internă (exemplu CaCO_3 , în modificările, calcit și aragonit). Aceste stări calcit și aragonit în aceleasi condiții de presiune și temperatură prezintă energii libere diferite G_2 este mai mic decât G_1 , deci starea (2) este mai stabilă decât starea (1) care devine stare metastabilă. În general stările cu energii libere mari au tendința de a trece de la sine în stări cu energii libere mai mici. În unele cazuri vitezele de trecere de la o stare spre alta sunt foarte mici sau uneori chiar nule fapt care explică conservarea acestora în timpul geologic. Există și situații speciale cind energiile libere ($G_2 = G_1$) ale stărilor (1) și (2) sunt egale, sub-

* Se iau în considerare două funcții de stare denumite energii libere : energia liberă a lui Helmholtz notată cu F și energia liberă a lui Gibbs notată cu G . Dacă sistemul se găsește în condiții izotermă și izocore ($V = \text{const.}$, $T = \text{const.}$) sensul formării mineralului este spre micșorarea energiei libere F , iar dacă sistemul este izoterm și izobar ($T = \text{const.}$, $P = \text{const.}$) sensul este spre micșorarea lui G .

stanțele în acest caz sint la fel de stabile, cele două stări se află în echilibru, deci pentru $\Delta G = 0$, forța motrice a sistemului este nulă. În aceste situații la cele mai mici variații ale condițiilor mediului urmează spontan modificări în sensul creșterii relative a energiei libere a uneia din stări și deci perturbarea echilibrului sistemului. Stabilitatea acestora este apreciată numai în raport cu condițiile mediului (P, T). În cazul exemplului dat calcit și aragonit, în condițiile unor presiuni și temperaturi normale calcitul este mai stabil decât aragonitul deoarece el prezintă energia liberă cea mai mică pentru aceste condiții. În condiții inverse, a unor presiuni ridicate raporturile se inversează aragonitul devenind starea stabilă.

Realizarea condițiilor de instabilitate într-un sistem este urmarea schimbării condițiilor externe din mediu; transformările polimorfe putând fi privite ca un proces de adaptare a sistemului mineral la condițiile impuse de mediu.

Sensul adaptării este dat de „principiul moderăției“ a lui Le Châtelier. Astfel cînd echilibru este modificat prin scăderea temperaturii la presiune constantă în sistem se vor declanșa procese exoterme (reacții în care se degajă căldura) deci reacții care tind să se opună factorului perturbant (cel care produce răcirea sistemului) și invers la creșterea temperaturii sub presiune constată se declanșează procese endotermice (reacții în care se absoarbe căldura) pentru a opune acțiune contrară factorului care produce încălzirea sistemului.

În cazurile în care dezechilibrul este datorat, unor modificări ale presiunii la temperaturi constante, transformările din sistem sint însoțite de variații ale volumului sistemului și anume dacă există o scădere a presiuni se produce o creștere a volumului sau la o creștere a presiunii volumul sistemului se micșorează.

Sistemul perturbat din starea sa de echilibru tinde să-și realizeze configurația care să-i asigure energia liberă cea mai mică pentru noile condiții.

În ultimile decenii au putut fi efectuate observații directe asupra transformărilor polimorfe prin utilizarea unor metode rafinate de analiză în special prin atașarea unor măsuțe de temperatură sau camere de presiune la microscopalele polarizante, la aparatelor de difracție RX și foarte recent la microscopalele electronice.

Transformările de fază (modificațiile) au putut fi astfel clasificate după viteza cu care se produc în două mari categorii *rapide și lente*.

După Frye (1974) o transformare este rapidă atunci cînd faza existentă la temperatură ridicată sau la presiune înaltă se învertește (în condițiile de laborator) în forma stabilă, prea repede pentru a mai putea fi studiată prin alte metode în afara celor dinamice; și este lentă*, în cazul cînd faza de presiune înaltă și temperatură ridicată, poate fi păstrată în condiții de laborator un timp indelungat și deci cercetată în detaliu.

* Aceste faze mai sunt numite și faze incetinîte sau înăbușite „quenihable“, în limba engleză.

Fazele care se invertesc rapid nu se găsesc la suprafața pământului ca minerale, dar cunoașterea lor este semnificativă pentru studiul părții inferioare a crustei și a mantalei superioare.

Există trei tipuri principale de transformare în categoria transformărilor rapide: dilatațională, deplasativă și astructurală.

Exemplu de transformare dilatațională întlnit la NaCl care la presiuni normale cristalizează în rețea cubică centrată pe fețe cu număr de coordonare 6, în timp ce la presiuni mari cristalizează în rețeaua tip CsCl cub centrat intern cu număr de coordonare 8.

Ca transformare deplasativă putem prezenta cazul transformării α -cuarțului în β -cuarț. Transformarea polimorfă în acest caz constă în modificarea structurii cristaline prin deplasarea unor planuri de atomi în raport cu altele, sau prin realizarea unor mișcări de vibrație în jurul pozițiilor de echilibru în rețea; unei dintre ionii din rețea, se rotesc liber, în timp ce alții aparținând poliedrului nu se schimbă. În exemplu dat, ionul de siliciu rămîne în coordonare tetraedrică dar unghiurile dintre tetracetri se schimbă. Interesant la această transformare este faptul că deși ea nu intră în categoria celor „înăbușite”, deseori anumite cristale de cuarț apar numai în forma structurală specifică temperaturilor ridicate (β -cuarț) este o situație caracteristică pentru unele roci vulcanice. În acest caz explicația este prezentată în legătură cu faptul că la variațiile de temperatură cristalul a revenit la tipul structural aparținând temperaturilor joase (α -cuarț) dar fețele cristalului după transformare își păstrează încă formele cristalografice specifice formei β .

Ca exemplu de transformare astructurală este punctul Curie, întlnit la unele minerale feromagnetice. Astfel în studiile asupra paleomagnetismului, convectorul magnetic al acestor minerale este imprimat numai după ce acestea s-au răcit sub punctul Curie și dispare din nou la reinăcalzirea mineralelor.

În categoria transformărilor lente există de asemenea trei tipuri de transformări: politipism, transformări reconstructive și ordine-dezordine. Politipismul va fi tratat separat astăzi încât în continuare ne vom referi la celelalte două aspecte.

Intr-o transformare reconstructivă unele din legăturile chimice sunt distruse și refăcute. Această categorie de transformare este apoi subîmpărțită după cum apar sau nu schimbări în coordonarea primară sau secundară a cationului.

Inversiunea calcit-aragonit este o transformare reconstructivă deoarece implică modificarea coordonării inițiale, numărul de coordonare a O²⁻ față de Ca²⁺ schimbându-se de la 6 la 9.

O altă transformare de acest gen este inversiunea de la cuarț (cu număr de coordonare 4 pentru Si la stishovit (cu număr de coordonare 6); acesta din urmă avind structura caracteristică rutilului.

Transformări reconstructive implicând schimbări în coordonarea secundară (derivată) sunt tipice pentru modificările silicei: cuarț, tridimit, cristobalit. Diferențele dintre aceste structuri derivă din modul în care se conexează tetrăedrii de SiO₄. În cristalul de cuarț tetrăedrii

alcătuiesc spirale în aşa fel încit de-a-lungul axei principale de simetrie se întlnesc după o anumită perioadă, atomi de Si și O în poziții identice (fig. nr. 81). În cuartul levogir spiralalele sunt răsucite spre stînga, în cuartul dextrogir, spre dreapta.

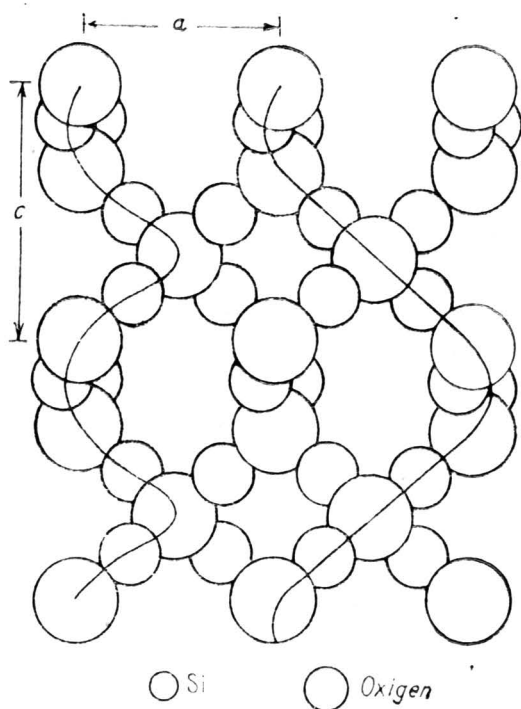


Fig. 81. Cuarțul proiectat pe $(11\bar{2}0)$ arată spiralele β_2 și δ_2 ale Si-O-Si-O (după Gibbs, 1926).

Structurile β -tridimititului și β cristobalitului se deosebesc (fig. nr. 82 și fig. nr. 83) una de alta în mod similar ca și cele două forme ale ZnS, respectiv forma wurtzitului de a blendei.

Transformarea ordine-dezordine, apare la cristale la care doi ioni diferenți pot ocupa aceleași poziții structurale. Această situație este întâlnită la unele minerale silicatare unde ionul de Al^{3+} înlocuiește în grupul anionic ionii de Si^{4+} în coordonarea tetraedrică. La temperaturi ridicate structura compusului este dezordonată iar amplasarea ionilor de Al^{3+} care substituie ionii de Si^{4+} este absolut intimplătoare iar raportul Si/Al se realizează statistic, în timp ce la temperaturi scăzute structura să fie ordonată, iar pozițiile tetraedrice apar într-o anumită distribuție una din pozițiile tetraedrice fiind ocupată numai prin ioni de Al^{3+} , iar celelalte numai prin ioni de Si^{4+} . La mineralele caracterizate prin aceste tipuri de结构uri ordine-dezordine, au fost evidențiate toate tranzițiile de la complet ordonat la complet dezordonat (ex. sanidina, ortoza microclinul).

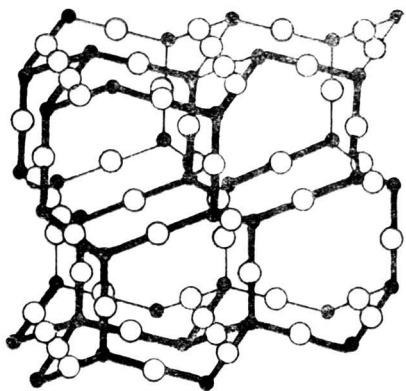


Fig. 82. Rețeaua β tridimitului.

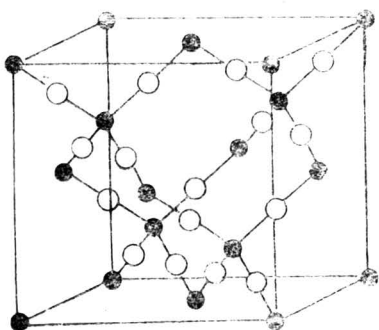


Fig. 83. Rețeaua β cristobalitului.

2.3. EXEMPLE DE POLIMORFISM

Între modificările polimorfe ale aceleiași substanțe chimice uneori pot apărea, în ceea ce privește variația proprietăților lor, fizice, atât deosebiri foarte mici, greu de observat, cât și deosebiri foarte mari.

Carbonul

Cele două modificări ale carbonului sunt diamantul și grafitul. Între aceste modificări există deosebiri mari atât în ceea ce privește proprietățile fizice cât și natura structurii lor. S-a arătat că diamantul cristalizează în sistemul cubic (octaedre regulate mai rar tetraedre) este incolor și transparent, densitatea este $3,51 \text{ g/cm}^3$, indicele de refracție neobișnuit de mare ($n = 2,407$ pentru lumina roșie și $2,465$ pentru cea violetă). Diamantul este rău conducer de căldură și electricitate, este una dintre cele mai dure substanțe cunoscute și din această cauză de neinlocuit pentru fabricarea de scule destinate tăierii găuririi sau lustruirii materialelor foarte dure. Structura cristalină a fost descrisă anterior, întreg cristalul constituind de fapt o singură moleculă. Această structură este responsabilă de toate proprietățile acestei substanțe. Temperatura înaltă de vaporizare aproape 4000°C . lipsa unei faze lichide și căldura mare de vaporizare egală cu căldura de atomizare ($171,77 \text{ Kcal/mol}$) se explică prin aceea că la trecerea din starea cristalină în starea de vapori trebuie rupte covalențe. Proprietățile optice sunt de asemenea în concordanță cu structura sa cristalină. Transparența totală (lipsa de absorbție) față de lumina vizibilă și ultravioletă pînă la 1550 Å sau mai jos dovedește că electronii legăturilor C-C din diamant nu pot fi excitați de frecvențele acestor radiații electromagnetice. Diamantul este mai puțin reactiv decît grafitul, nu se aprinde în oxigenul molecular decît pe la 800°C . Diamantul este forma alotropică instabilă, iar grafitul este cea stabilă. Prin încălzire inde-

lungată la 1500°C în absență oxigenului, diamantul se transformă în grafit. Căldura de transformare polimorfă este de 0,2 Kcal/mol (la 25°C și 1 atm).

Grafitul în natură se întâlnește mai rar decât diamantul. Aceasta se prezintă sub formă de plăci sau prisme plate cu baza hexagonală, cîrvașă ușor paralel cu baza. Forma obișnuită a grafitului este aceea a unei mase pămîntoase sau stratificate, opac cenușie, cu luciu metalic, grasă la pipăit. Punctul de topire foarte înalt (≈ 3850 °C) nu este determinat cu precizie deoarece ambele modificări sublimează la presiune normală fără a se topi. Densitatea este $2,26 \text{ g/cm}^3$, foițele sunt flexibile, este moale, nu reacționează cu acizii diluați nici cu bazele, se aprinde, la 700°C, este bun conducător de căldură și electricitate. Și structura grafitului a fost descrisă anterior, este o structură perfect plană, straturile plane sunt menținute prin forțe Van der Waals, în poziții paralele la distanțe de $3,354 \text{ \AA}$. Fiecare atom de C dintr-un plan dat, coincide cu centrele unor hexagoane aparținând la două plane vecine. Două plane cristalografice identice se găsesc la distanțe de $6,8\text{\AA}$ perpendicular pe axa cristalografică „c“ a cristalului. Această structură explică clivajul perfect duritate mică, proprietățile lubrefiante, precum și anizotropia grafitului, adică variația enormă a anumitor proprietăți cînd sunt măsurate paralel cu axa „c“ a cristalului sau perpendicular pe ea.

Sulful

Sulful cristalizat prezintă două stări polimorfe anume sulful rombic (α — sulf*) stabil pînă la $95,5^\circ$ și sulful monoclinic (β — sulf) stabil între $95,5^\circ$ C și punctul de topire a sulfului ($119,2^\circ$ C). Transformarea dintre cele două forme este de tip enantiotrop. Moleculele sulfului atît rombic cît și monoclinic sunt compuse din opt atomi, ele au forma unor inele (fig. nr. 84) atomii fiind așezați în rețelele cîte patru în două plane para-

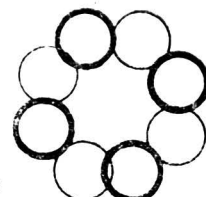


Fig. 84. Molecula S₈ a sulfului.

lele (fig. nr. 85). Distanțele interatomice sunt de $2,06 \text{ \AA}$ iar unghiurile de valență de 105° . Diagrama de fază a sulfului fiind reprezentată în fig. nr. 86.

* La elemente notația fazelor se face invers a pentru modificările de temperatură joasă celelalte litere pentru modificările de temperatură ridicată.

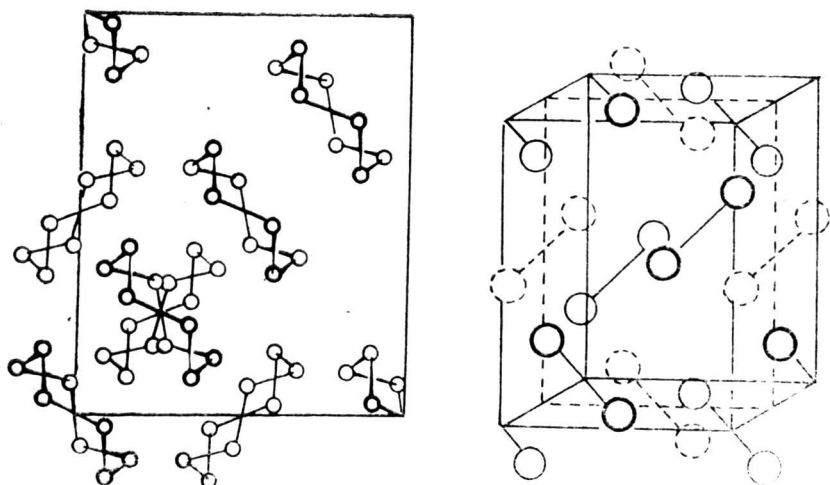


Fig. 85. Rețeaua moleculelor S_8 a sulfului.

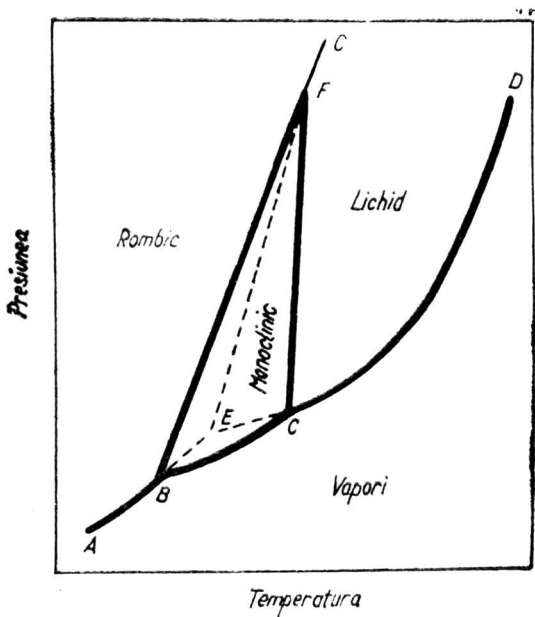


Fig. 86. Diagrama de fază a sulfului.

α — sulful cristalizează rombic, 2m , $2/\text{m}$, $2/\text{m}$, cu habitusul tabular sau bisfenoidal.

β — sulful cristalizează monoclinic 2/m, relația axială, fiind a:b:c: = 0,9958 : 1 : 0,9998 ; $\beta = 95^\circ.46'$ cu habitusul tabular sau alungit

	α — sulf	β — sulf
Sistemul	rombic	monoclinic
a_0	10,470	10,920
b_0	12,845	(001) (110)
c_0	24,37	10,980
clivajul	(101), (011), (110) imperfect	(001), (110) slab
H	$1\frac{1}{2}$ —2	$1\frac{1}{2}$ —2
G	2,00—2,10	1,982—1,958

Se cunoaște și modificarea γ — sulf tot monoclinic 2/m cu habitus tabular, sau prisme scurte, cu duritate și densitate mai scăzute decât ale α — sulfului.

Bioxidul de titan TiO_2

Se prezintă în trei stări cristaline toate egale distribuite în natură. Rutilul — cristalizează tetragonal 4/m, 2/m, 2/m, relația axială a:c = 1:0,6442, cu habitus prismatic. G = 4,2—4,3. Structura este caracterizată prin plane cu așezare compactă a ionilor care apar sub formă de coloane paralele cu axa principală de simetrie a cristalului. Fiecare ion de Ti este înconjurat cu șase ioni de oxigen (fig. nr. 87), care se dispun în vîrfurile unui octaedru aproape regulat, iar fiecare ion de oxigen este înconjurat de trei ioni de titan (ca un triunghi aproape echilateral). Acești octaedri din structura cristalină suferă o alungire după direcția axului „c” formând coloane dreptunghiulare, ceea ce determină aspectul acicular sau bacilar al cristalelor și direcțiile planelor de clivaj paralele cu alungirea indivizilor cristalini. De asemenea fiecare octaedru de $[TiO_6]$, are cîte două muchii comune cu doi octaedri vecini.

Anatasul — cristalizează tetragonal 4/m 2/m 2/m, relația axială a:c = 1:2,5133 habitusul cristalelor este piramidal G = 3,90. Structura cristalină la anatas este caracterizată prin cea mai compactă așezare cubică a ionilor de oxigen după axa cuaternară verticală. Numerele de coordonare sunt aceleasi ca la rutil 6:3, însă formele geometrice ale coordonării sunt deformate. Aceasta este determinată de faptul că octaedrii de $[TiO_6]$ se combină reciproc în așa fel încît au 4 muchii comune.

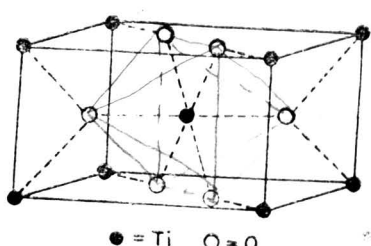


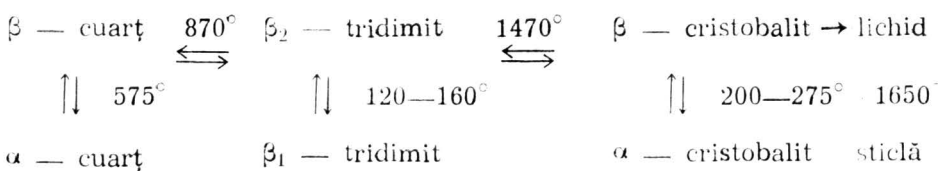
Fig. 87. Rețeaua rutilului (TiO_2) după Evans 1948.

Brookitul cristalizează rombic $2/m$ $2/m$ relația axială $a:b:c = 0,5941:1:0,5611$, habitusul este lamelar, tabular. În structura cristalină așezarea ionilor de oxigen este după tipul așezării cubice compacte. Ionii de titan se află între straturile ionilor de oxigen înconjurați de ioni de oxigen formind lanțuri duble de octaedrii în fiecare strat cu cea mai compactă așezare; spre deosebire de structura rutilului acești octaedrii au cîte trei muchii comune. În concordanță cu această structură este și aspectul turtit al cristalelor.

	Rutil	Anatas	Brookit
Sistemul de cristalizare	tetragonal	tetragonal	rombic
a_0	4,590	3,780	5,445
b_0	—	—	9,184
c_0	2,960	9,510	5,146
G	4,23—5,50	3,82—3,97	4,08—4,18
H	6—6 $\frac{1}{2}$	5 $\frac{1}{2}$ —6	5 $\frac{1}{2}$ —6

Bioxidul de siliciu SiO_2

Cristalizează în trei modificări polimorfe precum și în diferite forme amorfă sau microcristaline. Fiecare din cele trei forme există în două sau trei modificări.



Formele β stabile la temperaturi mai ridicate prezintă simetrii mai mari decît formele de temperatură mai scăzute.

α -cuarțul cristalizat în sistemul trigonal 3.2 stabil sub $575^\circ C$ și la presiune de o atmosferă are habitusul bipiramidal ditrigonal.

β -cuarțul cristalizat în sistemul hexagonal 622 stabil peste $575^\circ C$ relația axială $a:c = 1:1,100$

	α -cuarț	β -cuarț	β_2 -tridimit	β -cristobalit
Sistemul	trigonal	hexagonal	ortorombic	tetragonal
a_0	5,010	4,913	9,880	4,970
b_0	—	—	17,100	—
c_0	5,470	5,405	16,300	6,920
G	—	2,65	2,27	2,33
H	—	7	7	6—7

α -tridimitul cristalizat în sistemul rombic 222 stabil sub 117°C cu habitusul în plăci pseudohexagonale unghiul dintre indivizii maclați ciclic este este $35^\circ 18'$.

β_1 -tridimitul cristalizat în sistemul hexagonal cu $a_0 = 5,030$ și $c_0 = 8,220 \text{ \AA}^0$ stabil $117^\circ - 163^\circ\text{C}$ iar β_2 -tridimit între $870^\circ - 1470^\circ\text{C}$.

α -cristobalitul tetragonal (pseudorombic) relația axială $a:c = 1:1,395$ cristale pseudoctaedrice domeniul de stabilitate $200 - 275^\circ\text{C}$.

β -cristobalitul cristalizat cubic, cu $a_0 = 7,130 \text{ \AA}^0$ este stabil și în domeniul $200^\circ\text{C} - 275^\circ\text{C}$, dar are stabilitatea caracteristică între $1470^\circ\text{C} - 1713^\circ\text{C}$.

Diagrama de stabilitate este reprodusă în figura nr. 88.

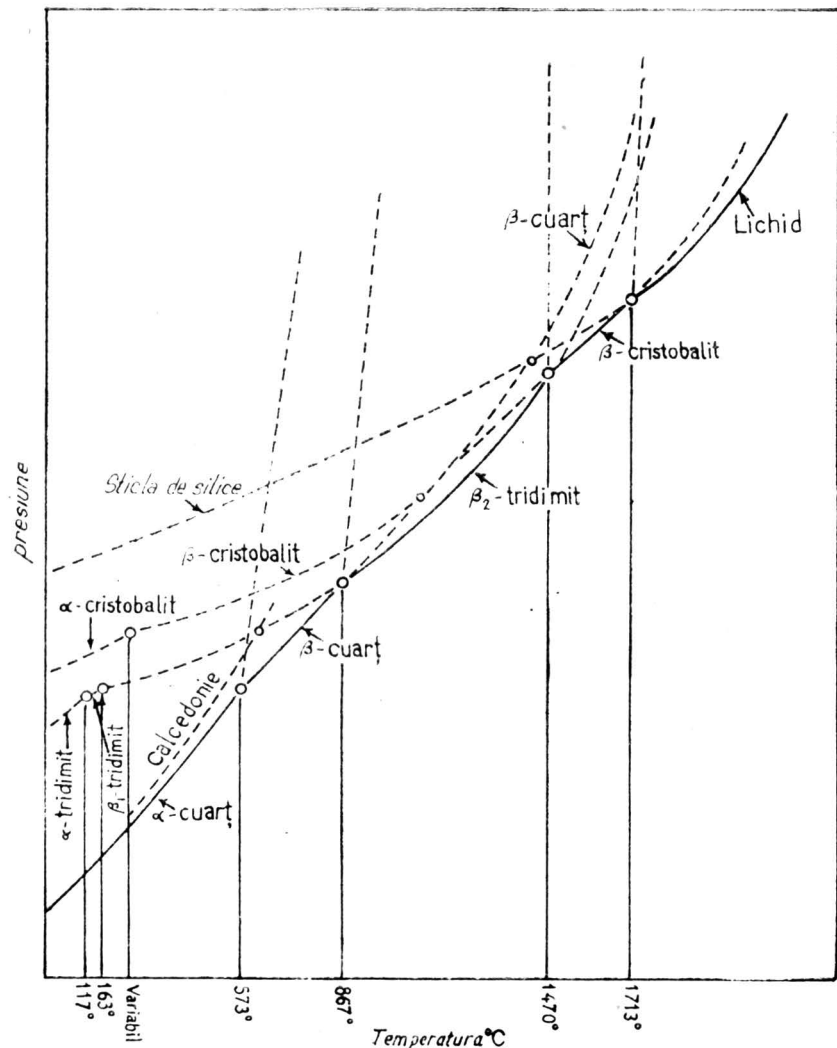


Fig. 88. Relațiile de stabilitate ale mineralelor SiO_2 (după Fenner, 1913).

Coesitul cristalizat în sistemul monoclinic cu $a_0 = 7,170$ $b_0 = 12,380$ și $c_0 = 7,170$ Å, este un mineral de presiune ridicată care se realizează la temperatură de 500° – 800° C și 35.000 atmosfere (de regulă sintetic). Mineralul arată prezența tetraedrilor SiO_4 uneori orientați paralel cu (010), altele ori paralel cu (001), $G = 3,01$.

În cristalele tuturor celor trei modificării cuarț, tridimit, cristobalit, există o construcție din tetraedrii de SiO_4 cu 4 colțuri comune. Deosebirile dintre cele trei forme său cum s-a mai arătat constau în modul cum săn legăți tetraedrii SiO_4 între ei. În cuarț tetraedrii SiO_4 alcătuiesc spirale (fig. nr. 89) aspectele structurale, β -cuarțului în proiecție pe fața (0001).

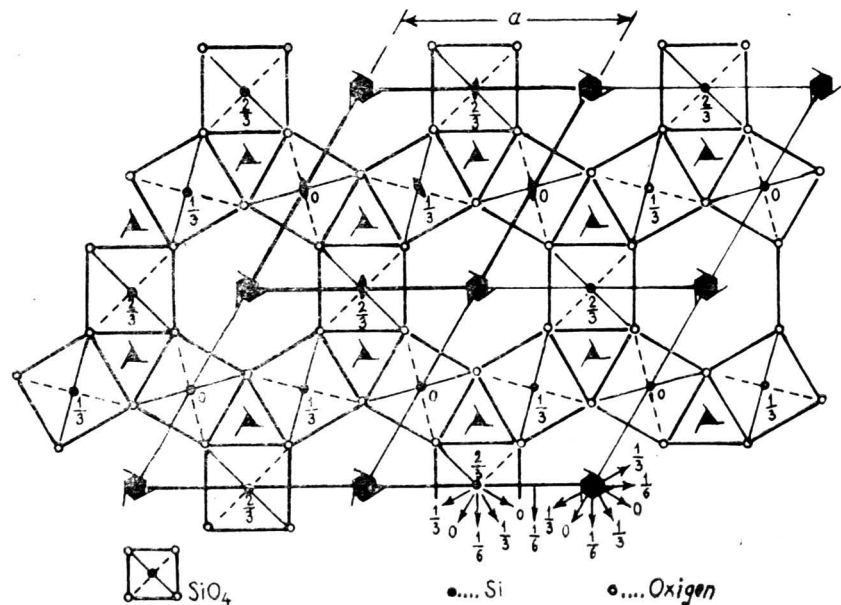


Fig. 89. Structura β -cuarțului proiectată pe (0001).

iar a α -cuarțului de asemenea în proiecție pe fața (0001) săn redate în fig. nr. 90. Transformările $\beta \rightleftharpoons \alpha$ săn enantiotrope, ele comportă mici modificării în structură fără distrugerea rețelei cristaline fără desfacerea legăturilor Si—O ci numai cu o deformare a lor în sensul indicat schematic exagerat (fig. nr. 90).

Transformarea cuarțului în tridimit și a acestuia în cristobalit se realizează mai dificil decât transformările $\alpha \rightleftharpoons \beta$ deoarece în cazul acestor modificări transformările săn realizate prin desfacere și refacere a legă-

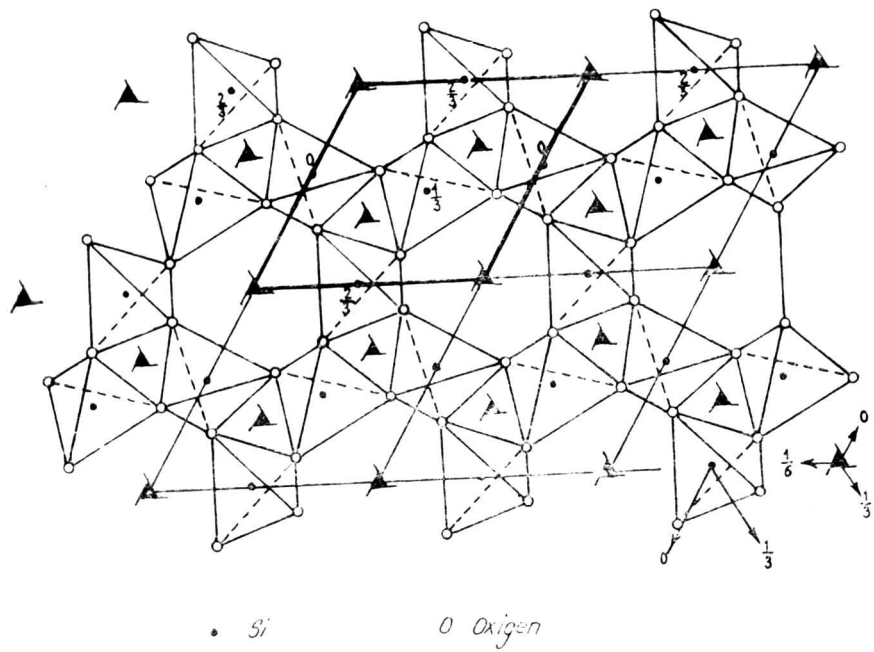


Fig. 90. Structura α -cuarțului proiectată pe (0001) după Wei, 1935.

turii Si—O. Structurile β -tridimitului și a β -cristobalitului sînt redate în fig. nr. 91, iar structura α -cristobalitului în proiecție pe fața (001) în fig. nr. 92.

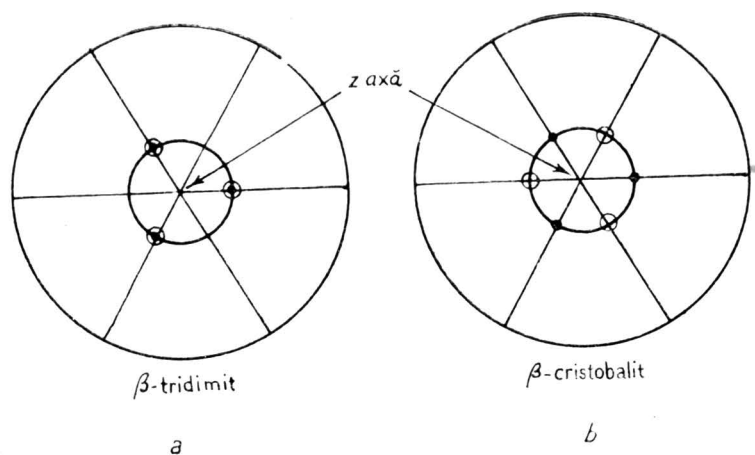


Fig. 91. Transformări ale β -tridimitului și β -cristobalitului. Polii reprezintă locurile celor 6 oxigeni bazali cu referire la cele două forme tetraedrice de aşezare a oxigenilor.

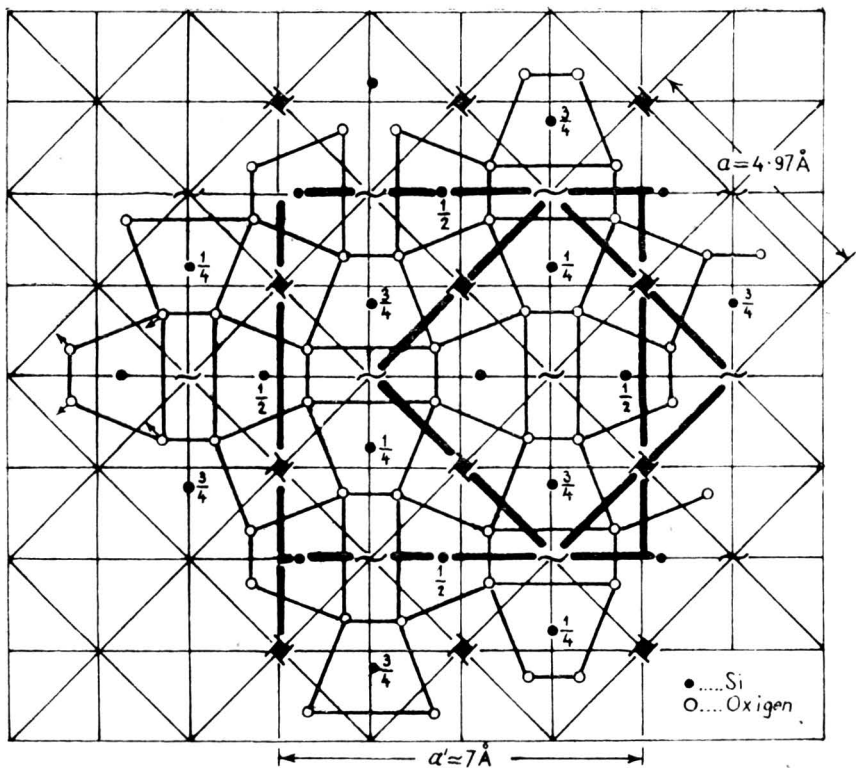


Fig. 92. Structura α -cristobalitului proiectată pe (001) arată celula unității tetragonale primitive (conturul gros) și celula tetragonală (pseudocubică) a feței centrale c.

Acste transformări (a cuarțului în tridimit) se pot efectua mai ușor prin expunere un timp îndelungat a cuarțului la temperaturi ridicate mai mari de 1470°C , sau prin intervenția unor substanțe caracteristice-mineralizatori (halogenuri alcaline) realizându-se astfel o recristalizare rapidă. Transformarea inversă se produce doar prin o răcire lentă a topiturii (aşa se explică prezența în unele roci magmatice a cuarțului sub formă cristalelor de tridimit). Prin o răcire rapidă la o temperatură în care legăturile Si—O devin inerte, tridimitul și cristobalitul se pot conserva indefinit în stare metastabilă, fără a se transforma în cuarț, singura formă stabilă sub 870°C . Rezultă că transformările între modificările cuarț—tridimit—cristobalit, necesită o mare energie de activare care să producă desfacerea și refacerea legăturii covalente.

Transformările $\alpha \rightleftharpoons \beta$ se realizează spontan la atingerea temperaturii de transformare, în timpul încălzirii proprietățile fizice suferă variații lente și continue pînă la punctul de transformare după care valorile

proprietăților fizice se modifică brusc. Dacă se continuă cu încălzirea, proprietățile variază din nou continuu. Variația indicilor de refracție și a raportului c/a în funcție de temperatură (fig. nr. 93 și 94) arată această discontinuitate caracteristică variațiilor proprietăților fizice.

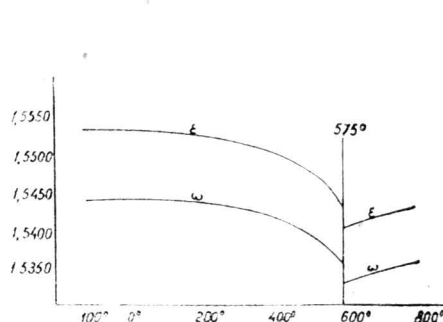


Fig. 93. Variația indicilor de refracție la trecerea α -cuarțului în β -cuarț, în funcție de temperatură.

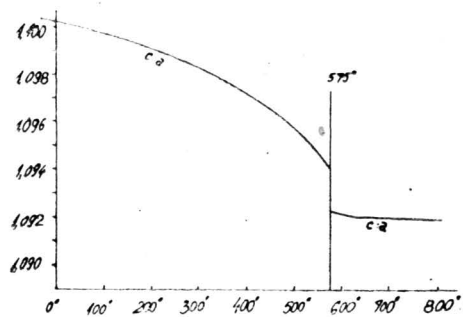


Fig. 94. Variația raportului c/a la transformarea α -cuarțului în β -cuarț.

Carbonatul de calciu CaCO_3

Modificația calcit cristalizează în sistemul trigonal 32/m relația axială $a:c = 1:0,8543$ cu habitusul romboedric, celula elementară avind forma unui romboedru (fig. nr. 95), care se apropie de structura cristalină a NaCl , cubul fiind presat de-a-lungul axei A^3 , astfel încit unghiurile dintre fețe să devină egale cu $101^\circ 55'$ obținindu-se astfel rețeaua romboedrică cu fețe centrate prin ioni de Ca^{2+} care de fapt ocupă locurile caracteristice ionilor de Na^{1+} , în timp ce grupurile CO_3^{2-} , ocupă locurile ionilor de Cl^{1-} . Ionii CO_3^{2-} , au o structură plană, simetrică cu cele trei distanțe C—O egale între ele și cu unghiuri între O—C—O de 120° .

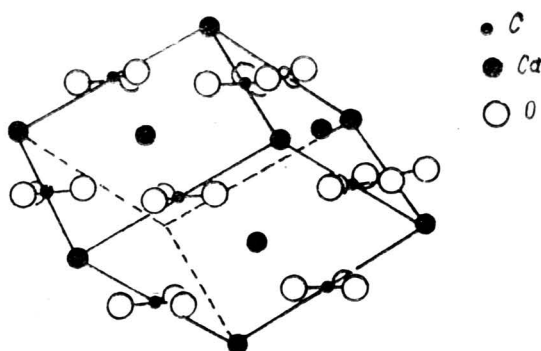


Fig. 95. Rețeaua CaCO_3 (calcit).

Modificația aragonit cristalizează în sistemul rombic $2/m\ 2/m\ 2/m$, relația axială $a:b:c = 0,623:1:0,720$ cu habitusul prismatic, formă mai instabilă decât cea a calcitului (la temperatură și presiunea ordinată). În structura cristalină ionii Ca^{2+} sunt așezați ca intr-o rețea hexagonală deformată după axa principală, pozițiile lor determinând straturi orientate paralel cu (001). Deosebirea principală dintre calcit și aragonit constă și din poziția pe care o prezintă grupul CO_3^{2-} ; la calcit ionii de calciu se află plasați aproape tangent față de grupul CO_3 , în timp ce în aragonit unii ioni de calciu se plasează la o mică distanță și cu o rotire de cca 30° a CO_3 (fig. nr. 96 a și b). De asemenea în mod succesiv grupele CO_3 orientate după „c“, arată dispoziția + și — față de această direcție (fig. nr. 97) în consecință simetria rombică pentru celula elementară.

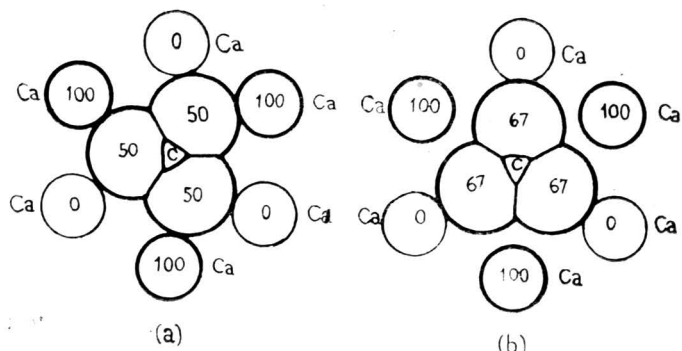


Fig. 96. Dispunerea grupelor CO_3^{2-} (a) în calcit și (b) în aragonit. Fiecare atom de oxigen este legat cu doi atomi de calciu în calcit și cu trei atomi de calciu în aragonit (după Bragg 1937).

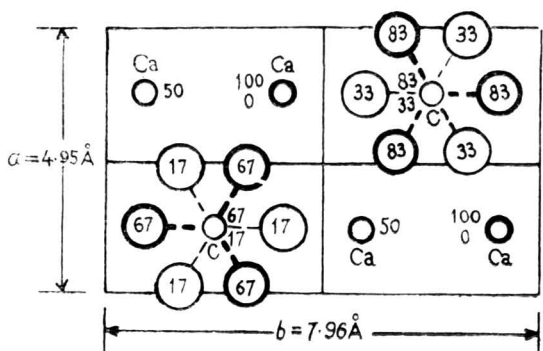


Fig. 97. Structura aragonitului proiectată pe (001) după Bragg, 1937.

Sistemul de cristalizare	Calcit trigonal	aragonit rombic
a_0	4.990	4.950
b_0	• • • • •	7,950
c_0	17,061	5,730
G	2,715—2,940	2,94—2,95
H	3	$3\frac{1}{2}$ —4
$2V_z$	• • • • •	18° — $18\frac{1}{2}^\circ$
OAP	• • • • •	(100)
Clivajul	(1011) perfect	{ (010) imperfect (110) slab

Silicatul de aluminiu

În natură se cunosc trei modificări, cu structuri ușor diferite rezultate din modul în care ionii de Al^{3+} sunt coordonați prin ionii de oxigen. La aceste forme $\frac{1}{2}$ din numărul total de sarcini sunt coordonate octaedric prin oxigenii așezați paralel cu axul „c“, iar cealaltă jumătate la sillimanit (fig. nr. 98), în coordonare 4, la andaluțit (fig. nr. 99) în coordonare 5, iar la disten în coordonare 6 (fig. nr. 100). Diagrama de fază este redată în fig. nr. 101 cele trei modificări sunt egal stabile în condiții de temperatură și presiune obișnuite. Forma stabilă la temperaturi înalte este sillimanitul, de unde prezența lui în roci catazonale, andaluțitul fiind caracteristic temperaturilor de formare ale corneenelor iar distenul celor caracteristice sisturilor cristaline de tip mezozonal, formate în condiții de stress puternic.

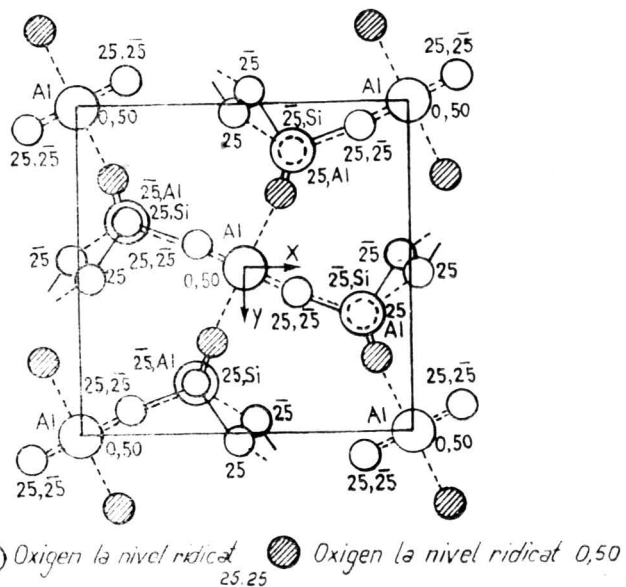


Fig. 98. Structura sillimanitului proiectată de-a lungul axului Z (după Ney și Taylor 1931).

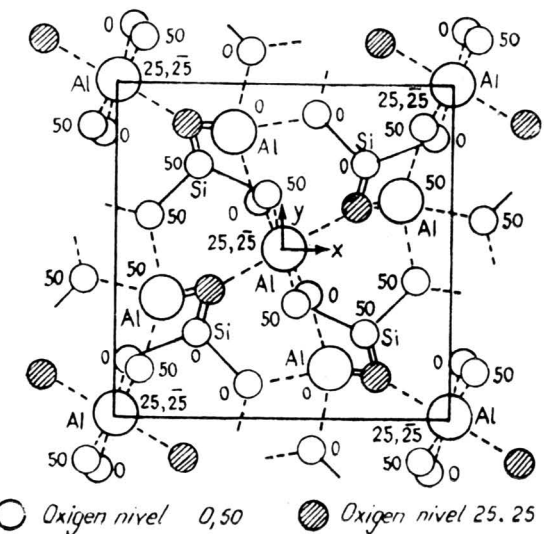


Fig. 99. Structura andaluzitului proiectată de-a lungul azului Z (după Ney și Taylor, 1931).

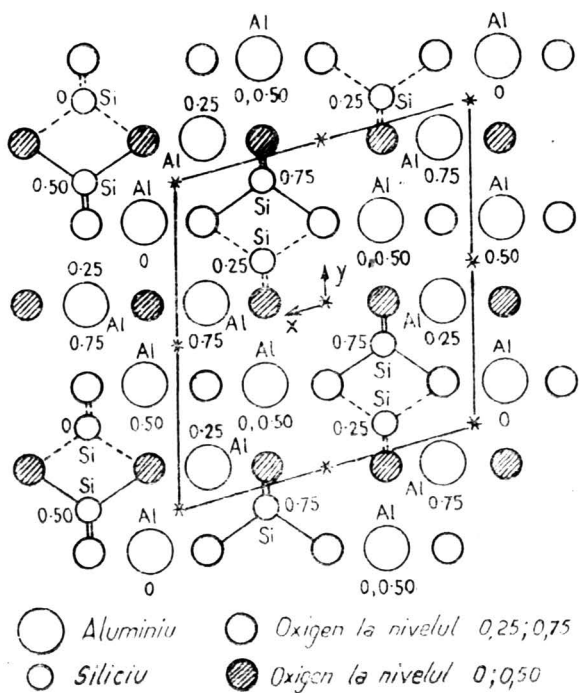


Fig. 100. Structura distenitului proiectată de-a lungul axului Z.

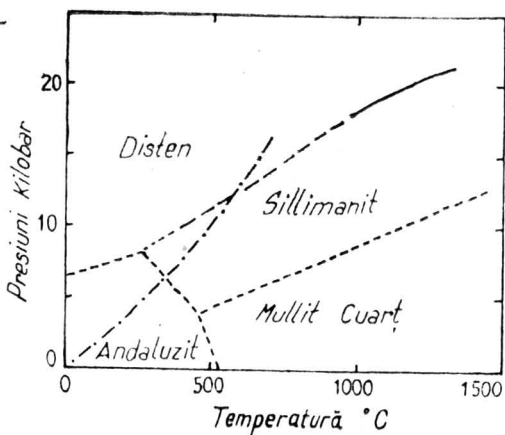


Fig. 101. Diagrama fazelor Al_2SiO_5 . Limitele de fază (nu sunt determinate în mod experimental). — . — . — . Forme tipice de gradient geotermic, poziția sa are semnificația în apropierea originei (după Clark și col. 1957).

Sistemul de cristalizare	Sillimanit rombic	Andaluzit rombic	Disten triclinic
a_0	7,440	7,780	7,100
b_0	7,590	7,920	7,740
c_0	5,750	5,570	5,570
relația axială	0.975 : 1 : 0.702	0.982 : 1 : 0.703	0.899 : 1 : 0.709
G	3,23—3,27	3,13—3,16	3,53—3,65
H	$6\frac{1}{2}$ —7	7—7 $\frac{1}{2}$	$4\frac{1}{2}$ —7
Clivajul	(010) bun	{ (110) distinct (100) slab	{ (100) perfect (010) bun (001) potrivit

Sulfura de zinc ZnS

Formele cristaline ale sulfurii de zinc sint prezentate prin cele două modificării blenda și wurtzitului.

Blenda are o rețea cristalină mult asemănătoare cu a diamantului. fiecare atom de zinc fiind înconjurat tetraedric de patru atomi de sulf și fiecare atom de sulf prin patru atomi de zinc.

O rețea puțin diferită de a blendei, atomii fiind așezăți tot după schema tetraedrică este aceea a wurtzitului. Distanța Zn—S este pentru ambele modificării 2.35 \AA . Densitatea blendei, de asemenea, aproape aceeași cu a wurtzitului. Deosebirea între cele două sulfuri constă în modul de aranjare al stratelor de atomi. În rețeaua blendei atomii de

S au o aranjare cubică compactă în care se disting 3 strate cristalografcice așezate în ordinea 1, 2, 3, 1, 2, 3 (cub cu fețe centrate). Atomii de Zn cu volum mai mic sunt plasați în golarile tetraedrice ocupind 1/2 din goluri. În rețeaua wurtzitului cu așezare hexagonală compactă a atomilor de sulf (fig. nr. 102) există două strate cristalografcice care se succed în ordinea 1, 2, 1, 2, iar atomii de zinc ocupând același număr de goluri

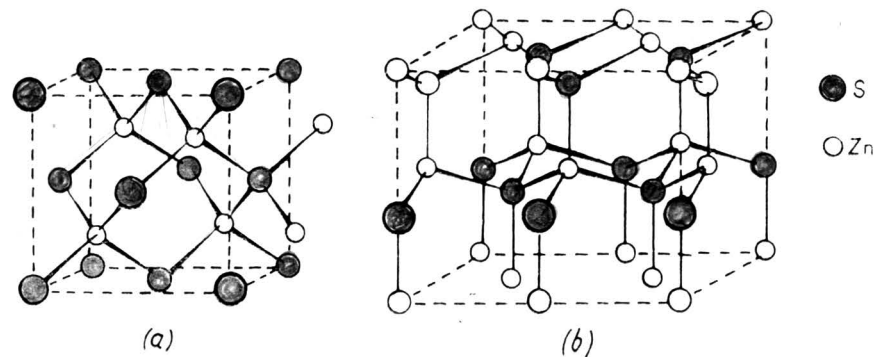


Fig. 102. Structura ZnS : a) blendă, b) wurtzit.

tetraedrice. O structură cubică compactă poate fi transformată într-o structură hexagonală compactă prin alunecarea unor dintre stratele de atomi, în raport cu altele.

Modificația wurtzit este stabilă la temperatură înaltă, punctul de transformare este la 1020°C , și de tip enantiotrop.

Ca și în rețeaua diamantului și la blendă și la wurtzit suma electro-nilor celor două elemente care se combină este 8. În diamant $4 + 4$ la ZnS pentru ambele modificări $2 + 6$.

Blendă cristalizează cubic $4 \cdot 3 \cdot m$ și se prezintă în cristale tetraedrice.

Wurtzitul cristalizează hexagonal $6.m.m$ și apare în cristale prismatice.

Sistemul de cristalizare	Blenda	Wurtzit
a_0	5,406	3,820
c_0	—	6,260
relația axială	—	1 : 1,6349
clivajul	(110) perfect	{ (0001) imperfect (1120) slab
G	3,90—4,20	3,98
H	$3\frac{1}{2}$ —4	$3\frac{1}{2}$ —4

Sulfura de fier FeS_2

Sulfura de fier prezintă două modificări cristalizate pirita și marcasita. Pirita este mai stabilă decât marcasita care este metastabilă și se transformă cu ușurință în pirită la temperatură de $500^{\circ}C$, transformarea fiind monotropă.

Pirită cristalizează în sistemul cubic $2\text{ m } \bar{3}$ habitusul fiind cubic, octaedric precum și sub formă de diploedrii. Structura este o rețea cubică cu fețe centrate de tipul $NaCl$ în care ionii sulfului aranjați perci să sint foarte apropiati între ei formind grupa anionului S_4^{2-} . Distanța intre acești ioni de $S-S$, este egală cu $2,05 \text{ \AA}$ în loc de $3,5 \text{ \AA}$, valoarea dublă a razei ionice. Grupele S_4^{2-} se orientează prin axele lor după diagonalele cuburilor mici în aşa fel incit ele să nu se intretele.

Marcasita cristalizează în sistemul rombic 2 m , 2 m , 2 m cu relația axială $a:b:c = 0,762 : 1 : 1,218$ cu habitusul piramidal și prismatic. În structura marcasitei se găsesc grupele S_4^{2-} ca și la pirită, iar ionii de Fe^{2+} ocupă colțurile celulei rombice și centrul ei, acestea fiind înconjurăti de grupe de ioni S_4^{2-} . Din compararea structurilor celor două minerale constatăm că în rețele cristaline diferite ca simetrie, întâlnim același tip de coordonare.

Sistemul de cristalizare	Pirita	Marcasita
	Cubic	rombic
a_0	5.420	3.340
b_0	—	4.450
c_0	—	5.420
clivajul	{ (001) slab (011), (111) intrerupt	(101) distinct (110) imperfect
G	5.02	4.8—4.9
H	6—6 $\frac{1}{2}$	6—6 $\frac{1}{2}$

Alte exemple de polimorfism

1. calcozina Cu_2S rombică $\xrightleftharpoons[91^{\circ}C]{}$ calcozina hexagonală
2. leucit $K[AlSi_2O_6]$ pseudocubic $\xrightleftharpoons[600^{\circ}C]{}$ leucit cubic
3. acantit Ag_2S monoclinic $\xrightleftharpoons[170^{\circ}C]{}$ argentit cubic
4. böhmit ($Al(OH)_3$) rombic $\xrightleftharpoons{}$ diaspor AlO_2 rombic
5. cinabru HgS trigonal \leftarrow metacinabarit cubic

3. POLITIPISMUL

Politismul reprezintă de fapt un caz particular de polimorfism care poate fi definit ca un polimorfism unidimensional în cadrul căruia cele două faze diferă prin modul de aranjare al unor strate bidimensionale identice.

Astfel în cazul sulfurii de zinc de tip AX la sfalerit ionii de S și Zn sunt dispuși în serie ABC, ABC (fig. nr. 103), la wurtzit în serie AB, AB. Coordonarea tetraedrică a Zn și S poate prezenta astfel două aranjamente unul de simetrie cubică adamantină ZnS (tipul sfalerit) și unul de simetrie hexagonală ZnS (tipul wurtzit). Rețeaua cubică a sfaleritului permite puncte de inversiune dispuse în lungul axului [111] iar rețeaua hexagonală a wurtzitului plane de oglindire perpendicular pe axul [0001] (fig nr. 104).

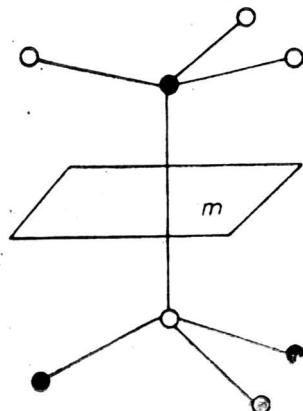


Fig. 103. Dispoziția ionilor Zn și S la blendă.

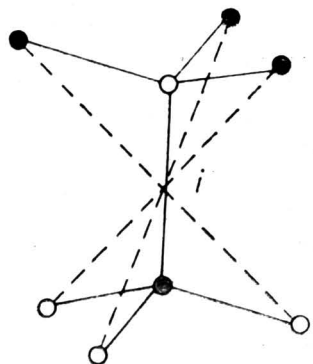


Fig. 104. Dispoziția ionilor Zn și S la rețeaua hexagonală a wurtzitului.

Acest fapt creează posibilitatea ca în diferite variante ex : ABCAB, ABCB, ABACAB etc. prin modificarea ordinei ABC, ABC la sfalerit sau AB, AB la wurtzit, structura acestor minerale să suferă modificări politipe care se traduc în cazul sfaleritului prin creșterea valorii parametrului „c“. Determinările prin difracție RX au arătat variații foarte accentuate de la $3,2 \text{ \AA}$ în cazul sfaleritului cu rețea cubică perfectă (ABC, ABC) pînă la 1500 \AA în cazul unor sfalerite cu modificări politipe.

Politipismul este foarte răspândit la filosilicați, un număr remarcabil de politipi fiind cunoscute la mineralele din grupa micelor. Dintre acestea, un număr de șase ($1M$, $2M_1$, $2M_2$, $2O$, $3T$, $6H$) — tabelul 40 sint întâlniți în mod comun, în natură iar alții cum sunt $12M$, $18M$ sau $3T$ (triclinic) apar foarte rar. Acești politipi iau naștere prin modul diferit de suprapunere al stratelor de tetraedri de SiO_4 cu simetrie hexagonală. Faptul că un hexagon poate fi legat de următorul după o rotație a acestuia sub un unghi de cărui valoare este un multiplu de 60° (în cazul particulei O) determină poziția atomilor corespunzători în celulele succese care constituie mineralul. Utilizând vectorii care indică deplasarea în planul (001) a ionilor care ocupă pozițiile X în stratele succese ale structurii, principalele caracteristici ale acestor politipi pot fi ilustrate grafic (fig. nr. 105).

Caracteristicile structurale ale principaliilor politipi din grupa micelor

Politipul	Simetria	Nr. stratelor	Parametrii celulei elementare			Gruparea spațială
1M	monoclinic	1	5,3	9,2	10	C2/m sau Cm
2M ₁	monoclinic	2	5,3	9,2	20	C2/C
2M ₂	monoclinic	2	9,2	5,3	20	C2/C
2O	rombic	2	5,3	9,2	20	Ccm 2
3T	trigonal	3	5,3	—	30	P 3 ₁ 12 sau P 3 ₂ 12
6H	hexagonal	6	5,3	—	60	P 6 ₁ 22 sau P 6 ₅ 22

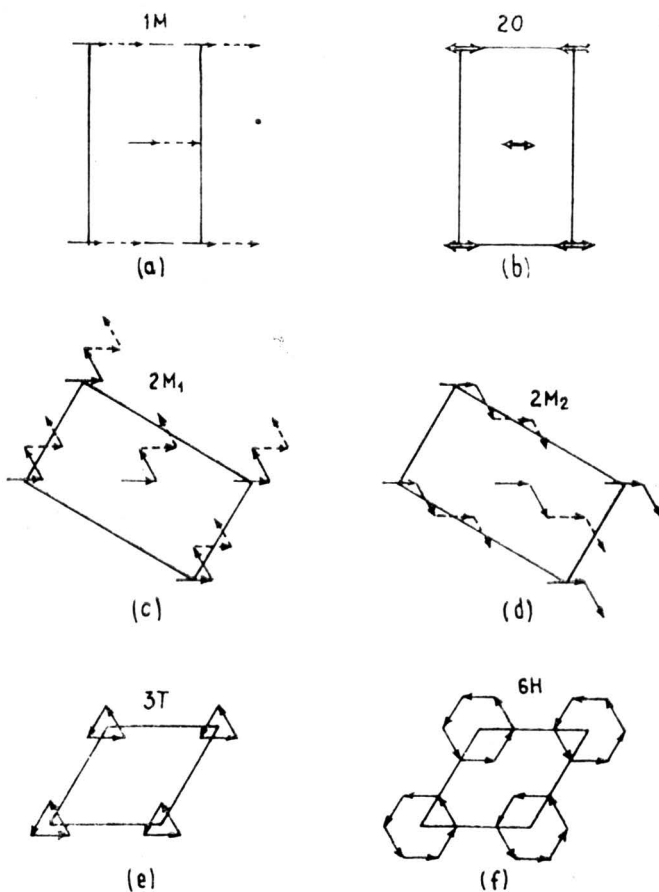


Fig. 105. Principalii politipi la mici : 1M, 2M₁, 2M₂→monoclinici, 20→rombic, 3T→trigonal, 6H→hexagonal.

Prin repetarea regulată a acestor secvențe simple se constituie principali politipi ai micelor enumerați anterior (tabelul nr. 41). Această repetare a secvențelor simple în strate multiple conducind la o complicată arhitectură a structurii cristaline devine posibilă dacă creșterea cristalelor are loc în spirală. În cazul micelor au fost avansate două modele ale mecanismului de creștere a cristalelor care pot genera fenomenul de politipism : a) nucleația secundară în diferitele strate (Smith, Yoder — 1956) și b) creșterea spiralată pornind de la o dizlocație (Amelinckx, 1952).

Principalii factori care influențează dezvoltarea fenomenului de politipism sunt temperatura de formare, presiunea, gradul de saturatie al soluțiilor, gradul de ordine dezordine al structurii.

Tabelul nr. 41

Principalii politipi care apar la mineralele din grupa micelor

Denumirea mineralului	Denumirea politipului
Muscovit	în principal $2M_1$
Paragonit	$2M_1$, •
Glaucnit	$1M_1$, $2M_1$, 3T
Lepidolit	în principal $1M$ și $2M_1$; subordonat 3T
Biotit	în principal $1M$ subordonat $2M_1$, 3T
Flogopit	$1M$, $2M_1$, 3T
Zinnwaldit	$1M$, $2M_1$, 3T

4. IZOTIPIE

Fenomenul de izotipie apare între mineralele care au aceeași structură (grupă spațială și formulă structurală identică) o compoziție chimică diferită și nu pot forma compuși izomorfi din cauza diferențelor privind valoarea razelor ionice, parametrilor celulei elementare și caracterului legăturilor în rețea (grad de polarizare diferit). În ceea ce privește proprietățile fizice se remarcă similitudini sau asemănări remarcabile în privința acelor proprietăți care sunt în deosebi condiționate de structuri (habitus, traht, clivaj, duritate).

O ilustrare a fenomenului de izotipie este furnizată de mineralele de tip AX cristalizate în rețea cubică centrală pe fețe (tipul halit). În acest tip de rețea a cărei simetrie corespunde grupei spațiale $O_h^5 Fm$ 3m fiecare din cei doi ioni A—X formează o rețea cubică F ambele fiind întrepătrunse. Coordonarea este octaedrică formula cristalochemicală fiind $A^6 X^6$. În această grupă intră numeroase minerale aparținând unor clase diverse : halogenuri, sulfuri, oxizi. În continuare redăm pe cele mai importante dintre ele. În paranteză sunt trecute în ordine valorile în A° pentru raza ionică a elementului care ocupă poziția A, raza ionică a elementului din poziția X și pentru parametrul „ a_0 “ al celulei elementare : halit — NaCl (0,98, 1,81, 5,56), silvină KCl (1,33, 1,81, 6,29), villiaumit NaF (0,98, 1,33, 4,63), clorargirit — AgCl (1,13; 1,81, .5,54), bromargirit

AgBr (1,13; 1,55; 5,76), galena PbS (1,32; 1,74; ; 5,94), alabandină MnS (0,91; 1,74; 5,22), oldhamit CaS (1,06; 1,74; 5,69), altaït PbFe (1,32; 0,76 0,44), periclas MgO (0,68; 1,32; 4,18), limit CaO (1,06; 1,32; 4,80), bunsenit NiO (0,78; 1,32, 4,18).

După cum se poate remarcă din examinarea valorilor reproduse diferențele dimensiunilor razelor ionice și parametrului celulei elementare sunt suficient de mari pentru a nu permite formarea unor compuși izomorfi la temperaturi ordinare nici chiar între minerale cu o compoziție chimică mai apropiată cum ar fi halitul și silvina sau clorargiritul și bromargitul. Situația se menține, chiar dacă cristalizarea se produce din soluții comune, în condiții geologice asemănătoare. Acest fapt explică depunerea succesivă a stratelor de halit și silvină în depozitele saline și puritatea halitului în zăcăminte de silvină.

Pe de altă parte, în pofida unor mari deosebiri privind chimismul, toate aceste minerale prezintă habitus izometric, cu trachit identic dominant de prezență fețelor de cub și clivaj foarte bun după fețele de cub (100), (010) și (001).

Aspecte asemănătoare sunt evidențiate de mineralele izotipe cu fluorina care cristalizează în sistemul cubic, grupa spațială O_h^3 Fm 3 m, rețelele cristaline corespunzînd formulei generale $A^8 X_2^4$. Principalele minerale de acest tip sunt fluorina — CaF_2 ($a_0 = 5,45 \text{ \AA}$) uraninit UO_2 ($a_0 = 5,46 \text{ \AA}$), thorianit ThO_2 ($a_0 = 5,59 \text{ \AA}$), bröggerit $(\text{U},\text{Th})\text{O}_2$ ($a_0 = 5,47 \text{ \AA}$), cleveit $(\text{U},\text{Y},\text{Ce})\text{O}_2$ ($a_0 = 5,47 \text{ \AA}$). Ele prezintă habitus izometric, trachit dominat de fețe de cub cărora li se asociază fețe mai slab dezvoltate de dodecaedru romboidal sau hexakisoctoedru, clivaj foarte bun după fețele (111) care sunt paralele cu planele de densitate reticulară maximă ce conțin atât ioni de tip A cît și de tip X.

Un alt exemplu de izotipie apare între apatit $\text{Ca}_5(\text{PO}_4)_3(\text{Cl},\text{F},\text{OH})$, piromorfit $\text{Pb}_5(\text{AsO}_4)_3\text{Cl}$ și vanadinit $\text{Pb}_5(\text{VO}_4)_3\text{Cl}$ care cristalizează în sistemul hexagonal tipul de rețea hexagonal compact, cu planele de densitate reticulară maximă paralele cu (0001). Valorile parametrilor celulei elementare la cele trei minerale sunt asemănătoare fiind pentru a_0 : 9,39; 9,95; 10,47 \AA pentru b_0 : 6,90; 7,32; 7,43 \AA iar valoarea numărului Z este aceeași — 2. În concordanță cu tipul de structură, ele prezintă habitus prismatic-columnar, contur hexagonal în secțiunile bazale și clivaj bun după fețele de pinacoid bazal. Așa cum s-a arătat în cazurile descrise anterior, nici între aceste minerale nu există relații de izomorfism, datorită faptului că razele ionice ale As^{5+} și V^{5+} sunt mai mari decât raza ionului P^{5+} . Apatitul poate forma însă compuși izomorfi cu sulfatii, de exemplu ardealit — $\text{Ca}_2(\text{PO}_4)(\text{SO}_4)\text{H}$ sau cu silicati, de exemplu în silicati sulf-apatit — $\text{Ca}_5(\text{PO}_4,\text{SO}_4,\text{SiO}_4)(\text{OII})$ datorită dimensiunii apropiate a razelor ionilor de P, S și Si.

Dintre celelalte cazuri de izotipie cunoscute mai menționăm izotipia NaNO_3 și CaCO_3 cu rețele cristaline romboedrice de tip calcit și a KNO_3 și CaCO_3 cu rețele rombice de tip aragonit, precum și serile izotipe zircon — $\text{Zr}[\text{SiO}_4]$, thorit $\text{Th}[\text{SiO}_4]$, xenotit $\text{Y}(\text{PO}_4)$ care cristalizează în rețele tetragonale și crocoit $\text{Pb}(\text{CrO}_4)$, huttonit $\text{Th}[\text{SiO}_4]$, monazit $(\text{Ce},\text{La})(\text{Po}_4)$ care cristalizează în rețele cu simetrie monoclinică.

5. MORFOTROPISMUL

Inlocuirea sistematică, într-o serie de minerale izomorfe caracterizată printr-un anumit tip de structură, a unor particule cu altele, de dimensiuni mai mari sau mai mici, în aşa fel încât tipul de structură să nu fie afectat conduce după cum s-a văzut la modificări treptate și regulate ale constantelor cristografice și proprietăților fizice.

Dacă se produc însă substituții care modifică raportul razelor ionice sau polarizarea particulelor atunci tipul de coordonare și deci tipul de rețea se schimbă determinind apariția unei rețele noi. Această schimbare a structurii cristalului produsă prin substituții ce conduce la depășirea limitelor izomorfismului se numește morfotropism.

Termenul a fost introdus de Groth care a numit modificarea mai mult sau mai puțin regulată a parametrilor structurali în urma substituțiilor chimice — relație morfotropică. Această relație poate fi evidențiată fie prin compararea parametrilor absoluchi calculați pe baza analizelor prin difracția razelor X fie prin compararea parametrilor topici (Friedel 1964) raportați în mod arbitrar la o celulă conținând o moleculă gram.

Astfel dacă în rețeaua perowskitului CaTiO_3 ionul calciu este înlocuit parțial prin ceriu ducind la formarea knopitului $(\text{Ca}, \text{Ce}) \text{TiO}_3$ sau Ca prin Ce și Ti prin Nb ; determinind apariția dysanalitului. Structura cubică se menține. Dacă însă, în locul calciului apare magneziu ca în geikielit MgTiO_3 ; fier ca în ilmenit FeTiO_3 sau magnan ca în pirofanit MnTiO_3 , structura se modifică și aceste minerale vor prezenta o rețea trigonală de tipul corindon.

Determinări detaliate pentru precizarea relațiilor morfologice au fost executate de Tutton asupra sulfatilor și seleniaților metalelor alcaline de tipul $\text{R}_2(\text{SO}_4)$ și $\text{R}_2\text{M}(\text{SO}_4)_2 \cdot 6\text{H}_2\text{O}$ în care pozițiile R sunt ocupate de un metal alcalin iar pozițiile M de un metal bivalent. El a constatat că habitusul cristalelor este foarte diferit pentru sărurile de K și Cs iar cele de Rb prezintă forme de trecere. Volumele lor moleculare și parametrii topici variază în același sens cu variația greutății atomice și a numărului atomic care la Rb (greutatea atomică 84,45, numărul atomic 37) prezintă valori medii față de K (39,1 și 19) și respectiv Cs (132,8 și 55). Modificarea proprietăților optice (orientarea indicatricei, unghiul axelor optice indicii de refracție, birefringență) se produce în același sens. Schimbarea structurii este provocată în acest sens de deosebirea notabilă a razelor ionice ale K și Cs între care Rb ocupă o poziție intermedieră.

O substanță chimică care prin dimensiunile particulelor constitutive (raportul razelor ionice) ocupă o poziție intermedieră la limita de toleranță dintre două serii izomorfe poate cristaliza atât într-o singură cît și în cealaltă serie izomorfă. Această posibilitate de a se prezenta în două tipuri structurale constituie fenomenul de dimorfism iar cele două serii izomorfe care se leagă prin termenul dimorf se numește serii izodimorfe.

Exemplul cel mai sugestiv este oferit de poziția carbonatului de Ca care apare ca termen extrem atât în seria carbonaților trigonali (calcit) cît și în seria carbonaților rombici (aragonit) tabelul nr. 42.

A. Seria carbonaților trigonali

Denumirea mineralului	magnezit	smithsonit	siderit	rodocrozit	calcit
Compoziția chimică	MgCO ₃	ZnCO ₃	FeCO ₃	MnCO ₃	CaCO ₃
raza ionică	0,78	0,83	0,83	0,91	1,06

B. Seria carbonaților rombici

Denumirea mineralului	calcit	stronțianit	ceruzit	witherit
Compoziția chimică	CaCO ₃	SrCO ₃	PbCO ₃	BaCO ₃
raza ionică	1,06	1,27	1,32	1,43

IV. RELAȚIA DINTRE PROPRIETĂȚILE FIZICE ȘI CONDIȚIILE DE FORMARE ALE MINERALELOR – TIPOMORFISMUL

1. NOIUNI GENERALE

Prin tipomorfism¹ se înțelege abilitatea mineralelor de a oglindi prin modul lor de prezentare, chimism, structură, proprietăți fizice, condițiile în care s-au format. Semnificația practică a conceptului de tipomorfism pentru activitatea de prospecție și explorare geologică a fost relevată de Fersman și o serie de lucrări de sinteză Ciuhrov, 1973, 1972, Kostov 1968, etc. au contribuit la conturarea mai exactă a diferitelor aspecte cuprinse în această noțiune.

Dacă la început noțiunea de tipomorfism gravita în special în jurul aspectelor morfologice ulterior, sfera sa s-a extins asupra particularităților structurale, a conținutului în elemente majore și minore, a variației diverselor proprietăți fizice ca duritate, greutate specifică, culoare, luciu etc. Noțiunea de tipomorfism include și înțelegerea noțiunilor de termometre geologice, barometre geologice și în general, diversele aspecte ridicate de polimorfismul și izomorfismul mineralelor. Este evident astfel, că formal denumirea de tipomorfism nu mai acoperă sensul actual al termenului și unii autori au propus înlocuirea sa cu termenul de „tipogeneză“ sau în cazul în care se discută particularitățile compozиției chimice, cu termenul de „tipochimism“.

Alți autori însă — și părerea noastră se asociază acestei interpretări — au arătat că în mineralogie, ca și în alte științe, există numeroși termeni consacrați cum ar fi de pildă „izomorfismul“ al căror sens nu corespunde cu sensul ad literam fără ca aceasta să impieze asupra dezvoltării domeniului științific respectiv.

Informațiile pe care mineralele le pot furniza asupra propriilor condiții de formare și asupra genezei rocilor sau minereurilor care constituie ambianța lor geologică s-au diversificat și ele treptat și privesc acum nu numai condițiile termodinamice temperatură, presiunea ci și Eh și pH-ul soluțiilor sau gradul de concentrare al acestora (Williams, Kirov, 1969). Unele tentative recente coreleză particularitățile morfologice ale unor minerale (zircon) cu gradul de diferențiere al magmelor (Kohler, 1970).

În general trebuie operată distincția între *mineral tipomorf* prin care se înțelege că simpla prezență a unui mineral într-o anumită rocă, minereu, etc. poate da informații asupra naturii procesului genetic, a condițiilor termodinamice, a chimismului magmelor, fluidelor, soluțiilor și în general a mediului ambient și *caracteristici tipomorfe* prin care se înțeleg parti-

¹ Noțiunea a fost utilizată pentru prima oară de GRUBENMANN și NIGGLI (1924).

cularitățile structurii, chimismului sau proprietăți specifice ale mineralului dobândite în anumite condiții geologice.

Mai mulți autori au propus să se includă în sfera conceptului de tipomorfism și *asociațiile de minerale* caracteristice pentru anumite condiții de formare.

Cunoașterea problemelor legate de noțiunea de tipomorfism este deosebit de importantă în activitățile practice legate de prospectarea substanelor minerale utile. În acest sens trebuie urmărite simetriile însușite de mineralele tipomorfe, alcătuirea chimică a acestora, respectiv cantitatea și distribuția elementelor chimice în rețea în afara elementelor fundamentale, cantitatea de elemente absorbite, diferențele concreșteri dintre diverse specii minerale asociate, incluziunile de minerale etc. Toate aceste date de observație conduc la aprecieri privind condițiile existente în timpul formării mineralelor, tipurile de procese care au acționat în regiune, caracterul genetic specific formării etc.

Datele evidențiate prin noțiunea de tipomorfism sunt interesante și în stabilirea unor criterii în dezvoltarea concepțiilor despre termometre și barometrele geologice. În acest sens interesante sunt modificările polimorfe impuse de variațiile T și P (ex.: bioxidul de siliciu) și care dă indicații legate de condițiile de apariție și dezvoltare a diferențelor minerale indicații importante în studiile petrografice și litologice.

2. PARTICULARITĂȚI TIPOMORFE ALE MINERALELOR

Problemă de prim interes este legată de particularitățile tipomorfice caracteristice diverselor minerale apărute în medii diferite și reflectate așa cum am mai arătat prin particularități morfologice, chimice, fizice, structurale etc. În continuare vor fi prezentate unele din aceste particularități care servesc la stabilirea trăsăturilor caracteristice pe grupe de minerale tipomorfe.

a) Particularități morfologice ale mineralelor

Influența unui complex de factori fizici și chimici în timpul dezvoltării unor cristale de minerale determină formarea unui anumit habitus caracteristic acestora. Modificarea acestor factori (T,P, concentrația, chimismul soluțiilor, viteza de creștere etc.), atrage după sine schimbări în aspectul habitusului cristalelor fie prin dizolvarea unor tipuri de fețe, fie prin modificarea formei geometrice a suprafeței de față fie schimbarea tipului de asociații de forme cristalografice ca urmare a stabilității și frecvenței unor anumite tipuri de fețe etc. (ceea ce constituie trachțul cristalelor).

Astfel la calcit, care se formează în condiții genetice foarte variate și ale căror cristale prezintă o extraordinară varietate de forme cristalografice (fig. nr. 106) vom întâlni peste 1200 forme caracteristice. Ex. formele romboedrice (1011) caracteristice cristalelor de gangă a filoanelor hidrotermale cristalizate din soluții fierbinți 300° — 370°C (zăcămîntul Baia Sprie, Herja etc.) ; — formele scalenoedrice (2131) care sunt caracteristice pentru cristalele din gangă filoanelor aurifere mezoepitermale cu temperaturi de formare 90° — 300°C (zăcămîntele Musariu și Stănișoara Mării).

Metaliferi); formele combinate prismatico-romboedrice (1010) — (1011) caracteristice filoanelor metalifere formate prin cristalizarea din soluții apoase cu temperaturi sub 90°C și acustice.

La cuart, care de asemenea se formează în condiții genetice foarte diverse, caracterizate printr-o gamă largă de temperatură, remarcăm trachture diferite reprezentate, fie prin fețele a două prisme trigonale

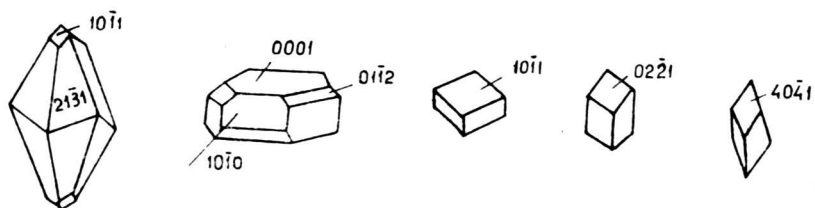


Fig. 106 Cristale de calcit.

intersectate determinînd un aspect de prismă hexagonală, fie prin combinarea a doi romboedri care conduc prin această asociere la cristale cu aspectul unei bipiramide hexagonale (fig. nr. 107).

Dintre factorii care influențează cel mai puternic trachtul (habitusul) cristalelor de cuart este temperatura. Spre exemplu s-a constatat că pe măsură ce temperatura de formare este mai scăzută, fețele (prisme) din zona verticală se lungesc astfel încît cristalele de origine magmatică prezintă un habitus bipiramidal (fig. 107 a) ex.: cuartul din riolitele de la

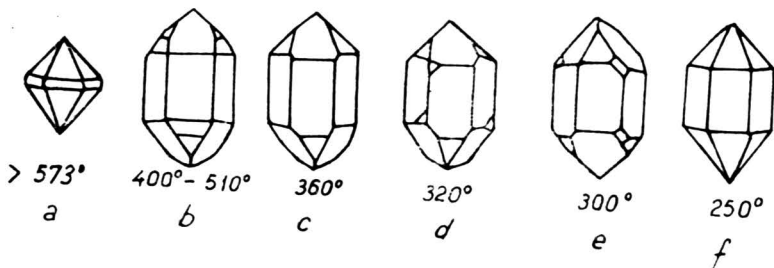


Fig. 107. Cristale de cuart.

Roșia Montană pe cînd cristalele din geodele hidrotermale prezintă un habitus columnar ușor alungit (fig. 107 f).

La magnetit remarcăm de regulă apariția formelor octaedrice (111) pentru cristalele accesoriilor din șisturile cristaline (metamorfismul dinamotermic) și formele de dodecaedru romboidal (110) în formațiunile de metamorfism de contact (skarne).

Studiile asupra habitusurilor diverselor minerale au pus în evidență faptul că influența temperaturii și concentrației soluțiilor este deosebit de importantă în mecanismul de dezvoltare al cristalelor. Astfel, în cazul compusului $MgSO_4 \cdot 6H_2O$ (hexahidrit-monoclinic clasa holeodrică) dacă cristalizează la 75°C din soluții cu concentrații de 5 : 1 cristalele sunt aciculare, la 60°C din soluții cu concentrația de 4 : 1 apar cristale alungite, columnare, pentru ca la 45°C dintr-o concentrație 3 : 1 să se formeze

cristale cu habitus scurt columnar, iar la $20-18^{\circ}\text{C}$ la o concentrație de 3 : 1, cristalele devin din nou alungite, columnare și cu variate tipuri de forme combinate (fig. 108).

La granați, în cazul cristalelor formate în condițiile metamorfismului allochimic, s-a remarcat că în timpul procesului de creștere apar modificări

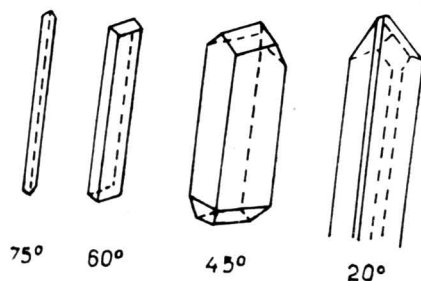


Fig. 108. Cristale de hexahidrit (75° cristale aciculare, 45° cristale columnare, 20° cristale alungite).

ale habitusului. Inițial se dezvoltă fețe de dodecaedru romboidal (110) (fig. 109) după care variațiile legate de chimism produc schimbări ale vitezelor de creștere pe diferite direcții ale cristalului; crește viteza de creștere pe direcția [110] fapt care atrage apariția fețelor (112) și micșorarea continuă a fețelor (110) uneori chiar pînă la dispariția lor (Kisling, 1967) pentru ca la încheierea procesului de creștere să se individualizeze trapezoedri cubici (112) cu striuri datorită creșterii în trepte după [110]. Etapile transformărilor morfologice sunt vizibile în studiile microscopice (în secțiuni subțiri) cînd este vizibilă o structură zonală, zonalitate corelată cu schimbarea trachțului din timpul creșterii (cristalele de granați de la Oca de Fier, Oravița, Sasca Montană).

K. Ozerov (1945) explică variațiile morfologice ale corindonului în legătură cu natura chimică a topiturilor din care acest mineral se for-

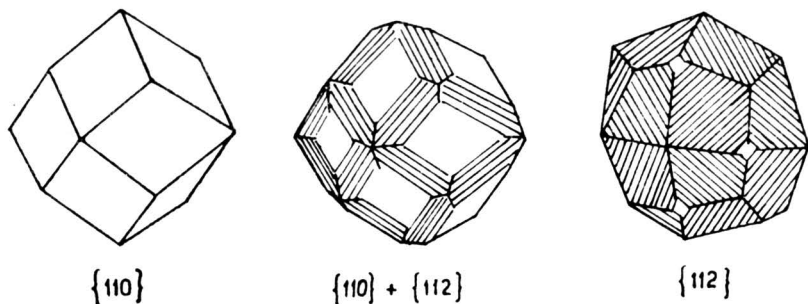


Fig. 109. Cristale de granați.

mează. Topiturile bazice conduc la formarea de cristale alungite uneori cristale ușor izometrice, în timp ce topiturile bogate în silice conduc la cristale aplatizate, în plăci.

O atenție deosebită s-a acordat și habitusului zirconului. Cristalele de zircon din topituri bazice indică forme simple, prisme scurte bipiramidale. Cele formate din topituri acide (granite) indică forme cristalografice mai complexe (Matkocski, 1966), sau după cum precizează V. Lia-hovici (1966) în aceste formațiuni sunt sesizate mai multe generații de cristale (de regulă trei) care se diferențiază între ele prin lungime și combinații de forme. Aceste modificări sunt puse în legătură cu schimbările chimice produse în magma precum și cu variațiile de concentrație ale Zr^{4+} , cuprins în ea.

Betehtin (1958, 1968) sugerează ideea că variațiile de habitus sunt influențate și de condițiile existente în timpul consolidării formațiunii, respective de tipul de structură și textură căpătat de rocă.

Urmărindu-se raportul dintre influența factorilor externi și cei interni asupra habitusului mineralelor s-a constatat că în general în condiții exogene și care indică forme cristalografice simple. Exemplu cristică predomină influența factorilor externi în timp ce în cazul cristalizării mineralelor în condiții sedimentare, din soluții relativ reci cu energie mai scăzută factorii externi au importanță minimă.

Acest lucru este ilustrat de studiile cristalografice efectuate asupra unor minerale tipomorfe unde cristalele formate în condiții endogene arată forme cristalografice mai complexe față de cristale formate în condiții exogene și care indică forme cristalografice simple. Exemplu cristalele de baritină din zăcăminte hidrotermale (de la Herja și Baia Sprie) prezintă o varietate mare de tipuri de fețe pe cind cristalele de baritină sedimentare (de la Copăceni G și I Imreh, 1962) se caracterizează prin forme simple (001), (011), (102), (104), (010), (110), (fig. nr. 110).

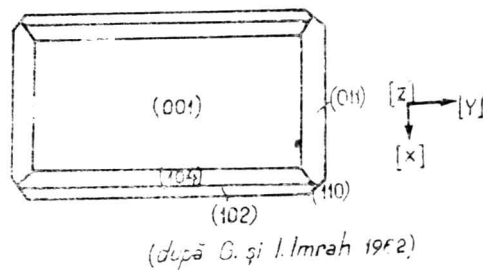


Fig. 110. Cristal de baritină.

b) Particularități legate de proprietățile fizice ale mineralelor

Fersman (1931) menționa că element tipomorf pentru unele minerale culoarea lor. Această caracteristică este evidentă la specii minerale ca beril, topaz, turmalină, apatit, fluorină, casiterit, etc. minerale caracteristice în deosebi pegmatitelor.

În funcție de geofazele de formare a acestor minerale apar anumite culori caracteristice, precum și aspecte specifice pentru curbele de absorbție a colorii în spectrul vizibil. Spre exemplu cuarțul fumuriu și ametistul devin incolore la temperatură de 240—260°C; fluorină roză devine incoloră la temperatură de 175°C. Cercetările lui N. P. Ermakov au sesizat o schimbare evidentă a culorii cristalelor de fluorină pe măsura scăderii temperaturii soluțiilor în următoarea succesiune: violet închis, liliachiu, verde și roz.

Pe baza unor determinări optice de detaliu ($2V\alpha$, $c\Delta\gamma$, etc.) și röntgen-structurale (Δ) efectuate pe feldspații potasici și plagioclazi de la Ditrău s-a apreciat temperatura lor de formare și s-a efectuat o zonare termică a masivului (Anastasiu, Constantinescu, 1979, 1981).

De asemenea în funcție de condițiile de formare cristalele de casiterit arată diferite culori, calități variate de luciu, greutăți specifice diferite, iar la microscop variații în culorile pleocroismului; deseori varietățile de temperatură ridicată prezintă proprietăți magnetice (Ramdohr, 1961). La beril apar variații interesante privind indicii de refracție (Dofman, 1952), iar la zircon generațiile se recunosc după gradul de luminiscență (Liahovici și Balanova, 1966). De asemenea sunt importante observațiile lui V. I. Siniakov (1966) asupra variațiilor microduritatei la magnetit. Concluzia rezultată din aceste studii constă în aceea că duritatea cea mai mică este întîlnită la cristalele de magnetit formate în procesele metamorfice iar duritatea cea mai mare este caracteristică cristalelor cristalizate din soluții hidrotermale.

Un studiu efectuat asupra caracterelor tipomorfe ale alabandinei din Bulgaria de S. Mânkov (1982) a arătat că alabandina din depozitele hidrotermale este bogată în Fe (5,30%), are microduritate scăzută (154 kg/mm^2), reflectivitate ridicată și culoare neagră în timp ce, alabandina din depozitele sedimentare este lipsită de Fe, are microduritate ridicată (264 kg/mm^2), reflectivitate scăzută și culoare verde.

O proprietate semnificativă pentru caracterizarea tipomorfismului unor minerale, este și termoelectricitatea. remarcată la cristalele de pirită, galenă, molibdenit, întîlnite în zăcăminte hidrotermale, precum și la mineralele de tipul cuarțului, berilului, dolomitului prezente în deosebi în formațiunile pegmatitice. S-a observat că valoarea constantei dielectrice variază în funcție de condițiile existente în procesul de formare precum și de tipul genetic la care aparține formațiunea gazdă pentru aceste minerale.

c) Particularități determinate de constituția chimică

Numeroase cercetări au evidențiat existența unor corelații între particularitățile tipomorfe impuse de condițiile de formare și constituția chimică specifică mineralelor.

În continuare se vor prezenta unele variații legate de compoziții chimice în funcție de condițiile existente în mediul de formare al mineralelor.

S-a observat că, astfel conținuturile în scandiu în unele cristale de biotit cresc cu scăderea temperaturii de formare. De asemenea, se remarcă

o micșorare a conținutului în titan (prezent ca incluzuni de ilmenit) în cristalele de magnetit formate la temperaturi scăzute („geotermometrul Buddington“).

B. Masson (1944) a arătat că dizolvarea simultană a Fe_2O_3 și Mn_2O_3 în enstatit este condiționată de temperatura de formare. Experimental s-a dovedit că cantitatea de fier dizolvată depinde și de valoarea presiunii (studii efectuate pe eclogite).

Deosebit de interesante sunt și studiile efectuate asupra cristalelor de blendă formate la diferite temperaturi (Kullerud, 1953, 1959). Se urmărește evoluția sistemului FeS—ZnS și se ajunge la concluzia că conținutul în fier crește odată cu creșterea temperaturii (bineînțeles în condițiile normale de conținuturi în H_2O și FeS), această metodă a fost aplicată pentru determinarea temperaturii de formare a mineralizației polimetalice de la Tibleș (Stiopol, 1962).

O altă constatare se referă la conținuturile de tantal și niobiu reținute în cristale de casiterit formate în diferite zăcăminte la diferite temperaturi.

Determinarea conținutului de K în nefelin a permis stabilirea temperaturii de formare pentru sienitele foidice de la Ditrău (Constantinescu, Anastasiu, 1980).

Studiile efectuate pe cristale de monazit arată variațiile conținuturilor de titan, hafniu, ytriu și ytterbiu în funcție de tipul genetic și temperatura de formare a zăcământului.

Un alt exemplu îl prezintă cristalele de cromit. Acestea arată variații pentru conținuturile în aluminiu în funcție de chimismul mediu al topiturii din care s-au format cristalele. Conținutul cel mai ridicat este sesizat pentru cromitele separate din topituri bazice și conținut mai mic pentru cristalele de cromit formate din topituri hiperbazice. Tot pentru cristalele de cromit s-a stabilit că în funcție de temperatură și de tipul genetic de formare apar variații ale raportului MgO/FeO și anume valori mai mari de 2 pentru cromitele magmatice și valori cuprinse între 1,0—1,5 pentru cromitele metasomaticice.

O altă observație este legată de numărul de compoziții chimice umă prezente într-un cristal. Se constată cu o frecvență destul de ridicată că pentru același mineral, numărul elementelor chimice reținute în cristale depinde de momentul separării lor. Cristalele din stadiile tîrzii de formare, generațiile ultime din cadrul unui zăcămînt indică permanent creșterea numărului de elemente chimice urmă reținute (exemplu generațiile tîrzii de sulfuri de zinc din zăcămînte hidrotermale au conținuturi interesante în Sc, Sn, Bi, Cu, Ag).

Aceste variații în diverse elemente cantitativ și calitativ sunt influențate de variații de temperatură în principal și variații de presiune în special și sunt explicate prin mobilitatea imprimată de structurile mineralelor de noile condiții de T și P. Se confirmă influența condițiilor de formare asupra mineralelor la examenul structurii acestora. În zăcămîntele de sulfuri apariția diverselor forme polimorfe depinde în afară de T și P și de gradul de concentrație a substanțelor oxidante și reducătoare care participă la reacțiile de formare a mineralelor.

În concluzie noțiunea de tipomorfism este importantă pe de o parte prin particularitățile prezentate de diferitele minerale formate în aceleasi

condiții externe și interne și pe de altă parte prin posibilitatea deducerii asociațiilor de minerale create în anumite tipuri de procese genetice caracterizate prin condiții fizice și chimice specifice. Prezența anumitor tipuri de minerale care corespund noțiunii de asociație de minerale este legată de aceleași condiții fizico-chimice ale mediului geologic care impun speciilor aceleași particularități tipomorfe, aspecte care conduc la interpretații importante privind geneza lor.

3. ASOCIAȚII TIPOMORFE DE MINERALE

Prin termenul asociații tipomorfe de minerale (paragenetice) se înțeleg minerale care se găsesc împreună și aparțin acelorași procese genetice de formare. Aceste minerale sunt legate între ele, aşa cum s-a mai arătat, prin existența de condiții termodinamice identice de formare.

În natură se întâlnesc cele mai variate asociații paragenetice * de minerale, ele fiind condiționate de compoziția chimică inițială a topiturilor (soluțiilor) din care au cristalizat mineralele, de natura chimică a formațiunilor înconjurătoare care au intrat în reacție cu ele, de T, P și adincimea din scoarța terestră, de valorile pH-ului și potențialului de oxidare. Unele dintre mineralele prezente în asociațiile de minerale, reprezintă grupe de minerale care se pot forma numai în anumite condiții genetice impuse de anumiți factori geologici, iar alte grupe de minerale sunt dimpotrivă rezultatul altor procese genetice, noile minerale formate fiind dezvoltate parțial pe contul mineralelor dezvoltate anterior. Astfel într-un fragment de rocă (minereu) prin determinări precise se pot separa două sau mai multe grupe de minerale diferite ca vîrstă și origină. Deseori într-un eșantion de minereu alături de sulfuri, ca pirită și calcopirită frecvent sunt semnalate ca prezente limonitul și malachitul. Datele de observație arată că sulfurile s-au format în primele faze de cristalizare în condiții termodinamice anumite, în timp ce hidroxizii de fier și carbonatul bazic de cupru sunt minerale separate mai tîrziu în împrejurări cu totul diferite și sunt legate în spațiu de primele numai prin sursa de elemente chimice. Deci în aceste asociații de minerale avem de afacere cu două grupe de minerale diferite în ceea ce privește condițiile de formare, pirlita și calcopirita ca minerale tipomorfe (paragenetice) cristalizate din soluții hidrotermale și limonitul și malachitul ca minerale secundare asociate primelor și formate ulterior sub acțiunea apelor vadoase prin noi tipuri de reacții chimice și în alte condiții fizico-chimice (T, P, potențial de oxidare sau de reducere, adâncime, etc.).

De aceea în asemenea cazuri este important să se considere separat asociațiile de minerale formate împreună, de grupele de minerale asociate, dar de origine diferită, dat fiind că pentru fiecare proces de formare a mineralelor există legi proprii de asociere a acestora. Însăși suprapunerea noului proces de formare a mineralelor dovedește că condițiile fizico-chi-

* Asociații paragenetice, reprezentă asociații de grupe de minerale întâlnite în aceleași tipuri de formațiuni cu o frecvență ridicată și determinate de condiții genetice identice.

mice de echilibru, specifice fazelor minerale au variat. Acestea are ca urmare, faptul că unele minerale din cele formate anterior devin instabile în noile condiții de aceea sint supuse unor modificări și deseori asistăm la înlocuirea lor cu minerale noi.

Există asociații paragenetice constituite din minerale generate de soluții unice care suferă modificări relativ rapide de temperatură, astfel încât într-un interval scurt, se formează atît minerale de temperatură ridicată cît și minerale de temperatură scăzută. Suprapunerea asociațiilor minerale de temperatură scăzută peste cele de temperatură ridicată poartă denumirea de „telescopare“. Mai rar întîlnim cazuri cînd peste asociații de temperatură scăzută se suprapun asociații de minerale de temperaturi ridicate, fenomen cunoscut sub numele de „recurență“ (fenomen explicat prin pătrunderea de noi soluții topituri în zonele bazinului magmatic răcit, depunind noi minerale de temperatură înaltă peste cele depuse anterior).

Legat de aceste asociații paragenetice, se impune definirea termenului de generație de minerale. Generațiile unui mineral oarecare se numesc separațiile de vîrstă diferită în asociația minerală * considerate, deosebite între ele prin dimensiunile lor relative, prin aspectul exterior sau prin particularitățile compoziției chimice. Observațiile asupra condițiilor de ocurență a mineralelor în special în zăcămintele de minereuri, arată deseori, că există cîteva generații ale unuia și același mineral, apărute în decursul procesului de formare (proces unic). În unele cazuri generațiile mai recente de cristale mărunte, cresc pe cristale mai vechi și mai mari ca dimensiuni, iar în alte cazuri — ele sint localizate pe fisurile subțiri (cu dimensiuni în mm) existente printre mineralele vechi. arătind de astă dată dimensiuni relativ mari, apropiate de a celor formate inițial. Studiile microscopice indică că aproape fiecare mineral metalifer are cîteva generații, ceea ce indică complexitatea proceselor de formare a minereurilor zăcămintelor de substanțe minerale utile.

Dezvoltind cercetările asupra caracterelor tipomorfe ale blendei (ca indicator de temperatură și presiune) în domeniul hidrotermal Udubașa și colab. (1982) au arătat că în funcție de conținutul în fier blendele apar în două asociații tipomorfe distințe : a) blendă bogată în Fe, calcopirită pirotină, calcopirotină — caracterizând minereuri formate la temperaturi mari și presiuni scăzute și b) blendă săracă în Fe, mackinawit ± calcopirită — caracteristică pentru minereuri formate la temperaturi reduse și presiuni mari.

Un cîmp fertil pentru aplicarea conceptului de asociație tipomorfă privește domeniul metamorfismului. Vom ilustra această afirmație cu cîteva rezultate din cercetările recente efectuate în terenurile metamorfice din România. În unele regiuni din Carpații Meridionali (Godeanu, Mehedinti, Căpățina) și Carpații Orientali au fost descrise trei asociații tipomorfe care reflectă condiții termodinamice diferite și care aparțin unor metamorfisme operante în orogeneze diferite : a) staurolit, disten ; b) andalusit, sillimanit, cordierit ; c) clorit, fengit, oxizi de Fe și Ti (Bercia, 1975 ;

* Asociația de minerale, reprezentă mineralele aflate frecvent în aceeași formă, indiferent de sistemul de echilibru care a condus la formarea lor ; deci fără legături genetice între ele și neprezentând rezultatul unei evoluții continue a acestuia sistem.

Hîrtopan 1975, 1982 ; Balintoni, Gheuca, 1977). Prima asociație reflectă un metamorfism de temperatură și presiune medie (de tip Barowian), cea de a doua condiții de temperatură ridicată și presiune coborită (tipul Abukama) iar cea de a treia temperatură și presiune coborită avind caracter retromorf.

La Bălan au fost identificate două asociații tipomorse pentru situația de retromorfism : a) oligoclaz, biotit, granat, microclin, hornblendă și b) sericit, clorit, epidot, cuarț, stilpnomelan, adular, actinolit, cea de a doua fiind suprapusă peste prima (Popescu, 1971).

Pentru ankimetamorfism a fost relevată ca tipomorfă asociația pirofilit, paragonit muscovit, antracit caracteristică formațiunilor argilo-cărbunoase de tip Schela (Mutihac, Popescu, 1982, Popescu, Constantinescu, 1982).

Asociația muscovit, calcit, albit, cuarț, este considerată tipomorfă de Seciăman și Arsenescu (1981) pentru metamorfismul în condițiile șisturilor verzi, pe seama granitelor din Parâng.

În Munții Almajului au fost identificate două asociații : a) staurolit, granat — de presiune medie și b) andaluzit, sillimanit — de presiune scăzută, tipomorfe pentru metamorfismul regional și o a treia muscovit, clorit, albit, granat — caracteristică unei faze de metamorfism cataclastic suprapus (Măruntu, Seghedi, 1983).

O asociație tipomorfă pentru filoanele alpine : adular, cuart, ripidolit, actinot, epidot a fost descrisă la Gruniu, Munții Parâng (Constantinescu, Sabău, 1981).

4. APlicații practice

Recunoașterea minereurilor aparținând unui anumit tip de zăcămînt. Mineralele care posedă caracteristici tipomorse identice pot fi considerate ca aparținând acelorași tipuri de formațiuni, generate în aceleași condiții termodinamice din soluții cu același chimism și din care se dezvoltă aceleasi tipuri de parageneze.

Stabilirea legilor naturale care au stat la baza evoluției proceselor geologice. Cunoscîndu-se caracterele specifice ale mineralelor existente în asociațiile paragenetice prezente într-o formăjune dată, se pot deduce prin comparație condițiile care au dominat procesul geologic în timpul formării lor.

La prospectarea substanțelor minerale utile. Cunoașterea asociațiilor paragenetice ajută nu numai la identificarea mineralelor coexistente în natură ci și la prospectarea substanțelor minerale utile. Spre exemplu dacă în roci bazice bogate în magneziu întîlnim minerale ce pot fi identificate mai mult sau mai puțin ușor, prin proprietățile lor fizice, ca pirotina, pirita, și calcopirita va trebui să căutăm și un alt patrulea mineral paragenetic, pentlanditul, mineral mai greu de identificat dar care de regulă este prezent alături de mineralele enumerate anterior.

Stabilirea temperaturilor relative de formare. Se pornește în aceste cazuri de la elementele urmă existente în rețeaua mineralului înglobate în timpul procesului de cristalizare și studiate prin metodele geotermometrice.

A. Exemple numerice pentru compuși simplii

a) mineralul calcopirita CuFeS_2
analiza chimică

Cu	= 34,40%
Fe	= 30,47%
S	= 35,87%
SiO_2	= 0,27%
Total	101,01

SiO_2 este o impuritate și se elimină din calcul.

Valorile precentuale privind ponderea atomică

$$\frac{34,40}{63,57} = 0,5411 ; \quad \frac{30,47}{55,84} = 0,5457 ; \quad \frac{35,87}{32,06} = 1,118\ddot{s}$$

Dacă cîțul unui raport se ia în egal cu unitatea, de pildă al fierului în cazul exemplului dat, atunci se obține :

$$\text{Cu : Fe : S} = \frac{0,5411}{0,5457} : 1 : \frac{1,1188}{0,5457} = 0,992 : 1 : 2,050$$

ceea ce este sensibil egal cu 1 : 1 : 2. Formula empirică a calcopiritei se poate scrie CuFeS_2 .

b) mineralul gips $\text{CaSO}_4 \cdot 2\text{H}_2\text{O}$
analiza chimică

$$\text{SO}_3 = 46,61\%$$

$$\text{CaO} = 32,44$$

$$\text{H}_2\text{O} = 20,74\%$$

$$\text{Fe}_2\text{O}_3 + \text{Al}_2\text{O}_3 = 0,15\%$$

$$\text{Total} \quad 99,94$$

$\text{Fe}_2\text{O}_3 + \text{Al}_2\text{O}_3$ se iau ca impurități și nu intră în calculul formulei.
Divizind prin ponderile moleculare respective obținem :

$$\text{SO}_2 = \frac{46,61}{80,06} = 0,5822 \quad \text{CaO} = \frac{32,44}{56,07} = 0,5786$$

$$\text{H}_2\text{O} = \frac{20,74}{18,016} = 1,1512$$

Se ia egal cu unitatea de astă dată cîțul aparținind SO_3 , rezultînd în acest caz :

$$\text{SO}_3 : \text{CaO} : \text{H}_2\text{O} = \frac{0,5822}{0,5822} : \frac{0,5786}{0,5822} : \frac{1,1512}{0,5822}$$

$$\text{SO}_3 : \text{CaO} : \text{H}_2\text{O} = 1 : 0,993 : 1,972 \approx 1 : 1 : 2$$

Deci formula empirică este pentru gips



Pentru combinații chimice simple în constituția cărora intră și alți compoziții izomorfi în cantități neînsemnate, formulele chimico-structurale se obțin după următorul mecanism.

c) mineralul blendă ZnS

Elementul	Conținutul %	Proportia atomică	Prop. atom/F
Fe	18,26	0,3270	0,310
Mn	2,64	0,0480	0,050
Cd	0,34	0,0030	0,000
Zn	45,12	0,6840	0,640
S	33,63	1,0400	0,980
	<u>99,99</u>	F = 1,0620	
	S ≈ 1.	S = 1,040.	

Formula : $(\text{Fe}_{0,31}, \text{Mn}_{0,05}, \text{Cd}_{0,00}, \text{Zn}_{0,64})_{1,00} \text{ S}_{1,00}$ formula generală
 $(\text{Zn, Fe, Mn...})\text{S}$.

B. Exemple numerice pentru compuși cu compozitie complexă.

Acstea sint prezentate în anexa nr. 1, în tabelul 34 pentru un amfibol-hornblendă ; în tabelul 35, pentru un granat-almandin ; în tabelul 36, pentru un piroxen-enstatit și în tabelul nr. 37, pentru un hidrogrosular.

ANEXA Nr. 1

Tabel nr. 34

Formula generală $X_{2-3} Y_5 [Si, Al]_8 O_{22}] (OH)_2$ Amfibol

	I % oxizi	II Proporția moleculară	III Nr. atomic	IV Nr. atomic de oxigen	V Nr. atomic în baza X atomi de oxigen			X *
SiO ₂	49,87	0,8303	0,8303	1,6606	7,0300	Si ⁴⁺	7,030	{ 8,000
TiO ₂	1,36	0,0170	0,0170	0,0340	0,1436	Ti ⁴⁺	0,970	
Al ₂ O ₃	6,40	0,0633	0,1266	0,1899	1,0647	Al ³⁺	0,094	
Fe ₂ O ₃	6,18	0,0386	0,0772	0,1158	0,6506	Fe ³⁺	{ 4,9355	
FeO	10,01	0,1393	0,1393	0,1393	1,1770	Fe ²⁺		
MnO	0,03	0,0004	0,0004	0,0004	0,0033	Mg ²⁺		
MgO	13,68	0,3392	0,3392	0,3392	2,8670	Ca ²⁺		
CaO	11,51	0,2052	0,2053	0,2053	1,7347	Mn ²⁺		
Na ₂ O	1,40	1,0225	0,0450	0,0225	0,3802	Na ¹⁺	{ 2,2484	
K ₂ O	0,75	0,0079	0,0158	0,0079	0,1335	Ca ²⁺		
H ₂ O ⁺	2,00	0,1110	0,2220	0,1110	1,8759	K ¹⁺		
H ₂ O ⁻	0,11	0,0061	0,0112	0,0061	0,0946	OH ¹⁻	{ 1,9012	
F	0,06	0,0031	0,0031	0,0031	0,0253	F ¹⁻		
	100,33			$\Sigma = 2,8351$		0 = 24 — 1,9012 = 22,0988		

$$F = \frac{24}{2,8351} = 8,450 \quad 100 \text{ Mg/Mg} + \text{Fe}^{2+} + \text{Fe}^{3+} + \text{Mn}^{2+} = 286/4,697 = 60,88$$

X = K¹⁺, Na¹⁺, Ca²⁺.**Y** = Al³⁺, Ti⁴⁺, Fe³⁺, Mg²⁺, Fe²⁺, Mn²⁺.Formula calculată (Na, K)_{0,514}¹⁺ Ca_{1,734}²⁺ Mg_{0,867}²⁺ (Mn²⁺, Fe²⁺, Fe³⁺, Al_{0,094}³⁺ Ti⁴⁺)_{2,068} [Al_{0,970} Si_{7,030} O_{22,0988}] (OH)_{1,9012}**X * = 24** oxigeni

	I	II	III	IV	V			
SiO_2	37,33	0,6220	0,6220	1,2430	5,9712	Si^{4+}	5,9712	{ } 6,000 = Z
TiO_2	0,02	0,0002	0,0002	0,0004	0,0019	Al^{3+}	0,0288	
Al_2O_3	20,96	0,2056	0,4112	0,6168	3,9475	Al^{3+}	3,9187	{ } 3,9475
Fe_2O_3	0,68	0,0043	0,0086	0,0120	0,0825	Ti^{4+}	0,0019	
FeO	30,58	0,4256	0,4256	0,4256	4,0857	Fe^{3+}	0,0825	{ } 4,0031 = Y
MnO	2,19	0,0309	0,0309	0,0309	0,2966	Fe^{2+}		
MgO	1,25	0,0310	0,0310	0,0310	0,2976	Mn^{2+}		{ } ~ 6 = X
CaO	7,05	0,1237	0,1257	0,1257	1,2067	Mg^{2+}	5,8981	
Na_2O	0,03	0,0006	0,0012	0,0006	0,0150	Ca^{2+}		{ } O = 24,000 - 0,0307 = 23,9693
K_2O	0,00	—	—	—	—	$X = Fe^{2+}, Mn^{2+}, Mg^{2+}, Ca^{2+}, Na$		
H_2O^+	0,00	—	—	—	—	$Y = Al^{3+}, Fe^{3+}, Ti^{4+}$		{ } Fe ²⁺ — almandin . . 69,35
H_2O^-	0,03	0,0016	0,0032	0,0016	0,0307			
	100,12			$\Sigma = 2,4884$				Ca ²⁺ — grosular . . 20,3 — 2,07 = 18,23
								Mg ²⁺ — pirop 5,05
								Fe ³⁺ — andradit . . 2,07
								Mn ³⁺ — spessartin . . 5,05
								100,25

$$F = \frac{2,4884}{24} = 9,644$$

$$Al^{3+} = 3,9475 - 0,0288 = 3,9187 \quad Al^{3+} = 6,000 - 5,9712 = 0,0288$$

(Aluminiu din poziția Y) (Aluminiu din poziția Z)

$$Fe^{2+} = \frac{4,08}{5,89} = 69,35$$

Almandin

Formula chimico-structurală → $(Fe^{2+}_{4,0857}, Mn_{0,2966}, Mg_{0,2976}, Ca_{1,2067}, Na_{0,0150})_{5,8981}(Al_{3,9187}, Fe^{3+}_{0,0825}, Ti^{4+}_{0,0019})_{4,0031}(Si_{5,9712}, Al_{0,0288})_6 O_{24}$

<https://biblioteca-digitala.ro/> <https://unibuc.ro>

Oxizii	I % Oxizi	II Prop. mol	III Nr. atomic	IV Nr. at. O	V Nr. atom la 6 oxigen			
SiO_2	57,73	0,9612	0,9612	1,9224	1,9512	Si^{4+}	1,9512	{ 2,0003 = Z
TiO_2	0,04	0,0005	0,0005	0,0010	0,0010	Al^{3+}	0,0491	
Al_2O_3	0,95	0,0093	0,0186	0,0279	0,0560	Al^{3+}		
Fe_2O_3	0,42	0,0028	0,0056	0,0084	0,0172	Ti^{4+}		
Cr_2O_3	0,46	0,0032	0,0064	0,0192	0,0128	Fe^{3+}		
FeO	3,57	0,0496	0,0496	0,0496	0,1006	Cr^{3+}		
MnO	0,08	0,0010	0,0010	0,0010	0,0020	Fe^{3+}		
NiO	0,35	0,0049	0,0049	0,0049	0,0099	Mn^{2+}		
MgO	36,13	0,8960	0,8960	0,8960	1,8188	Ni^{2+}		
CaO	0,23	0,0041	0,0041	0,0041	0,0082	Mg^{2+}		
H_2O^+	0,52	0,0028	0,0056	0,0056	0,0112	Ca^{2+}		
H_2O^-	0,04	0,0022	0,0044	0,0044	0,0088			
Total	100,52			$\Sigma 2,9444$				

$$F = \frac{2,9444}{6} = 2,0377$$

$$O = 6 - 0,0200 = 5,800$$

$$Mg = \frac{1,8188 \times 100}{1,9774} = 92,33\%$$

$$Z = \left\{ \begin{array}{l} \text{Si}^{4+} = 1,9512 \\ \text{Al}^{3+} = 0,0491 \end{array} \right\} = 2,0003$$

$$\text{Fe} = 5,07\%; \text{Ca} = 0,45\% \text{ etc.}$$

Enstatit — Formula

chimico-structurală — $(\text{Al}_{0,0069}^{3+}, \text{Ti}_{0,010}^{4+}, \text{Fe}_{0,0172}^{3+}, \text{Cr}_{0,0128}^{3+}, \text{Fe}_{0,1006}^{2+}, \text{Mn}_{0,0020}^{2+}, \text{Ni}_{0,0099}^{2+}, \text{Mg}_{1,8188}^{2+}, \text{Ca}_{0,0082}^{2+})_{1,9774} [(\text{Si}_{1,9512}^{4+}, \text{Al}_{0,0491}^{3+})_{0,5,800}]$

Enstatit — piroxenit — Webster Carolina de Nord anal. Hess 1952

Formula empirică $\text{Ca}_3\text{Al}_2\text{Si}_2\text{O}_8(\text{SiO}_4)_1 \cdot m(\text{OH})_2 \cdot 4m$

Tabel nr. 37

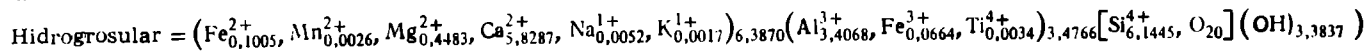
	I	II	III	IV	V			
SiO_2	34,48	0,5740	0,5740	1,1480	5,0167	5,0167	Si^{4+}	{ 6,1445
TiO_2	0,03	0,0004	0,0004	0,0008	0,0034	<u>1,1278</u>		
Al_2O_3	19,87	0,1949	0,3898	0,5847	3,4068			
Fe_2O_3	0,61	0,0038	0,0076	0,0114	0,0664	Al^{3+}		
FeO	0,83	0,0115	0,0115	0,0115	0,1005	Ti^{4+}		3,4766 = Y
MnO	0,02	0,0003	0,0003	0,0003	0,0026	Fe^{3+}		
MgO	2,07	0,0513	0,0513	0,0513	0,4483	Fe^{2+}		
CaO	37,40	0,6669	0,6669	0,6669	5,8287	Mn^{2+}		
Na_2O	0,02	0,0003	0,0006	0,0006	0,0052	Mg^{2+}		6,3870 = X
K_2O	0,01	0,0001	0,0002	0,0002	0,0017	Ca^{2+}		
H_2O^+	4,65	0,2581	0,5162	0,2581	4,5115	Na^{1+}		
H_2O^-	0,23	0,0127	0,0242	<u>0,0121</u>	0,2115	K^{1+}		
	<u>100,24</u>			<u>$\Sigma = 2,7459$</u>				

$$F = \frac{24}{2,7459} = 8,740$$

$$\frac{4,5115}{4} = 1,1278$$

$$4,5115 - 1,1278 = 3,3837$$

Formula chimico-structurală.



ANEXA Nr. 2

Tabel nr. 38

Mineralul	Formula	Sistem	Baza de oxigen
1	2	3	4
I. Nezosilicati			
1. Forsterit (Fo)	Mg ₂ [SiO ₄]	R	4(O)
2. Crisolit	Fo ₈₀ Fa ₂₀	R	4(O)
3. Hialosiderit	Fo ₄₀ Fa ₄₀	R	4(O)
4. Hortonolit	Fo ₄₀ Fa ₆₀	R	4(O)
5. Ferohortonolit	Fo ₂₀ Fa ₈₀	R	4(O)
6. Fayalit (Fa)	Fe ₂ [SiO ₄]	R	4(O)
7. Knebelit	(Mn,Fe) ₂ [SiO ₄]	R	4(O)
8. Tefroit	Mn ₂ [SiO ₄]	R	4(O)
9. Picrotefroat	(Mn,Mg) ₂ [SiO ₄]	R	4(O)
10. Monticelit	CaMg[SiO ₄]	R	4(O)
11. Glauconit	CaMn[SiO ₄]	R	4(O)
12. Thorit	Th[SiO ₄]	Tetra	16(O)
13. Willemit	Zn ₂ [SiO ₄]	Trig.	4(O)
14. Fenacit	Be ₂ [SiO ₄]	Trig.	4(O)
15. Pirop	Mg ₃ Al ₂ [SiO ₄] ₃	C	24(O)
16. Almandin	Fe ₃ Al ₂ [SiO ₄] ₃	C	24(O)
17. Spesartin	Mn ₃ Al ₂ [SiO ₄] ₃	C	24(O)
18. Grossular	Ca ₃ Al ₂ [SiO ₄] ₃	C	24(O)
19. Andradit	Ca ₃ Fe ₂ [SiO ₄] ₃	C	24(O)
20. Uvarovit	Ca ₃ Cr ₂ [SiO ₄] ₃	C	24(O)
21. Hidrogrosular	Ca ₃ Al ₂ Si ₂ O ₈ (SiO ₄) _{1-m} (OH) _{4m}	C	24(O) (Si+OH)
22. Topaz	Al ₂ [SiO ₄](OH,F) ₂	R	24(O)
23. Zircon	Zr[SiO ₄]	Tetra	16(O)
24. Sfen	CaTi[SiO ₄](O,OH,F)	M	60(O,OH,F)
25. Norbergit	Mg ₃ [SiO ₄](OH,F) ₂	R	6(O,OH,F)
26. Condrodit	Mg ₃ [SiO ₄] ₂ (OH,F) ₂	M	10(O,OH,F)
27. Humit	Mg ₃ [SiO ₄] ₂ (OH,F) ₂	R	14(O,OH,F)
28. Clinohumit	Mg ₃ [SiO ₄] ₂ (OH,F) ₂	M	18(O,OH,F)
29. Andaluzit	Al ₂ [SiO ₄]O	R	20(O)
30. Sillimanit	Al[SiAlO ₅]	R	20(O)
31. Disten	Al ₂ [SiO ₄]O	Tric.	20(O)
32. Staurolit	FeAl ₄ [SiO ₄] ₂ O ₂ (OH) ₂ sau (Fe,Mg) ₂ Al ₉ [SiO ₄] ₄ O ₆ (OH) ₂	R	48(O,OH)
33. Datolit	CaB[SiO ₄](OH)	M	20(O,OH)
II. Sorosilicati			
1. Hemimorfit	Zn ₄ [Si ₃ O ₇](OH) ₂ ·H ₂ O	R	10(O,OH)
2. Lawstonit	CaAl ₂ [Si ₂ O ₇](OH) ₂ H ₂ O	R	10(O,OH)

1	2	3	4
III. Nezo-silicati			
1. Gehlenit	$\text{Ca}_2\text{Al}[(\text{Si},\text{Al})\text{SiO}_7]$	Tetra	14(O)
2. Melilit	$(\text{Ca},\text{Na},\text{K})_2(\text{Mg},\text{Fe}^2,\text{Fe}^3,\text{Al})$ $[(\text{Si},\text{Al})\text{SiO}_7]$	Tetra	14(O)
3. Akermanit	$\text{Ca}_2\text{Mg}[\text{Si}_2\text{O}_7]$	Tetra	14(O)
4. Vezuvian	$\text{Ca}_{10}(\text{Mg},\text{Fe}^2)_2\text{Al}_4[\text{Si}_2\text{O}_7]_2[\text{SiO}_4]_5$ $(\text{OH},\text{F})_4$	Tetra	76(O,OH,F)
5. Zoisit	$\text{Ca}_2\text{Al}_3[\text{Si}_2\text{O}_7][\text{SiO}_4]\text{O}(\text{OH})$	M	13(O,OH)
6. Clinozoizit	$\text{Ca}_2\text{Al}_3[\text{Si}_2\text{O}_7][\text{SiO}_4]\text{O}(\text{OH})$	M	13(O,OH)
7. Epidot	$\text{Ca}_2\text{Fe}^3\text{Al}_2[\text{Si}_2\text{O}_7][\text{SiO}_4]\text{O}(\text{OH})$	M	13(O,OH)
8. Allanit	$(\text{Ca},\text{Ce},\text{La},\text{Th})_2(\text{Fe}^3,\text{Mg},\text{Fe}^2)\text{Al}_2$ $[\text{Si}_2\text{O}_7][\text{SiO}_4]\text{O}(\text{OH})$	M	13(O,OH)
9. Piemontit	$\text{Ca}_2(\text{Mn}^3,\text{Fe}^3,\text{Al})_3[\text{Si}_2\text{O}_7][\text{SiO}_4]$ $\text{O}(\text{OH})$	M	13(O,OH)
10. Lotrit (Pumpellyit)	$\text{Ca}_2(\text{Al},\text{Mg},\text{Fe}^2,\text{Mn},\text{Fe}^3,\text{Ti})_3[\text{Si}_2\text{O}_7]$ $[\text{SiO}_4]\text{O}(\text{OH})\text{H}_2\text{O}$ sau $\text{Ca}_4(\text{Mg},\text{Fe}^2,\text{Mn})(\text{Al},\text{Fe}^3,\text{Ti})_3[\text{Si}_2\text{O}_7]$ $[\text{SiO}_4]\text{O}(\text{OH})_2\text{H}_2\text{O}$	M	28(O,OH,H ₂ O)
IV. Ciclosilicati			
1. Wollastonit	$\text{Ca}_3[\text{Si}_3\text{O}_9]$	Tric.	18(O)
2. Rodonit	$\text{CaMn}_4[\text{Si}_5\text{O}_{15}]$	Tric.	18(O)
3. Beril	$\text{Be}_3\text{Al}_2[\text{Si}_6\text{O}_{18}]$	H	36(O)
4. Turmalina	$(\text{Ca},\text{Na})(\text{Mg},\text{Fe}^2,\text{Mn},\text{Li},\text{Al})_3(\text{Al},\text{Fe}^3,$ $\text{Ti})_6[\text{Si}_6\text{O}_{18}](\text{BO}_3)_3(\text{OH},\text{F})_4$	Trig.	31(O,OH,F)
5. Cordierit	$\text{Al}_3(\text{Mg},\text{Fe}^2)_2[\text{AlSi}_3\text{O}_{18}]$	R	18(O)
6. Axinit	$(\text{Ca},\text{Mn},\text{Fe}^2)_3\text{Al}_2[\text{BO}_3][\text{Si}_3\text{O}_{12}](\text{H}_2\text{O})$	Tric.	32(O,OH)
7. Bustamit	$(\text{Ca},\text{Mn},\text{Fe})[\text{SiO}_3]$	Tric.	18(O)
8. Pectolit	$\text{Ca}_2\text{NaH}[\text{SiO}_3]_3$	Tric.	18(O,OH)
V. Inosilicati (Piroxeni)			
1. Enstatit	$\text{Mg}_2[\text{Si}_2\text{O}_6]$	R	6(O)
2. Bronzit	$10-30\% \text{Fs}$	R	6(O)
3. Hipersten	$30-50\% \text{Fs}$	R	6(O)
4. Ferohipersten	$50-70\% \text{Fs}$	R	6(O)
5. Eulit	$70-90\% \text{Fs}$	R	6(O)
6. Ferosilit	$\text{Fe}_2[\text{Si}_2\text{O}_6]$	R	6(O)
7. Clinoenstatit	$\text{Mg}_2[\text{Si}_2\text{O}_6]$	M	6(O)
8. Clinohipersten	$(\text{Mg},\text{Fe})_2[\text{Si}_2\text{O}_6]$	M	6(O)
9. Diopsid	$\text{CaMg}[\text{Si}_2\text{O}_6]$	M	6(O)
10. Hedenbergit	$\text{CaFe}[\text{Si}_2\text{O}_6]$	M	6(O)
11. Johannsenit	$\text{CaMn}[\text{Si}_2\text{O}_6]$	M	6(O)
12. Augit	$(\text{Ca},\text{Mg},\text{Fe}^2,\text{Fe}^3,\text{Al},\text{Ti})[(\text{Si},\text{Al})_2\text{O}_6]$	M	6(O)
13. Egirin-Augit	$(\text{Na},\text{Ca})(\text{Fe}^2,\text{Fe}^3,\text{Mg},\text{Al})[(\text{Si},\text{Al})_2\text{O}_6]$	M	6(O)
14. Pigeonit	$(\text{Mg},\text{Fe}^2,\text{Ca})(\text{Mg},\text{Fe}^3)[\text{Si}_2\text{O}_6]$	M	6(O)
15. Egirin	$\text{NaFe}^3[\text{Si}_2\text{O}_6]$	M	6(O)
16. Jadeit	$\text{NaAl}[\text{Si}_2\text{O}_6]$	M	6(O)
17. Spodumen	$\text{LiAl}[\text{Si}_2\text{O}_6]$	M	6(O)
18. Omfacit	$(\text{Ca},\text{Na})(\text{Mg},\text{Fe}^2,\text{Fe}^3,\text{Al})[(\text{Si},\text{Al})_2\text{O}_6]$	M	6(O)
19. Fassait	$\text{Ca}(\text{Mg},\text{Fe}^3,\text{Al})[(\text{Si},\text{Al})_2\text{O}_6]$	M	6(O)

1

2

3

4

VI. Inosilicați (Amfiboli)

1. Antofilit	$(Mg,Fe^2)_7[Si_4O_{11}]_2(OH,F)_2$	R	24(O,OH,F)
2. Gedrit	$(Mg,Fe^2)_{0-6}Al_{1-2}[Si_3Al-Si_3O_{11}]_2(OH,F)_2$	R	24(O,OH,F)
3. Ferogedrit	$(Fe^2,Mg)_5Al_2[Si_3AlO_{11}]_2(OH,F)_2$	R	24(O,OH,F)
4. Holmquzit	$Li_2(Mg,Fe^2)_3(Al,Fe^3)_2[Si_4O_{11}]_2(OH,F)_2$	R	24(O,OH,F)
5. Kupferit	$Mg_7[Si_4O_{11}]_2(OH)_2$	M	24(O,OH,F)
6. Cummingtonit	$(Mg,Fe)_7[Si_4O_{11}]_2(OH)_2$	M	24(O,OH,F)
7. Grünerit	$Fe_7[Si_4O_{11}]_2(OH)_2$	M	24(O,OH,F)
8. Tremolit	$Ca_2Mg_5[Si_4O_{11}]_2(OH)_2$	M	24(O,OH,F)
9. Actinot	$Ca_2(Mg,Fe^2)_5[Si_4O_{11}]_2(OH)_2$	M	24(O,OH)
10. Feroactinot	$Ca_2Fe_5[Si_4O_{11}]_2(OH)_2$	M	24(O,OH)

11. Hornblendă comună	$(Na,Ca,K)_2-3(Mg,Fe^2,Fe^3,Al)_5[(Si,Al)_2Si_6O_{22}](OH,F)_2$	M	24(O,OH,F)
12. Edenit	$NaCa_2Mg_3[AlSi_7O_{22}](OH,F)_2$	M	24(O,OH,F)
13. Feroedenit	$NaCa_2Fe_3[AlSi_7O_{22}](OH,F)_2$	M	24(O,OH,F)
14. Tschermakit	$Ca_2Mg_3(Al,Fe^3)_4[Al_2Si_6O_{22}](OH,F)_2$	M	24(O,OH,F)
15. Ferotschermakit	$Ca_2Fe^2_3(Al,Fe^3)_2[Al_2Si_6O_{22}](OH,F)_2$	M	24(O,OH,F)
16. Pargasit	$NaCa_2Mg_4(Al,Fe^3)[Al_2Si_6O_{22}](OH,F)_2$	M	24(O,OH,F)
17. Ferohastingsit	$NaCa_2Fe^2_4(Al,Fe^3)[Al_2Si_6O_{22}](OH,F)_2$	M	24(O,OH,F)
18. Hornblendă bazaltică	$Ca_2(Na,K)_{0,5-1,0}(Mg,Fe^2)_3-4(Fe^3,Al)_2[Al_2Si_6O_{22}](OH,F)_2$	M	24(O,OH,F)
19. Barkevikit	$Ca_2(Na,K)(Fe^2,Mg,Fe^3,Mn)_5[Al_{1,5}Si_{6,5}O_{22}](OH,F)_2$	M	24(O,OH,F)
20. Glaucofan	$Na_2Mg_3Al_2[Si_4O_{11}]_2(OH,F)_2$	M	24(O,OH,F)
21. Magnezioriebekit	$Na_2Mg_3Fe^3_2[Si_4O_{11}]_2(OH,F)_2$	M	24(O,OH,F)
22. Riebekit	$Na_2Fe^2_3Fe^3_2[Si_4O_{11}]_2(OH,F)_2$	M	24(O,OH,F)
23. Richterit	$Na_2Ca(Mg,Fe^2,Mn,Fe^3,Al)_5[Si_4O_{11}](OH,F)_2$	M	24(O,OH,F)
24. Kataforit	$Na_2CaFe^2_3(Fe^3,Al)[AlSi_7O_{22}](OH,F)_2$	M	24(O,OH,F)
25. Magnoziokataforit	$Na_2CaMg_4(Fe^3,Al)[AlSi_7O_{22}](OH,F)_2$	M	24(O,OH,F)
26. Eckermanit	$Na_{2,5}Ca_{1,5}(Mg,Fe^2,Fe^3,Al,Li)_5[Al_{0,5}Si_{7,5}O_{22}](OH,F)_2$	M	24(O,OH,F)
27. Arfvedsonit	$Na_{2,5}Ca_{0,5}(Fe^2,Mg,Fe^3,Al)_5[Al_{0,5}Si_{7,5}O_{22}](OH,F)_2$	M	24(O,OH,F)

VII. Filosilicați

1. Caolinit	$Al_4[Si_4O_{10}](OH)_8$	Tric.	18(O,OH)
2. Dikit	$Al_4[Si_4O_{10}](OH)_8$	M	18(O,OH)
3. Nacrit	$Al_4[Si_4O_{10}](OH)_8$	M	18(O,OH)
4. Anauxit	$Al_4[Si_4O_{10}](OH)_8$	M	18(O,OH)
5. Halloysit	$Al_4[Si_4O_{10}](OH)_84H_2O$	M	18(O,OH)
6. Metahalloysit	$Al_4[Si_4O_{10}](OH)_82H_2O$	M	18(O,OH)

Tabel nr. 38 (continuare)

1	2	3	4
7. Montmorillonit	$(^{1/2}\text{Ca},\text{Na})_{0,7}(\text{Al}_{3,3}\text{Mg}_{0,7})[\text{Al},\text{Si}]_8\text{O}_{20}]$ $(\text{OH})_4 \text{nH}_2\text{O}$	M	20(O) și 4(OH)
8. Beidelit	$(^{1/2}\text{Ca},\text{Na})_{0,7}(\text{Al}_{3,3}\text{Mg}_{0,7})[(\text{Al},\text{Si})_8\text{O}_{20}]$ $(\text{OH})_4 \text{nH}_2\text{O}$	M	20(O) și 4(OH)
9. Nontronit	$(^{1/2}\text{Ca},\text{Na})_{0,7}\text{Fe}^{3+}[\text{(Si},\text{Al})_8\text{O}_{20}]$ $(\text{OH})_4 \text{nH}_2\text{O}$	M	20(O) și 4(OH)
10. Saponit	$\text{Na}_{0,33}\text{Mg}_6[(\text{Si},\text{Al})_8\text{O}_{20}]$ $(\text{OH})_4 \text{nH}_2\text{O}$	M	20(O) și 4(OH)
11. Hectorit	$(^{1/2}\text{Ca},\text{Na})_{0,7}\text{Al}_4[(\text{Si},\text{Al})_8\text{O}_{20}]$ $(\text{OH})_4 \text{nH}_2\text{O}$	M	20(O) și 4(OH)
Sauconit	$\text{Na}_{0,33}(\text{Mg},\text{Zn})_6[(\text{Si},\text{Al})_8\text{O}_{20}]$ $(\text{OH})_4 \text{nH}_2\text{O}$	M	20(O) și 4(OH)
12. Antigorit	$\text{Mg}_6[\text{Si}_4\text{O}_{10}] (\text{OH})_8$	M	9(O,OH)
13. Crisotil	$\text{Mg}_6[\text{Si}_4\text{O}_{10}] (\text{OH})_8$	M	9(O,OH)
14. Lizardit	$\text{Mg}_6[\text{Si}_4\text{O}_{10}] (\text{OH})_8$	M	9(O,OH)
15. Garnierit	$(\text{Mg},\text{Ni})_6[\text{Si}_4\text{O}_{10}] (\text{OH})_8 \cdot 4\text{H}_2\text{O}$	M	9(O,OH)
16. Palygorskit și sepiolit	$(\text{Mg},\text{Al})_2[\text{Si}_4\text{O}_{10}] \cdot (\text{OH})_2 \cdot 4\text{H}_2\text{O}$	M	22(O,OH)
17. Vermiculit	$\text{Mg}_3[\text{Si}_4\text{O}_{10}] (\text{OH})_2 \text{n } 4\text{H}_2\text{O}$	M	22(O,OH)
18. Illit	$\text{K}_{1-1,5}\text{Al}_4[\text{Si}_{7-6,5}\text{Al}_{1-1,5}\text{O}_{20}] (\text{OH})_4$	M	20(O) și 4(OH)
19. Fengit	$\text{K}_2(\text{Al},\text{Fe}^{2+},\text{Mg})_4[\text{Al}_2\text{Si}_6\text{O}_{20}] (\text{OH},\text{F})_4$	M	20(O) și 4(OH)
20. Hidromuscovit	$\text{K}_2\text{Al}_4[(\text{Al},\text{Si})_8\text{O}_{20}] (\text{OH})_4 \text{n H}_2\text{O}$	M	20(O) și 4(OH)
21. Talc	$\text{Mg}_3[\text{Si}_4\text{O}_{10}] (\text{OH})_2$ sau $\text{Mg}_6[\text{Si}_4\text{O}_{20}] (\text{OH})_4$	M	24(O,OH)
22. Pirofilit	$\text{Al}_2[\text{Si}_4\text{O}_{10}] (\text{OH})_2$ sau $\text{Al}_4[\text{Si}_4\text{O}_{20}] (\text{OH})_4$	M	24(O,OH)
23. Muscovit	$\text{K}_2\text{Al}_4[\text{Al},\text{Si}_4\text{O}_{20}] (\text{OH},\text{F})_4$	M	24(O,OH,F)
24. Paragonit	$\text{Na}_2\text{Al}_5[\text{Al}_2\text{Si}_4\text{O}_{20}] (\text{OH},\text{F})_4$	M	24(O,OH,F)
25. Lepidolit	$\text{K}_2(\text{Li},\text{Al})_{5-6}[\text{Al}_{2-3}\text{Si}_{6-7}\text{O}_{20}] (\text{OH},\text{F})_4$	M	24(O,OH,F)
26. Fuchsit	$\text{K}_2(\text{Al},\text{Cr})_4[\text{Al}_2\text{Si}_4\text{O}_{20}] (\text{OH},\text{F})_4$	M	24(O,OH,F)
27. Zinnwaldit	$\text{K}_2(\text{Fe}^{2+}_{2-1},\text{Li}_{2-3}\text{Al}_2)[\text{Al}_{2-1}\text{Si}_{6-7}\text{O}_{20}] (\text{OH},\text{F})_4$	M	24(O,OH,F)
28. Glauconit	$(\text{K},\text{Na},\text{Ca})_{1-2-2,0}(\text{Fe}^{3+},\text{Al},\text{Fe}^{2+},\text{Mg})_4 [\text{Al}_{1-0,4}\text{Si}_{7-7,6}\text{O}_{20}] (\text{OH},\text{F})_4 \text{n H}_2\text{O}$	M	24(O,OH,F)
29. Biotit	$\text{K}_2(\text{Mg},\text{Fe}^{2+})_6(\text{Fe}^{3+},\text{Al},\text{Ti})_{0-2} [\text{Al}_{2-3}\text{Si}_{6-7}\text{O}_{20}] \text{O}_{0-2}(\text{OH},\text{F})_{4-2}$	M	24(O,OH,F)
30. Flogopit	$\text{K}_2(\text{Fe},\text{Mg})_6[\text{Al}_2\text{Si}_6\text{O}_{20}] (\text{OH},\text{F})_4$	M	24(O,OH,F)
31. Eastonit sau Siderofilit	$\text{K}_2(\text{Mg},\text{Fe}^{2+})_5\text{Al}[\text{Al}_3,\text{Si}_4\text{O}_{20}] (\text{OH})_4$	M	24(O,OH)
32. Annit	$\text{K}_2\text{Fe}^{3+}_6[\text{Al}_2\text{Si}_4\text{O}_{20}] (\text{OH},\text{F})_4$	M	24(O,OH,F)
33. Margarit	$\text{Ca}_2\text{Al}_4[\text{Al},\text{Si}_4\text{O}_{20}] (\text{OH})_4$	M	24(O,OH)
34. Clintonit	$\text{Ca}_2(\text{Mg},\dots_{4,6}\text{Al}_{1,4})[\text{Al}_{5,5}\text{Si}_{2,5}\text{O}_{20}] (\text{OH})_4$	M	24(O,OH)
35. Xantofilit	$\text{Ca}_2(\text{Mg},\dots_{4,6}\text{Al}_{1,4})[\text{Al}_{5,5}\text{Si}_{2-5}\text{O}_{20}] (\text{OH})_4$	M	24(O,OH)
36. Cloritoid	$\text{Fe}_4\text{Al}_4[\text{Al},\text{Si}_4\text{O}_{20}] (\text{OH})_8$	M	28(O,OH)
37. Stilpnometelan	$(\text{K},\text{Na},\text{Ca})_{0-1-1}(\text{Fe}^{3+},\text{Fe}^{2+},\text{Mg},\text{Al},\text{Mn})_{5,9-8,2}(\text{Si}_8\text{O}_{20}) (\text{OH})_4(\text{O},\text{OH},\text{H}_2\text{O})_{3,6-8,5}$	M	24(O,OH)
38. Pennin	$\text{Mg}_{10}\text{Al}_2[\text{Al},\text{Si}]_8\text{O}_{20} (\text{OH})_{16}$	M	36(O,OH)
39. Clinoclor	$(\text{Mg},\text{Fe})_{10}\text{Al}_2[(\text{Al},\text{Si})_8\text{O}_{20}] (\text{OH})_{16}$	M	36(O,OH)
40. Prochlorit			

Tabel nr. 38 (continuare)

1	2	3	4
41. Corundofilit	$(Mg,Fe)_{10}Al_2[(Al,Si)_8O_{20}](OH)_{16}$	M	36(O,OH)
42. Aniesit	$Fe_{10}Al_2[(Al,Si)_8O_{20}](OH)_{16}$	M	36(O,OH)
43. Thuringit	$Fe_{3,5}(Al,Fe^3)_{1,5}[Al_{1,5}Si_{2,5}O_{10}](OH)_6 \cdot 4H_2O$	M	16(O,OH)
44. Chamosit	$Fe_4Al[AlSi_3O_{10}](OH)_6 \cdot nH_2O$	M	16(O,OH)
45. Apofilit	$KCa_4[Si_4O_{20}]F8H_2O$	M	29(O,OH)
46. Prehnit	$Ca_2Al[AlSi_3O_{10}](OH)_2$	M	24(O,OH)

VIII. Tectosilicati

1. Sanidină	$K[AlSi_3O_8]$	M	32(O)
2. Ortoză	$K[AlSi_3O_8]$	M	32(O)
3. Microclin	$K[AlSi_3O_8]$	Tric.	32(O)
4. Adular	$K[AlSi_3O_8]$	Tric (M)	32(O)
5. Albit	$Na[AlSi_3O_8]$	Tric	32(O)
6. Anortoză	$(K,Na)[AlSi_3O_8]$	Tric (M)	32(O)
7. Albit	$Ab = Na[AlSi_3O_8]$	Tric	32(O)
8. Oligoclaș	10–30% An	Tric	32(O)
9. Andesin	30–50% An	Tric	32(O)
10. Labrador	50–70% An	Tric	32(O)
11. Bitownit	70–90% An	Tric	32(O)
12. Anortit	$An = Ca[Al_2Si_2O_8]$	Tric	32(O)
13. Celsian	$Ba[Al_2Si_2O_8]$	M	32(O)
14. Hyalofan	$BaK_2[Al_4Si_4O_{16}]$	M	32(O)
15. Banalsit	$BaNa_2[Al_4Si_4O_{16}]$	R	32(O)
16. Nefelin	$Na_3K[Al_4Si_4O_{16}]$	H	32(O)
17. Kalsilit	$K[AlSiO_4]$	H	32(O)
18. Petalit	$Li[AlSi_3O_10]$	M	20(O)
19. Leucit	$K[AlSi_2O_6]$	Tetra (pseudo- cubic)	6(O)
20. Analcit	$Na[AlSi_3O_6]H_2O$	C	7(O)
21. Polucit	$Ca[AlSi_3O_6]H_2O$	C	7(O)
22. Sodalit	$Na_8[Al_6Si_6O_{24}]Cl_2$	C	21(O) asociat $3Al_2O_3 \cdot 6SiO_2$
23. Nosean	$Na_8[Al_6Si_6O_{24}]SO_4$	C	21(O) associate $3Al_2O_3 \cdot 6SiO_2$
24. Hauyn	$(Na,Ca)_{1-x}[Al_6Si_6O_{24}]SO_4S_{1-x}$	C	21(O) asociate $3Al_2O_3 \cdot 6SiO_2$
25. Lazurit	$(Ca,Na)_{x}[Al_6Si_6O_{24}]SO_4S,Cl_{1-x}$	C	21(O) asociate $3Al_2O_3 \cdot 6SiO_2$
26. Helvit	$(Mn,Fe^2,Zn)_{x}[BeSiO_4]_6S_2$	C	26(O,5)
27. Danalit	$Fe^2[BeSiO_4]_6S_2$	C	26(O,5)
28. Genthelvit	$Zn_x[BeSiO_4]_6S_2$	C	26(O,5)
29. Cancrinit	$(Na,Ca)_{7-x}[Al_6Si_6O_{24}](CO_3,SO_4)_{1-x}H_2O$	H	12(Si + Al)
30. Vishnevit	$(Na,Ca,K)_{6-x}[Al_6Si_6O_{24}](SO_4,CO_3)_{1-x}H_2O$	H	12(Si + Al)
31. Scapolit	$(Na,Ca,K)_{x}[Al_6Si_6O_{24}]Cl, F, OH, CO_3, SO_4$	Tetra R	12(Si + Al)
32. Natrolit	$Na_2[Al_2Si_3O_{10}]2H_2O$	R	80(O)

Tabel nr. 38 (continuare)

1	2	3	4
33. Mesolit	$\text{Na}_2\text{Ca}_2[\text{Al}_2\text{Si}_3\text{O}_{10}]_2\cdot 8\text{H}_2\text{O}$	M	80(O)
34. Scolecit	$\text{Ca}[\text{Al}_2\text{Si}_3\text{O}_{10}]_3\text{H}_2\text{O}$	M	80(O)
35. Thomsonit	$\text{NaCa}_2[(\text{Si}, \text{Al})_5\text{O}_{10}]_2\cdot 6\text{H}_2\text{O}$	R	80(O)
36. Gonnardit	$\text{Na}_2\text{Ca}[(\text{Al}, \text{Si})_5\text{O}_{10}]_2\cdot 6\text{H}_2\text{O}$	R	80(O)
37. Edingtonit	$\text{Ba}[\text{Al}_2\text{Si}_3\text{O}_{10}]_4\text{H}_2\text{O}$	Tetra	80(O)
38. Heulandit	$(\text{Ca}, \text{Na}_2)[\text{Al}_2\text{Si}_3\text{O}_8]_2\cdot 6\text{H}_2\text{O}$	M	72(O)
39. Stilbit	$(\text{Ca}, \text{Na}_2\text{K}_2)[\text{Al}_2\text{Si}_3\text{O}_8]_2\cdot 7\text{H}_2\text{O}$	M	72(O)
40. Epistilbit	$\text{Ca}[\text{Al}_2\text{Si}_3\text{O}_{16}]_2\cdot 5\text{H}_2\text{O}$	M	72(O)
41. Dachierdit	$(\text{Ca}, \text{K}_2\text{Na}_2)[\text{Al}_4\text{Si}_{10}\text{O}_{45}]_2\cdot 14\text{H}_2\text{O}$	M	72(O)
42. Ferrierit	$(\text{Na}, \text{K})_4\text{Mg}_2[\text{Al}_6\text{Si}_{10}\text{O}_{72}]_2(\text{OH})_2\cdot 18\text{H}_2\text{O}$	R	72(O)
43. Philipsit	$(1/2\text{Ca}, \text{Na}, \text{K})_2[\text{Al}_4\text{Si}_3\text{O}_{16}]_2\cdot 6\text{H}_2\text{O}$	M	32(O)
44. Harmotom	$\text{Ba}[\text{Al}_2\text{Si}_3\text{O}_{16}]_2\cdot 6\text{H}_2\text{O}$	M	32(O)
45. Chabazit	$\text{Ca}[\text{Al}_2\text{Si}_4\text{O}_{12}]_2\cdot 6\text{H}_2\text{O}$	Trig	72(O)
46. Gmelinit	$(\text{Na}, \text{Ca})_2[\text{Al}_2\text{Si}_4\text{O}_{12}]_2\cdot 6\text{H}_2\text{O}$	Trig	48(O)
47. Levyn	$\text{Ca}[\text{Al}_2\text{Si}_4\text{O}_{12}]_2\cdot 6\text{H}_2\text{O}$	Trig.	48(O)
48. Erionit	$(\text{Na}, \text{K}_2\text{Ca}, \text{Mg})_{0.5}[\text{Al}_9\text{Si}_{12}\text{O}_{72}]_2\cdot 27\text{H}_2\text{O}$	H	72(O)
49. Faujasit	$(\text{Na}_2, \text{Ca})_{1.75}[\text{Al}_{10.5}\text{Si}_{8.5}\text{O}_{24}]_2\cdot 16\text{H}_2\text{O}$	C	72(O)
50. Laumontit	$\text{Ca}[\text{Al}_2\text{Si}_4\text{O}_{12}]_2\cdot 4\text{H}_2\text{O}$	M	48(O)
51. Mordenit	$(\text{Na}, \text{K}_2\text{Ca})_2[\text{Al}_2\text{Si}_{10}\text{O}_{24}]_2\cdot 7\text{H}_2\text{O}$	R	48(O)
52. Gismondin	$\text{Ca}[\text{Al}_2\text{Si}_4\text{O}_{12}]_2\cdot 4\text{H}_2\text{O}$	R	64(O)
53. Ashcroftit	$\text{KNaCa}[\text{Al}_2\text{Si}_4\text{O}_{18}]_2\cdot 8\text{H}_2\text{O}$	Tetra	72(O)
54. Cuară	SiO_2	Trig (α)	
55. Calcedonie	SiO_2	H (β) R (α) H (β)	
56. Tridimit	SiO_2	Tetra (α)	
57. Cristobalit	SiO_2	C (β)	
58. Coesit	SiO_2	M	

T A B E L U L 39
Principalele metode fizice de analiză a mineralelor

ANEXA nr. 3

Metoda	Starea de agregare a materialului care se analizează	Componenții analizați	Probe — etalon necesare	Reproductibilitatea (gradul de exactitate)	Limite de determinare	Durata analizei de serie
0	1	2	3	4	5	6
Spectrometrie de absorbție atomică (SAA)	Soluție (1 ml), Pulbere (și soluția unele apărate speciale)	De la elemente principale ($\leq 20\%$) pînă la elemente urmă. (Peste 50 elemente)	Soluții — etalon sintetice	± 1 pînă la 10%	0,01 pînă la 100 ppm (cu apărate speciale și sub 0,001 ppm)	Rapidă (10 s. pînă la 1 min. timp de măsurare)
Spectrografie de emisie (SE)	Pulbere (și soluție 2—200 mg, max. 1 g)	In primul rînd elemente secundare și urmă. ($\leq 5\%$). (Aproape toate elementele din sistemul periodic, exceptînd gazele)	Probe — etalon preferabil naturale	± 1 pînă la 20%	0,1—100 ppm (în extrem 0,01 ppm)	Rapidă sau de mare durată (în funcție de gradul de automatizare a procesului de analiză)
Fluorescență de raze X (FRX)	Pulbere și soluții, solide), cu suprafață de 4 cm^2	De la elemente principale pînă la elemente urmă. (Aproape toate elementele din sistemul periodic, exceptînd cele foarte ușoare, de la $Z > 11$ [Na])	Idem	± 1 pînă la 10%	< 1 ppm pînă la 1000 ppm	Rapidă (timp de măsurare 10 s. pînă la 10 min.)
Metode radio-metrice (MR) (Spectrometrie γ)	Pulbere	K, U, Th, Ra	Idem	± 1 pînă la 10%	<0,01 pînă la $0,1\%$	Rapidă pînă la mare
Spectrometrie de masă (SM)	Gaze, lichide, solide	Dele elemente principale pînă la elemente urmă.	Idem			Mare

Tabelul 39 (continuare)

0	1	2	3	4	5	6
Spectrometrie de masă cu scînteie (SMS)	Solide	Toate elementele	Probe — etalon sintetice	$\pm > 10\%$ (de cele mai multe ori la jumătate cantitate)	0,001 pînă 100 ppm	Mare
Diluție izotopică (DI)		Nu și elemente monozolopice	De nici un fel	$\pm 0,1$	0,001	
Activare neutronică (AN) (Spectrometrie γ)	Solide (lichide ; procedeele de separare chimică pe cale umedă sunt deseori necesare).	De la elemente principale pînă la elemente urmă. (Multe elemente numai după o preparare chimică)	Probe — etalon sintetică	± 1 pînă la 10%	0,001 pînă 100 ppm	Rapidă pînă la mare
Spectrografie cu laser (SL)	Granule de mineral în secțiuni lustruite.	Ca la spectrografia de emisie	Probe — etalon sintetice sau, preferabil, naturale.	La jumătate de cantitate	0,01—1%	Rapidă
Microsondă electronică (ME)	Idem	Ca la fluorescența de raze X	Idem	± 1 pînă la 10%	0,01—1%	Rapidă pînă la mare
Emisie ionică secundară (EIS)	Idem	Ca la spectrometria de masă	Idem			De obicei, mare

BIBLIOGRAFIE

- ALDRICH L. T., (1956) — Measurment of radioactive ages of rocks. *Science*, 123, 871—875.
- ANASTASIU N., CONSTANTINESCU E. (1978) — Feldspații alcalini din masivul alcalin de la Ditrău, D. d. s. IGG Buc. LXIV/1.
- ANASTASIU N., CONSTANTINESCU E., (1981) — Feldspații plagioclazi din masivul alcalin de la Ditrău, St. și cerc. geol., geof., geogr., geol. 26, 1, 83—95.
- BALINTONI I., GHEUCA I., (1977) — Metamorfism progresiv-metamorfism regresiv și tectonică în regiunea Zugreni-Barnar (Carpăți Orientali). D. d. S. Inst. Geol. Geof. vol. LXIII, nr. 5, p. 11—38, București.
- BERCIA I., (1975) — Les métamorphites de la partie centrale et méridionale du massif de Godeanu (Carpates Méridionales). Stud. teh. ec. Inst. Geol., Geofiz., I., 12 (Miner-Petr.) Buc.
- BETEHTIN G., (1953) — Curs de Mineralogie (trad. din limba rusă) Ed. tehnică, București.
- BREITHAUP A. (1849) — Die paragenesis der Mineralien, Freiberg.
- CIOFLICA G., VLAD S., VASILIU C., (1967) — Granații din skarnele de la Băița Bihorului. Stud. Cerc. Geol. Geof. ser. Geol. 12, 1.
- CIUHROV F. V. (1972) — Tipomorfizm mineralov i evo prakticeskoe znacenie, Izd. Nedra Moskva.
- CLARK S. P. (1959) — Equations of State and Polymorphism at High Pressures In Researches in Geochemistry ed Abelson Ph., John Wiley inc. New York
- CODARCEA AL. (1965) — Mineralogie (vol. I) Cristalografie. Editura Academiei, București.
- CONSTANTINESCU E., (1980) — Mineralogeneza skarnelor de la Sasca Montană, Editura Academiei, București.
- CONSTANTINESCU E., ANASTASIU N., (1979) — Népheline du massif alcalin de Ditrău. Anal. Univ. Buc. Geol. XXVIII, 15—27.
- CONSTANTINESCU E., SABAU G., (1983) — Caractères cristallographiques, optiques et chimico-structural de l'adulaire contonné dans les filons alpin de Roumanie ; contributions au „problème de l'adulaire“. Travaux 12-eme Congrès de l'Asoc. Geol. Carpatho-Balc. : An. Inst. Geol. Geogr. LXII.
- CONSTANTINESCU E., UDUBAŞA G., (1982) — Some Features of Ore Fabric, Vol. Ore Genesis — The state of the Art. ed. G. Amstutz Edit. Springer Verlag Heidelberg-New York.
- CONSTANTINESCU E., ANASTASIU N., POP N., GARBAŞESCHI N., (1983) — „Contribution à la connaissance des aspects paragénétiques de la minéralisation associée au massif alcalin de Ditrău“. Travaux 12-eme Congrès de l'Asoc. Geol. Carpatho-Balc. An. Ist .Geol. Geof. LXII.
- CONSTANTINESCU G., CIOBANU GH. (1974) — Bazile fizice solidului și aplicații, Centrul de multiplicare Univ. Buc.

- DANA S. A. (1960) — Textbook of Mineralogy, Fourth Editions revised and enlarged by W. Ford. New York John Wiley Soc.
- DERR, HOWIE, ZUSSAMAN I. (1960—1963) — Rock — Forming Minerals, Vol. I—IV, London.
- ERMACOV A. (1974) — Forajul cu diamante. Ed. tehnică.
- FRANK — KAMENTZKIJ V. A. (1968) — Strukturtypomorphismus und moderne Mineralogie. Ber. deutsch. Ges. geol. Wiss. B. Miner. Lagerst. Bd. 13, nr. 3.
- FRANZINI M., SCHIAFFINO L. (1963) — Polymorphismo e leggi di geminazione della biotita. Alli. Soc. Toscana Sci. Nat. Mem. Ser., A.. t. 70.
- FRIEDEL G. (1964) — Leçons de cristallographie ed. Dunod, Paris, ediția II.
- FRYE K. (1974) — Modern Mineralogy, Englewood Cliffs, New Jersey.
- GOLDSCHMIDT V. (1918) — Atlas der Crystallformen. Universität buchhandlung, Heidelberg.
- HIRTOPANU I. (1975) — Métamorphisme de basse pression des Monts Mehedinți (Lambeau de Bahna) D. S. Inst. Geol. Geof. I, XI, 1, 217—238, Buc.
- IANOVICI V. (1933) — Etude sur la massif syénitique de Ditrău region Jolotca, district Ciuc (Transilvania), Rev. Muz. Mineral. Univ. Cluj 4. 2.
- IANOVICI V., STIOPOL VICTORIA, CONSTANTINESCU E., (1979) — Mineralogie, Ed. Did. și Ped. București.
- JAKOB GYULA (1982) — Studiul mineralologic și geochemical al mineralizațiilor metatife din Voșlobeni și Corbu. Rez. Tez. doct. Univ. Al. I. Cuza Iași.
- JUDE L., DRĂGHICI I. (1980) — Cristalografie — Caiet de lucrări practice. Tip. Univ. București.
- KERR P. (1977) — Optical Mineralogy, McGraw Hill Co.
- KISSLING AL. (1967) — Studii mineralogice și petrografice în zona de exoskarn de la Ocna de Fier (Banat), Editura Academiei București.
- KISSLING AL. (1979) — Mineralogie, Centrul de multiplicare, Inst. Petrol și Gaze Ploiești.
- KITTEL CH. (1972) — Introducere în fizica corpului solid (trad. din limba engleză), Ed. tehnică, București.
- KOSTOV I (1968) — Notation and genetic significance of crystal habits, Intern. Mineral. Assoc. 5-th. sess. meeting 1966, Cambridge Papers and Proceedings, London.
- LAȚIU V. (1958) — Cristalografia fizică. Edit. tehnică, București.
- MĀNKOV SL., (1982) — Variation of reflection, microhardness and parameter of unit cell of alabandites according to their chemical composition. Intern. Mineralog Assoc., 12th Gen. Meeting, Varna, 1982.
- MASON B., BERRY L. G. — Elements of Mineralogy, W. H. Freeman and Company, San Francisco.
- MASTACAN GIU., MASTACAN IULIA (1976) — Mineralogie Vol. I, Ed. tehnică Buc.,
- MARUNȚIU M., SEGHEDI A., (1983) — Mylonites in the Almaj Mountains, Anal Univ. Buc. (sub tipar).
- MEDLIN W. L (1959) — Thermoluminescent properties of calcite. J. Chem. Phys. Vol. 30 Nr. 2.
- MINCEVA STEFANOVA J., (1982) — Chemical zoning in crystals as an indicator of the limitations on isomorphous miscibility in minerals. Intern Mineralog. Asoc. 13th Gen Meeting, Varna.

- MRAZEC L. (1944) — Curs general de minerale și roci.** Ed. Cartea Românească, București.
- V. MUTIHAM, GH. POPESCU (1982) — Sur le caractère anchimétamorphique de la formation de Schela des Carpates Mérionales Centrales.** Rev. Roum., Géol., Geophys., Geogr., Géologie Tome 26, p. 47—56.
- NENIȚESCU C. D. (1979) — Chimie generală,** Ed. did. și Ped. București.
- ONCESCU M. (1975) — Fizica,** Editura didactică și pedagogică, București.
- POPESCU GH. G. (1971) — The role of epitaxy in the oriented disposition of pyrite and magnetite in the copper-bearing ore of Bălan.** Rev. Roum. Géol. Géophys. Géogr. Ser. Géol. 2, tome 15.
- G. C. POPESCU (1971) — Despre retromorfismul șisturilor cristaline din zona zăcămintului Bălan ; semnificația sa metalogenetică și geologică.** An. Univ. Buc. Geologie — extras.
- POPESCU C. GH., CONSTANTINESCU E. (1982) — Pyrophyllite in the anchimetamorphic schists from the Parîng Mountains (South Carpathians Romania)** Intern., Mineralog., Assoc. 13th General Meeting, Varna.
- POPESCU I. (1958) — Contribuții la studiul calcitelor din R.P.R., Anal. Univ. Buc., 20.**
- RAMDOHR P. (1960) — Die Erzmineralien und ihre Verwachsungen.** Akad. Verlag, Berlin 3-e Auflage.
- RAMDOHR P., STRUNZ H. (1967) — Klocmann's Lehrbuch der Mineralogie,** Fred, Enke Verlag, Stuttgart.
- RANKAMA K., SAHAMA T. (1970) — Geochemistry** (traducere lb. engleză) Ed. tehnică Buc.
- RĂDULESCU D., DIMITRESCU R. (1966) — Mineralogia topografică a României** Ed. Acad., București.
- RICHARDSON S. W., GILBERT M. C., BELL, P. M. (1969) — Experimental determination of kyanite-andalusite and andalusite-sillimanite equilibria ; the aluminium silicate triple point.** Amer. J. Sci. Vol. 267, No. 3.
- SCHINEER C. I. (1955) — Polymorphism in one dimension,** Acta Cryst. Vol. 8, Nr. 2.
- STIOPOL V. (1962) — Studiu mineralologic și geochemical al complexului filonian din Munții Tibleș,** Ed. Academiei.
- STIOPOL VICTORIA (1963) — Geochimie** Ed. didactică și pedagogică, București.
- STIOPOL V., MALDARESCU I. (1982) — Geochemistry,** Tipografia Universității București.
- SECLĂMAN M., (1981) — Introducere în termodinamica sistemelor și proceselor minerale,** Ed. Acad. RSR, București.
- SECLĂMAN M., ARSENESCU V., (1976) — Unele observații asupra albitezării granitidelor din Parîng.** St. și cerc. geol.
- TATON R. (1976) — Istoria generală a științei** (traducere din limba franceză, Ed. Științifică și Enciclopedică, București).
- TILTON G. R., DAVIS G. L. (1959) — Geochronology.** In Researches in Geochemistry ed. Abelson, John Wiley inc. New York.
- UDUBAȘA G., ZÂMÎRCA A., ANDĂR P., (1982) — Caractere tipomorfe ale unor mineralizații asociate structurilor subvulcanice.** D. d. s. Inst. geol. geof. LXIX/2.
- ZUSSMAN J. (1969) — Physical Methods in Determinative Mineralogy,** Academic Press, London.

INDEX

A

absorbția undelor 55
aciculare 12
adiatermane 86
admitere 162
allocromatism 66
alotropie 165
alungirea mineralelor 85
anhedral 81
anizotropie optică 83
antiferomagnetism 103
apă coloidală 145
apă de cristalizare (constituție) 144
apă hidroscopică 144
apă liberă 144
apă zeolitică 144
asociații minerale 201
axiolite

B

bacilar 12
barometru geologic 194, 200
birefringență 84

C

calcografie 86
camuflaj 161
captare 161
caracteristici tipomorfe 194
căldură de transformare 166
celulă clementară 125
chemoluminiscență 77
chondre 26
clivaj 36
coeficient de dilatare termică 91
coeficient de elasticitate 42
coloizi 145
columnar 12
concreșteri paralele 15
concreșteri simetrice 19
conductibilitate electrică 92
conductibilitate termică 87
conoscopie 81
constante dielectrice 98
conturul mineralelor 81

compuși chimici definiți 140
compuși chimici hidratați 143
compuși definiți dubli 141
criptocrystalin 24
cristale ideale 132
cristale mixte 155
cristale reale 132
cristalosoli 146
cromofori 65
culoarea mineralelor 63
culori de birefringență 84
curbe de duritate 30
curbe de elasticitate 42

D

defecțe structurale 132
deformații plastice 43
deformații rupturale 43
dendrite 16
densitatea 105
dezintegrare radioactivă 108
diadochie 156
diamagnetism 99
diatermane 86
difracția undelor 56
dimorfism 166
direcții de vibrație 85
dispersia undelor 55
druze 23
duritatea 28

E

elasticitatea mineralelor 41
electronegativitate 160
energie liberă 168
epitaxie 24
euhedral 81
extincția mineralelor 83
exsoluție 25

F

fanerocrystalin 24
fază 166
felsosferite 26
feromagnetism 102

fibros 12
figuri de interferență 86
figuri de percusione 47
figuri de presiune 48
fluorescență 77
foios 12
formule chimico structurale 151
fosforescență 76
funcția de cîmp electric 160

G

gangă 106
gel 146
generație de minerale 202
greutate specifică 105, 107

H

habitus 12, 82
hemitropie complexă 19
hemitropie normală 19
hemitropie paralelă 19
hidrogel 147
hidrosoli 146
hipidiomorf 81
homeomorfism 156

I

idiocromatism 65
idiomorf 81
interferență undelor 56
izomer 119
izomerie 166
izometric 12
izomorfism 155
izomorfism heterovalent 158
izomorfism izovalent 158
izotipie 190
izotropic optică 83

L

lamelar 12
legături chimice 125
litofize 26
luciul mineralilor 70
lumină polarizată 81
luminiscență 76

M

macle antipiezoelectrice
macle de penetrație 22
macle mecanice 44
macle mimetice 23
macle polisintetice 21
microduritate Vickers 28, 26
minerale grele 108
minerale tipomorfe 194

modificație polimorfă 166
modul de elasticitate 42, 43
morfotropism 192

N

nicoli 81
număr atomic 153
număr de coordonare 128

O

ordine dezordine 134
ortoscopie 81

P

parageneză 201
paramagnetism 99
paramorfism 26
piezoelectricitate 95
piroelectricitate 94
plasticitatea mineralelor 43
pleocroism 82
polarizarea dielectrică 97
polimorfism 164
politipi 189
politipism 187
potențial de ionizare 159
principiul moderației (Chatelier) 169
prismatic 12
proprietăți scalare 9
proprietăți vectoriale 9
proprietăți moleculare 153
pseudocromatism 68
pseudomorfism 27
punct de transformare 166
punctul Curie 102
punctul Néel 103

R

radicali complecsi 137
radioactivitate 108
raze ionice 131
recurență 202
reflexia undelor 55
refracția undelor 55
refringența mineralelor 82
relieful mineralelor 82
rețele ionice 128
rețele heterodesmice 128
rețele homodesmice 128
rețele metalice 136

S

scara Mohs 28
separarea electrostatică 98
separarea magnetică 104

sferolite 18
sincristalizare 156
soli 145
soluții solide 155
spărtură 40
striatii 14
structuri anizodesmice 137
structuri compacte 136
structuri izodesmice 137
structuri mezodesmice 137
structuri zonare 85
subhedral 81
susceptibilitate electrică 98
susceptibilitate magnetică 99, 104
suspensiile coloidale 145

T

tabelul Michel Lévy 84
tabular 12
telescopare 202
termoelectricitate 93
termoluminiscență 77
termometru geologic 194, 200
tipochimism 194

tipomorfism 194
trachit 12
transformare de fază 166
transformări enantiotrope 167
transformări monotrope 167
translații mecanice 45
transparentă mineralelor 75
tranzitie izomeră 119
tranzitie radioactivă 114
tremie 17
triboluminiscență 78
trimorfism 166

U

urma mineralelor 68

V

variolite 26

X

xenomorf 81

*Dat la cules 8-XII-1982. Bun de tipar 7-V-1983.
Coli tipografice 14. Tiraj 1107 ex.*

**Tiparul s-a efectuat sub cd. nr. 67 la Tipografia
Universității din București.**

Lei 17,10